ГОСУДАРСТВЕННЫЙ КОМИТЕТ СССР ПО ГИДРОМЕТЕОРОЛОГИИ И КОНТРОЛЮ ПРИРОДНОЙ СРЕДЫ КАЗАХСКИЙ РЕГИОНАЛЬНЫЙ НАУЧНО-ИССЛЕДОВАТЕЛЬСКИЙ ИНСТИТУТ

КЛИМАТ Алма-Аты

Под редакцией канд. техн. наук Х. А. АХМЕДЖАНОВА, д-ра геогр. наук Ц. А. ШВЕР



Ленинград Гидрометеоиздат 1985 В книге представлен климатический режим Алма-Аты по данным многолетних метеорологических наблюдений и некоторых дополнительных исследований. Описание включает как подробные данные по каждому метеорологическому параметру (температура, влажность, давление, ветер, облачность, атмосферные осадки, атмосферные явления), так и краткую характеристику сезонов в целом. Рассмотрены месячные, сезонные и годовые аномалии температуры и осадков. Расчетным путем получен ряд характеристик радиационного и светового режима. В связи с расположением города у подножия горного хребта даются краткие характеристики пограничного слоя, климата свободной атмосферы и условия загрязнения воздушного бассейна.

Книга рассчитана на специалистов-градостронтелей, энергетиков, работников городского хозяйства, транспорта, медицины, географов, климатологов. Может представлять интерес и для более широкого круга читателей, которые хотят

ознакомиться с климатом данного города.



 $K = \frac{1903040000-086}{069(02)-85} 8-85(1)$

 Казахский регнональный научно-исследовательский институт (КазНИИ), 1985 г.

ПРЕДИСЛОВИЕ

В настоящее время под методическим руководством Главной геофизической обсерватории им. А. И. Воейкова (ГГО) издается серия монографий по климату городов Советского Союза. «Климат

Алма-Аты» — одна из книг этой серии.

В монографии приводится общая характеристика климата Алма-Аты и его окрестностей, составленная на основе обобщения материалов метеорологических наблюдений за многолетний период. В работе дается сопоставление метеорологических величин между отдельными районами города, а также между городом и пригородами. Приводятся сведения об экстремальных явлениях погоды, описываются сезоны года, мезо- и микроклиматические особенности, пограничный слой и климат свободной атмосферы. Исследуется влияние хозяйственной деятельности человека на различные метеорологические величины.

При подготовке климатического описания Алма-Аты были использованы материалы «Справочника по климату СССР» (вып. 18, ч. 1;—4), работа Н. Ф. Гельмгольца о горно-долинной циркуляции [21], результаты самолетных зондирований, проводившихся под руководством Х. А. Ахмеджанова [8, 9], и данные наблюдений за погодой в черте города, выполненных отделами метеорологии и климата АГМО и отделом исследования климата и загрязнения природной среды КазНИИ под руководством Т. Ф. Зайченко и

Н. Т. Юрченко.

Исходным материалом для расчетов статистических характеристик метеорологических величин по высотам послужили ежедневные аэрологические наблюдения за десятилетний период 1961—1970 гг.

Описание климата Алма-Аты выполнено сотрудниками отдела исследований климата и загрязнения природной среды КазНИИ совместно с сотрудниками отдела климата Алма-Атинской гидрометеорологической обсерватории (АГМО). В описании микроклимата города и загрязнения его атмосферы участвовали сотрудники отделов метеорологии и контроля загрязнения природной среды

АГМО и Института краевой патологии АН КазССР.

Климатическое описание Алма-Аты подготовлено X. А. Ахмеджановым (предисловие, гл. 1, 9, разд. 4.1, 11.1, заключение), Н. А. Одинцовой (разд. 3.2, 5.2; 5.3, 7.3, 7.4, гл. 8), А. А. Гальпериной (гл. 2), Н. С. Ткаченко (разд. 4.2), З. И. Соколовой (разд. 5.2, гл. 6, разд. 7.1, 7,2), Н. Ф. Бендюковой (разд. 11.2), С. И. Тюребаевой (разд. 10.1), Г. Ф. Ивановой (разд. 5.2), О. Е. Семеновым, Н. Е. Бусаревой, Э. Э. Груздовой (разд. 6.2), В. И. Дегтяревым (гл. 9), И. А. Афанасьевой (разд. 10.2), А. Ф. Платоновой, Н. И. Бабкиной (разд. 3.1), О. В. Ерасовой (разд. 5.1), Г. К. Сембаевой (разд. 5.3).

Подготовка табличного материала книги осуществлена О. К. Ереминой, Б. Кеижибаевой, Г. Музафаровой, О. С. Бо-

ханько, Т. А. Болотовой, А. И. Мишурой, В. И. Мариненко, Д. А. Гапировой. В проверке табличных данных принимала участие Т. Ф. Зайченко.

В оформлении рукописи и подготовке ее к печати участвовали

Н. С. Ткаченко, А. А. Гальперина и Т. В. Железнякова.

Описанию климата Алма-Аты предшествовало обобщение имеющихся данных З. Д. Клыковой и результатов специальных исследований, проведенных с учетом рекомендаций Главной геофизической обсерватории им. А. И. Воейкова.

Научное рецензирование книги проведено сотрудниками отдела прикладной климатологии ГГО Ц. А. Швер, Г. И. Прилипко

и Л. Г. Васильевой.

1. ВВЕДЕНИЕ

1.1. Физико-географические условия местоположения города и его окрестностей. Общие сведения о городе

Город Алма-Ата расположен в предгорьях северного склона хребта Заилийский Алатау на конусе выноса, который постепенно понижается с юга на север (рис. 1). Средняя высота города 800 м над ур. м.

На юг и юго-восток от Алма-Аты начинается сильно пересеченное холмистое предгорье, которое, повышаясь, переходит в хребет Заилийский Алатау. В последние годы город разросся и районы новой застройки, раскинувшиеся в южной части города, распо-

ложены в предгорьях.

Заилийский Алатау является передовой цепью Тянь-Шаньского горного масснва. Горы протянулись почти в широтном направлении, отдельные вершины хребта достигают 5500 м над ур. м., покрыты вечными снегами и ледниками. Северные склоны крутые, каменистые, сильно изрезаны ущельями. Все долины рек имеют общее направление с юга на север. Склоны долин покрыты древесными породами, состоящими из груш, яблонь, выше растет тянь-шаньская ель. Город пересекается руслами нескольких горных рек, наиболее крупными из которых являются Малая и Большая Алматинка. Реки неширокие бурные, в черте города русла их зарегулированы. В жаркое время года по долинам. рек возможно прохождение селевого потока (1973, 1977 гг.). В районе города берега рек укреплены, и такие процессы, как разрушение береговых склонов, оползни, оврагообразование не имеют места.

С севера, запада и востока город окружен слегка пересеченной

местностью, понижающейся к северу.

Площадь города составляет 16063 га. По сравнению с дорево-

люционным периодом она увеличилась во много раз.

В Алма-Ате находится основная часть промышленных предприятий Алма-Атинской области: заводы по металлообработке и машиностроению, плодоконсервный, мясоконсервный, молочный, текстильный, меховой и др. комбинаты, хлопкопрядильная, швейные, обувные, трикотажная и др. фабрики. В настоящее время Алма-Ата является одним из красивейших городов СССР с многоэтажными зданиями в новых жилых районах, представляющими собой синтез современной архитектуры и восточных мотивов, с широко озелененными улицами-аллеями, по сторонам которых расположены арыки.

Население города на 1 января 1979 г. составило 910 тыс. человек, т. е. увеличилось по сравнению с 1917 г. в 90 раз. Город разделен на восемь административных районов: Ленинский, Октябрьский, Фрунзенский, Калининский, Советский, Ауэзовский, Московский и Алатауский. За последние 30 лет в Алма-Ате построено 18 жилых микрорайнов, а также выросли крупные промышлен-

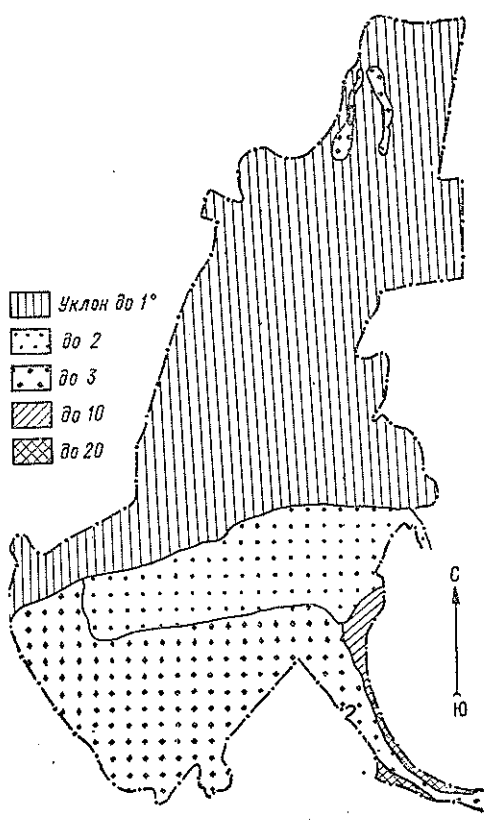


Рис. 1. Схема рельефа г. Алма-Аты.

ные районы. Заново застраивается центр города. Парки, сады, скверы, бульвары занимают 6 тыс. га, т. е. в среднем на одного жителя приходится 70-80 м² зеленых насаждений, что в 10 раз больше, чем в таких городах, как Ярославль, имеющий одинаковую с Алма-Атой численность населения.

В VII—III вв. до н. э. на месте современной Алмапоселения Аты находились саков. В кочевых племен III в. до н. э. здесь расселилось сменившее саков племенное объединение усуней, которые являются одним из древних казахских племен. На месте колхоза «Горный Гигант» располагалось их традиционное поселение. Во время правления тюркских каганов (VI-VIII в. н. э.) здесь был заложен под названием Алмалы (яблочное место), который отличался развитыми ремеслами и торговлей. Ко вре-

города мени присоединения Казахстана к России на месте этого

находились кишлаки племени дулатов.

Таким образом, территория, на которой расположена Алма-Ата, всегда была заселена людьми. Этому способствовали богатейшие природные и умеренные климатические условия местности. Но в предгорной полосе с давних пор наблюдались селевые потоки разрушительной силы. Поэтому исчезновение ранних поселений саков и погребение города Алмалы в период, когда люди не только не были способны бороться со стихией, но даже не понимали сущности этих явлений, объясняется прежде всего последствиями землетрясений и селевых потоков, причем селевые потоки из-за частого возникновения, большой массы и большой скорости передвижения (до 10 м/с и более) всегда были опасными.

Зарождение современной Алма-Аты следует отнести к 1854 г., когда было основано укрепление «Верное», получившее в 1867 г.

статус города.

Заилийский Алатау относится к сейсмически активным

нам. В течение последних 100 лет в районе Алма-Аты произошли два катастрофических землетрясения: 1887 г. (10 баллов) и 1910 г. (12 баллов). Во время землетрясения 28 мая 1887 г. были разрушены все кирпичные дома, сохранились только деревянные постройки. В среднем за год в Алма-Ате наблюдается около 200 слабых землетрясений.

В районе Алма-Аты нередки селевые потоки, которые раньше причиняли повреждения городу. Наиболее значительные из отмечены в 1887, 1921, 1956, 1963, 1973, 1977 гг. Известно, горные породы, переворачиваемые землетрясением (28 мая 1887 г. их было 400 млн. м³) или выносимые селевыми потоками (в период 13— 14 июля 1973 г. их было 4 млн. м³), двигаясь по северному склону горного хребта или в руслах рек, в силу большого угла наклона, развивают огромную кинетическую энергию. Заметим, что угол наклона основания города в 16 раз меньше угла на-Поскольку город прилегает непосредственно клона склонов. склону хребта, эти массы горных пород доходили до города, обладая разрушительной силой, способной вызвать катастрофические явления. Для защиты города от селя построены и продолжают стронться противоселевые дамбы, которые задерживают горные потоки. Благодаря этим мероприятиям катастрофический селевой поток 1973 г. прошел для Алма-Аты без последствий. Кроме того, факт прохождения селевых потоков стал предсказываться захскими гидрометеорологами. Так, например, сель 1973 г. был предсказан с заблаговременностью 5 суток.

Метеорологические условия Алма-Аты обусловливаются характерным для города расположением в предгорной зоне Заилийского Алатау, наличием здесь горно-долинной циркуляции. В силу того что центральная часть города располагается на стыке двух наклонных плоскостей, не всегда территория города находится под воздействием циркуляции. Поток горного воздуха, нагревающийся вследствие адиабатического сжатия, протекает поверх холодных слоев, прилегающих к поверхности земли и охлажденных радиационным выхолаживанием. Таким образом, образуется мощная приземная инверсия температуры, сохраняющаяся в зимний период длительное время. Отсюда и характерные для Алма-Аты слабые ветры, повторяемость штилей в году в среднем 25 %. В нижнем слое происходит накопление выхлопных газов автомобилей, вредных выбросов котельных, промышленных объектов и т. д. В городе принят ряд мер по уменьшению загрязнения.

В настоящее время в НИИ города, в том числе в КазНИИ Госкомгидромета, разрабатываются методы разрушения температурной инверсии с целью обеспечения выноса нижнего загрязненного воздуха до уровня горизонтальных потоков свободной атмо-

сферы над городом.

Необходимо отметить, что вертикальные движения перед ложбинами холодных вторжений, перемещающихся с запада или северо-запада, у подножия Заилийского Алатау усиливаются. Кроме того, эти ложбины, разворачиваясь параллельно горным хребтам, испытывают волнения. Фронты здесь дают больше осадков, над равниной, и имеет место повторное выпадение осадков в одной и той же фронтальной зоне. Увеличению осадков в районе Алма-Аты еще способствует и горно-долинная циркуляция, обусловливающая более интенсивное, чем над равниной, развитие внутримассовых облаков. Отсюда годовая сумма осадков в Алма-Ате составляет 575 мм, тогда как в Капчагае, отстоящем на 70 км к северу, - всего 266 мм.

В окрестностях Алма-Аты наблюдаются все климатические зоны — от пустыни до высокогорных ледников. Богатая растительность, отсутствие сильных ветров располагали наших вначале к организации зимовок, а впоследствии к закладке горо-

дов в этом районе.

В настоящее время благодаря осуществлению выше упомянутых мероприятий Алма-Ата — жемчужина Тянь-Шаньских становится одним из красивейших и комфортабельных городов нашей Родины.

1.2. История развития метеорологических наблюдений в Алма-Ате

Первые метеорологические наблюдения внутри крепости «Верное» (ныне Малая Станица) были начаты 1 июня 1859 г. Результаты этих наблюдений были опубликованы в Вестнике Императорского Географического общества за 1860 г. (ХХХ, с. 115). Хотя эти наблюдения по разным причинам иногда прерывались, они позволили получить первые сведения о климате Алма-Аты. В частности, на это указывал еще в 1864 г. Чокан Валиханов — действительный член Всероссийского географического общества, в своем письме на имя ректора Петербургского университета проф. А. Н. Бекетова [7]. После землетрясения в 1887 г. в районе Алма-Аты, наряду с метеорологическими, стали проводиться наблюдения с помощью сейсмоскопа. Большим энтузиастом организации метеорологических, сейсмических наблюдений и наблюдений за солнечными затмениями в течение 30 лет был К. А. Ларионов. Климатические данные за 1878—1914 гг. были опубликованы в летописях географического общества.

Алма-Атинская опорная станция (847 м над ур. м.), ныне ст. Алма-Ата, ГМО, функционирует с мая 1915 г. Станция расположена на небольшом холме, относительная высота 10 м. Ближайшие горные вершины находятся на расстоянии 15-45 км. Кроме метеорологических, здесь проводятся аэрологические, шаропилотные (с 1926 г.), радиозондовые (с 1936 г.) измерения, а также прием спутниковой информации. То, что Алма-Ата находится у северного подножия Заилийского Алатау учтено при организации сети метеостанций, которые расположены таким образом, что наблюдениями охвачен разрез от долины до вершины гор. В направлении с севера на юг действуют метеостанции: АлмаАта, АМЦ; Алма-Ата, ГМО; Алма-Ата, агро; Усть-Горельник; Мынжилки. Почти в этом же разрезе размещается телевизионная вышка, на которой запланировано проведение градиентных метео-

рологических наблюдений.

Для характеристики климата Алма-Аты, кроме опорной станции Алма-Ата, ГМО, взяты наблюдения следующих станций: Алма-Ата, АМЦ, находится на северной окраине города, высота 671 м, наблюдения начаты с 1935 г.; Бурундай, АМСГ, расположена к северо-западу от города, высота станции 701 м, наблюдения начаты с 1974 г.; Алма-Ата, агро, расположена в предгорной зоне Заилийского Алатау на расстоянии 7 км к югу от города, высота 1350 м, наблюдения начаты с 1961 г.; Медео, высота 1530 м, наблюдения велись в период 1930—1953 гг.; Алма-Атинская селестоковая станция, высота 1712 м, наблюдения велись в период 1953—1964 гг. Последние две станции располагались к юговостоку от города, южнее ст. Алма-Ата, агро. Высоты станций даны над уровнем моря.

2. РАДИАЦИОННЫЙ РЕЖИМ

Режим солнечной радиации зависит от астрономических факторов, облачности и закрытости горизонта. Последняя в условиях большого города весьма изменчива и обусловливает соответствующие контрасты солнечного освещения. Возможная продолжительность солнечного сияния, не зависящая от облачности и закрытости горизонта, рассчитанная для середины месяца, изменяется в Алма-Ате от 279 ч в декабре до 464 ч в июле. Действительная продолжительность солнечного сияния значительно отличается от возможной (табл. 1). Наблюдаемая продолжительность мала в облачные зимние месяцы. В теплый период, с мая по сентябрь, она превышает 50 % возможной. Расчеты произведены с поправкой на закрытость горизонта.

Таблица 1 Продолжительность солнечного сияния (u) и число дней (n) без солнца

Характеристика	I	11	III	IV	v	VΙ	-117-	VIII	ΙX	х	ΧI	IIX
[∓] ср∙ мес [∓] ср∙ сут [⊤] возм	116 4,5 289	120 5,5 292 (303)	146 6,0 368	194 7,4 400	239 8,3 452	280 9,4 458	308 9,8 464	291 9,3 431	248 8,5 375	193 7,1 342	128 5,5 291	102 4,2 279
тер. мес	40	41	40	48	52	61	66	68	66	57	44	37
· т _{возм} п	6	6	6	4	3	0,3	0,3	0,4	1	4	7	10

Продолжительность солнечного сияния по часовым интервалам, полученная в результате осреднения данных за 30-летний период, представлена в табл. 1 приложения. Малые значения продолжительности солнечного сияния в начале и конце дня объясняются не только непрерывно изменяющимся временем восхода и захода солнца, но также и большой загрязненностью атмосферы в последние годы. При низких высотах солнца, ходя через сильно загрязненные слои воздуха, солнечный луч ослабляется настолько, что он уже не в состоянии сделать прожог на ленте гелиографа.

Вероятность (%) продолжительности солнечного сияния, равная одному часу в часовом интервале (табл. 2), характеризует ход местной облачности. Максимум вероятности (75 %) прихоавгуст и остается дится на 10—12-часовой интервал с июля по сравнительно высоким (50 %) в дневные часы с апреля ноябрь. К концу дня вероятность непрерывной длительности сол-

нечного сияния резко падает.

В условиях большого города определенный интерес для градостроителей представляет продолжительность облучения различно ориентированных вертикальных поверхностей.

Таблица 2
Вероятность (%) продолжительности солнечного сияния, равная одному часу

Интервал времен и, ч	ī	11	111	IV	v	ΝI	VII	VIII	1 X	х	1%	11X
6—7 7—8 8—9 9—10 10—11 11—12 12—13 13—14 14—15 15—16 16—17 17—18 18—19	32 40 45 46 44 31 6	19 39 49 52 52 50 44 29 I	14 33 41 44 48 45 39 38 28 14	8 43 54 56 56 52 49 40 37 29 10	28 49 53 56 58 55 51 43 39 36 33 29 4	43 56 64 69 63 63 53 50 49 45 44 38 17	43 61 69 72 75 77 69 63 59 60 58 50 9	12 67 69 73 75 75 72 67 65 62 55 39	47 67 69 71 71 67 63 56 44 43 4	5 42 59 61 62 62 57 53 46 15	5 44 54 54 54 50 44 24	23 35 42 45 37 27 3

В Алма-Ате действительная продолжительность солнечного сияния в летние месяцы превышает 70 % возможной для стен южной ориентации и 60 % и более для стен восточной и западной ориентации. Северные стены в этот период получают 40—50 % возможного облучения. Однако они совершенно не освещаются солнцем с октября по март. Возможная дневная продолжительность солнечного сияния для стен разной ориентации представлена в табл. 3.

Таблица 3
Возможная дневная продолжительность (ч мин) солнечного сияния на 15-е число месяца для стен разной ориентации

Ориентация стен	1	11	111	IV	v	ıv	IIV	IIIA	IX	x	Χı	11X
Ю	9,20	10,29	11,51	10,51 2,48	9,02 5,29	8,08 7.14	8,34 6,30	9,46 4.10	11,34	11,07	9,44	9,01
В, З	4,40	5,16	5,56	6,41		7,41	7,32		6,17	5,34	4,52	4,20

Прямая радиация. Одной из основных характеристик радиационного режима является интегральный поток прямой радиации, поступающей на поверхность, перпендикулярную направлению солнечных лучей S, и ее составляющая S' — радиация на горизонтальную поверхность, измеряемая на сети станций в киловаттах на квадратный метр. Интенсивность и суммы прямой радиации испытывают как периодические, так и непериодические изменения под влиянием отдельных факторов, основными из которых являются высота солнца над горизонтом, продолжительность дня, прозрачность атмосферы и облачность. Первые два фактора связаны точной функциональной зависимостью с широтой места, склонением солнца и временем, что позволяет точно рассчитать усло-

вия облучения. Такой расчет характеризует приток прямой радиации к земле при условии абсолютной прозрачности атмосферы. Реальная атмосфера представляет собой газообразную среду, в которой во взвешенном состоянии присутствуют твердые и жидкие частицы, оказывающие большое влияние на приходящую сол-

нечную радиацию и земное излучение.

Наблюдения за прямой радиацией в Алма-Ате начались в 1934 г., причем с 1942 по 1954 г. велась непрерывная регистрация прямой радиации на перпендикулярную к солнечным лучам поверхность. Приход солнечной радиации на горизонтальную поверхность при ясном небе (S_0) — возможная радиация — определяется продолжительностью дня и высотой солнца. Если нанести график все значения S, измеренные в течение нескольких лет во все сроки наблюдений, и провести плавную огибающую, то получим радиацию, возможную на каждый день года. С ростом урбанизации возможная радиация претерпевает значительные изменения, особенно существенные в холодный период года. В табл. 2 приложения представлены средние месячные интенсивности прямой радиации на перпендикулярную поверхность, вычисленные за два периода: 1940—1950 и 1962—1972 гг. (второй период характерен интенсивным ростом загрязнения атмосферы города). Загрязнение городской атмосферы хорошо прослеживается и по данным табл. 4.

Таблица 4
Отношение (%) между часовыми и суточными суммами прямой радиации, вычисленными для периодов 1962—1972 гг. и 1940—1950 гг.

							Bį	емя,	ч							
Месяц	6	7	8	9	10	11	12	13	14	15	16	1,7	18	19	20	Сутки
I III IV VIII VIII IX X XI XII	57 54 57	25 46 82 79 65 65 33	20 56 73 80 81 77 81 64 29	56 79 82 81 83 83 86 85 83 60 42 67	62 69 89 90 85 91 90 91 89 70 53 67	67 76 85 80 86 86 85 92 85 79 58 71	62 73 85 82 89 95 85 91 78 87 60 65	65 78 82 85 87 84 88 89 75 80 61 58	71 74 80 81 84 87 83 88 77 73 68 56	59 64 81 75 89 85 86 83 71 67 57	67 50 65 65 82 85 81 84 70 56 60 50	17 56 62 71 80 68 77 50 36	50 33 ,74 65 56 56 22	33 54 40 25	50	63 70 78 75 83 84 81 85 74 70 57 60

Суммы тепла, получаемые каждым квадратным метром горизонтальной поверхности в определенный период, представляют интерес для работников сельского хозяйства, медицины, строительства, суммы S получены осреднением за 1942—1975 гг.

Радиационный режим города Алма-Аты, расположенного в предгорьях Заилийского Алатау на высоте 847 м, к сожалению,

нельзя сравнивать с радиационным режимом актинометрических станций \overline{A} лма- \overline{A} та, агро (H=1350 м) и \overline{A} йдарлы (H=567 м) из-за существенной разности в высотах над уровнем моря и различной закрытости горизонта. Следует, однако, ожидать, что прямая радиация должна возрастать с увеличением высоты пункта наблюдения. В холодный период, когда сильно ослаблена горно-долинная циркуляция и влияние городского загрязнения атмосферы почти не прослеживается в среднегорной зоне, прямая радиация на ст. Алма-Ата, агро превышает прямую раднацию на ст. Алма-Ата, ГМО в аналогичные сроки, исключая ранние утренние поздние вечерние часы, что связано с большей закрытостью горизонта на ст. Алма-Ата, агро. В летнее время с возникновением долинного ветра, переносящего городской загрязненный воздух в горы и очищающего атмосферу города, наблюдается картина — прямая радиация на ст. Алма-Ата, ГМО превышает таковую на ст. Алма-Ата, агро.

На ст. Айдарлы, отстоящей от города более чем на 100 км и не подверженной влиянию городского загрязнения, суммы тепла, получаемые земной поверхностью за счет прямой радиации, больше, чем в городе даже в относительно чистый (относительно

загрязнения воздуха) период (1940-1950 гг.).

Ослабление солнечной раднации обусловлено рассеянием и поглощением ее как молекулами газов, так и более крупными частицами различного происхождения (аэрозолями). Для количественной характеристики загрязненности атмосферы принят коэффициент прозрачности (Р), показывающий, какая часть прямой раднации, пройдя через толщу атмосферы, достигает поверхности земли при положении солнца в зените. Чем больше Р, тем чище атмосфера. Представляет интерес сопоставление коэффициента прозрачности атмосферы, с одной стороны, и показателей загрязнения воздуха — с другой (рис. 2).

Значения прямой раднации сильно зависят от высоты солнца. В расчетах коэффициентов прозрачности эта зависимость устранена, все значения прямой раднации приведены к массе атмо-

сферы, равной 2 $(h_{\odot} = 30^{\circ})$.

Скользящие 10-летние средние полуденных значений коэффициента прозрачности (рис. 3), вычисленного по данным Алма-Атинской обсерватории, свидетельствуют о значительном снижении прозрачности за последние 40 лет. Десятилетнее сглаживание позволяет избежать мелких пульсаций в ходе P, но в то же время маскирует ход коэффициента прозрачности в последние годы.

Анализ многолетнего хода коэффициента прозрачности убеждает в направленном уменьшении его значения. Изменение коэффициента прозрачности во времени (рис. 4) аппроксимируется прямой линией вида P = A - Bt, где t — время в годах. Коэффициенты A и B определены способом наименьших квадратов. Уравнения регрессии для центральных месяцев сезонов оказались следующими:

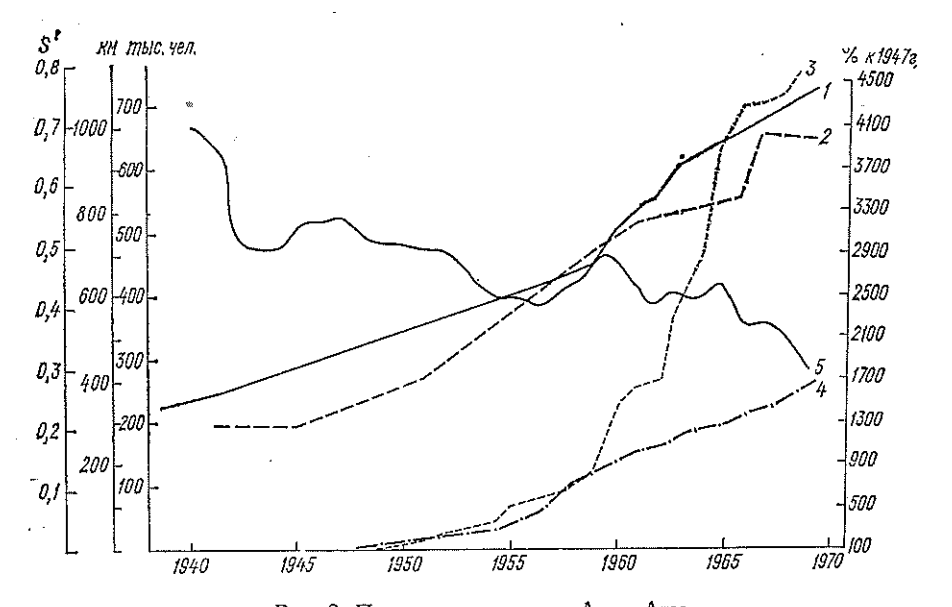


Рис. 2. Показатели роста г. Алма-Аты.

4 — численность населения, 2 — протяженность городских улиц, 3 — количество автомашин всех марок, 4 — количество мотоциклов, 5 — изменение прямой солнечной радиации на горизонтальную поверхность.

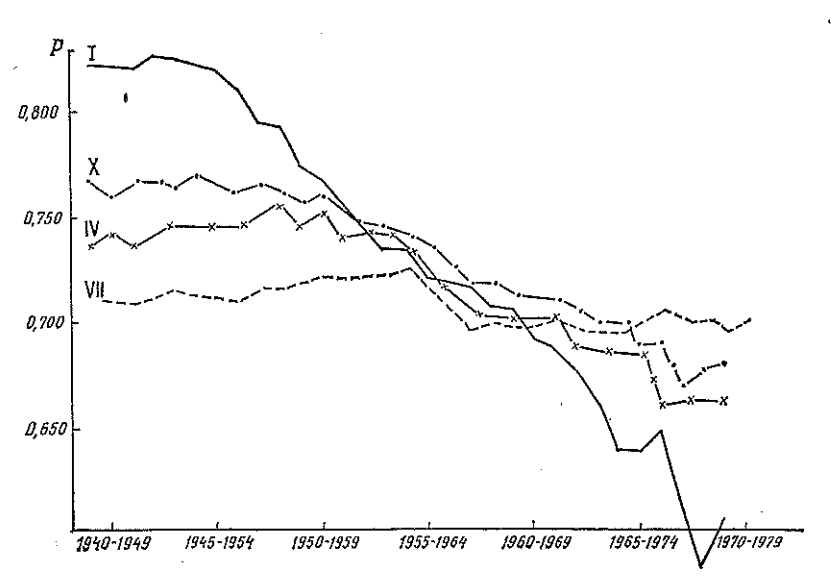


Рис. 3. Скользящие 10-летине средние полуденных значений коэффициента прозрачности в разные сезоны.

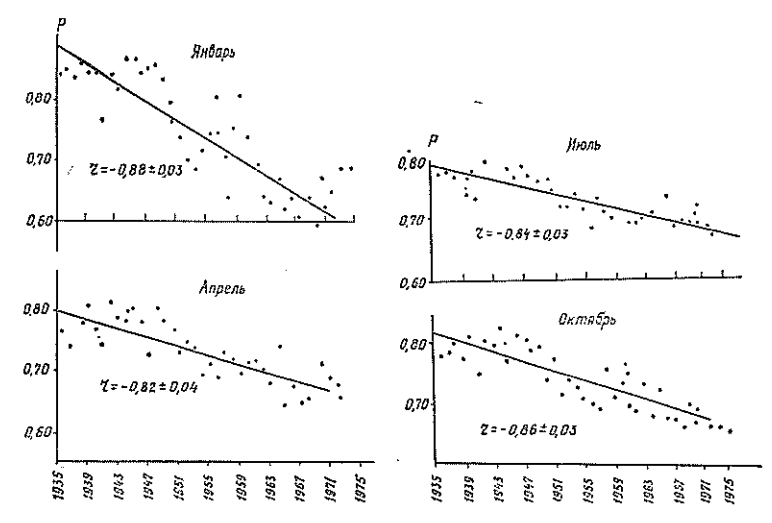


Рис. 4. Многолетний ход коэффициента прозрачности в Алма-Ате.

для января P=0,887—0,0074 t, для апреля P=0,806—0,0037 t, для нюля P=0,789—0,0028 t, для октября P=0,817—0,0040 t.

Во все указанные месяцы снижение P во времени проявляется достаточно четко, коэффициент корреляции связей P = f(t) примерно одинаков и составляет 0,82—0,88. Однако уменьшение коэффициента прозрачности в различные сезоны неодинаково: в январе за 10 лет P снижается в среднем на 0,074, в апреле и октябре — примерно на 0,040, а в июле — только на 0,028. Очевидно, что систематическое снижение коэффициента прозрачности связано с возрастающим загрязнением атмосферы города.

Неодинаковые изменения коэффициента прозрачности в разные месяцы существенным образом изменили внутригодовой ход P. В 40-е годы максимум коэффициента прозрачности наблюдался зимой, что связано с менее благоприятными условиями для почвенного запыления воздуха, меньшей его абсолютной влажностью и т. д. Минимум отмечался летом. Это был естественный ход P, идентичный с таковым на других станциях Советского Союза и за рубежом, а также с тем ходом, который отмечался на соседних с Алма-Атой станциях, расположенных вне города (рис. 5).

В последние же годы в связи с возрастающим влиянием города, его промышленности и транспорта годовой ход коэффициента прозрачности стал противоположным. Особенно большие изменения прозрачности произошли в холодный период.

При анализе направленных уменьшений коэффициентов прозрачности, а следовательно, и уменьшений прямой радиации, достигающей поверхности земли, был рассмотрен вопрос о том, изменение каких компонент в составе городской атмосферы вызы-

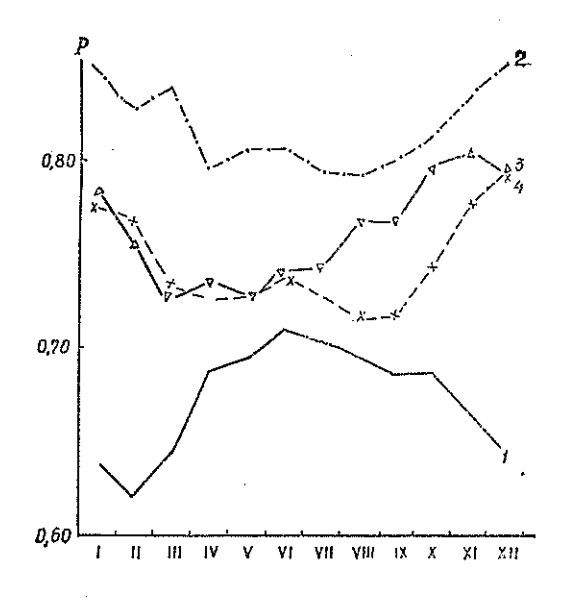


Рис. 5. Годовой ход прозрачности атмосферы на станциях, расположенных в окрестностях Алма-Аты.

I — Алма-Ата, ГМО (1960—1970 гг.);
 2 — Алма-Ата, ГМО (1935—1937 гг.);
 3 — Айдарлы (1962—1970 гг.);
 4 — Алма-Ата, агро (1960—1970 гг.).

вает такие значительные потери тепла. Расчеты количества водяного пара, выполненные за более чем 30-летний период, не выявили заметных тенденций к увеличению общего влагосодержания атмосферы над Алма-Атой ни в январе, ни в июле. Следовательно, уменьшение прихода прямой радиации связано исключительно с влиянием города.

На основании расчетов общего запаса влаги в атмосфере вычислено количество солнечной радиации, теряющееся из-за поглощения ее парами воды $\Delta S_{\rm H_2O}$ по формуле

$$\Delta S_{\rm H_2O} = 0.184 \, (m w_{\infty})^{0.27}$$

где m — масса атмосферы; w_{∞} — запас воды в атмосфере. Зная $\Delta S_{\text{H}_2\text{O}}$, ΔS измеренное и ΔS_{Re} — ослабление прямой радиации на молекулах воздуха (ΔS_{Re} =0,352 — const) — можно определить $\Delta S_{\text{аэр}}$ — долю солнечной радиации, рассеивающейся в атмосфере на сухих аэрозолях.

$$\Delta S_{\text{asp}} = \Delta S_{\text{ofm}} - \Delta S_{\text{Re}} - \Delta S_{\text{H}_2\text{O}}.$$

В среднем многолетнем зимой водяным паром поглощается примерно 10 % солнечной энергии, поступающей на верхнюю границу атмосферы. Такое количество солнечной энергии достаточно устойчиво, его колебания ограничены интервалом 7—15 % для отдельных случаев радиозондирования. Изменения средних месячных значений $\Delta \mathcal{E}_{\text{H}_2\text{O}}$ еще меньше и составляют 9—12 %.

Расчеты аэрозольного ослабления прямой радиации, произведенные отдельно для двух периодов (1954—1962 и 1963—1973 гг.), позволяют сделать вывод о том, что за второй период зимой в атмосфере города теряется почти вдвое больше солнечной энергии, чем за предыдущий период. Среднее $\Delta S_{\text{аэр}}$ за период

Рис. 6.

йонрэн

ние

Ослабле-

радиации

napom.

a3po3o-

прямой сол-

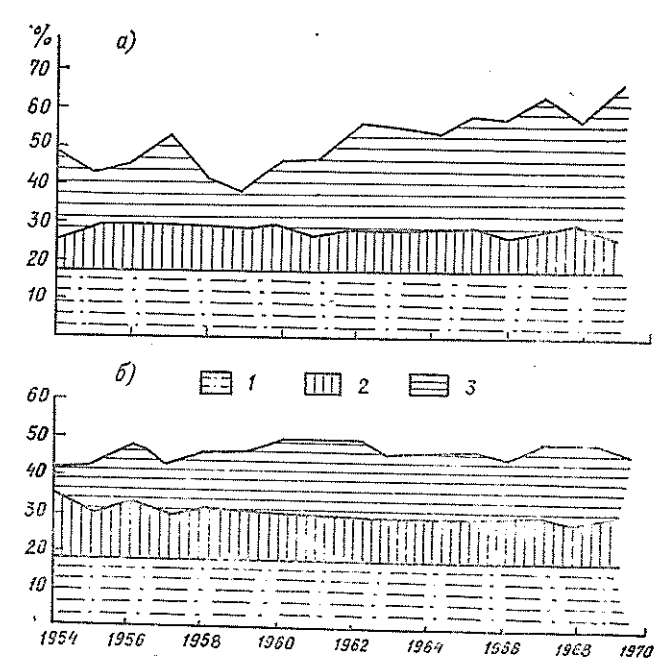
молекулярное,

в атмосфере. - зима. б — ле

JIRMIT.

- водяным

- сухими



1954—1962 гг. равно 16 %, за период 1963—1973 гг. — 31 %. За весь 20-летний период 1954—1973 гг. среднее ∆S_{аэр} равно 26 %.

Летнее значение $\Delta S_{\text{H},0}$ отличается большим постоянством во времени, в среднем многолетнем оно равно 14 %. Значение $\Delta S_{\text{аэр}}$ летом более изменчиво, однако существенного увеличения аэрозольного ослабления с годами не наблюдается. Среднее многолетнее $\Delta S_{\text{аэр}}$ равно 16 % (рис. 6). Из-за относительной сухости атмосферы города водяной пар играет наименьшую роль в ослаблении прямой радиации (10 %), молекулярное рассеяние составляет 18 %. Аэрозоли зимой задерживают значительную часть солнечной радиации (26 %). Летом $\Delta S_{\text{аэр}}$ в начале рассматриваемого периода (1954 г.) было даже на 7 % меньше ослабления солнечной радиации, вызываемого водяным паром, что свидетельствует об исключительной чистоте алма-атинского воздуха в начале 50-х годов.

Рост аэрозольного ослабления в зимнее время более наглядно прослеживается в многолетнем ходе отношений $\Delta S_{\text{н},\text{0}}$ и $\Delta S_{\text{аэр}}$ к интенсивности солнечной радиации, поступающей на верхнюю границу атмосферы (рис. 7).

Прямая радиация оказывает значительное влияние на микроклимат жилищ. Она может создать дополнительный нагрев помещений на 4—6 °С. Общая сумма получаемой жилищем солнечной радиации, распределение ее по отдельным помещениям, интенсивность радиации в отдельные часы суток — все это зависит

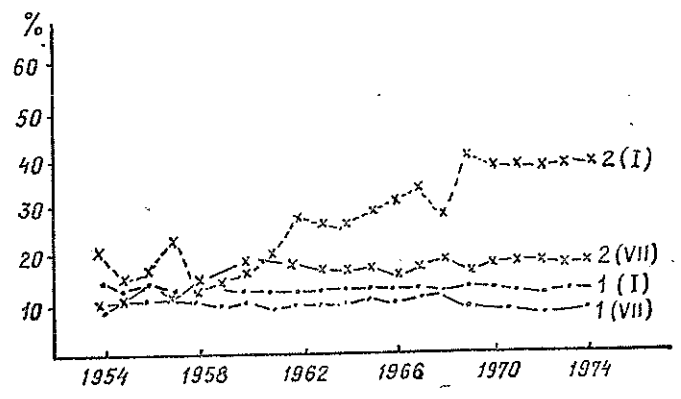


Рис. 7. Многолетний ход отношения $\Delta S_{\rm H_2O}$ (1) и $\Delta S_{\rm asp}$ (2) к интенсивности солнечной радиации, поступающей на верхнюю границу атмосферы.

от ориентации здания, его положения в застройке и окружающего ландшафта. При этом важны прежде всего суточные суммы прямой радиации, поскольку рассеянная радиация распределяется сравнительно равномерно и ее влияние на микроклимат помещений из-за ограниченной видимости небосвода несущественно. Влияние отраженной радиации зависит от альбедо окружающих зданий и поверхностей.

Прямая солнечная радиация, поступающая на стены зданий, была рассчитана по формулам, в которые входили средние месячные значения, отнесенные к 15-му числу каждого месяца: высота h_{\odot} и склонение солнца (δ_{\odot}), азимут солнца (A_{\odot}) и азимут нормали (A) к стене. Изменение соз h_{\odot} , sin A_{\odot} и соз A_{\odot} в пре-

делах часового интервала принималось линейным.

В табл. 5 представлено время начала и конца облучения прямой радиацией южных (северных стен) и время восхода и захода солнца. Время указано истинное солнечное. В зимний период время начала и конца облучения южных стен совпадает с восходом и заходом солнца. Летом начало облучения южных стен совпадает с концом облучения северных стен, и наоборот [45]. Северная стена инсолируется дважды в день — от восхода до начала инсоляции южной стены и от конца инсоляции южной стены до захода. Восточная стена инсолируется от восхода до полудня, западная — от полудня до захода солнца.

Из анализа табл. 6 и 7 следует, что зимой и в переходные месяцы большее количество тепла получают стены зданий, обращенные на юг и соседние с ним румбы (ЮЗ и ЮВ). Летом больше нагреваются стены, обращенные на восток, запад, юго-запад, юго-восток в связи с большой высотой солнца над горизонтом в полуденные часы, когда солнечные лучи проходят по касательной к стенам, развернутым на юг. В течение всего года восточные стены получают больше солнечной радиации, чем западные, в связи с

Таблица 5 Время начала и конца облучения прямой солнечной радиацией (ч мин) на 15-е число каждого месяца южных (северных) стен и время восхода и захода солнца ($\phi = 43^{\circ}14^{\circ}$)

	ī	11	1	H	1	v		v	v	I	v	11	V	111	1	x		<u> </u>	XI	XII
Восход Начало Конец Заход	20 40	44 16	_	90	6 17		7 16	25 35	7 16	00	7 16	43 17	7 16	00 05 53 00	6 17	13 47	17		7 08 16 52	

Таблица 6 Средние суточные суммы прямой радиации (МДж/м²), поступающей на вертикальные стены различной ориентации

Орнентация стены	1	11	111	IV	v	V1	IIV	VIII	ıx	х	ΧI	XII
IO	608	737	691	574	453	360	482	675	1006	1014	729	645
C	0	0	0	8	59	117	117	29	0	0	0	0
B	126	222	327	457	603	641	767	654	620	398	184	126
CB	4	25	84	193	344	423	482	318	210	71	8	0
3	138	226	293	385	503	499	666	616	541	344	172	138
C3	4	25	80	163	281	327	415	302	180	59	13	0
IO3	444	549	532	541	541	473	654	737	872	742	515	465
IOB	423	545	574	608	624	578	729	771	947	813	532	453

Таблица 7 Отношение (%) радиации, поступающей на различно ориентированные стены, к радиации, поступающей на южную стену

	T	,	, , , , , , , , , , , , , , , , , , , 				, ,,,,,,,,,,,,,,,,,,,,,,,,,,,,,,,,,,,,,	.Ozniliyi	o cien	y		
Ориентация стены	I	11	111	IV	V	VI	VII	V 111	ΙX	х	1X	XII
IO3 IOB B 3	0,73 0,70 0,20 0,23	0,30	0,77 0,83 0,47 0,42	0,94 1,06 0,80 0,67	1,38	1.78	1,36 1,59	1,09 1,14 0,96 0,91		0,73 0,80 0,39 0,34	0,71 0,73 0,25 0,24	0,72 0,70 0,20 0,21

несимметричностью относительно полудня загрязнения атмосферы в городе. На горизонтальную поверхность (землю, крыши) весь год поступает больше солнечной радиации, чем на вертикальные поверхности, исключая стены южной ориентации в зимнее время.

Годовые суммы прямой раднации (МДж/м²), поступающие на

стены зданий и горизонтальную поверхность в Алма-Ате, приведены ниже:

С	СВ	В	ЮВ	, IO	ЮЗ	3	C3	Горизонтальная поверхность
101	662	559	2313	2422	2158	1379	561	3323

Рассеянная радиация. Рассеянная радиация играет большую роль в радиационном режиме. В отличие от прямой она поступает на землю и при сплошном облачном покрове. Благодаря этому рассеянная радиация приобретает большое самостоятельное значение для жизни человека, животных и растений как фотоэнергетический источник.

Наблюдения над рассеянной радиацией в Алма-Ате начались в 1936 г. Ее регистрация велась с 1942 по 1954 г. и с 1966 г. по

настоящее время.

Основные закономерности суточного и годового хода интенсивности рассеянной радиации, относящиеся к условиям ясной погоды и для средних условий облачности, приводятся в табл. 8.

Подобно прямой радиации, интенсивность рассеянной радиации при ясном небе \hat{D}_0 имеет правильный суточный ход, зависящий от высоты солнца. Максимум D_0 наблюдается в полдень. В годовом ходе максимальная интенсивность рассеянной радиации $(0,16-0,17\ {
m kBt/m^2})$ отмечается в марте, когда на увеличение D_0 влияет наличие chera, а минимальная— в декабре. Рассеянная радиация, полученная при реальных условиях погоды, в 1,5-2,0 раза превышает D_0 .

Зависимость рассеянной радиации от массы атмосферы хорошо прослеживается по табл. З приложения, в которой приведена средняя интенсивность рассеянной радиации за 1942 гг., наблюдаемой в 13 различных моментах — истинный полдень и при шести симметрично расположенных с ним массах атмосферы. Из таблицы видно, что максимальные интенсивности рассеянной радиации во все месяцы приходятся на истинный пол-

В табл. 9 представлены средние часовые и суточные рассеянной радиации при ясном небе и при средних условиях облачности, полученные в результате обработки пиранограмм за 25-летний период (1942—1954, 1966—1977 гг.). Максимальные суммы рассеянной радиации наблюдаются в период наибольшей высоты солнца, минимальные — после восхода солнца и перед его заходом. Из табл. 9 видно, что облачность при достаточно больших высотах увеличивает рассеянную радиацию в 2,0—2,5 раза. При малых высотах солнца облачность, наоборот, уменьшает D. Следует заметить, что влияние облаков на рассеянную радиацию вообще очень разнообразно и зависит главным образом от типа облачности и ее распределения по небесному своду. Кривые рис. 8 характеризуют зависимость рассеянной радиации от типа облаков и высоты солнца. Значения D выбирались при количестве облаков каждого типа, равном 10 баллам.

Tаблица 8 Интенсивность рассеянной радиации (кВт/м²) при ясном небе и средних условиях облачности в разные часы суток

						J			p							
Месяц			_						Время	г, ч						
месяц	5	6	7	8	9	10	11	12	13	14	15	16	17	18	19	20
								Прия	сном н	ебе						
I III IV V VI VIII IX X XI XII	0,01 0,01 0,01	0,02 0,03 0,05 0,03 0,02 0,01	0,02 0,06 0,07 0,07 0,07 0,06 0,03	0,01 0,02 0,07 0,09 0,09 0,09 0,08 0,09 0,07 0,05 0,02 0,01	0,05 0,08 0,12 0,13 0,10 0,10 0,10 0,09 0,08 0,06 0,03	0,08 0,12 0,13 0,14 0,12 0,12 0,12 0,12 0,12 0,10 0,08 0,06	0,09 0,14 0,16 0,16 0,13 0,12 0,12 0,13 0,13 0,13 0,12 0,10 0,08	0,10 0,15 0,17 0,16 0,13 0,12 0,12 0,13 0,14 0,13 0,10 0,09	0,10 0,15 0,17 0,16 0,13 0,12 0,12 0,14 0,13 0,13 0,12 0,09	0,09 0,14 0,16 0,16 0,13 0,12 0,12 0,13 0,13 0,13 0,10 0,09	0,08 0,12 0,15 0,15 0,13 0,12 0,12 0,12 0,12 0,09 0,08	0,05 0,08 0,13 0,13 0,13 0,10 0,12 0,12 0,10 0,09 0,06 0,05	0,01 0,03 0,08 0,10 0,10 0,09 0,10 0,09 0,09 0,06 0,02 0,01	0,03 0,07 0,08 0,07 0,08 0,07 0,02 0,01	0,02 0,05 0,05 0,05 0,05 0,02	0,01 0,01 0,01
						Пр	н ср е д	них ус.	ловиях	облач	пости			•		
I III IV V VI VIII VIII IX X XI XII	0,01 0,01	0,01 0,03 0,05 0,05 0,05 0,02	0,02 0,06 0,09 0,09 0,09 0,07 0,03 0,01	0,01 0,05 0,08 0,12 0,14 0,14 0,13 0,12 0,08 0,05 0,05 0,02 0,01	0,06 0,09 0,14 0,17 0,17 0,17 0,16 0,14 0,12 0,09 0,06 0,05	0,10 0,15 0,19 0,21 0,22 0,20 0,19 0,16 0,15 0,12 0,09 0,08	0,14 0,19 0,21 0,23 0,24 0,23 0,20 0,19 0,17 0,14 0,13 0,12	0,16 0,22 0,24 0,26 0,24 0,21 0,21 0,20 0,17 0,15 0,14 0,13	0,16 0,22 0,23 0,26 0,26 0,24 0,21 0,21 0,19 0,16 0,14 0,14	0,14 0,20 0,22 0,23 0,24 0,23 0,21 0,19 0,17 0,15 0,13 0,12	0,10 0,16 0,19 0,21 0,22 0,22 0,19 0,16 0,15 0,13 0,09 0,08	0,06 0,10 0,14 0,16 0,19 0,19 0,16 0,15 0,13 0,09 0,06 0,05	0,01 0,05 0,08 0,12 0,14 0,15 0,14 0,12 0,09 0,05 0,02 0,01	0,02 0,06 0,09 0,10 0,09 0,07 0,03 0,01	0,01 0,03 0,05 0,05 0,05 0,02	0,01 0,01

Таблица 9 Средние многолетние часовые и суточные суммы рассеянной радиации $[MДж/(м^2 \cdot 10^{-2})]$ при ясном небе и средних условиях облачности

							********	Врем	я, ч								
Месяц	5	6	7	8	9	10	11	12	13	14	15	16	17	18	19	20	Сут- ки
-							При	ясн	ом не	ебе							
I II III IV V VI VIII VIII X X X X X X X	4 4 4	8 13 17 13 8 4	8 21 25 25 25 25 21 13	4 8 25 34 34 29 34 25 17 8	17 29 42 46 38 38 38 38 34 29 21 13	29 42 46 50 42 42 42 42 42 29 21	34 50 59 59 46 42 46 46 42 38 29	38 54 63 59 46 42 42 46 50 46 38 34	38 54 63 59 46 42 42 50 46 46 42 34	34 50 59 59 46 42 46 46 46 38 34	29 42 50 50 46 42 42 46 42 34 29	17 29 46 46 46 38 42 42 38 34 21	13 29 38 38 34 38 34 34 21 8	13 25 29 25 29 25 29 25 8 4	8 17 17 17 17 8	4 4 4	244 371 503 562 520 488 491 486 428 365 277 219
					При	cpe,	дних	у́сло	виях	обл	ачнос	ти					
IIIIIIV V VIIIVIIIIV X X XIXIXXII	4 4	4 13 17 17 8	8 21 34 34 34 25 13 1	17 29 42 50 50 46 42 29 17 8 4	21 34 50 63 63 63 59 50 42 34 21	38 54 67 75 80 71 67 59 54 42 34 29	50 67 75 84 88 84 71 67 63 50 46 42	59 80 88 92 88 75 71 63 54 50 46	59 80 84 92 92 88 75 75 67 59 50	50 71 80 84 88 84 75 67 63 54 46 42	38 59 67 75 80 80 67 59 54 46 34 29	21 38 50 59 67 67 59 54 46 34 21	17 29 42 50 54 50 42 34 17 8	8 21 34 38 34 25 13 4	4 13 17 17 6	444	344 517 635 758 840 843 754 652 541 412 318 280

Tаблица~10 Средние месячные и годовые суммы солнечной радиации (МДж/м²) и их процентное отношение. 1942—1975 гг.

Характе- ристика	1	11	11 1	ſΥ	v	VI	VIΙ	IIIV	IX	х	ΧI	XII	Год
D S' Q D/S' D/Q D/Q (no Hon- todaycy)	109 80 189 137 58 45	142 109 251 131 57 41	193 172 365 112 53 42	214 272 486 78 44 39	256 377 633 68 40 39	239 444 683 54 35 38	222 511 733 43 30 37	197 448 645 44 31 37	159 339 498 47 32 38	130 210 340 62 38 41	96 101 197 95 49 42	80 67 147 119 54 49	2037 3130 5167 65 39 41

Облака нижнего яруса (Ns, Cb) увеличивают рассеянную радиацию незначительно, среднего и верхнего ярусов — много больше.

Из табл. 10, где приведены месячные и годовые суммы рассеянной, суммарной и прямой радиации на горизонтальную поверх-

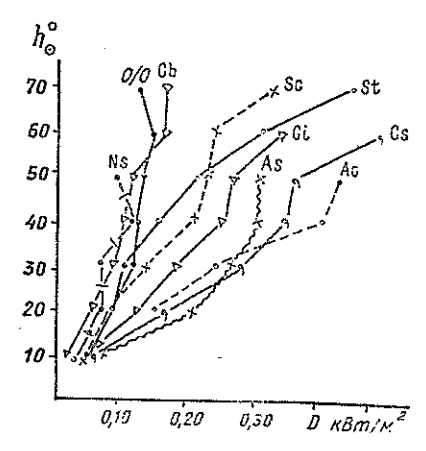


Рис. 8. Зависимость рассеянной радиации D от высоты солица h_{\bigodot} при разных типах облаков.

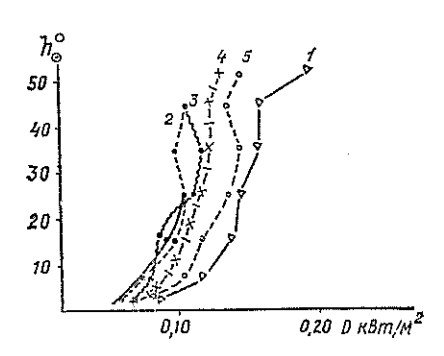


Рис. 9. Зависимость рассеянной радиации D от фактора мутности атмосферы T при разных высотах солнца h_{\odot} .

1) T=1,0...2,0; 2) T=2,1...2,5; 3) T=2,6...3,0; 4) T=3,1...3,5; 5) T=3,6...4,0.

ность и отношение рассеянной к прямой и суммарной, видно, что рассеянная радиация преобладает в зимнее время над прямой и составляет 45—80 % прямой радиации на горизонтальную поверхность летом. Доля рассеянной радиации в суммарной колеблется от 30—40 % летом до 50—60 % зимой, составляя в среднем за год 39 %.

Загрязнение атмосферы города снижает рассеянную радиацию в зимний период и несколько повышает ее летом, что хорошо видно из табл. 11 и табл. 4 приложения, где представлены по периодам месячные и суточные суммы рассеянной радиации.

. $\it Tаблица~11$ Месячные суммы рассеянной радиации (МДж/м²) за разные периоды

Период, годы	1	11	111	ΙV	V	IV	ΝΙΙ	VIII	ΙX	х	ıx	IIX	Год
1942—1954 1966—1977 1942—1977	119 103 111	156 136 146	202	228	244 273 259	257	244	186 208 197	139 173 156	121 133 127	99 92 96	96 82 89	2011 2131 2072

На рис. 9 представлена зависимость рассеянной радиации от фактора мутности атмосферы (T). С увеличением загрязнения атмосферы в Алма-Ате рассеянная радиация растет при всех высотах солнца. Характер зависимости D от T различен в каждом из пунктов наблюдений. Такое расхождение вызывается тем, что в отдельных пунктах поглощение и рассеяние солнечной радиации играют разную роль в общем ослаблении D [45]. Рост рассеянной радиации с увеличением фактора мутности происходит в пунктах, где рост помутнения атмосферы связан с рассея-

нием. Таким образом, увеличение рассеянной радиации с ростом фактора мутности в Алма-Ате может быть объяснено преобладанием сухих аэрозолей. По увеличению D можно заключить и об увеличении количества аэрозолей в атмосфере. При возрастании коэффициента прозрачности в два раза, эквивалентном примерно удвоению содержания аэрозоля, рассеянная радиация увеличивается на 70 %.

Из всего сказанного следует, что в зависимости от условий облачности и прозрачности атмосферы значения рассеянной радиации сильно колеблются ото дня ко дню. Диапазон изменения суточных сумм D в летнее время много шире, чем зимой. Наибольшей изменчивостью обладают дневные суммы рассеянной радиации в мае, когда они могут достигать $16~MДж/м^2$. Зимой значения D колеблются в основном в пределах $1,6-5,0~MДж/м^2$.

В табл. 12 приводятся максимальные и минимальные дневные суммы рассеянной радиации за период 1966—1976 гг. Из анализа данных таблицы следует, что основными постоянно действующими факторами, определяющими суточные суммы рассеянной радиации, являются высота солнца и продолжительность дня. Именно этим объясняется то, что максимальные суточные суммы D имеют наименьшие значения в декабре, а наибольщие — в мае—июне.

Tаблица 12 \cdot Экстремальные дневные суммы рассеянной радиации [МДж/(м² \cdot сут)]. 1966—1976 гг.

Месяц	D _{макс}	Год	$D_{ m MHH}$	Год	Месяц	D _{макс}	Год	Дмин	Год
I	545	1970	155	1968	VII	1311	1974	423	1973
II	817	1976	210	1976	VIII	1102	1967	398	1972
III	997	1976	243	1973	IX	926	1967	281	1969
IV	1207	1972	306	1974	X	721	1966	180	1975
V	1483	1976	381	1973	XI	541	1971	117	1976
VI	1437	1967	423	1975	XII	419	1974	105	1968

Суммарная радиация состоит из прямой и рассеянной, приход которых определяется астрономическими факторами (высотой солица над горизонтом и продолжительностью дня), а также облачностью, прозрачностью атмосферы и характером подстилающей поверхности.

Суммарная радиация измеряется открытым для действия солнечных лучей пиранометром. Соединяя пиранометр с гальванографом, можно получить непрерывную регистрацию суммарной радиации. В работе использованы как данные срочных наблюдений, так и имеющиеся пиранограммы начиная с 1941 г. по настоящее время.

В табл. 5—6 приложения приведены интенсивности суммарной радиации для условий ясного неба и при средних условиях облачности за периоды 1941—1954 и 1966—1976 гг. Суммарная ра-

диация имеет правильный суточный ход с максимумом в полуденные часы (12-13 ч) во все месяцы. В годовом ходе наибольшие интенсивности наблюдаются летом (1,08 кВт/м²). Средний многолетний полуденный максимум в мае также высок (1,07 кВт/м²). В течение всего года интенсивности суммарной радиации распределены несимметрично относительно полудия. Послеполуденные значения Q превышают соответствующие дополуденные значения. Это явление характерно для многих городов [16] и не является случайным. Оно объясняется ростом рассеянной радиации во второй половине дня, связанным с некоторым преобладанием в это время повторяемости хорошо рассеивающих радиацию облаков (Ci, Ac, As, Cu) [16], а также с увеличением загрязнения атмосферы города.

При анализе интенсивности суммарной радиации при ясном небе (табл. 5 приложения) четко выявляется уменьшение общего прихода солнечной радиации к поверхности земли за второй период по сравнению с первым. Во все зимние месяцы и в переходные сезоны, а также летом в утренние и вечерние часы (при больших массах атмосферы) интенсивность суммарной радиации понижена на 2—40 % в зависимости от времени суток. Аналогичная картина наблюдается и при анализе данных табл. 6 при-

ложения.

Наряду с интенсивностью суммарной радиации для характеристики радиационного режима необходимо рассмотреть суммы тепла, поступающие к поверхности земли за счет суммарной радиации.

В табл. 7 приложения приведены возможные суточные суммы тепла, поступающие на каждый квадратный метр горизонтальной поверхности при ясном небе и хорошей прозрачности атмо-

сферы.

В табл. 8—9 приложения представлены средние многолетние часовые суммы суммарной раднации, вычисленные, как и интенсивности, при ясном небе и средних условиях облачности. Анализ данных табл. 8 приложения показал, что в период 1941-1954 гг. облачность снижала поступление тепла на горизонтальную поверхность в зимние и переходные месяцы, а также в утренние и вечерние часы теплого периода (апрель-июль). Начиная же с 8 ч утра летом, когда высота солнца достаточно большая, и до 16 ч дня наличие облаков увеличивало суммарную радиацию за счет роста рассеянной раднации. В 60-70-х гг. картина иная: весь год наблюдалось преобладание сумм Q при ясном небе над аналогичными суммами, полученными при средних условиях облачности. Некоторый рост рассеянной радиации не может компенсировать уменьшения прямой, вызванного суммарным эффектом облачностью и загрязнением атмосферы. Такое заключение находится в согласии с выводом М. Е. Берлянда и др. [16] о том, что «в целом по стране за 1960—1970 гг. преобладает тенденция к возрастанию рассеянной и убыванию прямой радиации. При этом несколько уменьшается и суммарная раднация».

В годовом ходе средние месячные суммы суммарной радиации имеют максимум (725 МДж/м²) в июле, минимум (126 МДж/м²) в декабре (суммы Q приведены за период 1966—1975 гг.)

Месяц. . . I II III IV V VI VII VIII IX X XI XII Год Q МДж/м 2 163 226 344 469 628 687 725 645 478 318 176 126 4985 Такой характер годового хода сумм Q обусловлен годовым ходом высоты солнца и продолжительностью светлой части суток.

Исследованиями С. М. Горленко, Н. Н. Калитина и М. Е. Берлянд [16, 24, 29] установлено, что суммарная радиация является сравнительно устойчивой величиной и относительно мало меняется от года к году [45]. Из рис. 10 видно, что между крайними значениями месячных сумм наблюдаются разности, составляющие летом 180 МДж/м², а зимой 50 МДж/м².

Сезонное распределение сумм Q характеризует климатическую роль суммарной радиации. В табл. 13 представлены суммы тепла по сезонам для Aлма-Aты и некоторых других пунктов СССР,

близких к ней по широте [45].

Облачность является основным фактором, влияющим на суммарную радиацию как в сторону ее увеличения, так и особенно в сторону ее уменьшения; причем это влияние очень разнообразно. Оно зависит от количества облаков, их формы, положения на небесном своде, высоты солнца над горизонтом. Чем больше высота солнца, тем больше сумма суммарной радиации (рис. 11) при количестве облаков одного типа, равном 10 баллам. Особенно сильно растет Q при облаках верхнего яруса (Сi, Cs).

Таблица 13 Распределение абсолютных и относительных значений суммарной радиации $(M \, \Box_{m})$ по сезонам и за год

Станция	Зима	Весна	Лето	Осень	Год
Алма-Ата	524 (10,4)	1441 (28,9)	2057 (41,2)	972 (19,5)	4994
Тбилисн	566 (11,2)	1487 (29,4)	2024 (40,0)	980 (19,4)	5057
Ташкент	553 (9,7)	1559 (27,3)	2430 (42,6)	1165 (20,4)	5707
Қарадаг	461 (9,2)	1504 (30,0)	2108 (42,0)	943 (18,8)	5016

Примечание. В скобках приведен процент от годовой суммы.

Зависимость суммарной радиации от фактора мутности атмосферы T при разных высотах солнца представлена на рис. 12. Значение суммарной радиации тем меньше, чем больше фактор мутности (т. е. чем более загрязнена атмосфера) при одной и той же высоте солнца.

Радиационный баланс подстилающей поверхности равен разности поглощенной суммарной радиации и эффективного излучения. Общее уравнение радиационного баланса имеет вид

$$B = (S' + D - R) - (E_3 - E_a) = Q(1 - A) - E_{a\phi},$$

где S' — прямая солнечная радиация на горизонтальную поверхность; D — рассеянная радиация; A - aльбедо полстилающей поверхности; Q(1-A) — поглощенная радиация: $E_{\rm a}$ — собственное излучение подстилающей поверхности; E_a — встречное излучение атмосферы, поглощенное подстилающей поверхностью; $E_{\mathfrak{s}\mathfrak{h}}$ — эффективное излучение подстилающей поверхности.

Закономерности изменения радиационного баланса определяются различными факторами, влияющими на ее основные составляющие.

Ночью значение радиационного баланса, определяемое только эффективным излучением, за-

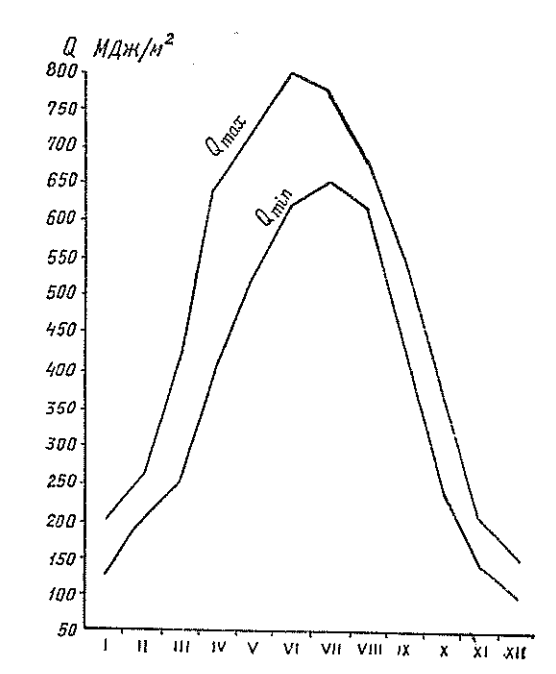


Рис. 10. Годовые изменения экстремальных месячных сумм суммарной радиации Q.

висит от температуры подстилающей поверхности, облачности, стратификации атмосферы.

Днем основной составляющей радиационного баланса является суммарная радиация, поэтому определяющими факторами становятся высота солнца, облачность и альбедо подстилающей поверхности, т. е. радиационный баланс днем зависит в основном от поглощенной радиации, которую можно вычислить по формуле: $B_{\kappa} = Q(1-A)$ (см. табл. 10 приложения).

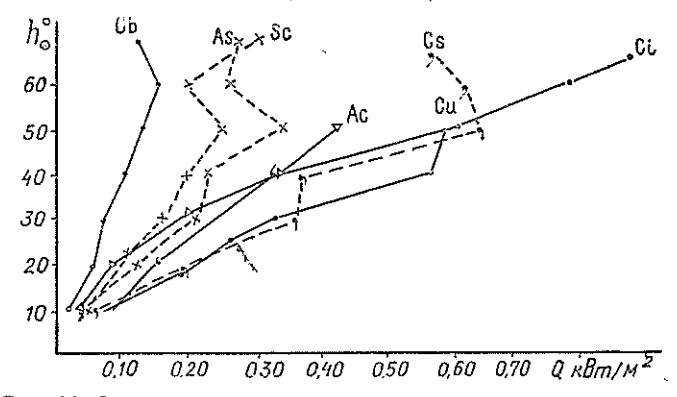


Рис. 11. Зависимость суммарной радиации Q от высоты солица $h_{\mathbb{O}}$ при разных типах облаков.

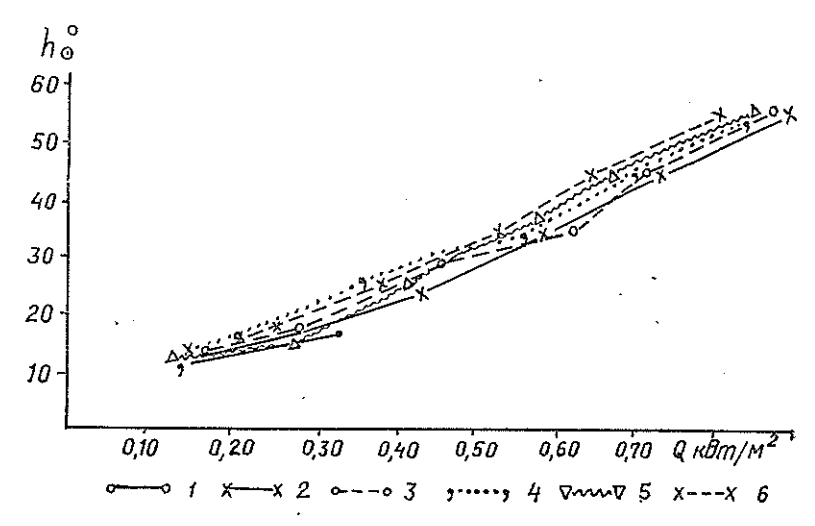


Рис. 12. Зависимость суммарной радиации Q от фактора мутности атмосферы T при разных высотах солнца h_{\odot} .

1) T=1,0...2,0; 2) T=2,1...2,5; 3) T=2,6...3,0; 4) T=3,1...3,5; 5) T=3,6...4,0; 6) T=4,1...5,0

В табл. 14 помещены суммы положительного B_{+} (за дневное время) и отрицательного B_{--} (за ночное время) баланса на каждый месяц. Эти характеристики могут быть использованы для оценки процессов, имеющих наибольшее развитие в ночное или дневное время (нагревание, выхолаживание, испарение и т. д.). Алгебраическая сумма B_{+} и B_{-} составляет месячную сумму радиационного баланса В. Годовой ход радиационного баланса повторяет в основном ход суммарной радиации. Максимальное значение радиационного баланса приходится на июнь-июль, минимум отмечается в декабре—январе. В зимние месяцы месячные суммы радиационного баланса значительно варьируют в зависимости от наличия или отсутствия снежного покрова. Экстремальные знамесячных сумм радиационного баланса приведены чения табл. 15.

Суточный и годовой ход часовых и суточных сумм радиационного баланса представлен табл. 10 приложения.

В течение ночи радиационный баланс отрицателен и мало меняется. Переход баланса от отрицательных значений к положительным происходит в среднем через один час после восхода солнца при отсутствии снежного покрова и через полтора часа при его наличии. Затем радиационный баланс увеличивается с ростом высоты солнца и достигает максимальных значений в околополуденные часы. После полудня радиационный баланс уменьшается в соответствии с высотой солнца. Переход от положительных значений к отрицательным происходит в среднем за полтора часа до захода солнца как при отсутствии, так и при наличии сиежного покрова. В отдельные годы и месяцы в зависимости от

Tаблица 14 Средние месячные и годовые суммы солнечной радиации $(M \Pi_{XK}/M^2)$ и альбедо (%) при средних условиях облачности. 1955—1975 гг.

Характе- ристика	ı	11	111	ΙΛ	v	VI	ΛII	AIII	IX	х	1%	XII	Год
S S' D Q R K B B B + B A	235 84 96 180 105 75 —17 29 —46 58	122 113 21 63 —42	155 193 348 96 252 130 168	390 260 226 486 84 402 251 285 —34	511 356 268 624 117 507 343 377 -34 19	649 457 243 700 134 566 398 423 —25	700 490 235 725 138 587 398 432 -34 19	654 440 205 645 122 523 306 352 —46 19	515 314 163 477 96 381 188 247 —59 20	377 197 130 327 67 260 96 155 —59 21	247 96 88 184 59 125 9 63 —54	180 59 75 134 63 71 -17 29 -46 49	4944 3009 2056 5065 1203 3862 2106 2623 517 29

Tаблица 15 Экстремальные месячные суммы радиационного баланса (МДж/м²). 1965—1975 гг.

	1	11	111	IV	v	ΙV	ııv	VIII	ΙX	x	ıxı	XII
$B_{ m make}$ Год	13 1963	84 1963	189 1974	314 1975	394 1961	461 1971	436 1958	373 1960	230 1963	126 1964		8 1969
$B_{ ext{min}}$ Год	42 1973	—13 1972, 1973		180 1958	260 1960	352 1967	348 1959	277 1966	151 1968	54 1968	1971 —17 1966	—46 1974

условий облачности может отмечаться сдвиг максимума и изменение времени перехода радиационного баланса через нулевое значение.

Изменение интенсивности раднационного баланса и эффективного излучения при разных формах облачности иллюстрируется табл. 11 и 12 приложения, в которых приведена средняя интенсивность раднационного баланса и эффективного излучения в сроки 0 ч 30 мин, 12 ч 30 мин среднего солнечного времени при безоблачном небе и основных формах облачности.

Естественная освещенность. Основной характеристикой светового режима является освещенность горизонтальной поверхности. За единицу освещенности принимается люкс.

Естественная суммарная освещенность E_Q при безоблачном небе или частичной облачности складывается из прямой освещенности E_S , создаваемой непосредственно лучами солица, и рассеянной освещенности E_D , поступающей от небесного свода и отраженной земной поверхностью: $E_Q = E_S + E_D$. При пасмурном небе суммарная освещенность равна рассеянной.

Суточный ход суммарной и рассеянной освещенности для каждого месяца представлен в табл. 16. Как видно из таблицы, в

Tаблица 16 Суточный ход суммарной E_Q и рассеянной E_D освещенности (тыс. лк). 1956—1975 гг.

Среднее сол- нечное время, ч мин	I	II	111	IA	v	ıv	VII	VIII	IX	х	ıx	XII
			C	уммар	ная о	свеще	ность					
6 30 9 30 12 30 15 30 18 30	15,6 28,4 7,3	22,5 38,6 15,1	34,0 47,2 21,3	9,8 48.5 59,7 30,2	19,3 60,8 68,2 39,2 3,6	23,1 67,4 78,0 45,6 6,7	20,5 67,8 80,7 50,2 6,6	14,2 61,5 75,4 43,1	6,0 51,6 63,6 30,1	35,7 44,3 16,4	21,6 29,3 5,4	13,7 22,2 3,7
		,	P	ассеян	ная о	св е щеі	ность	i		*		
6 30 9 30 12 30 15 30 18 30	10,8 18,3 6,2	15,0 23,2 11,5	21,2 27,7 15,6	7,1 23,3 28,9 18,6	10,7 25,7 20,7 21,3 3,4	11,1 24,1 28,3 19,9 5,3	10,1 21,9 25,1 20,2 5,2	7,9 19,8 24,1 17,6	4,9 18,8 22,1 14,9	15,4 18,9 9,4	11,8 15,0 4,6	9,2 14,3 3,6

зимние месяцы в связи с загрязнением атмосферы суммарная освещенность в 1966—1975 гг. уменьшилась по сравнению даже с предшествующим десятилетием (1956—1965 гг.) на 5—10 %.

Интенсивность и месячные суммы суммарной и рассеянной освещенности (табл. 17—19) можно получить по интенсивности и месячным суммам суммарной и рассеянной радиации, используя световой эквивалент (k)

$$E_Q = Qk_Q; \quad E_D = Dk_D.$$

Таблица 17

Средние месячные суммы суммарной E_Q и рассеянной E_D освещенности (тыс. лк $\cdot 10^4$)

Характерис- тика	1	II	111	V1	V	17	11.0	AIII	IX	х	1X	XII
$E_Q \ E_D$	28	38	59	81	107	121	125	110	82	55	31	22
	19	25	37	42	50	47	45	40	32	25	17	15

Таблица 18

Изменение месячных сумм суммарной E_Q и рассеянной E_D освещенности за два десятилетия (1955—1965, 1966—1975 гг.) в долях единицы от E_Q , E_D за 1966—1975 гг.

Характерис- тика	I	11	111	ĪV	v	VI	IIV	VIII	ΙX	х	ΧI	11.X
$\Delta E_Q \ \Delta E_D$	0,90 1,06					0,98 1,07						

Таблица 19
Годовой ход коэффициентов вариации (%) от многолетних значений суммарной и рассеянной освещенности для отдельных месяцев

Время, ч мин	1	11	1111	IV	v	ΙV	VII	VIII	ıx	х	ıx	IIX
	·	1	C	уммар	ная о	свеще	ность)	<u> </u>	ļ	<u> </u>	<u> </u>
6 30 9 30 12 30 15 30 18 30	19 15 14	12 11 12	17 17 21	12 16 15 15	10 6 10 13 13	11 7 9 8 8	5 5 8 8	9 5 6 5 15	12 7 7 7	11 12 12	9 10 14	13 15 14
			P:	ассеян	ная о	св е ще	' ННОСТЕ	•			ı	I
6 30 9 30 12 30 15 30 18 30	13 13 14	13 13 11	13 11 14	11 12 11 10	10 14 11 11 12	17 13 9 6 10	7 11 10 7 10	3 13 6 10 16	10 12 10 13	11 9 7	8 13 12	11 7 13

В табл. 20 приведены световые эквиваленты для расчета интенсивности и месячных сумм освещенности.

Tаблица 20 Cветовой эквивалент суммарной $E_{\mathcal{Q}}$ и рассеянной $E_{\mathcal{D}}$ радиации

Время суток	I	11	111	IV	v	VI	NII	AIII	IX	X	1X	XII
					E	2	·			<u>. </u>		1
День Утро, вечер	68	68	69	70 65	71 64	71 68	71 67	71 64	70	68	68	69
Сумма за месяц	67	67	70	71	69	70	71	70	70	70	68	69
					$E_{\mathcal{I}}$,					-	•
День Утро, вечер	77	76	77	77 79	77 80	77 75	78 76	79 79	78	77	78	75
Сумма за месяц	78	77	77	76	77	77	77	80	79	80	80	78

3. ОСОБЕННОСТИ АТМОСФЕРНОЙ ЦИРКУЛЯЦИИ

Атмосферная циркуляция является одним из основных климатических факторов образования климата. Общая циркуляция атмосферы создается под влиянием радиационных условий и особенностей подстилающей поверхности.

На территорию Казахстана поступают воздушные массы различного происхождения: арктические, полярные (массы умеренных широт) и тропические. Арктические воздушные массы приходят из Гренландии и сибирского сектора Арктики, умеренные (полярные) формируются над Атлантикой, Европой и Западной Сибирью, а тропические поступают со Средиземного моря, из Северной Африки и Ирана. В летнее время тропический воздух формируется непосредственно над территорией Казахстана, становясь местной воздушной массой.

Город Алма-Ата расположен на юго-востоке Казахстана в предгорьях хребта Заилийский Алатау. По принятой классификации Б. П. Алисова [2] предгорный район относится к северной климатической области территории среднеазиатских республик.

Анализ атмосферных процессов показал, что в среднем за год на юго-востоке Казахстана наблюдается антициклонов 10 %, циклонов 6 %, малоградиентных барических образований 22 %, гребней 32 %, ложбин 18 %, волновых возмущений 12 % (табл. 21).

 Таблица 21

 Распределение барических образований на юго-востоке Қазахстана по сезонам

	Зима		Bec	на	Лето		Осень		Год		
Барическое образование	n	n	n	<u></u>	n	<u></u>	n	<u></u>	n		%
Антициклон Гребень Малоградиентное бариче-	77 528 17	8 53 2	98 235 206	10 24 21	95 48 397	9 5 40	102 313 180	10 31 18	371 1124 800	37 112 80	10 32 22
ское образование Циклон Ложбина Волновые процессы	58 132 91	6 13 9	64 170 147	6 17 15	68 182 130	7 18 13	42 159 114	4 14 1 1	232 643 482	23 64 48	6 18 12
Bcero	903		920]	920	}	910		3653		

Примечание. n — число случаев с конкретным барическим образованием за период 1960—1969 гг., n — среднее за год.

В зимний период отмечается влияние отрога сибирского антициклона (рис. 13). Он пересекает полосой повышенного давления территорию Казахстана с востока на запад и иногда соединяется с восточным отрогом азорского максимума. При этом наблюдается устойчивая ясная погода, продолжительные и глубокие температурные инверсии. Повторяемость приземных инверсий зимой составляет 80—95 % в месяц.

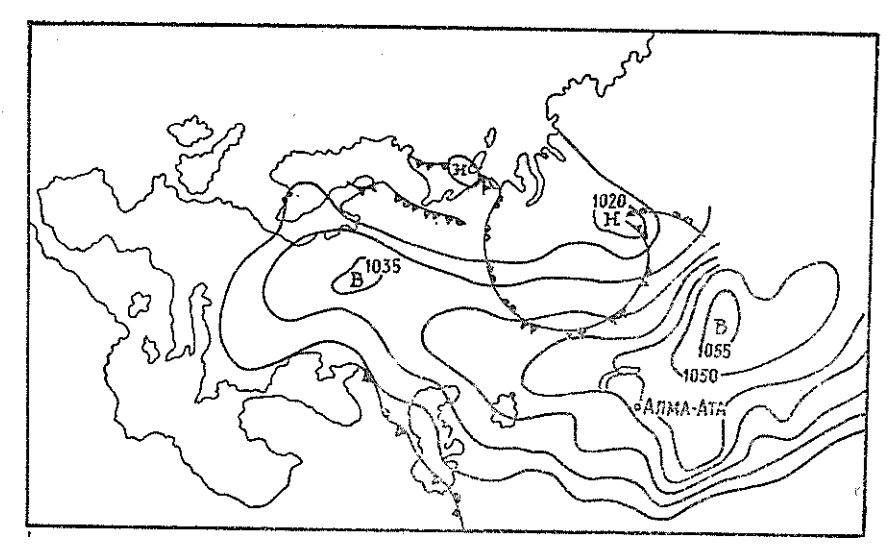


Рис. 13. Карта погоды за 3 ч 11 января 1969 г. Отрог сибирского антициклона.

Другой особенностью зимней циркуляции являются периодические разрушения отрога сибирского антициклона выходами южных циклонов. Выходы южных циклонов сопровождаются осадками, гололедом, резким повышением температуры воздуха. Общее число случаев выхода южных циклонов на территорию Алма-Атинской и Талды-Курганской областей составило в среднем 10 случаев за зиму (рис. 14). Циклонические прорывы через юг Средней Азин из Ирана и Афганистана сопровождаются вторжениями теплого тропического пранского воздуха. Это так называемые южнокаспийские, мургабские и верхнеамударьинские циклоны. С ними связана теплая погода в зимнее время. Южнокаспийские циклоны формируются над южной частью Каспийского моря. Мургабские циклоны формируются над югом Туркмении, бассейнами рек Мургаб и Теджен. Верхнеамударьинскими названы циклоны, развивающиеся над Таджикистаном в виде неглубокой области пониженного давления. Южные циклоны вызывают существенные изменения погоды: резкие потепления, осадки, гололед, ураганные ветры. Подробное описание опасных явлений погоды в юго-восточном районе Казахстана дано в [36].

По смене комплекса метеорологических процессов апрель можно считать переходным месяцем от холодного периода к теплому. В течение апреля северо-западные вторжения наблюдаются 5—7 раз.

Весенняя циркуляция (апрель—май) отличается от зимней тем, что в это время наблюдается постоянное чередование арктических и тропических вторжений. Выражается это в сравнительно коротких периодах теплых и холодных вторжений с последующим

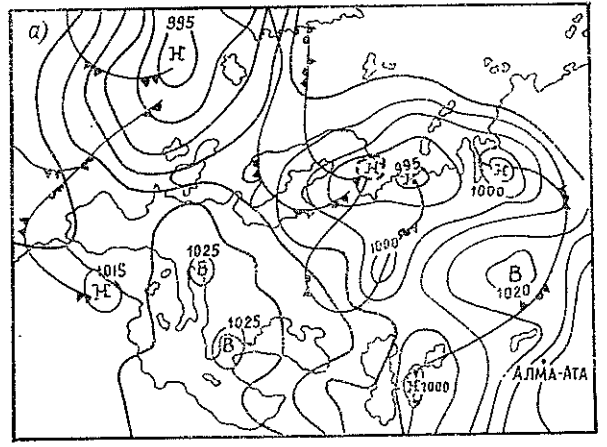
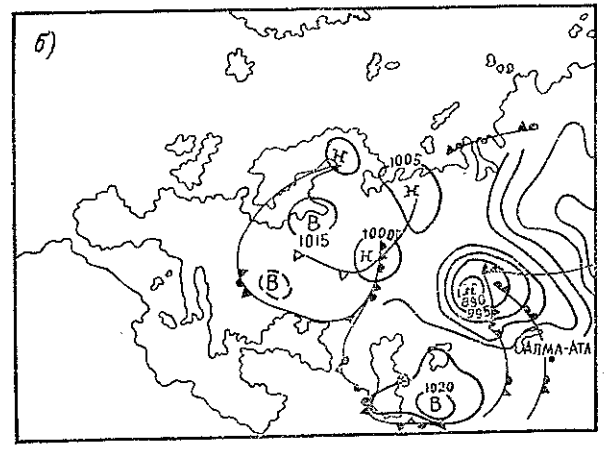


Рис. 14. Карта погоды за 3 ч 11 февраля 1975 г. (а) и за 3 ч 12 февраля 1975 г. (б). Выход южного циклона



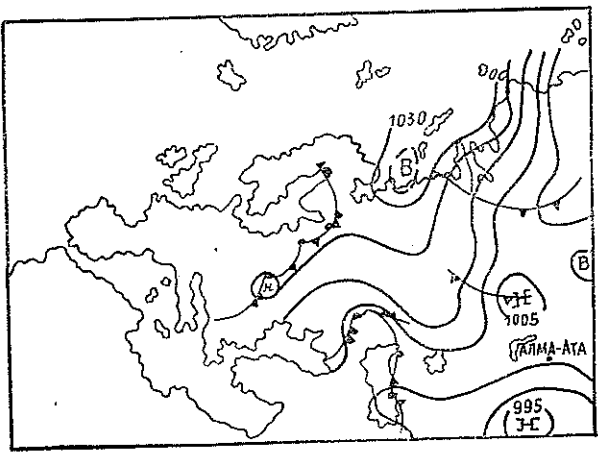


Рис. 15. Карта погоды за 3 ч 1 июля 1977 г. (депрессия).

развитнем антициклонического поля. Продолжительность существования таких полей не более пяти дней, в редких случаях — десять. Максимум осадков наблюдается в апреле—мае. Весной наиболее низкие температуры у земли и в нижних слоях тропосферы отмечаются в массах арктического воздуха и воздуха умеренных широт сибирского происхождения, а наиболее высокие — в массах тропического воздуха. При смене воздушных масс в моменты прохождения фронтов увеличивается амплитуда суточного колебания температуры воздуха. В течение всей весны возможны заморозки.

В летнее время над Казахстаном устанавливается противоположный зимнему барический фон, который характеризуется возникновением размытой области низкого давления с хорошо выраженной циклонической циркуляцией в нижней тропосфере при

безоблачной сухой и жаркой погоде.

Термическая депрессия отмечается только в теплое время года (рис. 15). От обычных циклонов она отличается отсутствием фронтов, малоподвижностью. В летний период термическая депрессия наблюдается примерио в 40 случаях. Из воздушных масс наиболее часты массы умеренных широт, туранский и иранский тропический воздух. Проходящие атмосферные фронты часто вызывают только кратковременные усиления ветра и пыльные бури. Иногда при прохождении холодных фронтов наблюдаются грозы и ливни.

Осень относится к теплому времени года. Вторжения осенью бывают реже и слабее, чем весной. В сентябре и октябре на юге Казахстана стоит пренмущественно малооблачная сухая погода. В сентябре отмечается формирование сибирского антициклона и его западного отрога. Первые осенние заморозки обычно наблюдаются в начале октября. Однако самые ранние заморозки воз-

можны уже в середине сентября.

Характерными особенностями местных синоптических процессов, обусловленных местоположением Алма-Аты, являются волновые возмущения в предгорных районах. Процесс волнообразования возникает при северных вторжениях небольшой вертикальной мощности. С ним связана облачная с осадками погода, которая держится на юго-востоке Казахстана 2—3 дня подряд, иногда до 7 дней. Волнообразование в предгорных районах отмечается круглый год, но чаще в весенний период.

Подробное изучение циркуляционных процессов над Казахстаном было сделано М. Х. Байдалом [12]. Ими были выявлены климатические волны тепла и холода, связанные с типами циркуляции. Вероятность климатических волн холода и тепла в многолетнем годовом ходе представлена в табл. 22. Из таблицы видно, что наибольшую повторяемость имеют волны холода 21—25 марта, 7—16 июля и 19—26 сентября. Волны тепла наблюдаются 24 ян-

варя—2 февраля, 12—20 марта, 1—6 нюня, 18—21 нюля.

Для Алма-Аты характерен режим местных периодических ветров, называемых горно-долинными. Горные массивы и меридиональные речные долины создают характерные местные условия, при которых ночью с гор дует прохладный ветер ледников, а днем

Tаблица 22 Вероятность P (%) основных климатических волн холода и тепла в Алма-Ате

	Волиь	холода			Волны	тепла	
период	P %	период	P %	период	P %	пернод	P %
1-4 I 19-23 I 3-6 II 28 II-7 III 21-25 III 19-23 IV 11-15 V 19-21 VI 7-16 VII	57 58 58 61 63 58 60 57 65	30 VIII—4 IX 19—26 IX 8—16 X 1—7 XI 25—29 XI 12—21 XII 27—30 XII Средняя	57 63 55 57 57 55 61 57 59	12—17 I 24 I—2 II 20—27 II 12—20 III 11—17 IV 3—10 V 23—28 V 1—6 VI 18—31 VII	60 71 60 69 67 60 62 71 69	4—12 VIII 24—28 VIII 11—16 IX 29 IX—7 X 17—25 X 18—24 XI 1—10 XII 24—26 XII Средняя	59 61 63 63 55 61 65 59 63

в горы поднимается нагретый воздух из долины. Горно-долинная циркуляция характерна для антициклонической погоды или условий термической депрессии с незначительными горизонтальными барическими градиентами.

3.1. Атмосферное давление

От распределения атмосферного давления у земной поверхности зависит направление и перемещение воздушных масс, которые обусловливают перемещение и изменение различных барических

образований, определяющих погоду.

В Алма-Ате наблюдается обычный для континентального типа климата режим давления с одним годовым максимумом и одним минимумом (табл. 23). С наступлением холодного периода в Алма-Ате, как и по всей территории Казахстана, рост атмосферного давления обусловлен формированием сибирского антициклона. Максимальное значение давления отмечается в ноябре (926,3 гПа). С декабря начинается постепенное его понижение. Различия эти равны 1 гПа. Между декабрем и январем различия составляют 0,8 гПа, между январем и февралем—1,2 гПа. Весной в связи с увеличением притока радиации и значительным прогревом воздуха наблюдается интенсивное падение давления и от мая к июню его значения уменьшаются на 3,7 гПа, а в июле оно достигает минимальных значений (913 гПа).

Осенью, в сентябре—октябре, происходит постепенный переход от летнего типа циркуляции к зимнему. В сентябре давление повышается до 919,9 гПа, а в октябре оно на 4,4 гПа выше. Следует отметить, что изменение давления от месяца к месяцу в течение года происходит неравномерно. Наибольшие значения наблюдаются в переходные сезоны при перестройке барического поля от зимнего к летнему, и наоборот. Средняя годовая ампли-

туда равна 13,6 гПа.

Таблица 23

Среднее месячное и годовое атмосферное давление. Алма-Ата, ГМО

	:		$p_{\rm M}$	акс		мнн
Месяц	рст	Рм	гПа	дог	гПа	год
IIIIIIIIIIIIIIIIIIIIIIIIIIIIIIIIIIIIII	924,5 923,3 922,2 920,3 919,1 915,4 912,7 914,9 919,9 924,3 926,3 925,3 920,7	1029,7 1027,9 1023,4 1018,2 1014,8 1009,1 1005,4 1008,2 1015,5 1023,0 1028,1 1029,7	943,8 941,9 939,8 939,0 936,2 936,2 935,1 925,1 928,0 936,3 941,8 947,3 950,9	1929 1925 1933 1931 1931 1932 1966 1962 1962 1962 1928 1954 1930	897,5 901,1 900,8 903,4 903,5 901,5 902,9 905,0 905,0 905,9 907,3 906,3 902,3 897,5	1901 1945 1942 1930 1955 1938 1933 1935, 1943 1924 1965 1932 1940 1964

Примечание. $p_{\text{макс}}$ — абсолютный максимум давления воздуха, $p_{\text{мин}}$ — абсолютный минимум давления воздуха, $p_{\text{ст}}$ — давление воздуха на уровие станции, $p_{\text{м}}$ — давление воздуха на уровие моря.

Изменение давления от года к году невелико. За период с 1881 по 1975 г. средние годовые значения не различались более чем на 2,7 гПа (921,8 гПа в 1964 г. н 919,1 гПа в 1983 г.), что говорит об их устойчивости.

Если средние годовые значения давления воздуха относительно устойчивы, то предел колебаний средних месячных значений значительно больше, особенно в зимние месяцы (4—6 гПа летом и более 10 гПа зимой). Абсолютная же амплитуда давления воздуха за год составляет 53,4 гПа (22,2 гПа в июле и 48,6 гПа в декабре). Самое высокое давление воздуха в Алма-Ате за период с 1922 по 1975 г. наблюдалось в 1930 г. (950,9 гПа), а наиболее низкое — в 1964 г. (897,5 гПа).

Данные по давлению воздуха, приведенному к уровню моря, используются при изучении изменения давления по горизонтали.

Определенный интерес представляют сведения о пернодических изменениях давления. Они тесно связаны с возникновением, развитием и ослаблением различных барических систем и сопровождаются изменением погоды. Обычно в Алма-Ате изменения давления ото дня ко дню невелики и составляют 2—4 гПа, но в период активной циклонической деятельности, как свидетельствуют приведенные ниже данные, эти изменения могут достигать 10,5 гПа в июле и 31,7 гПа в декабре:

Месяц... I II III IV V VI VII VIII IX X XI XII Δp гПа . . [26,3 25,8 24,6 17,4 19,3 12,7 10,5 14,0 15,5 16,4 23,1 31,7

Изменение давления по территории Алма-Аты показано в табл. 24. Эти данные свидетельствуют о том, что между северной и южной границами города, расположенными на расстоянии 30 км, но с разницей высот барометра 1034,2 м, различия в давлении в среднем за год составляют 110,5 гПа.

Таблица 24

Среднее месячное и годовое атмосферное давление (гПа) в различных районах города

			rop	- Au					
Станция		барометр іем моря		1	II	111	IV	v	VI
Алма-Ата, аэропорт Алма-Ата, ГМО Медео Алма-Атинская селестоковая станция		673,9 847,8 528,8 1708,1	ļ	945,2 924,5 848,0 829,1	1	922,1 847,1	939,6 920,3 847,3 829,1	937,9 919, 847,7 929,9	1 915,4 7 845,4
Станция	1IV	VIII	IX		x	1X	xi	rı	Год
Алма-Ата, аэро- порт Алма-Ата, ГМО Медео Алма-Атинская селестоковая станция	931,1 912,7 843,7 826,4	933,4 914,9 845,3 828,1	919,	9 92 6 85	4,6 4,3 0,9 3,0	946,4 926,3 850,4 832,3	848	5,9 5,3 8,7 0,3	940,1 920,7 847,5 829,6

3.2. Ветер

Общая циркуляция атмосферы и расположение города в предгорной зоне обусловливают преобладание в Алма-Ате ветра южной составляющей с отклонениями в сторону соседних румбов в зависимости от физико-географических особенностей различных его районов (общего направления хребта, долин рек, времени гола).

В предгорных и горных районах города (Алма-Ата, ГМО; Медео; Алма-Атинская селестоковая станция и Алма-Ата, агро) наибольшая повторяемость у ветров юго-восточного и южного румбов. В равнинных районах (Бурундай и Алма-Ата, аэропорт)

господствуют юго-западные ветры (табл. 25, рис. 16—19).

Период после 1965 г. в Алма-Ате (Алма-Ата, ГМО) характеризуется резким увеличением повторяемости южного ветра во все сезоны года, что сказалось на перераспределении повторяемости преобладающих направлений ветра. Как показано в табл. 26, с 1936 по 1965 г. юго-восточный румб наблюдался с

Таблица 25
Повторяемость (%) направлений ветра (от числа случаев с ветром) и штилей (от общего числа случаев)

		1							
Месяц, сезон	С	СВ	В	ЮВ	Ю	103	3	сз	Штиль
	Ā	Алма-Аз	ra, FMO	O (1936	S—1975	гг.)			***************************************
I III IV V VI VII VIII IX X XI XII	11 13 11 11 9 7 6 7 9 10 12	11 12 14 15 14 11 11 10 11 12 12	655566655566	20 17 21 24 27 33 37 40 43 39 26 20	18 16 17 19 19 22 22 20 16 17 18	18 16 14 9 10 9 8 6 7 12 16	8 11 9 9 8 7 5 6 5 7 9	8 10 9 8 7 5 4 5 6 6 7	38 34 24 18 17 14 12 12 12 19 31
Зима Весна Лето Осень Год	12 10 7 10 10	12 14 10 11 12	6 5 5 5	19 24 37 36 29	18 18 21 17 19	16 11 9 8 11	9 9 6 6 7	8 8 5 6 7	37 20 13 21 23
,		Me	едео (1	9361	953 rr.)		•	
Зима Весна Лето Осень Год	2 2 1 1 2	1 2 2 1 1	1 2 1 1	50 42 46 45 46	27 21 23 28 25	3 2 2 2 2	5 8 5 5 6	11 22 19 17 17	11 22 19 17 17
Алма	а-Атинс	кая се.	лестоко	вая ст	анция	(1953-	-1964 r	г.)	
Зима Весна Лето Осень Год	3 6 5 4 4	1 2 0,4 1 1	0,8 0,3 0,4 0,8 0,6	63 48 51 54 53	22 21 22 21 21	0,4 1 0,9 0,1 1	0,1 0,2 0,2 0,2 0,2 0,2	11 25 20 19 19	30 20 6 13 15
	A	Алма-Ат	ra, arpo	(196	1—197	6 rr.)			
Зима Весна Лето Осень Год	7 14 13 13 12	6 9 8 7 7	6 4 4 5 5	20 16 20 20 19	29 24 31 29 28	18 13 10 11 13	9 10 7 7 8	5 10 7 8 8	31 17 10 18 19
_	_	Буру	ндай (1971—	1975 rr	·.)		·	
Зима Весна Лето Осень Год	8 9 7 8 8	7 11 10 11 10	9 12 13 11	3 5 7 5 5	5 12 19 13 13	35 25 25 28 28	23 16 14 16 17	10 10 5 8 8	14 8 5 14 10

Месяц, сезон	С	СВ	В	ЮВ	Ю	103	3	СЗ	Штиль
	A	тма-Ата	а, аэро	порт (1	9661	975 гг.)		
Зима Весна Лето Осень Год	13 11 10 11 12	9 11 10 11 10	8 10 9 8 9	7 7 10 9 8	20 18 25 22 21	22 22 22 22 22 22	13 13 8 10 11	8 8 6 7 7	24 9 9 18 15

Примечание. По ст. Алма-Ата, ГМО с 1966 по 1975 г. использованы данные 4 сроков наблюдений (21, 3, 9 и 15 ч). Время московское.

Таблица 26
Повторяемость (%) направлений ветра и штилей за различные периоды.
Алма-Ата, ГМО

Сезон	С	СВ	В	ЮВ	Ю	103	3	C3	Штиль
<u></u>		1936—	1965 гі	. (1, 7	, 13 и	19 ч)			
Зима Весна Лето Осень Год	10 10 6 9 8	12 15 10 12 12 -1975 1	6 5 6 6 6	21 27 43 42 33 0, 3, 6	17 16 17 12 16	18 12 18 8 12	8 8 5 5 7	8 7 5 6 6	32 19 13 19 21
Зима Весна Лето Осень Год	19 14 10 14 14	9 11 9 9	4 6 5 5 5	9 12 17 17 17	22 31 35 31 30	12 10 11 9	14 9 7 8 9	11 12 6 7 9	49 24 12 24 27

повторяемостью 33 %, а южный — 16 %; с 1966 по 1975 г. — 14 и 30 % соответственно (год).

Средние месячные и годовые значения скорости ветра в Алма-Ате незначительные и колеблются от 1 до 2 м/с (табл. 27). В четко выраженном годовом ходе усиление ветра наблюдается в летние месяцы и ослабление до штилевых значений зимой. В это время года барические градиенты несколько занижены за счет орографического антициклогенеза, застаивания притекающих с севера масс воздуха и развития вдоль гор зимних инверсий, которые придают устойчивость приземным слоям атмосферы. Летний максимум скорости ветра обусловлен орографическим усилением циклонических процессов и активизацией горно-долинной циркуляции [21]. Весной скорость ветра больше, чем осенью. Возможные отклонения средних суточных значений за каждый год от средней многолетней (нормы) в 80-90 % лет не превышали 0,4 м/с. Самые большие отклонения составили 1,5-1,8 м/с в теплое полугодие и ± 0.6 м/с зимой. В окрестностях города скорости

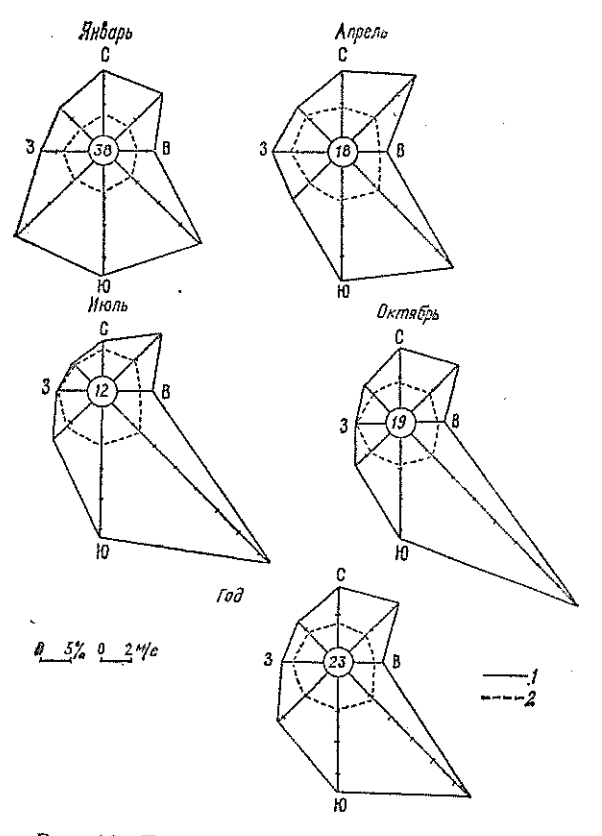


Рис. 16. Повторяемость (%) направлений ветра (1), штилей (в центре кружка) и средняя скорость ветра (м/с) по направлениям (2). Алма-Ата, ГМО.

Таблица 27 Средняя скорость ветра v (м/с). Алма-Ата, ГМО

			Этклонен	не		Ī	1 0	тклопен	
Месяц, сезон	v		панбо.	льшее				· · · · · · · · · · · · · · · · · · ·	льшее Эльшее
Treesign ceson		ээндэцэ	иоло- житель- ное	отри- цатель- ное	Месяц, сезон	ני	среднее		отри-
IIIIIIVVVIIIVIIII	1,0 1,1 1,4 1,7 1,9 2,0 2,0 2,0 1,9	0,2 0,2 0,3 0,4 0,4 0,4 0,3 0,4 0,4	0,6 0,5 1,0 1,0 1,8 1,4 1,1 1,5 1,5	-0,6 -0,6 -0,7 -0,7 -0,7 -0,7 -0,7 -0,6 -0,7	X XI XII Зима Весна Лето Осень Год	1,5 1,1 1,0 1,0 1,7 2,0 1,5 1,6	0,3 0,2 0,3 0,2 0,4 0,4 0,3 0,3	1,5 1,1 0,7 0,7 1,8 1,5 1,5	$ \begin{array}{c c} -0,6 \\ -0,5 \\ -0,5 \end{array} $ $ \begin{array}{c} -0,6 \\ -0,7 \\ -0,7 \\ -0,7 \\ -0,6 \end{array} $

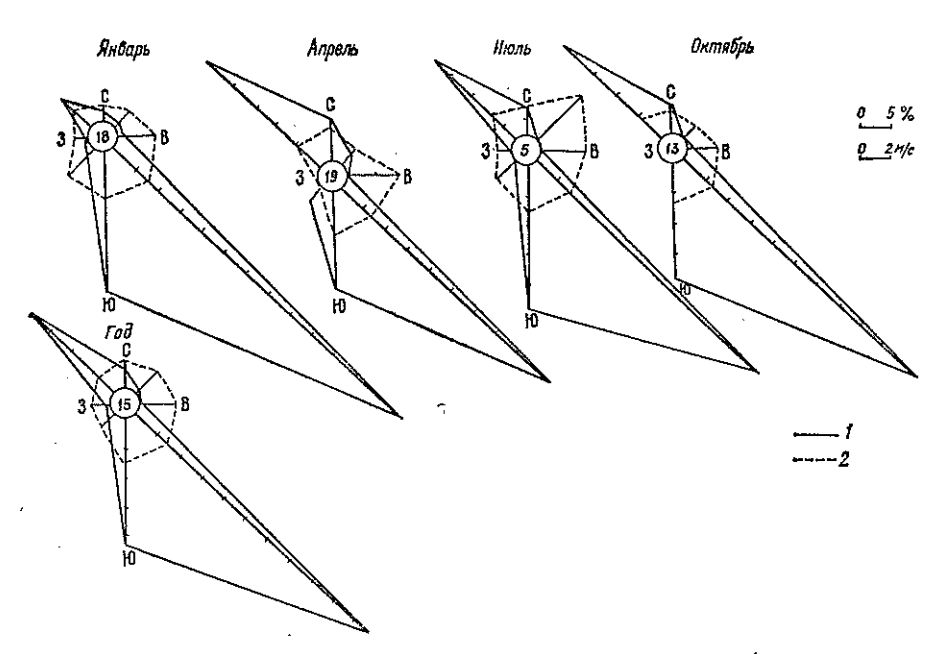


Рис. 17. Повторяемость (%) направлений ветра (1) и штилей (в центре кружка) и средняя скорость ветра (м/с) по направлениям (2). Алма-Атинская селестоковая станция (р-н высокогорного катка Медео).

Таблица 28 Средняя месячная и годовая скорость ветра (м/с) по северному склону Заилийского Алатау

Станция	1	II	III	IV	v	VI	IIV	IIIV	IX	х	ΧI	XII	Год
Бурундай Алма-Ата, аэропорт Медео Алма-Атинская	1,9 1,5 1,8 2,3	1,8 1,6 1,7 2,1	2,1 2,0 1,8 1,9		2,6 2,4 2,1 2,1	2,3	$ ^{2,2}_{2,3}$	$\begin{vmatrix} 2,4 \end{vmatrix}$	$\begin{vmatrix} 1.8 \\ 2.2 \end{vmatrix}$	2,2 1,7 2,0 2,2	1,8 1,5 1,7 2,0	1,4	2,3 1,9 2,0 2,2
селестоковая станция Алма-Ата, агро	1,5	1,5	1,8	2,2	2,4	2,6	$\begin{vmatrix} 2,5 \end{vmatrix}$	2,4	2,2	2,0	1,7	1,5	2,0

ветра несколько возрастают, но не превышают 2,3 м/с в среднем за год (табл. 28).

Более полную оценку режима ветра дает повторяемость различных скоростей ветра по месяцам (табл. 29). В течение всего года в Алма-Ате преобладают ветры скоростью до 3 м/с (88% случаев). Особенно велика доля штилей. Если при этом учитывать очень слабый ветер (до 1 м/с), то суммарная повторяемость штилей и очень слабых ветров составляет 59%. Зимой такие условия погоды наблюдаются в 77% случаев, что в общей слож-

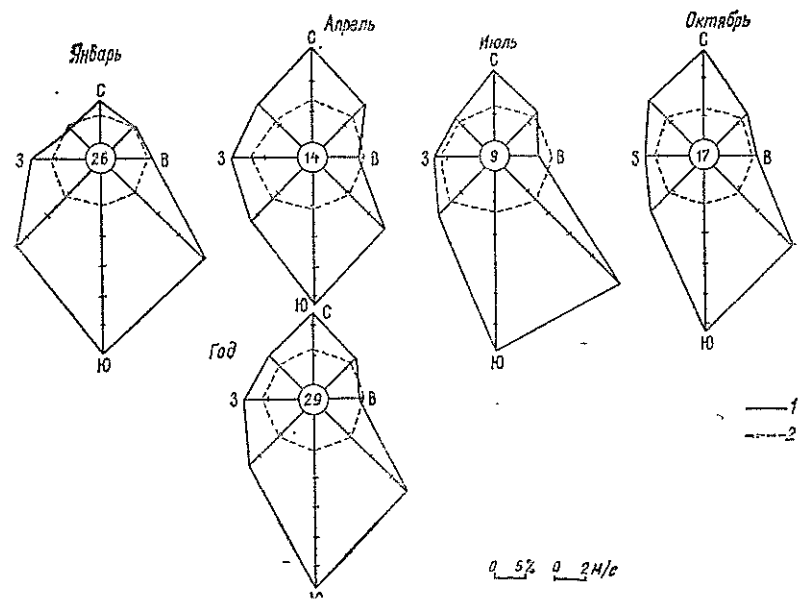


Рис. 18. Повторяемость (%) направлений ветра (1) и штилей (в центре кружка) п средняя скорость ветра (м/с) по направлениям (2). Алма-Ата, агро.

Таблица 29
Повторяемость скорости ветра (в % от общего числа случаев)
по градациям. Алма-Ата, ГМО

	ļ	1		C	корость	ветра, м	ı/c			`
Месяц	0-1	2-3	4-5	6-7	89	1011	12-13	1415	1617	1820
I II III III V V VI VII VIII V X X X X X	76,7 73,3 64,5 52,8 51,0 49,5 46,8 44,8 46,2 58,9 72,3 75,6	18,8 22,3 27,7 33,4 31,6 31,3 34,5 36,3 36,7 30,7 22,7 20,1	3,7 3,8 6,2 10,9 12,5 14,3 14,5 15,0 14,2 8,5 4,0 3,5	0,7 0,5 1,4 2,0 3,7 3,3 3,0 2,8 2,3 1,6 0,8 0,7	0,1 0,1 0,1 0,6 0,7 1,0 0,8 0,7 0,3 0,2 0,2 0,1	0,03 0,1 0,2 0,2 0,2 0,03 0,2 0,03	0,03 0,1 0,1 0,2 0,1 0,2 0,1 0,2 0,2	0,03 0,03 0,1 0,1 0,1	0,03 0,03 0,1 0,1	0,03 0,03 0,1 0,03 0,03
Год	59,2	28,9	9,3	1,9	0,4	0,1	0,1	0,03	0,02	0,02

ности составляет 575—650 ч за месяц, а летом 375—415 ч. В окрестностях города продолжительность штилевой погоды сокращается (табл. 30). Средняя непрерывная продолжительность слабых ветров зимой 6—7 ч, а в отдельные годы 8—12 дней. Усиле-

Таблица 30 Средняя суммарная продолжительность т скорости ветра 0—1 м/с

Станция	Пока- затель	I	II	III	IV	V	VI	VII	VIII	ıx	х	ХI	XII	Год
Алма-Ата, аэропорт Алма-Ата, ГМО Алма-Ата, агро	тч Р % тч Р % тч	412 11 642 10 377 12	318 8 574 9 328 10	336 9 565 9 328 10	234 6 470 8 212 7	255 7 426 7 194 6	5	210 6 391 6 172 5	231 6 416 7 202 6	370 9 465 8 234 7	373 10 565 9 274 8	372 10 611 10 352 11	495 13 649 11 405 13	3798 6148 3236

ние скорости ветра до 5 м/с и более в это время года мало вероятно, продолжительность ветра при этом не превышает 3 ч. В теплое время года ветер с такой скоростью наблюдается чаще и может сохраняться до 6 ч (табл. 31). Скорости ветра 10 м/с и более вероятны только в теплое время года (март—октябрь) в 2 % случаев.

Таблица 31 Средняя и наибольшая непрерывная продолжительность т (ч) различных скоростей ветра. Алма-Ата, ГМО. 1966—1975 гг.

					Ско	рость в	ветра, в	и/с				
	<	1	<	2	<	3	<	4	⇒	5	-	8
Месяц		тмакс		т _{маке}	₹	₹макс	Ŧ	тмакс	τ	тмакс	τ	т _{макс}
I II III VII VII X X X X X X X X X X X X	5,6 5,7 4,0 5,4 5,8 6,7	279 213 153 42 90 48 45 48 93 129 348 297	5,3 5,4 5,0 4,9 4,7 4,8 5,1 5,5 6,4	486 456 452 309 204 150 147 171 405 480 720 744	5,3 5,9 4,7 4,5 4,5 5,0 4,7 5,0,4 5,0,4 6,3	744 672 726 720 399 456 572 384 717 744 720 744	5,2 5,3 4,9 4,6 4,7 4,6 4,7 4,6 5,0 5,4 6,2	744 672 744 720 744 720 720 744 720 744 720 744	3,0 3,0 3,3 3,2 3,1 3,4 3,0 3,4 3,0	333666663633	3,0 3,0 3,0 3,0	3 3 3

Сильные ветры (15 м/с и более) в Алма-Ате наблюдаются редко— в среднем до 15 дней за год. В 1933 г. (один раз за 60 лет) их было 40, а в 1963, 1966, 1967 и 1970 гг. — по 1 дню. Зимой дни с сильным ветром бывают редко — 1—3 дня за 10 лет, летом — 2—3 дня ежегодно, преимущественно во второй половине дня, и часто носят характер шквалов, сопровождающихся пыльными бурями. В годы максимума в мае—июне с сильным ветром может быть в каждом месяце по 10 дней (табл. 32).

Средние скорости ветра по направлениям близки между собой и в среднем за год различия не превышают 1 м/с (табл. 33). В предгорных районах города несколько повышенные скорости у

ветров южной четверти, а в равнинных — у северной.

Tаблица 32 Число дней n с сильным ветром (15 м/с и более). Алма-Ата, ГМО

		0	тклонеі	ше					0	тклоне	iiie		
		ļ	нанбо	льшее						нанбо	льшее		
Месяц	π	среднее	положи- тельное	отрица- тельное	<i>п</i> макс	Год	Месяц	<u></u>	среднее	положи- тельное	отрица- тельное	пмакс	Год
II	0,2 0,3	0			2 2	1950 1930,	VIII	1,9 0,8 0,5	0,2	0,9	_0,1	7	1918 1918
III IV V	0,6 1,0 2,6	0,2 0,3 1,1	0,9 0,8 4,1	-0.1 -0.2 -0.9	3 4 10	1932 1924 1950 1925,	XI XII	0,5 0,4 0,1	0 0.6 0.2	1,6 0,9	-0,4 -0,1	3 5 2	1920 1945 1919 1931
VI VII	2,9 3,2	0,9 0,5	1,6 1,7	—1,4 —1,3	10 10	1946 1933 1916, 1918	Год	14,5			,	40	1933

Таблица 33

Средняя скорость ветра (м/с) по направлениям

	Средняя с	корость	ветра	(M/c)	по нап	равлен	ИЯМ		
	Месяц, сезон	C	СВ	В	ЮВ	10	103	3	СЗ
*		A	лма-Ат	а, ГМО	o ,				
I III IV V VI VIII IX XI XII Зима Весна Лето Осень Год	Алма-Атинская	1,4 1,5 1,7 2,0 2,0 1,8 1,8 1,7 1,8 1,7 1,5 1,4 1,9 1,8 1,7	1,5 1,7 1,8 2,0 1,9 1,9 1,7 1,5 1,5 1,6 1,8 1,7	1,3 1,2 1,4 1,6 1,5 1,6 1,5 1,5 1,3 1,3 1,5 1,4 1,4 1,4	1,7 1,7 1,9 2,6 2,6 2,6 2,6 2,7 1,7 1,7 2,6 1,7 2,6 1,7 2,6 1,7 2,6 1,7 2,7 2,6 1,7 1,7 2,7 1,7 1,7 1,7 1,7 1,7 1,7 1,7 1,7 1,7 1	1,7 1,7 2,2 2,6 2,7 2,5 2,2 2,5 2,5 2,8 1,7 1,6 1,7 2,6 1,7 2,6 1,7 2,6 1,7 2,6 1,7 2,7 1,7 1,7 1,7 1,7 1,7 1,7 1,7 1,7 1,7 1	1,8 1,7 1,9 2,4 2,6 2,3 2,2 2,0 1,7 1,8 2,1 4,1 2,4 1,9 2,0	1,6 1,8 2,4 2,4 2,1 1,9 1,8 2,8 1,7 1,6 2,2 1,9 2,0	1,3 1,4 2,2 2,1 1,8 1,8 1,7 1,6 1,4 1,4 2,0 1,8 1,6 1,7
Зима Весна Лето Осень Год	,	1,5 2,3 2,2 1,5 1,9	1,3 1,2 2,6 2,8 2,0	2,4 2,4 2,8 2,3 2,5	2,9 2,8 2,9 2,7 2,8	3,0 2,9 2,9 2,9 2,9 2,9	1,1 0,7 1,7 1,2 1,2	1,5 1,0 1,2 1,2 1,2	1,6 2,1 2,1 1,8 1,4

	Месяц, сезон	С	СВ	В	ЮВ	Ю	103	3	c3
,	A	лма-Ата	, arpo	(1961	-1975 r	r.)			
Зима Весна Лето Осень Год		1,9 2,5 2,5 2,2 2,3	2,0 2,7 2,8 2,3 2,4	2,0 2,3 2,6 2,2 2,2	1,9 2,3 2,8 2,2 2,3	1,9 2,3 2,8 2,5 2,4	2,1 2,7 2,9 2,3 2,5	2,2 2,7 2,7 2,3 2,5	1,8 2,4 2,5 2,2 2,2
	Алм	а-Ата, а	оподе	т (1966	i—1975	rr.)		_	
Зима Весна Лето Осень Год		1,7 2,2 2,1 2,0 2,0	1,9 2,6 2,6 3,5 2,4	1,9 2,6 2,3 2,1 2,2	1,5 1,8 2,0 1,7 1,7	1,6 2,0 2,2 1,7 1,9	2,3 2,6 2,7 2,2 2,5	2,3 3,0 2,8 2,4 2,6	1,7 2,5 2,3 2,1 2,2
		Буруна	цай (19	71—19	75 гг.)				
Зима Весна Лето Осень Год		1,7 2,5 2,8 2,2 2,3	2,0 3,1 3,1 2,7 2,7	2,2 2,9 3,1 2,4 2,7	1,7 2,4 2,8 2,2 2,3	2,1 2,6 2,9 2,2 2,4	2,2 2,6 2,8 2,2 2,5	2,1 2,7 2,8 2,3 2,5	1,9 2,5 2,4 2,3 2,3

Максимальная скорость ветра, равная 20 м/с, регистрируется в теплое время года при южном и юго-западном ветрах один раз в 10 лет (табл. 34). При порывах она достигает 40 м/с. Вероятность скорости ветра по направлениям для января и июля по-

казана на рис. 20.

При определении ветровых нагрузок на сооружения и для других народнохозяйственных целей важно знать возможные значения максимальной скорости ветра. По данным ст. Алма-Ата, ГМО она имеет следующие значения: 14 м/с возможна ежегодно, 18 м/с — один раз в 5 лет, 20 м/с — один раз в 10 лет, 22 м/с — один раз в 15 лет и 23 м/с — один раз в 20 лет.

Суточный ход направления и скорости ветра в Алма-Ате выражен хорошо во все месяцы года (рис. 21). Днем в городе гос-

Таблица 34
Максимальная скорость ветра (м/с) по направлениям.
Алма-Ата, ГМО

Сезон	С	СВ	В	ЮВ	10	103	3	СЗ	Независимо от направления
Зима Весна Лето Осень Год	7 10 9 7	5 8 16 6	12 14 12 12 12	9 17 17 15	12 20 17 12 20	9 20 20 10 20	8 14 12 8 14	7 7 10 7	12 20 20 15 20

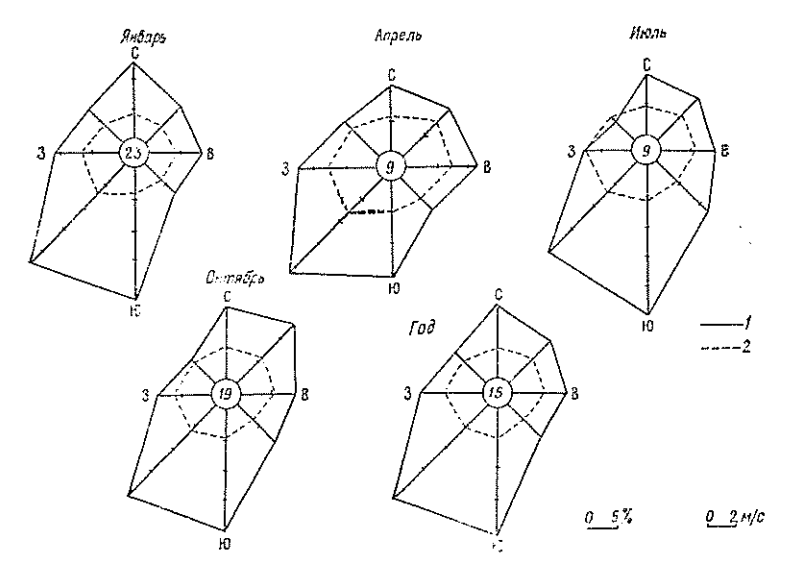


Рис. 19. Повторяемость (%) направлений ветра (1) и штилей (в центре кружка) и средняя скорость ветра (м/с) по направлениям (2). Алма-Ата, аэропорт.

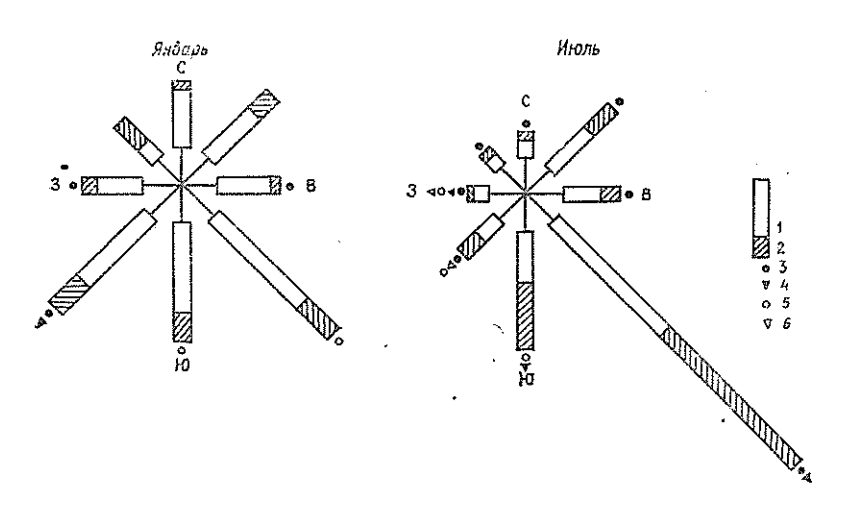


Рис. 20. Повторяемость (%) ветра различных скоростей по направлениям. Алма-Ата, ГМО.

1) 0,1 м/с, 2) 2—5 м/с, 3) 6—9 м/с, 4) 10—13 м/с, 5) 14—17 м/с, 6) 18—20 м/с.

подствуют ветры северной составляющей. Как показано в табл. 35, в январе и июле повторяемость их равнозначна (46 и 54 % соответственно), а весной и осенью (апрель, октябрь) увеличивается до 66 и 72 %. Это — долинные ветры, дующие в сторону гор со скоростью 0—1 м/с в 40 % случаев в январе и 30 % в

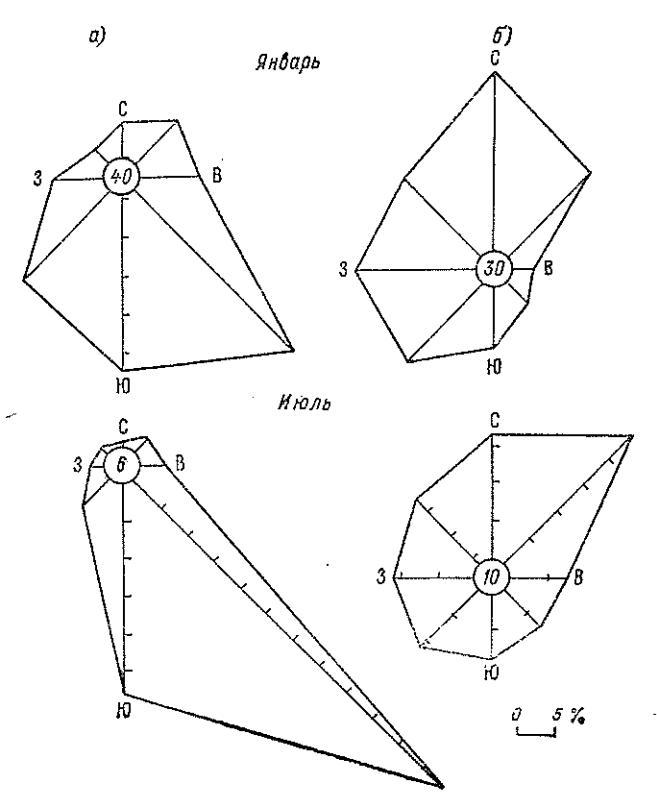


Рис. 21. Повторяемость (%) направлений ветра и штилей (в центре кружка) в разное время суток. Алма-Ата, ГМО.

а—ночью (1 ч), б—днем (13 ч).

июле. Скорости ветра 2—5 м/с в январе составляют 4—7 % случаев, а в июле — 24 %. Ночью долинные ветры сменяются горными юго-восточного и южного направлений. В январе они составляют 53 % случаев при скорости до 1 м/с. В теплое время года они наблюдаются в 75—87 % случаев со скоростью 2—5 м/с. Вероятность ветра различной скорости по направлениям для каждого месяца в различные часы суток приводится в табл. 13 приложения. В период смены горных и долинных ветров наблюдается затишье и минимум в суточном ходе скорости ветра отмечается в утренние часы (табл. 36).

Такая правильная смена направлений ветра в течение суток и активизация ветровой деятельности в теплое время года в ночные часы является результатом горно-долинной циркуляции, подробно изученной Н. Ф. Гельмгольцем [21]. Его исследования показали, что горный ветер проявляет себя как каскад холодного воздуха, стекающего с заоблачных высот Тянь-Шаня и устремляющегося в город по горным ущельям со скоростью в несколько

Таблица 35 Повторяемость (%) направлений ветра и штилей в различные часы суток. Алма-Ата, ГМО

					-, - 1110			
Время,	С	СВ	В	ЮВ	IO	ЮЗ	3	СЗ Штиль
				Янв	арь			
7 13 19	5 5 24 8	8 9 16 10	8 9 3 6	30 27 4 22	23 24 8 19	17 19 14 20	6 3 16 7	3 40 4 41 15 30 8 42
				Апре	ль		·	• •
1 7 13 19	$\begin{array}{c} 2 \\ 4 \\ 25 \\ 10 \end{array}$	3 6 23 25	4 4 5 7	30 2 18		8 14 8 8	6 8 15 9	3 16 5 31 18 9 6 18
				Ию			,	•
1 7 13 19	0,5 3 17 4	$\begin{bmatrix} 2 \\ 4 \\ 25 \\ 12 \end{bmatrix}$	3 6 8 7	59 45 7 36	28 28 9 25	5 9 11 9	2 3 11 3	$egin{array}{c c} 0,5 & 6 \\ 2 & 29 \\ 12 & 10 \\ 2 & 2 \\ \end{array}$
				Октя	5 рь		•	•
1 7 13 19	$\begin{bmatrix} 2 \\ 3 \\ 30 \\ 5 \end{bmatrix}$	5 5 24 10	5 7 3 7	58 47 2 50	23 24 4 17	8 8 6	$\begin{bmatrix} 2\\4\\11\\2 \end{bmatrix}$	$\begin{array}{c c} 1 & 18 \\ 2 & 26 \\ 18 & 11 \\ 3 & 21 \end{array}$

Таблица 36 Средняя месячная скорость (м/с) ветра в различные часы суток. Алма-Ата, ГМО

Время, ч	1	11	111	IV	v	Λī	VII	VIII	IX	X	XI	11%
1 7 13 19 Суточная амплитуда	1,0 1,0 1,1 1,0 0,1	1,0 1,0 1,3 1,0 0,3	1,3 1,1 1,6 1,4	1,9 1,2 2,1 1,6	2,4 1,3 2,1 1,8	2,6 1,3 1,9 2,1	2,8 1,5 1,8 2,1	2,4 1,3 1,7 2,5	2,2 1,3 1,7 2,4 1,1	1,6 1,2 1,5 1,9	1,1 1,1 1,2 1,1 0,1	I,0 I,0 I,0 0,9

раз большей, чем долинный. За 2-3 мин его скорость может вырасти от нуля до 3-4 м/с.

Наряду с явлением горно-долинной циркуляции при определенной барической обстановке в предгорной зоне наблюдаются фёны — горячие сухие ветры. Продолжительность их колеблется от нескольких часов до нескольких суток. Ощущаются они в виде кратковременной вспышки жаркого и сухого ветра со слабыми, реже умеренными скоростями, преимущественно в ясную погоду переходных месяцев (апрель, май, октябрь). Фён вызывает резкое новышение температуры и понижение влажности воздуха [30].

4. ТЕРМИЧЕСКИЙ РЕЖИМ

4.1. Температура воздуха

Характеристики температуры воздуха довольно многообразны. Отмечают ее периодические (суточный и годовой ход) и непериодические (изменчивость) колебания, возможные экстремальные значения, особенности распределения ее в различных направлениях и

многие другие показатели.

На рис. 22 приведены изменения средних месячных значений и возможные вариации температуры на ст. Алма-Ата, ГМО в течение года. Средний месячный (23,3°C) и абсолютный (42,0°C) максимумы наблюдаются в июле. Годовая амплитуда колебаний месячной температуры составляет 5—7 °C, что несколько ниже, чем на равнине. Это объясняется сглаживающим влиянием горнодолинной циркуляции.

В годовом ходе минимум температуры воздуха наблюдается в январе (—7,4°C), тогда как абсолютный минимум приходится на февраль (—38,0°C). Низкие абсолютные минимумы отмечаются также в октябре и декабре (-34,0°C), так как самые низкие температуры обусловливаются колебаниями общей циркуляции атмосферы, зачастую ультраполярными вторжениями холодных масс

воздуха с района Карского моря (см. гл. 3).

Повышение средней многолетней температуры от января к февралю незначительно (1,6 °C), поскольку циркуляционные и радиационные условия этих месяцев близки между собой. От февраля к марту, с увеличением прихода солнечной радиации, отмечается заметное повышение температуры воздуха — до 7,6 °C, а в связи со сменой отрицательного радиационного баланса на положительный в апреле происходит наибольшее в году повышение температуры (8,6 °C).

В последующем интенсивность нарастания температуры от месяца к месяцу уменьшается, от июля к августу начинается медленный спад температуры. Наиболее значительное понижение температуры наблюдается от октября к ноябрю (8,8 °C), что вызвано перестройкой барикоциркуляционных условий. Ниже показано изменение средней температуры воздуха (°C) от месяца к ме-

сяцу:

Средние многолетние значения температуры воздуха, полученные из большого диапазона ежегодных значений, наблюдаются очень редко. Годовой ход отклонения температуры воздуха от

20 20 10 0 -10 -20 -30 -40

Рис. 22. Годовой ход температуры воздуха. 1— средняя месячная, 2— абсолютный максимум, 3— средний манимум, 4— средний минимум, 5— абсолютный минимум,

многолетней имеет определенную закономерность — наиболее неустойчивой оказывается средняя температура зимних месяцев, средние отклонения равны $\pm 2,4...\pm 2,8$ °C. Летом температура более устойчива, средние отклонения составляют лишь $\pm 1,0$ °C. Вероятность положительных и отрицательных отклонений средней месячной температуры воздуха от средней многолетней по градациям приведена в табл. 14 приложения, а вероятность средней месячной температуры воздуха по градациям — в табл. 15 приложения.

Зимой наиболее часто средние месячные температуры находятся в интервале -2...-6 °C, а летом чаще всего средние месячные температуры колеблются от 20 до 24 °C.

На рис. 23 представлены отклонения средних месячных температур от средней многолетней. Обращает на себя внимание тот факт, что аномалии одного и того же знака в отдельные годы сохраняются длительное время (до 5—7 лет подряд). Нередки случаи сохранения одного знака аномалии температуры в течение 8—10 месяцев. Это относится как к положительным, так и к отрицательным аномалиям. Примером длительного сохранения отрицательной аномалии температуры служит 1958 г. (с апреля по ноябрь) и 1949 г. (с мая по декабрь). Продолжительные положительные аномалии температуры наблюдались с октября 1940 г. по июнь 1941 г. и с декабря 1943 г. по август 1944 г.

Из табл. 16 приложения, где представлены скользящие ряды средней годовой температуры воздуха, осредненные по 5-, 10-,

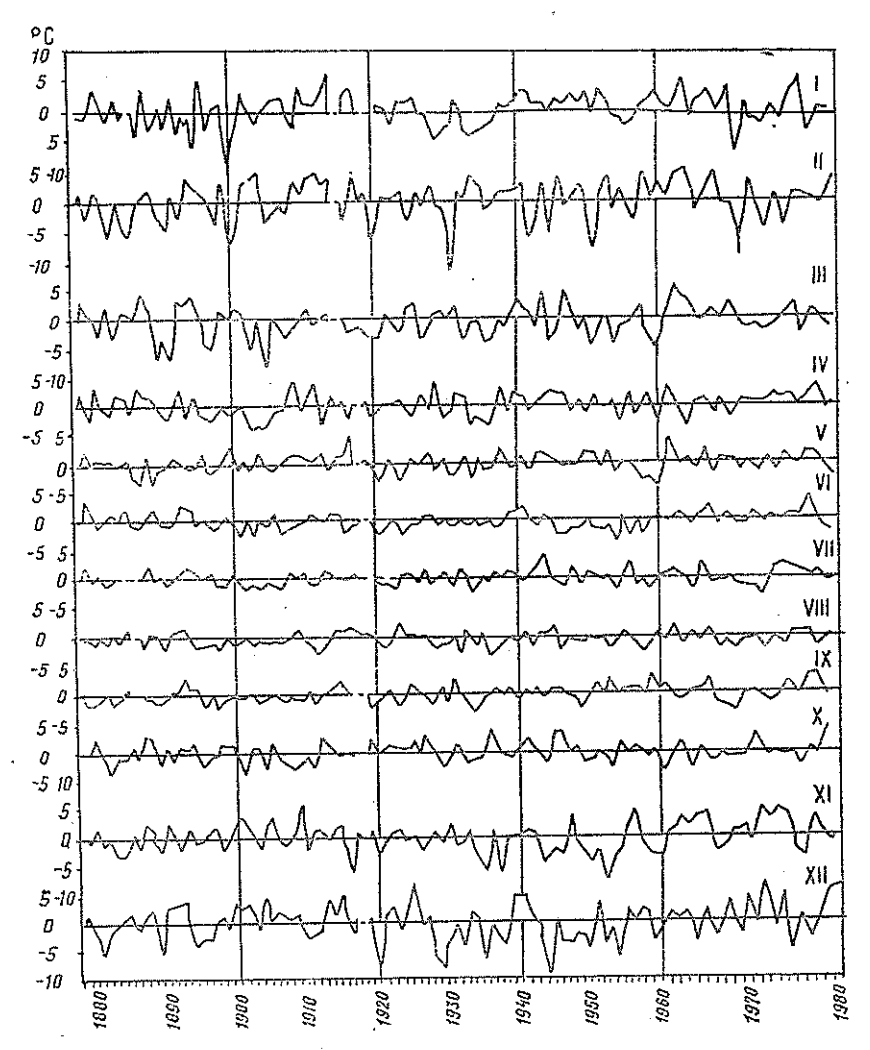


Рис. 23. Отклонения средней месячной температуры воздуха от нормы.

15- и 20-летиям, следует, что в Алма-Ате устойчиво наблюдается средняя годовая температура, равная +8,8°C.

Средние декадные температуры еще более неустойчивы, чем

месячные, особенно в зимние месяцы (табл. 37).

Однако характеристика термического режима с помощью средних месячных и декадных температур явно недостаточна. Необходимо знать суточный ход температуры (см. табл. 17 приложения). Важно также представлять, как часто повторяются те или иные температуры и их преобладающие значения. Данные табл. 17 приложения и рис. 24 характеризуют повторяемость дней со средней суточной, максимальной и минимальной температурой воздуха в

Таблица 37

Средние отклонения декадных температур воздуха (°C) от средней многолетней

Декада	ŧ	11	III	IV	v	VI	VII	Allt	IX	х	IX ·	11X
1-я 2-я 3-я	士3,8 士3,2 士3,1	士3,6 士3,2 士4,2	±3,0 ±2,8 ±2,7	<u>+</u> 2,2 <u>+</u> 2,7 <u>+</u> 2,4	+2,6 +1,9 +1,9	. , .		<u>+</u> 1,7 +1,5 +1,3	±1,5 ±1,8 ±2,2	+2,1 +2,8 +2,3	士3,1 士3,2 士4,2	±3,8 ±4,2 ±3,2

различных пределах. Зимой среднее число дней с температурой —10 °С и ниже колеблется от 6 до 9. Средние суточные температуры выше 30 °С очень редки, в самом жарком месяце (июле) они бывают не ежегодно, в среднем 5 случаев за десятилетие.

Суточный ход температуры воздуха в отклонениях от средней суточной за каждый час для всех месяцев года представлен па рис. 25. Отклонения температуры воздуха от средней для ясных и пасмурных дней отдельно для января и июля даны на рис. 26.

Суточная амплитуда — разность между суточным максимумом и минимумом температуры — дает представление о погоде. При ясной погоде суточная амплитуда значительно превышает таковую при пасмурной.

Наиболее вероятны междусуточные изменения температуры в пределах от —2 до 2 °C: Следует отметить, что междусуточная изменчивость более ±10 °C маловероятна.

В табл. 38 приведены значения температуры воздуха в зависимости от направления ветра на ст. Алма-Ата, ГМО. Следует отметить, что потоки любого направления вызывают повышение температуры. Исключения составляют небольшие понижения температуры (менее 1 °C) при ветрах южных румбов в июне и июле.

 $Tаблица\ 38$ Средняя температура воздуха (°C) в зависимости от направления ветра. Алма-Ата, ГМО. 1936—1975 гг.

Месяц	С	СВ	В	юв	Ю	103	3	СЗ	Штиль
Т Н Н IV V VI VII VIII IX X XI XII Год	-5,2 -5,0 3,1 16,6 18,6 22,8 26,8 25,7 19,9 11,6 2,8 -3,8 10,4	-5,3 -3,8 3,6 12,6 18,3 22,7 26,4 25,4 19,7 11,0 1,4 -4,8	5,3 3,8 5,8 17,7 22,4 25,6 22,7 17,3 9,6 1,4 3,7	-4,6 -3,0 3,5 10,4 19,7 22,2 20,7 16,0 9,2 2,1 -2,1 12,4	-5,2 -4,4 2,9 10,2 15,1 19,8 22,0 20,1 15,0 8,7 1,7 -3,6 10,9	-6,4 -4,8 2,5 9,8 15,4 20,2 23,6 21,8 15,8 9,3 0,2 -4,6 7,8	-6,0 -5,1 2,6 10,5 16,6 21,2 25,0 23,5 20,5 10,8 1,7 -4,8 8,7	-6,3 -5,4 2,8 11,3 17,5 22,7 26,0 24,7 19,0 11,6 1,4 -4,4 9,6	-8,0 -7,0 -0,4 9,1 15,0 20,3 23,7 21,5 15,0 8,2 1,0 -5,9 7,7

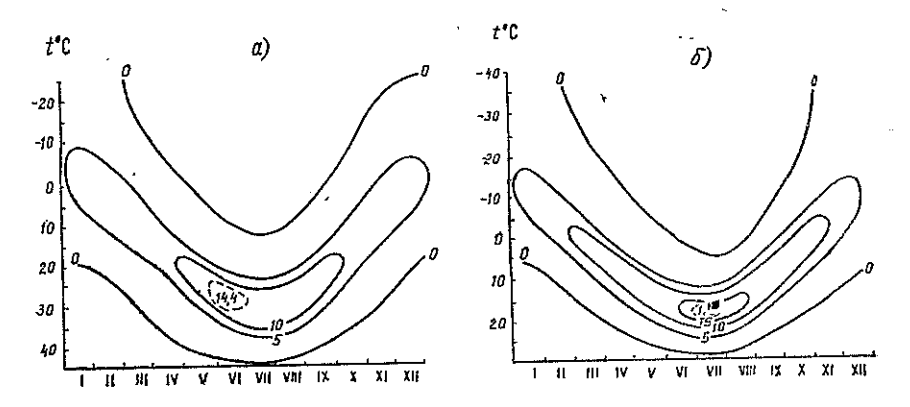


Рис. 24. Число дней с максимальной (а) и минимальной (б) температурой воздуха в различных пределах. Алма-Ата, ГМО.

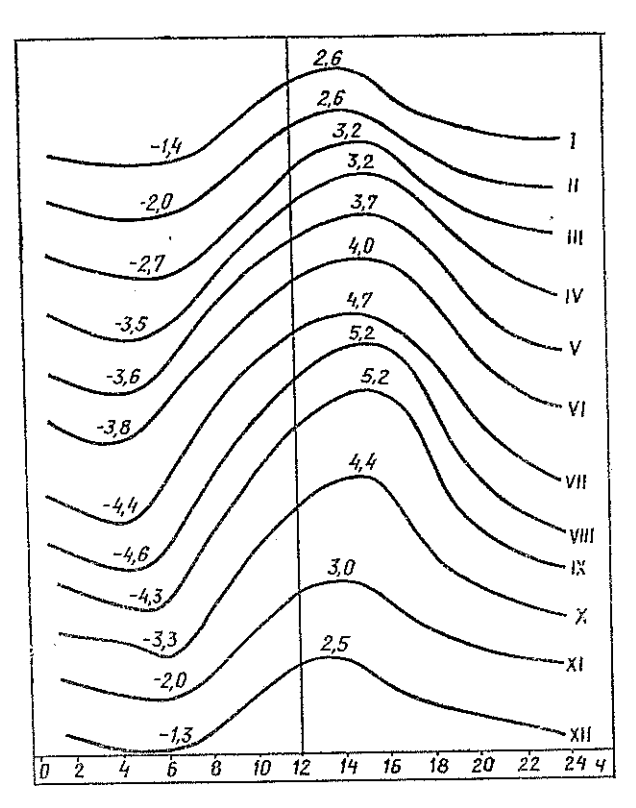


Рис. 25. Суточный ход температуры воздуха (°C) в отклонениях от средней суточной за 24 ч.

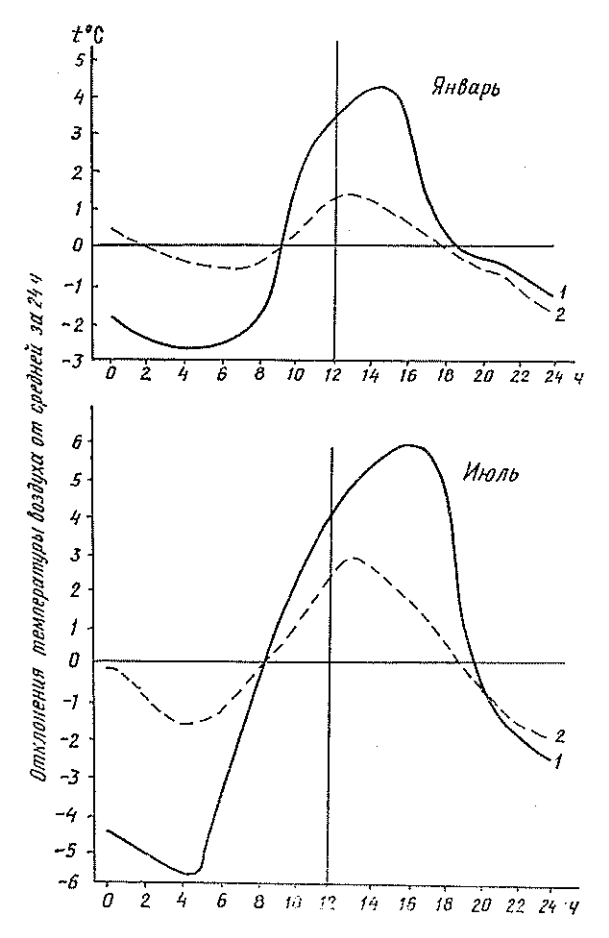


Рис. 26. Суточный ход температуры воздуха в ясные (1) и пасмурные (2) дни.

В среднем за год наибольшая температура (12,4 °C) наблюдается при юго-восточном ветре, а наименьшая (7,8 °C) — при югозападном.

Температурные различия как в самом городе, так и в его окрестностях определяются условиями рельефа и горно-долинной циркуляцией.

Средняя годовая температура воздуха по мере поднятня вверх по северному склону Заилийского Алатау постепенно понижается, переходя в отрицательную в высокогорных районах. Так, на ст. Мынжилки она равна —2,7 °C. Годовая амплитуда температуры также уменьшается от 31 °C (в Алма-Ате) до 19—20 °C в высокогорных районах.

Характер изменения средней месячной температуры воздуха в различные сезоны показан на рис. 27 в виде термоизоплет. В ян-

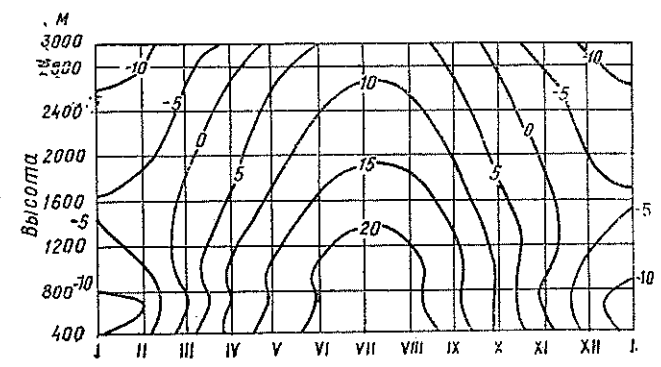


Рис. 27. Термоизоплеты воздуха. Северный склон Заилийского Алатау.

варе рост температуры до высоты 1,5 км обусловлен инверсиями температуры, выше температура понижается. Более слабые инверсии наблюдаются и в октябре до высоты 0,7—0,8 км.

Температурные различия внутри города наиболее четко выявляются в зимнее время, когда особенно велико влияние стока холодного воздуха с гор, однако и летом в ночные и утренние часы он существенно влияет на формирование очагов тепла и холода. По долинам рек Малая и Большая Алматинка сток холодного воздуха осуществляется в северные районы города, а по долинам двух других рек (Весновка и Карагалинка) — в районы ВДНХ и Ботанического сада.

Учитывая влияние горно-долинной циркуляции, трансформацию солнечного тепла, которая в наибольшей мере проявляется зимой, а также большой прогрев северных пригородных районов летом, можно отметить, что температурный режим южных и центральных районов города характеризуется меньшей континентальностью по сравнению с северными окраинами и пригородами, которым присущи большие годовые и внутрисуточные колебания температуры воздуха и которые хорошо прослеживаются по средним климатическим данным ст. Алма-Ата, расположенной в 10 км к северовостоку от центра города (табл. 39). Данные табл. 39 заимствованы из «Справочника по климату СССР» [51] и расположены в порядке возрастания высот. Они свидетельствуют об огромной климатообразующей роли рельефа в формировании термического режима Алма-Аты. К сожалению, влияние самого города на повышение температур можно проследить по данным одной станции — Алма-Ата, ГМО, расположенной в южной его части.

В зимние месяцы (декабрь — февраль) влияние города не выявляется в явной форме в силу огромного влияния рельефа, однако с марта по ноябрь существование городского острова тепла у земли можно установить даже по средним многолетним значениям температур воздуха. Особенно заметно это влияние во вторую половину лета в периоды устойчивой погоды, формирующейся в условиях среднеазиатской термической депрессии.

Наиболее четко температурные различия города и северных пригородов выявляются в отдельные части суток и при ясной по-

Таблица 39 Средняя месячная и годовая температура воздуха (°C)

Станция	Высота, м	Период наблюдений	ı	11	111	IV	V	10
Алма-Ата Алма-Ата, город Алма-Ата, ГМО Каменское плато	671 825 847 1350	1934—1958 1881—1914 1915—1960 1932—1941	-8,0 -7,4	-8,9 -6,9 -5,6 -3,4	-0,2 1,8	10,3 10,0 10,5 8,1	16,0 15,8 16,2 13,4	20,3 19,9 20,6 17,9
	Высота,	Период наблюдений	VII	VIII	x x	ıxı	XII	Год
Алма-Ата Алма-Ата, город Алма-Ата, ГМО Каменское плато	671 825 847 1350	1934—1958 1881—1914 1915—1960 1932—1941	$\begin{bmatrix} 22, 3 & 2\\ 23, 3 & 2 \end{bmatrix}$	21,0 i. 22,3 i	5,6 8,0 5,3 7,7 6,9 9,5 1,9 8,1	-1.0 0,8	$\begin{bmatrix} -6,4\\ -4,8 \end{bmatrix}$	7,6

годе. Проследить эти различия можно по данным станций Алма-Ата и Бурундай, расположенных к северо-востоку и северо-западу от города соответственно. По станциям Алма-Ата и Алма-Ата, ГМО сравнение проведено за 10-летпий период, а по станциям Бурундай и Алма-Ата, ГМО — за 5-летний период круглосуточных наблюдений.

В наиболее неблагоприятных термических условиях находятся северо-восточные окраины города, отличающиеся большой годовой и суточной амплитудой температуры воздуха. В годовом ходе наибольшие температурные различия между северо-восточными окраинами и городом наблюдаются в зимпие месяцы, максимума контрасты достигают в январе (—2,6...—3,5 °С). Минимальные различия наблюдаются веспой и в начале лета за счет обострения фронтальных процессов. В суточном ходе максимальные разности формируются в утренние часы, зимой максимум сдвигается на более позднее время.

Средние за пять лет разности температур воздуха северо-западные окраины — город значительно меньше, что обусловлено менее интенсивным стоком воздуха в эти районы.

В среднем северо-восточные окраины оказываются круглый год холоднее города, а северо-западные — с ноября по март. В марте—апреле и октябре — ноябре различия в температуре воздуха подавляются общециркуляционными процессами, активным развитием циклонической деятельности. Днем летом контрасты сглаживаются за счет возрастания подвижности атмосферы, максимального развития процессов термической конвекции.

Максимальные температурные контрасты северо-восточные окраины — ГМО наблюдались в утрениие часы и достигали 11—18 °C зимой и 8—12 °C в другие месяцы года. В январе — фев-

рале за 6 ч повторяемость разностей температур воздуха от —3,0 до —6,9 °C составляет 44 %, летом (июнь — август) максимум повторяемости (60—61 %) принадлежит градациям от —1,0 до —4,9 °C. В переходные сезоны (март — апрель и октябрь — ноябрь) контрасты температур чаще принимают минимальные значения в годовом ходе. В сравнении с утренними часами в 15 ч летом преобладают положительные значения разностей, повторяемость отрицательных разностей значительно уменьшается.

Максимальные контрасты температур воздуха Бурундай—ГМО в утренние часы не превышали 11°С, наибольшую повторяемость за 6 ч зимой имеют разности температур от —1,0 до —3,9°С, а летом — от 0,1 до 1,9°С.

Целесообразно рассмотреть температурные контрасты город — пригород по типам погоды [48]. В табл. 18 приложения представлена повторяемость типов погоды за отдельные месяцы и за год по ст. Алма-Ата, ГМО за 6 и 15 ч. Следует указать, что в Алма-Ате существенную повторяемость имеют шесть типов ясных и пасмурных погод, наблюдающихся или при отсутствии ветра, или при слабых его скоростях. Так, зимой в утренние часы погоды «тихо — ясно» и «тихо — пасмурно» составляют 80 %, в целом за год — 64 %. В июле в утренние часы возрастает повторяемость четвертого типа погоды, что находит свое отражение в росте температурных различий района ГМО и северо-восточных окраин.

В результате анализа полученных разностей по типам погоды установлено, что максимальные их значения в утренние часы наблюдаются в ясную и полуясную погоду при наличии ветра с гор, т. е. при ветре с южной составляющей. В дневные часы разности велики лишь зимой, когда явления стока холодного воздуха наблюдаются довольно часто. Большие разности город — северный пригород зимой формируются после холодных вторжений, в периоды ясной и малооблачной погоды они могут удерживаться в течение 10—15 дней и, как правило, сопровождаются ветрами с гор.

На основе имеющихся разностей температур воздуха северовосточные окраины — город за десятилетний период для 4-го и 5-го типов погоды были получены уравнения регрессии и средние квадратические ошибки расчета, позволяющие по температуре воздуха в ГМО (t_{Γ}) рассчитать температуры на северо-восточных окраинах города (t_{Λ}) в январе, мае, июле и сентябре

$$t_{A_{\rm I}} = 0.72t_{\Gamma} - 8.51, \quad \sigma_{A_{\rm I}} = 6.2;$$
 (1)

$$t_{\rm AV} = 0.72t_{\rm \Gamma} - 0.02, \quad \sigma_{\rm AV} = 3.3;$$
 (2)

$$t_{A_{VII}} = 0.56t_{\Gamma} + 3.02, \quad \sigma_{A_{VII}} = 3.7;$$
 (3)

$$t_{A_{IX}} = 0.83t_{\Gamma} - 2.25, \ \sigma_{A_{IX}} = 3.7.$$
 (4)

Таким образом, в условиях Алма-Аты и в пригородных районах под влиянием сложного взаимодействия многих факторов формируются различные термические микроклиматы.

Значения ежедневной средней и экстремальной температуры

воздуха даны в табл. 19 приложения.

4.2. Температура почвы

Тепловые свойства почвы зависят от целого ряда факторов: форм рельефа, температуры воздуха, притока солнечной радиации, характера растительности, степени увлажнения и минерализации, структуры и механического состава почвы. В зимний период на термический режим почвы оказывает влияние еще высота и плотность снежного покрова, продолжительность периодов с устойчивыми отрицательными температурами воздуха и т. д.

Данные по температуре почвы получены по наблюдениям на

ст. Алма-Ата, ГМО.

Для характеристики температуры поверхности почвы были использованы данные напочвенных термометров, установленных па поверхности почвы горизонтально: летом на оголенной и взрыхленной почве, зимой на поверхности снега. Почва — предгорный чернозем, мелкосуглинистый, переходящий на глубине 22 см в средний суглинок и на глубине 46 см в тяжелый суглинок.

Годовой ход температуры поверхности почвы аналогичен годовому ходу температуры воздуха. В среднем многолетнем средняя годовая температура поверхности почвы равна 10 °C (табл. 40) и превышает среднюю годовую температуру воздуха на 1,3 °C. Отрицательные значения температуры поверхности почвы наблюдаются с ноября по февраль, понижаясь от —1 до —9 °C. Минимум средней месячной температуры поверхности почвы отмечается в январе (—9 °C), но в отдельные очень холодные зимы температура на поверхности почвы (снега) может понижаться до —46 °C.

Весной температура поверхности почвы резко возрастает: средняя температура апреля 12 °C, мая 20 °C. Летом изменения температуры поверхности почвы от месяца к месяцу незначительны. Максимума средняя месячная температура поверхности почвы достигает в нюле (29 °C), а в отдельные годы она может повышаться до 70 °C. С августа начинается понижение температуры поверхности почвы, а в ноябре температура поверхности почвы понижается до отрицательных значений.

Первые заморозки на поверхности почвы в среднем многолетнем отмечаются в первой декаде октября и заканчиваются в третьей декаде апреля. Средняя продолжительность безморозного периода на поверхности почвы составляет 160 дней, средняя дата первого заморозка 4 октября и последнего 26 апреля.

Средняя температура поверхности почвы обладает большой изменчивостью от года к году. Временную изменчивость средней характеризуют ее вероятностные характеристики (табл. 41), ко-

Tаблица 40 Температура почвы (°C) на поверхности и на глубинах

			ļ		•			•			Глубин	а, см					
Месяц	ī	₹ _{макс}	Т	$\overline{t}_{ ext{MIIII}}$	T	5	10	15	20	30	40	60	80	120	160	240	320
													0.0	4.6	6.1		10,3
I	-9	1	13	—18	45					-1,6	0,2	1,0	2,3	4,6	6,1	8,9	
II	— 7	2	24	-14	46					-1,3	-0,5	0,4	1,4	3,4	4,7	7,4	8,9
III	2	13	43	— 5	33					1,9	1,9	2,2	2,4	3,2	4,2	6,3	7,9
IV	12	30	54	3	—16	12,1	11,7	11,3	11,0	9,9	9,0	8,2	7,5	6,4	6,2	6,6	7,6
V	20	40	63	8	— 9	18,7	18,1	17,5	17,0	15,6	14,4	13,3	12,5	10,7	9,8	8,4	8,4
VI	26	49	66	12	<u>—1</u>	23,6	23,2	22,6	22,1	19,8	18,4	17,2	16,3	14,3	13,0	10,8	10,0
VII	29	54	70	15	4	27,2	26,7	26,2	25,9	22,8	21,5	20,2	19,2	17,1	15,6	13,0	11,6
VIII	27	52	66	13	3	26,1	26,0	25,7	25,5	23,2	22,2	21,3	20,5	18,7	17,4	14,8	13,2
IX	20	43	60	8	_5	19,7	20,0	20,1	20,1	19,0	18,9	18,8	18,8	18,2	17,4	15,6	14,1
X	9	26	48	1	_19	10,4	11,0	11,2	11,8	11,4	12,5	13,4	14,3	15,2	15,5	15,1	14,3
IX	1	9	31	8	43					3,6	5,3	6,9	8,4	10,6	11,8	13,4	13,5
XII	<u>_8</u>	0	18	—15	_39					-0,2	1,5	2,8	4,5	6,9	8,5	11,0	11,9
Год	10	26	70	0	_46					10,3	10,4	10,5	10,7	10,8	10,9	10,8	11,0

Таблица 41 Средняя месячная температура поверхности почвы различной обеспеченности. 1947—1970 гг.

Месяц	Сред-		77	Обеспе	еченность, я	ó	·	
	при	2	5	10	50	90	95	98
I II III IV V VI VIII VIII IX X XI XII	-9 -7 2 12 20 26 29 27 20 9 -1 -8	-17,4 -20,01 -3,3 8,7 14,6 21,6 25,2 23,7 16,3 5,7 -6,3 -16,2	-15,0 -14,8 -2,3 -9,6 16,2 22,5 25,8 24,6 17,3 6,5 -14,2	-13,3 -11,7 -1,3 10,3 17,3 23,3 26,4 25,3 18,0 7,2 -4,9 -12,3	-8,9 -6,2 2,0 12,6 20,0 25,6 29,1 27,2 19,5 9,4 -1,6 -7,7	-5,6 -2,3 6,0 14,8 22,4 28,1 32,2 29,0 21,9 10,8 2,5 -3,1	-4,7 -1,6 6,9 15,4 23,0 28,8 33,3 29,4 23,0 11,4 3,3 -2,0	-3,6 -0,9 8,0 16,2 23,8 29,7 34,7 29,7 24,6 12,4 4,4 -0,8

Взято приближенно.

торые показывают, как часто в отдельные годы при определенной средней температуре могут наблюдаться те или иные значения. Например, в Алма-Ате при средней температуре января —9 °C один раз в 50 лет (2 %-ная обеспеченность) температура поверхности почвы может понижаться до —17,4 °C.

Температура верхних слоев почвы (5-20 см) измеряется коленчатыми термометрами, которые устанавливаются на теплый период (апрель — октябрь) на открытой, взрыхленной, свободной от растительности поверхности (см. табл. 40). Данные таблицы характеризуют термический режим пахотного слоя.

Для характеристики особенностей термического режима почвы на разных горизонтах привлечены данные вытяжных термометров под естественной поверхностью: летом — под растительным покро-

вом, зимой — под снегом (см. табл. 40).

Отрицательные значения средней месячной температуры почвы на глубине 20 см наблюдаются с декабря по февраль (см. табл. 40). Минимум отмечается в январе -1,6°C. В марте температура почвы на глубине 20 см начинает прогреваться и к маю ее температура повышается до 15,6 °C, достигая максимума в августе (23,2°C). С сентября начинается довольно значительное понижение температуры и к октябрю температура понижается на 11,8°C, а в декабре на этой глубине устанавливаются отрицательные температуры.

В годовом ходе самые высокпе средние месячные температуры на глубинах 40 и 80 см наблюдаются в августе (22,2 и 20.5 °C соответственно), на глубине 160 см — в сентябре (17,4 °С), а на глубине 320 см — в октябре (14,3 °C) (см. табл. 40). Самые низкие температуры на глубине 40 ѝ 80 см отмечаются в феврале, с глубиной минимум смещается — на глубине 160 см на март, а на

глубине 320 см — на апрель.

Ниже приводятся данные о первых и последних заморозках, о продолжительности безморозного периода на разных глубинах (табл. 42).

В табл. 43 приводятся данные о числе дней с температурой почвы на разных глубинах, равной или ниже 0 °С, хотя бы в один из сроков наблюдений (по вытяжным термометрам, под естест-

венной поверхностью).

Для целей строительного проектирования, закладки фундаментов и различных подземных сооружений на основе ежемесячных данных температур почвы на глубинах 20, 40, 80, 160 и 320 см были получены вероятностные значения средних месячных температур (табл. 20 приложения). Эти данные учитываются при оценке возможных изменений таких свойств грунтов, как сжатие, сцепление в зависимости от их температур.

 Таблица 42

 Дата первого и последнего мороза в почве и продолжительность безморозного периода

			Дата	мороза			Coorung Boo
Глуби-		последнего	,		первого		Средняя про- должитель- ность безмо-
на, см	средняя	самая ранияя	самая поздияя	средняя	самая рашияя	самая поздияя	розного периода, дин
20 40 80	19 III 6 III	12 [[6 IV 5 IV 16 III	23 XII 61	19 XI 24 XI 12 XIII	22 [[278 305

Примечание. Точка (\cdot) обозначает, что на данной глубине в данном месяце морозы были менее чем в 50 % лет.

Tаблица 43 Среднее и наибольшее число дней с температурой почвы 0 °C и ниже

Глубина, см	Число дней	X	XI XI	XII	1	11	III	IV	v	VI	Сумма за месяц	Процент лет, когда не было мороза на глубинах
20 40 80	Среднее Нанбольшее Среднее Нанбольшее Среднее Нанбольшее	0,0 0,0 0,0 0,0	12 7 0,0 0	11,8 31 23	25,0 31 12,0 31	21,4 29 15,5 29	30	3 0,0	0,0 0,0 0,0 5 0,0		75,5 129 38,9 113	25

Примечание. Точка (·) обозначает, что в данном месяце температура 0 °C наблюдалась менее чем в 50 % зим.

За глубину промерзания почвы нами принята глубина проникновения температуры 0 °С в почву, полученная по данным вытяжных термометров под естественной поверхностью. Глубина промерзания, полученная путем бурення или вырубки монолитов, меньше глубины проникновения температуры 0 °С в почву, так как переход почвы в мерзлое состояние пронсходит при температуре несколько ниже 0 °С.

В Алма-Ате устойчивое промерзание (проникновение температуры 0°С в почву) наблюдается с ноября по март. Максимальная глубина проникновения температуры 0 °C в почву наблюдается в феврале и составляет 59 см (рис. 28). Но несмотря на сравнительно небольшие, в среднем многолетнем, 100 глубины проникновения 0 °C в почву в отдельные годы нулевая изотерма может опускаться на значительно большую глубину. Так, в 120 зиму 1944-45 г. глубина проникновения 0 °С в почву составила 130 в 127 см.

Глубина проникновения 0 °С в почву распределяется по территорин города довольно неравномерно. В феврале 1964 г. разница в глубинах нулевой изотермы в восточной изотермы в территория и западаной изотермы в посточной изотермы и западаной изотермы посточной изотермы посточ

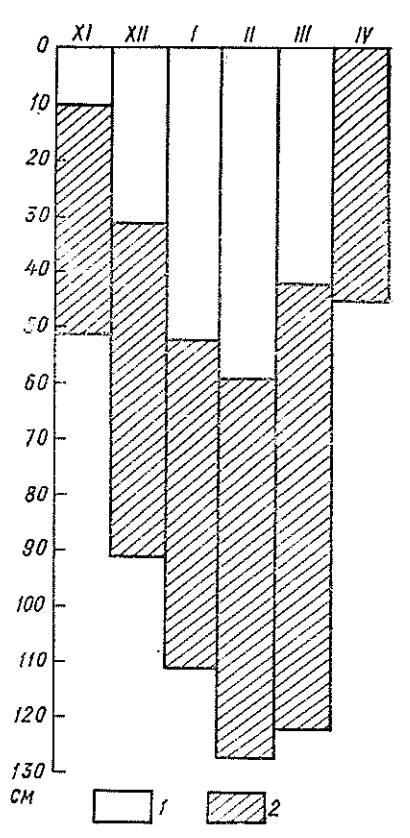


Рис. 28. Средняя (1) и наибольшая (2) глубина проникновения температуры 0°С в почву (под естественным покровом).

и западной частях города составила 50 см, в восточной и южной частях — 56 см [52].

В зимний пернод на тепловые свойства почвы большое влияние оказывает снежный покров, который является плохим проводником тепла, особенно если снег рыхлый. Под снежным покровом глубина нулевой изотермы меньше, чем без него. О защитной роли снежного покрова свидетельствуют данные эксперимента на площадке КазНИИ, расположенной в южной части города [52].

При проектировании различного рода подземных сооружений необходимы сведения о вероятностных значениях глубины проникновения 0 °C в почву. Ниже помещены данные о максимальной глубине проникновения 0 °C в почву, возможной один раз в 10, 20 и 50 лет (Алма-Ата, ГМО):

10 лет 20 лет 50 лет Глубина, см 112 123 136

5. РЕЖИМ АТМОСФЕРНОГО УВЛАЖНЕНИЯ

5.1. Влажность воздуха

Влажность воздуха определяется количеством водяных паров, содержащихся в нем и характеризуется тремя величинами: парциальным давлением водяного пара (е), относительной влажностью (r) и дефицитом влажности (d). Эти данные по ст. Алма-Ата, ГМО получены за период наблюдений 1936—1977 гг. Основные из них представлены в табл. 44. Парциальное давление водяного пара (абсолютная влажность) имеет четко выраженный годовой ход, согласующийся с ходом температуры воздуха (рис. 29). Минимум парциального давления водяного пара приходится на январь (3,0 гПа), а максимум — на июль (12,7 гПа). Это связано с тем, что влага поступает в воздух в результате испарения, которое тем больше, чем выше температура, а с повышением температуры газа растет и его давление. Среднее годовое парциальное давление водяного пара составляет около 8 гПа, а годовая амплитуда — более 9 гПа. Междумесячная изменчивость в общем невелика. Веспой и осенью она больше, чем зимой ($\pm 2...\pm 3$ и около ± 0.4 соответственно).

Таблица 44 Средняя месячная и годовая влажность воздуха

	Парциаль-		OTHOC	ительная	влажно	сть, %			о дией с от ролжава й	
Месяц	ное давле- ние водя- ного нара		срок	паблюден	ពេអ៊, ឬ		мини-	в один	из сроков	в 13 ч
		1	7	13	19	сутки	маль- ная	≪30	≪50	> 80
I III IV V VII VIII IX X XI XII Foa	3,0 3,4 5,3 7,6 10,0 11,9 12,7 11,3 8,5 6,5 4,7 3,5	75 77 75 65 61 59 48 48 52 61 73 76	76 78 77 66 61 55 52 52 54 64 75 76	67 67 65 51 48 42 36 34 35 47 65 69	76 76 72 57 54 49 46 43 47 58 73 76	74 74 72 59 56 49 45 44 47 58 72 74 60	19 21 12 11 12 13 7 9 10 10 10	0,7 0,7 1,6 6,8 6,8 8,7 17,5 15,6 9,0 2,4 0,9 85,1	9,4 8,2 10,6 18,3 22,5 26,1 29,5 29,2 27,4 21,8 10,8 8,4 222,2	8,7 7,4 7,5 3,1 2,2 0,9 0,4 0,5 0,7 3,3 7,6 10,0 51,3

В суточном ходе максимум парциального давления водяного пара зимой наступает около 13 ч (табл. 45). В теплое время года он смещается на послеполуденные часы, а минимум — в предутренние и ночные часы. Суточная амплитуда в зимние месяцы около 1 гПа, а летом увеличивается до 2,8 гПа (август).

Рис. 29. Годовой ход характеристик влажности и температуры воздуха. Алма-Ата, ГМО.

I — температура воздуха, 2 — дефицит насыщения, 3 — парцильное давление водяного нара, 4 — относительная влажность воздуха.

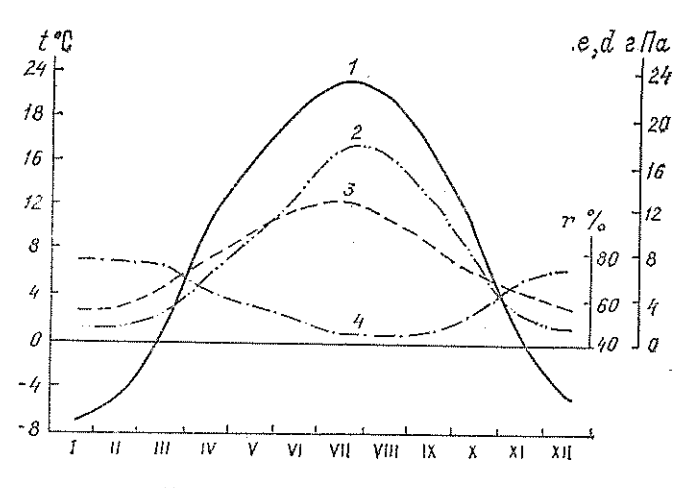


Таблица 45

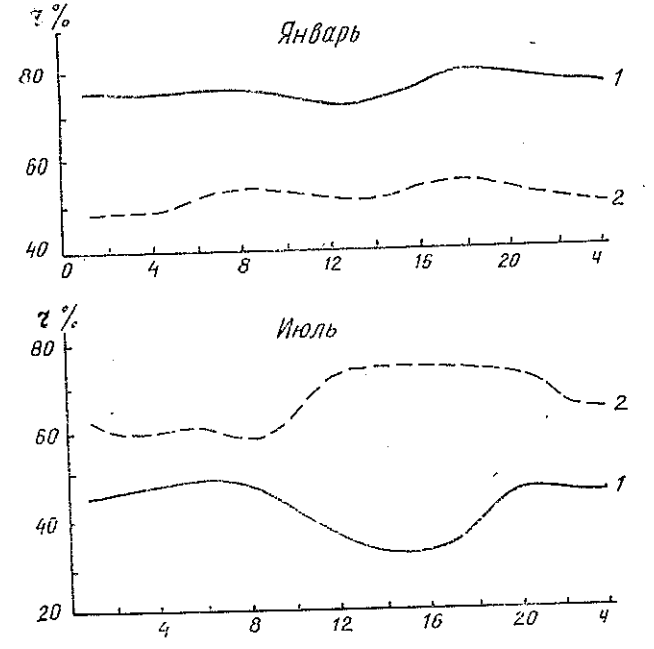
Среднее месячное и годовое парциальное давление водяного пара (гПа) в разные часы суток. Алма-Ата, ГМО

Время, ч	1	11	111	IV	v	VI	VII	VIII	lx	x	XI	IIX	Год
1 7 13 19 Амплитуда	2,8 2,7 3,3 3,1 0,6	3,2 3,0 3,6 3,6 3,6	5,0 4,7 5,6 5,7	7,1 7,7 8,3	9,3 9,8 10,4 10,8 1,5	10,4 11,6 12,5 13,0 2,6	11,2 12,6 12,8 14,0 2,8	10,4 11,3 11,1 12,4 2,0	8,1 8,2 8,4 9,3 1,2		4,4 4,2 5,2 5,0 0,8	$\begin{bmatrix} 3,1 \\ 3,7 \end{bmatrix}$	6,8 7,0 7,8 8,0 1,6

Относительная влажность воздуха представляет наибольший практический интерес, так как характеризует степень насыщения воздуха водяными парами. В Алма-Ате наиболее высокой относительная влажность воздуха бывает в холодное время года. Средние месячные значения ее в это время (ноябрь — март) составляют 72—74 % (как в г. Сочи) с отклонениями в отдельные годы от 63 до 86 % (см. табл. 44). В теплое время года по мере повышения температуры воздуха относительная влажность падает. В период с апреля по октябрь значения ее колеблются от 59—56 до 45—44 % с минимумом в августе. Таким образом, годовой ход относительной влажности воздуха обратен годовому ходу температуры воздуха (см. рис. 29).

Амплитуда суточных колебаний относительной влажности в среднем составляет 12 % с минимальными значениями зимой и максимальными с июля по октябрь.

Максимум относительной влажности воздуха наблюдается около 7 ч утра, а минимум — в околополуденные часы. Суточный ход относительной влажности в горных условиях в значительной степени связан с направлением горно-долинного ветра. В утренние часы с повышением температуры относительная влажность в уро-



30. Суточный Рис. относительной пох влажности воздуха. 1 — Алма-Ата, ГМО; 2 — Мынжилки.

чище Мынжилки начинает несколько снижаться примерно с 6 ч. Такой закономерный ход относительной влажности нарушается в 9—10 ч, когда относительная влажность начинает возрастать со сменой горного ветра на долинный. Еще более заметно влияние горно-долинного ветра на влажность воздуха в вечерние часы. В Заилийском Алатау после смены ветра (около 22 ч) по направлек предгорной долине отмечается заметное уменьшение влажности воздуха в урочище Мынжилки и увеличение ее в городе. Таким образом, горно-долинный ветер способствует некоторому увлажнению воздуха предгорной равнины в ночные часы. В зимние месяцы суточный ход относительной влажности сглажен (рис. 30).

Абсолютные отклонения от нормы месячных значений относительной влажности (средняя междугодовая изменчивость) зимой минимальны — около $\pm 3...\pm 4$ %, а в теплое время года они увеличиваются до $\pm 5...\pm 7$ % с максимумом в октябре. Это значит, что в отдельные годы зимой средняя месячная относительная влажность может достигать 81-86 % (81 % - январь 1974 г., 83 % — декабрь 1972 г., 86 % — февраль 1952 г.), а в годы мини-

мума она на 20 % меньше.

В самые сухие месяцы года средняя месячная относительная влажность воздуха составляет только около 30 % (31 % в июле и 32 % в августе 1944 г.), а в годы максимума ее значения не достигают 60 % (55 % — июль 1944 и 1964 гг., 58 % — август 1958 г.).

Наименьшие значения относительной влажности воздуха наблюдаются в дневные часы. В холодное время года (с ноября по март) и в период с июля по сентябрь средние месячные значения ее изменяются незначительно-в пределах 65-69 и 34-36 % соответственно. В переходные периоды эти различия выражены более резко, особенно осенью. Если от марта к апрелю различия в средних месячных значениях составляют 14 % (65 и 51 %) то от октября (47 %) к ноябрю (65 %) они порядка 20 %. В отдельные годы отклонения относительной влажности в 13 ч от средней многолетней могут быть значительными. Так, в декабре 1936 г. они составили 18 %, а в июле 1944 г. — только 7 %. Наиболее полное представление о возможных значениях относительной влажности в отдельные годы дают вероятностные характеристики, позволяющие раскрыть структуру режима влажности, обусловленного как суточным и сезонным ходом температуры, так и циркуляционными особенностями. Расчеты были выполнены по данным ежедневных наблюдений ст. Алма-Ата, ГМО за 40 лет для всех месяцев и года (табл. 46).

По обеспеченности средней месячной относительной влажности воздуха можно судить о том, в каких пределах она колеблется в отдельные годы. Максимальные значения средней месячной влажности не превышают 86 % (табл. 46). Минимум не опускается ниже 30 %. Но при этом минимальные значения влажности могут достигать 65 %. Амплитуда колебаний средней относительной влажности составляет 18—29 % и лишь в октябре она более значительная и составляет 39 %. Наименьшая изменчивость наблюдается в зимние месяцы (декабрь, январь). Так, в декабре и январе средняя месячная относительная влажность в 80 % случаев выше 70 %. В сухие летние месяцы (июль, август) в 70 % случаев влажность бывает менее 50 %. Случаи с влажностью менее 40 % составляют 10—20 %.

Значения минимальной относительной влажности в виде характеристик различной обеспеченности, приведенные в табл. 47, свидетельствуют о пределах вариации минимальных значений относительной влажности во влажные и сухие годы. Анализ данных таблицы показывает, что минимумы имеют своеобразный годовой ход. Самые низкие значения минимумов приходятся на июль и август (7—9 % соответственно), а самые высокие— на зимние месяцы (18—21 %). В период с июля по сентябрь относительная влажность в дневные часы 20 % и ниже наблюдается в 60—80 % случаев.

Косвенным показателем сухости климата служит число дней с относительной влажностью воздуха 30 % и ниже в любой из сроков наблюдений. Наибольшее число таких дней приходится на лето (15—18), а наимепьшее (0,7—0,9)— на зиму. В году их бывает до 85.

В отдельные годы число дней с такой относительной влажностью может быть в 1,5—2,0 раза больше или меньше. Например, в июле 1943 и 1944 гг. дней с относительной влажностью 30 % и

Таблица 46

Средняя месячная и годовая относительная влажность воздуха (%) различной вероятности. Алма-Ата, ГМО

	-			Вероятность, %											
Месяц	Средияя	Макси- жальная	5	10	20	30	40	50	60	70	80	90	95	Мишма 15-	
I II IV VI VIII VIII X X XI XI	74 74 72 59 56 49 45 44 47 58 72 74	81 86 83 73 68 63 55 58 57 78 80 83	80 84 81 71 66 58 54 55 56 73 79 82	79 82 79 69 65 57 53 54 69 78 81	77 78 78 66 63 56 51 50 52 64 77 80	76 77 77 64 60 54 49 48 50 62 75 78	75 76 75 62 58 51 47 47 49 59 73 76	74 75 73 60 57 50 46 45 48 58 72 74	73 73 73 58 55 48 44 43 46 54 70 73	72 72 71 56 54 46 43 42 44 52 68 72 58	71 71 68 55 52 45 42 39 42 49 67 70	68 70 64 52 47 43 38 37 40 46 63 68	65 67 62 47 43 42 35 34 38 43 58 67 50	63 65 58 44 41 39 31 32 37 39 54 65	
Год	60	86	70	68	66	64	62	60	59	56] 50	1 55] 50	i or	

Таблица 47

Минимальная относительная влажность воздуха (%) различной вероятности. Алма-Ата, ГМО

	1 113 IBH61X	.,	Вероятность, %											
Месяц	Средняя из минимальных	5	10	20	30	40	50	60	70	80	90	95	26	год
I III III VI	31 32 27 21	41 43 41 30	39 38 37 27	36 36 32 24	33 34 31 22	32 33 28 21	31 31 26 20	30 30 25 19	27 28 23 18	25 27 22 16	23 24 20 14	21 23 17 12	19 21 12 11	1953 1964 1944 1950,
V VI VII VIII IX X XI XII	23 22 19 18 17 18 25 30	31 31 27 24 24 30 37 46	29 29 25 23 22 27 35 42	28 26 23 21 20 22 31 36	27 24 21 20 18 18 30 34	26 22 20 19 17 18 28 31	24 20 19 18 16 17 24 30	22 19 18 17 15 16 22 28	20 18 17 16 15 15 20 25	18 17 16 15 14 14 18 23	16 16 14 14 13 13 16 21	14 15 11 12 11 11 13 19	12 13 7 9 10 10 10	1951 1944 1944 1951 1956 1972 1936
Год	24	34	31	28	26	25	23	22	20	19	17	15	7	1944

менее было по 30, а в 1958 и 1959 гг. — только по 1. Повторяемость низкой относительной влажности в разные часы суток, представленная в табл. 48, имеет хорошо выраженный суточный ход с максимумом в 13 ч, который особенно велик в августе и сентябре (до 12 %).

Таблица 48
Повторяемость (в % от общего числа часов) относительной влажности 30 % и менее в разные часы суток. Алма-Ата, ГМО

	C	рок наб.	поденил,	ч		Срок наблюдении, ч						
Месяц	1 7 13	19	Месяц	I	7	13	19					
IV V VI VII	0,8 0,8 0,8 2,4	0,8 0,8 0,0 0,8	5,0 3,2 5,8 9,6	1,7 1,6 1,7 2,4	VIII IX X	2,4 1,7 1,6	0,8 1,7 1,6	12,1 11,7 6,5	3,2 3,3 2,4			

Большой практический интерес представляют сведения о высокой влажности воздуха, которая затрудияет эксплуатацию техники, способствует возникновению коррозии, создает дискомфортность погодных условий и т. д. О высокой влажности принято судить по дням, когда относительная влажность воздуха в 13 ч равна 80 % и более. В Алма-Ате такие дни в году составляют 51 день (14 %), 41 из них приходится на холодное время года (с ноября по март), когда в среднем за месяц их бывает от 7 до 10 с максимумом в декабре.

Летом влажные дии не ежегодны (1 день в 2,0—2,5 года) и меньше всего таких дней в июле. В отдельные годы значения колеблются в широких пределах. Например, в месяце максимума (в декабре) число влажных дней может быть и 20 (1931 г.) и 2 (1962 г.). В июле, как правило, их нет, но может быть 2 дня (1928, 1940 и 1968 гг.).

Для определения общей продолжительности влажного периода и его суточного хода по материалам ежечасных наблюдений вычислена суммарная средняя месячная и годовая продолжительность перепадов с относительной влажностью 70—100, 80—100 и 90—100 % (табл. 49). Следует отметить, что наиболее часто высокая влажность отмечается в холодное время года.

Таблица 49 Средняя продолжительность (ч) высокой относительной влажности воздуха. Алма-Ата, ГМО

*										•					
Относи- тельная влаж- ность, %	1-2-7	II	111	ΙΛ	\	IV	VII	VIII	XI	×	XI	XII	Холодиый период (XI—III)	Теплый пернод (IV-X)	Гол
70—100 80—100 90—100	464 332 166	439 319 153	432 309 169	230 140 66	177 100 44	88 44 14	48 22 6	46 21 6	83 43 16	223 138 70	410 284 146	470 337 160	2215 1581 794	895 508 222	3110 2089 1016

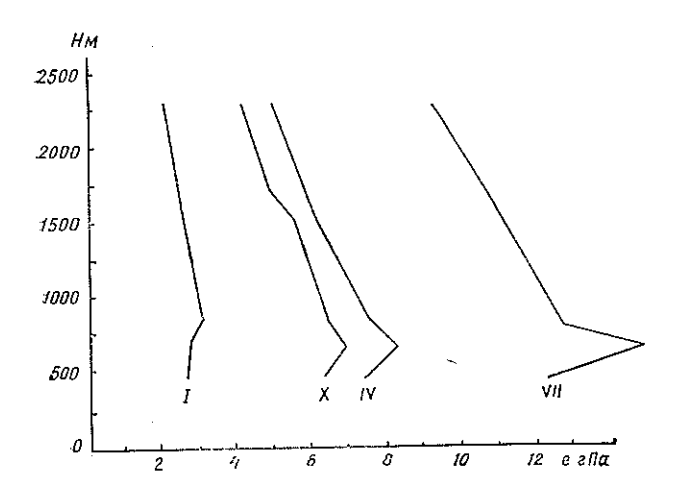


Рис. 31. Изменепарциального давления водяного пара с высосеверном той на Заилийского Алатау.

В период с ноября по март наблюдается до 2215 ч с влажностью 70 % и более, из которых 794 ч приходится на период с влажностью 90 % и выше. В теплое время года продолжительность влажного периода сокращается до 895 ч. Непрерывная суточная продолжительность этого периода колеблется от 516 до 900 ч, причем в вечерние, ночные и утренние часы повторяемость его примерно одинакова — 27—29 % средней годовой продолжительности периода с высокой относительной влажностью (70 % более) и 9—10 % всего времени года. Днем повторяемость этого периода наблюдается лишь в 17 %, а на фоне общего годового количества часов — в 6 %.

Дефицит насыщения, как и парциальное давление водяного пара, имеет годовой ход, аналогичный температуре воздуха (см. рис. 29) с максимумом в июле (17,6 гПа) и минимумом в январе (1,2 гПа). В суточном ходе наибольшие значения дефицита насыщения отмечаются в дневные часы во все месяцы года

(табл. 50).

Характер годового и суточного хода влажности воздуха город-окрестности в районе Алма-Аты обусловлен не столько урбанизацией, т. е. антропогенными факторами, сколько главным образом различиями ландшафтных зон и абсолютных высот территории на небольшой протяженности, о чем убедительно свидетельствуют данные табл. 51. С увеличением высоты местности парциальное давление водяного пара убывает, и различия эти наиболее ярко выражены летом. В это время года в районе аэропорта, расположенного почти на 200 м ниже городской станции Алма-Ата, ГМО, значения парциального давления водяного пара на 1,8 гПа выше, а в горах, в районе Медео, на 1,7 гПа ниже относительно города. В холодное время года в горных районах наблюдаются инверсии влажности воздуха порядка нескольких гектопаскалей. На рис. 31 прослеживается изменение градиента от зимы к лету и по высоте места. Летом до 700 м высоты он поло-

Таблица 50 Средний месячный и годовой дефицит насыщения (гПа) в различные часы суток. Алма-Ата, ГМО

Время, ч	I	11 -	111	1/	v	17	AII	AIII	ΙX	х	ХI	11X	Год
1 7 13 19 Среднее	1,0 1,1 1,8 1,1 1,2	1,1 1,1 2,0 1,3 1,3	2,0 1,7 3,8 2,8 2,6	' .	6,8 7,0 13,2 10,9 9,5	15,7	13,3 12,7 24,9 19,4 17,6	12,1 11,4 23,9 17,1 16,1	8,7 7,9 17,7 12,3 11,6	4,9 4,1 9,7 6,2 6,2	2,1 1,8 3,6 2,2 2,4	1,2 1,2 2,0 1,2 1,4	5,7 5,4 10,7 8,1 7,5

 Таблица 51

 Различия в режиме влажности города и окрестностей

mps.	Сред	ияя за с	11089		1 u			13 ч	
Станция	е rПa	r %	d rΠa	e r∏a	г %	<i>d</i> rПа	<i>е</i> гПа	r %	d r∏a
		***************************************	3	има					•
Алма-Ата, ГМО Алма-Ата, аэро- порт	3,3 3,0	74 82	$^{1,3}_{0,7}$	$\begin{array}{c} 3,1 \\ 2,8 \end{array}$	76 85	1,1	3,5 3,4	68 74	1,9 1,2
Разность	-0,3	8	-0,6	-0,3	9	0,6	-0,1	6	-0,7
Алма-Ата, ГМО Медео Разность	3,8 2,5 -0,8	74 53 —21	1,3 2,5 1,2	$^{3,1}_{2,4}_{-0,7}$	76 53 —23	1,1 2,6 1,5	3,5 2,7 —0,8	68 51 —17	1,9 3,5 1,6
		,	- '	есна		1 -,0	,,,,	•• 1	1,0
Алма-Ата, ГМО Алма-Ата, аэропорт	7,6	62 70	$\substack{5,9\\5,2}$	7,2 8,0	67 80	4,4 2,3	7,9 8,3	55 53	7,9 9,9
Разность	0,8	8	_0,7	0,8	13	2,1	0,4	- 2	2,0
Алма-Ата, ГМО Медео Разность	7,6 6,1 —1,5	62 61 —1	$\begin{bmatrix} 5,9 \\ 4,7 \\ -1,2 \end{bmatrix}$	7,2 5,3 —1,9	67 60 —7	$\begin{bmatrix} 4,4\\4,2\\-0,2 \end{bmatrix}$	7,9 7,1 —0,8	55 61 6	7,9 5,7 —2,2
	. , ,			ето	'	, , , ,	•,• (٠ ١	-,-
Алма-Ата, ГМО Алма-Ата, аэро- порт	12,0 13,8	46 56	15,9 13,7	10,7 12,8	50 70	$\begin{bmatrix} 12,0 \\ 6,2 \end{bmatrix}$	12,1 12,9	37 36	$\frac{22,6}{25,5}$
Разность	1,8	10	-2,2	2,1	20	-5,8	0,8	-1	2,9
Алма-Ата, ГМО Медео Разность	12,0 10,3 -1,7	46 53 7	15,9 10,2 —5,7	10,7 8,8 —1,9	50 52 2	12,0 8,8 -3,2	$\begin{bmatrix} 12,1\\ 12,0\\ -0,1 \end{bmatrix}$	37 52 15	22,6 12,7 9,9
			Oc	ень					
Алма-Ата, ГМО Алма-Ата, аэро- порт	6,6	59 67	6,7 5,6	6,3 6,7	62 76	$\begin{bmatrix} 5,2\\2,6 \end{bmatrix}$	6,8	49 47	$\frac{10,3}{12,1}$
Разность	0,3	8 -	-1,1	0,4	14	-2,6	0,3	2	1,8
Алма-Ата, ГМО Медео Разность	6,6 5,2 -1,4	59 52 —7	6,7 5,9 -0,8	$\begin{bmatrix} 6,3 \\ 4,8 \\ -1,5 \end{bmatrix}$	62 52 —10	5,2 5,4 0,2	6,8 6,1 –0,7	49 52 3	10,3 7,5 —2,8

жительный (до 1 гПа), а выше парциальное давление водяного пара убывает до 0,2 гПа на каждые 100 м подъема (июль). Зимой (январь) изменение парциального давления водяного пара незначительное (0,1 гПа и менее).

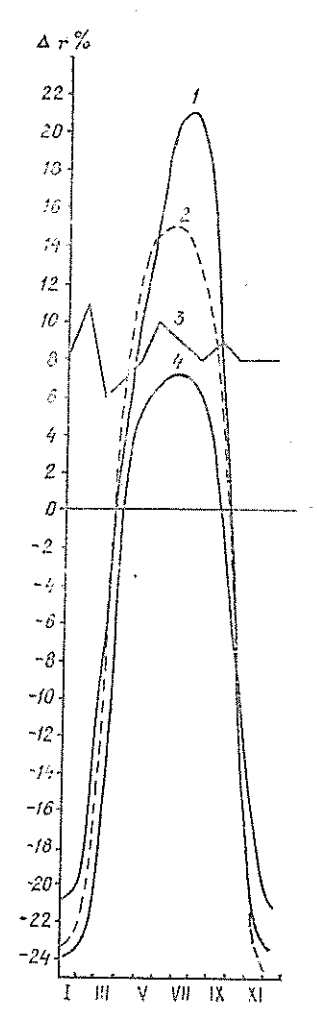
В суточном ходе наибольшие различия в значениях парциального давления водяного пара наблюдаются в ночные часы, особенно летом. В районе аэропорта парциальное давление водяного пара па 2,1 гПа выше, чем в городе, а в горах (Медео) она на 1.9 гПа ниже.

Относительная влажность воздуха к северу от Алма-Аты во все сезоны года в среднем на 7-10 % выше, чем в городе, а летом в ночные часы — на 20 %. К югу от города, в горах, годовой ход относительной влажности воздуха противоположен годовому ходу r на равнине (рис. 32). Увеличение количества осадков и понижение температуры с высотой обусловливает здесь максимальные значения влажности в весение-летний период и смещение максимальных ее значений на зиму из-за инверсий и фёновых явлений. Изменение относительной влажности с высотой в окрестностях Алма-Аты для представителей сезонов года показано на рис. 33. Различия в значениях влажности между городом и его окрестностями тем больше, чем больше разница в абсолютных высотах местности (табл. 52). Данные этой таблицы свидетельствуют также о росте сухих и влажных дней с высотой, причем наибольшее число сухих дней в году отмечается на высоте от 2 до 3 тыс. м над ур. м. (Верхний Горельник — 120 дней). Если при разности высот 1100 м число влажных дней увеличивается на

Таблица 52

Годовой ход относительной влажности воздуха и число дней за год с влажностью 30 % и менее в любой из сроков наблюдений и 80 % и более в 13 ч на северных склонах Заилийского Алатау

Станция	над уров- зя, м	Относь	тельна 9	я влажі К	ность,	Число д относит влажно	ельной стью,	Местоположение
	Высота на нем моря,	зима	весна	лето	осепь	<,30	08 /·	
Усть-Горельник Алма-Ата, ГМО	1943 847	53 74	67 62	62 46	56 59	86 85	78 51	Горная котловина Склон горной до- лины
Разность	1096	21	5	16	— 3	1	27	VIIII
Верхний Горельник	2272	50	64	61	52	120	84	Высокогорная до-
Алма-Ата, ГМО' Разность	847 1425	74 24	62 2	46 15	59 —7	85 35	51 33	
Мынжилки	3017	50	62	66	52	107	99	Высокогорная до-
Алма-Ата, ГМО Разность	847 2170	74 —24	62 0	46 20	59 —7	85 22	51 48	лина



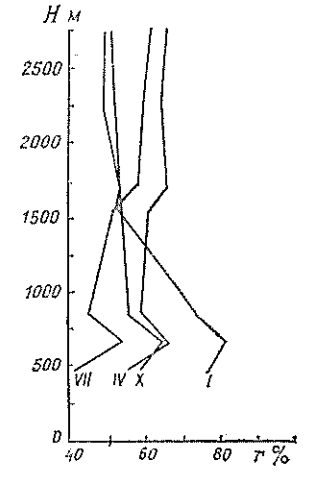


Рис. 32. Изменение относительной влажности воздуха r с высотой на северном склоне Заилийского Алатау.

Рис. 33. Различия в режиме влажности (город—окрестности).

1 — Мынжилки, 2 — Верхий Горельник, 3 — Алма-Ата, аэропорт, 4 — Медео.

27, 1500 м — на 33, то при различиях высот более 2000 м — почти на 50.

Значения дефицита насыщения с высотой уменьшаются (рис. 34). В январе различия невелики, в пределах 1 гПа, а в июле они выражены более ярко: в городе дефицит насыщения равен 17,6 гПа, на высоте 2000 м — около 7 гПа, а выше 3000 м уже около 4 гПа.

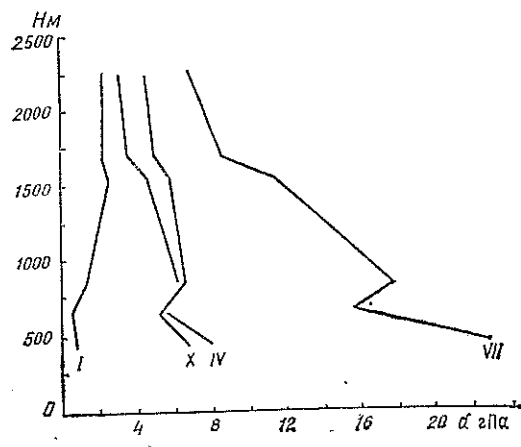


Рис. 34. Изменение дефицита насыщения с высотой на се-Заилийского склоне Алатау.

5.2. Атмосферные осадки

Количество осадков определяется толщиной (в мм) слоя выпавшей воды. При осадках (дождь, морось, туман, обильные росы, град, снег, снежная крупа и т. д.) давших 1 мм воды, на каждый квадратный метр поверхности приходится по метру воды, а на гектар — 10 т.

На метеорологической сети в настоящее время осадки измеряют осадкомерами, приемная поверхность которых имеет высоту 2 м. Прежние измерения по дождемеру (до 1951 г.) приведены

к показаниям современного прибора — осадкомера [59].

Осадкомер не является достаточно точным прибором для измерения количества осадков, так как образующиеся вокруг осадкомера завихрения воздушного потока препятствуют попаданию в ведро снежинок и капелек, часть снега выдувается ветром из измерительного ведра. Вследствие смачивания пленка воды удерживается дном и стенками осадкомерного ведра и поэтому не учитывается при измерении. За время между сроками измерений осадки частично испаряются. Все это приводит к значительным потерям. Для жидких осадков погрешности измерения, как правило, не превышают 10 %, для твердых — увеличиваются до 30— 35 %, а при сильном ветре достигают 50 % и более.

Вопрос о поправках к измеренному количеству осадков еще не решен окончательно, поэтому при вычислении средних экстремальных сумм, повторяемостей, сравнения данных за различные годы используют неисправленные данные об осадках. В текущие наблюдения, начиная с 1966 г., вводится поправка на смачивание, поэтому наряду с измеренными средними многолетними суммами с поправкой па приведены многолетние нормы (табл. 53), а также нормы с суммарной поправкой на смачивание и ветровой недоучет.

Таблица 53 Среднее количество осадков (мм). Алма-Ата, ГМО

Период	1
	Без введення поправок
1-я декада 2-я декада 3-я декада Месяц	9 8 16 25 32 24 13 9 6 13 18 10 10 8 9 20 35 32 20 11 7 9 15 16 11 11 11 12 26 32 28 13 12 8 11 21 13 10 28 29 62 92 93 57 36 24 26 49 47 32 198 377 575
	С поправками на смачивание
Месяц	30 30 66 98 97 60 40 26 28 51 51 34 211 400 611
Месяц	С поправками на смачивание и выдувание ветром 33 34 70 99 98 61 40 26 28 52 52 36 225 404 629

Из табл. 53 следует, что за год в Алма-Ате осадков выпадает столько, сколько и в зоне достаточного увлажнения (Москва, Ленинград, Брест и др.), но своеобразие годового их распределения и высокий температурный фон теплого периода создают здесь условия засушливости. Так, с мая по октябрь (более 180 дней) в среднем в Алма-Ате испаряемость превышает осадки в 4 раза, а в августе — в 11 раз (рис. 35). Коэффициент увлажнения К, представляющий отношение среднего годового количества осадков к среднему годовому количеству испаряемости, для Алма-Аты равен 0,45 (табл. 54). Это значит, что в Алма-Ате выпадает почти половина того количества влаги, которое может испариться при средней температуре воздуха и средней относительной влажности, вычисленной по формуле Н. И. Иванова

$$E_{\text{M}} = 0,0018 (25 + t)^2 (100 - a),$$

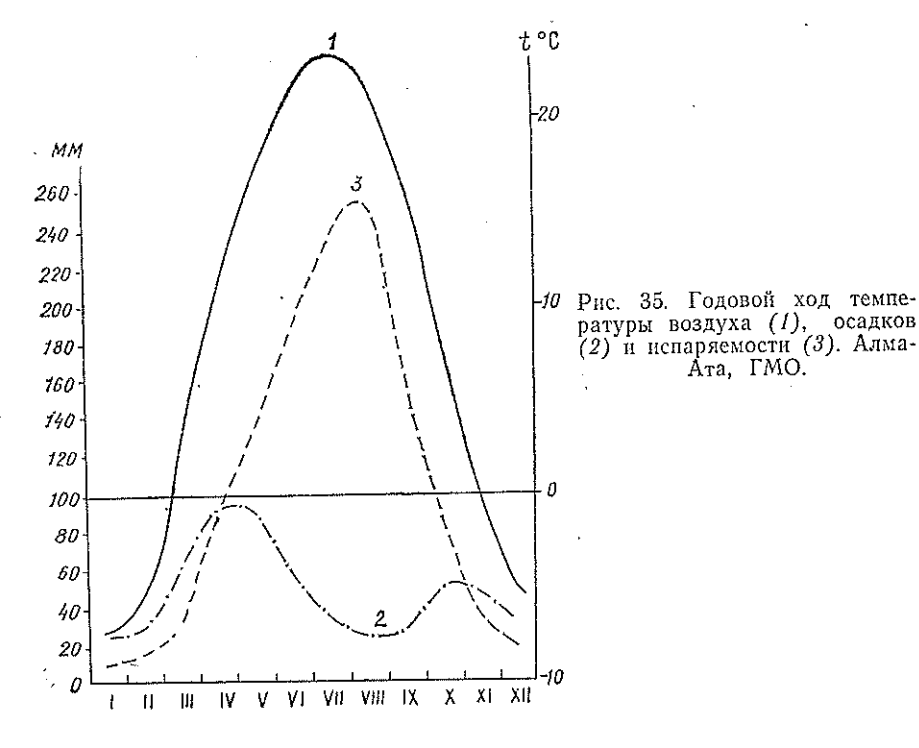
Таблица 54

Средние значения температуры, относительной влажности, испаряемости и коэффициента увлажнения. Алма-Ата, ГМО

Характе- ристика	_	П	1111	ΛI	>	IA	VIII	VIII	ΙΧ	×	ХІ	XII	V - X	Год
t°C r% E _M MM K	-7,4 74 15 1,84	18	32	5 9	56 134	50 187	45 231	22,3 44 256 0,09	46 171	9,5 56 94 0,52	0,8 71 35 1,34	-4,8 73 20 1,62	18,1 50 1073 0,27	8,7 60 1286 0,46

где $E_{\rm M}$ — испаряемость за месяц, мм; t — средняя месячная температура, °C; a — средняя месячная относительная влажность, %.

Как известно, активизация атмосферных процессов, усиление термической и динамической конвекции в условиях северных склонов Заилийского Алатау обусловливают увеличение количества осадков примерно до высоты 2 км. В связи с этим, если в северных, равнинных районах города (аэропорт) выпадает



456 мм, в центральных — 575 мм, то в южных и горных — уже 890 мм. Это значит, что на отрезке длиною в 30 км на каждые 100 м высоты в среднем за год количество осадков увеличивается на 50 мм.

Временная изменчивость атмосферных осадков велика. В наиболее дождливом 1958 г. выпало 923 мм — единственный случай за 97 лет (с 1879 по 1979 г.), а в наиболее сухом 1917 г. за тот же период было лишь 296 мм. Как выдающиеся влажные, так и очень сухие годы могут повторяться 2—3 раза подряд. Например, 1901 и 1902 гг. в Алма-Ате были влажными (816 и 810 мм соответственно), а осадки 1909 и 1910 гг. составили 70—54 % нормы.

По характеру внутригодового распределения месячных осадков в Алма-Ате выделяется глубокий минимум летом (август—24 мм) и 2 максимума — главный весной и второстепенный осенью (см. рис. 36). В 1920 г. весенний максимум осадков в годовом ходе сместился на осень. Наиболее влажными в течение года являются май и апрель (40 и 35 % лет соответственно). Один раз в 10 лет максимум в годовом ходе приходится на март, один раз в 15 лет — на июнь, один раз в 35 лет — на октябрь и один раз в 100 лет — на декабрь (1943 г.).

Значительна изменчивость и месячных сумм осадков в отдельные годы. Если в июле—августе 1913 г. не было ни одного дождя,

Таблица 55

Месячное и годовое количество осадков (мм) различной вероятности

Месяц		люденный исимум				Наблюденный минимум						
	ММ	год	2	5	19	20	50	80	95	95	мы -	год
IIIIIVVIIIVIIIIIIIIIIIIIIIIIIIIIIIIIII	79 67 137 190 209 190 102 75	1896 1934 1966 1896 1958 1979 1896 1958	69 64 134 178 198 146 87 71 76	58 57 116 162 171 119 76 62 52	50 52 100 146 152 102 65 54	40 44 82 126 130 83 53 43	26 29 54 90 91 54 31 23	15 15 36 56 53 39 16 5	10 8 26 42 37 19 8 2	8 5 21 30 26 10 5 1	4 1 12 17 5 3 0,2 0	1955 1901 1930 1927 1885 1927, 1955 1913 1884, 1913, 1919 1889, 1893, 1894,
X IX IIX коТ	145 112 85 923	1969 1941 1893, 1943 1958	133 102 78 860	110 88 62 800	91 77 53 748	69 64 44 684	53 46 29 563	27 28 15 464	19 19 9	12 13 6 371	0 4 2 293	1922, 1925 1954, 1955 1915 1949 1917

то в 1896 г. в июле их выпало 102 мм, а в августе 1958 г. — 75 мм, т. е. в 3—4 раза выше нормы. В табл. 55 приводятся данные о повторяемости различного количества осадков в Алма-Ате с 1881 по 1980 г.

В июле месячная сумма осадков, равная 65 мм, имеет 10%пую обеспеченность. Это означает, что в среднем один раз в 10 лет сумма осадков будет не меньше 65 мм, а в 90 % лет — меньше этого значения.

Число дней с различным количеством осадков отражает как частоту выпадения осадков, так и количество их за сутки. Общее число дней с осадками за год (0,1 мм и выше) в Алма-Ате равно 108 с колебаниями в отдельные годы от 136 (1941 г.) до 58 (1944 г.).

Годовой ход числа дней с осадками повторяет годовое распределение их количества с главным максимумом весной и минимумом в сентябре—августе (табл. 56).

Вследствие длительного теплого периода и сравнительно мягкой зимы с часто наблюдающимися оттепелями в Алма-Ате из общего количества осадков 65 % приходится на дни с жидкими, 14 %— на дни с твердыми и 21 % на дни со смешанными осадками. Распределение их для каждого месяца показано на рис. 36. В период с ноября по март в среднем 1—2 дня в месяц жидкие осадки выпадают при отрицательных температурах. В апреле и октябре такие случаи наблюдаются очень редко (табл. 57). В районе аэропорта один раз в 15 лет они бывают и в мае, а в зоне

Таблица 56
Число дней с различным количеством осадков. Алма-Ата, ГМО

		Осадки, мм											
Месяц	>0,1	>0,5	≥1,0	>5,0	≥10,0	≥20,0	>30,0						
І ІІ ІІІ IV VI VII VIII IX X XI XII	9 9 12 11 12 10 9 6 5 7 9 9	7 7 10 10 10 8 7 5 4 6 7 7	5 6 9 9 7 5 4 4 6 5 6	2 2 4 6 6 3 2 2 2 2 3 3 2 3 7	0,5 0,9 2 4 4 2 0,9 0,7 0,9 2 0,9 2	0,03 0,06 0,5 1 0,5 0,2 0,2 0,2 0,5 0,3 0,08	0,02 0,1 0,4 0,5 0,2 0,1 0,03 0,05 0,1 0,03						

Tаблица 57 Повторяемость P (%) жидких осадков при отрицательных температурах воздуха. Алма-Ата, ГМО

Характерис- тика	х	ΧI	XII	1	ΙΙ	m	IV	X-IV
$-\frac{\overline{n}_1}{\overline{n}_2}$ $P \%$	6,1	5,8	3,4	2,1	3,0	8,2	10,6	39,2
	0,4	1,0	1,4	1,2	1,2	1,5	0,3	7,0
	6,6	17,2	41,2	57,1	40,0	18,3	2,8	18,0

Примечание. $\overline{n_1}$ — среднее число дней с жидкими осадками, $\overline{n_2}$ — среднее число дней с жидкими осадками при отрицательных температурах.

среднегорья, в южных районах, жидкие осадки при отрицательных температурах выпадают в период с сентября по май. Максимум таких дней в годовом ходе наблюдается в марте, а второй—в декабре.

В среднем за сутки в Алма-Ате с осадками 0,1 мм и более выпадает следующее количество (X):

Месяц. . . I II III IV V VI VII VIII IX X XI XII Год
$$X$$
 мм . . . 3,4 3,5 5,6 8,8 8,2 6,1 4,4 4,5 5,4 7,7 5,4 3,7 5,6

Распределение суточного максимума осадков повторяет распределение среднего их количества. В экстремально влажные годы сумма осадков за сутки может превышать их месячную норму (см. табл. 21 приложения). Изменчивость суточного максимума осадков из года в год представлена в табл. 58. В мае, например, один раз в 5 лет можно ожидать суточный максимум 38 мм и более, а один раз в 20 лет — 51 мм и более. Как правило, эти осадки имеют ливневый характер и наблюдаются обычно-

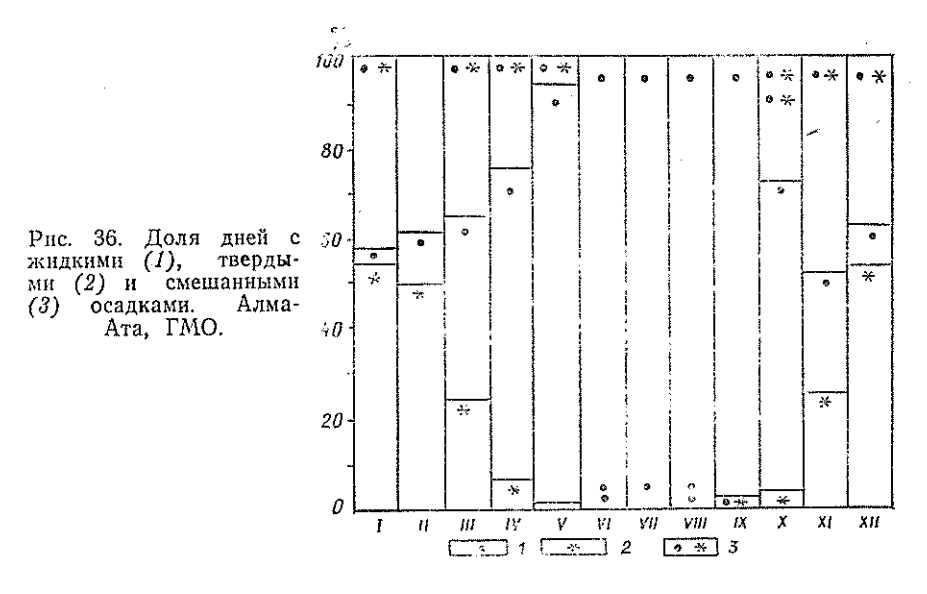


Таблица 58 Максимумы суточного количества осадков (мм) различной обеспеченности. Алма-Ата, ГМО. 1879—1980 гг.

	Средний	•			денный нмум				
	максимум	63	20	10	5	2	1	мм	год
1 111 111 V VI VII VIII X X XI XI	10 11 18 26 28 22 14 12 14 18 16 12	8 8 13 22 23 16 9 7 10 15 13	14 16 26 36 38 30 22 20 22 25 22 16	17 20 30 40 46 37 28 26 28 29 26 20	20 24 33 44 51 48 34 30 34 34 29 23	24 28 35 48 57 61 44 34 40 40 35 28	26 32 36 50 60 70 54 37 43 44 40 31	27 33 36 50 62 74 55 37 44 46 35	1886 1892 1966 1961 1884 1942 1896 1958 1890 1940 1994
Год	37	34	44	49	55	65	71	74	1942

с апреля по июль. Среднее число дней с ливнями в этот период составляет 6—8, а в отдельные годы — 16—19. Холодному времени года свойственны обложные осадки. Зимой (месяцы максимума) их доля относительно общего числа дней с осадками составляет 80—90 %. Переходному периоду свойственны моросящие осадки.

В суточном ходе обложные осадки во все времена года чаще всего (51 %) отмечаются в ночные часы, а ливневые днем в пос-

леполуденные часы, в период наибольшей вероятности грозовой деятельности.

Характер выпадающих осадков характеризует их продолжительность, годовой ход которой противоположен годовому ходу количества осадков. Как показано в табл. 59, суммарная продолжительность зимних осадков в 3 раза больше продолжительности летних. Максимальная продолжительность осадков (125 ч) наблюдается в марте, а наименьшая — в августе—сентябре (25 и 27 соответственно). Средняя продолжительность осадков в день с осадками 0,1 мм и более тоже наибольшая в холодное время года и наименьшая летом. Ниже дано распределение продолжительности осадков т в отдельные месяцы в течение суток:

Месяц. . . . I II III IV V VI VII VIII IX X XI XII Год τ ч 10,710,810,68,4 6,8 4,8 3,5 4,4 5,2 6,6 9,1 9,8 7,6

Таблица 59 Продолжительность осадков (ч). Алма-Ата, ГМО

Продолжитель- ность	I	II	111	IV	V	VI	VII	MIII	Χì	Х	ΧI	XII Год
Средняя Максимальная Год Минимальная Год	94 217 1969 23 1963	169 1961 26	212 1966 38	1958 35	156 1960 24	1967 16	1971 3	2	71 1969 . 2	54 153 1951 0 1954, 1955	38	

Средняя непрерывная продолжительность различного вида осадков и их повторяемость (число случаев) приводятся в табл. 22 приложения.

Продолжительность осадков определяет их интенсивность. Средняя месячная интенсивность осадков (мм/мин) в городе, полученная как отношение месячной суммы осадков к их продолжительности, следующая:

1 II III IV V VI VII VIII IX X XI XII 0,005 0,005 0,009 0,017 0,021 0,021 0,017 0,016 0,016 0,014 0,010 0,006

Максимальная интенсивность осадков, полученная по лентам самописца дождя (плювиографа) для различных интервалов времени (табл. 60), в Алма-Ате была отмечена 15 мая 1947 г.: за 1—2 мин интенсивность осадков составила 4,85 мм/мин.

В этой же таблице приводится наибольшая интенсивность осадков различной обеспеченности для определения интервалов времени, выполненная по методическому указанию ГГО. Эти расчеты показывают, что за 30 мин интенсивность осадков 0,6 мм/мин может наблюдаться каждые 5 лет (10%-ная обеспеченность); за 2 мин интенсивность осадков 5 мм/мин повторяется один раз в 50 лет (2%-ная обеспеченность). Примером редкой повторяемости максимальной интенсивности осадков может служить ливень 7 июня 1979 г., когда из 34 мм суточного максимума

Таблица 60 Средняя и максимальная интенсивность осадков (мм/мин) и ее обеспеченность для различных интервалов времени. Год. Алма-Ата, ГМО

				*** · · · · · · · · · · · · · · · · · ·	И	итервал вре	мени	***************************************				
Интенсивность		i	T	MIO	нуты			70		часы		
	1	2	3	4	5	10	20	30	1	12	24	
Средняя	1,09 0,94 2,21	1,03 0,87 2,47	0,92 0,68 1,97	0,85 0,56 1,44	0,79 0,50 1,18	0,61 0,33 0,86	0,44 0,22 0,97	0,33 0,16 1,21	0,22 0,095 1,45	0,040 0,017 1,25	0,025 0,08 0,08 1,95	
Наблюденная максимальная	4,85	4,85	3,77	2,88	2,32	1,56	1,05	0,86	0,59	0,091	0,063	
Число, месяц	15 V	15 V	15 V	15 V	15 V	8-9 V	8-9 V	8—9 V	8—9 V	8-9 V	8-9 V	
Год	1947	1947	1947	1947	1947	1963	1963	1963	1963	1963	1963	
Обеспеченность, %) 						
2	5,3	5,1	3,8	2,9	2,5	1,6	1,2	0,9	0,6	0,10	0,06	
5	4,I	3,8	2,9	2,4	2,1	1,4	1,0	0,8	0,5	0,09	0,05	
10	3,2	2,9	3,3	2,0	1,8	1,2	0,9	0,7	0,4	0,08	0,04	
20	2,4	2,1	1,8	1,6	1,5	1,1	0,8	0,6	0,3	0,06	0,04	
50	1,3	1,2	1,2	1,1	1,0	0,8	0,6	0,4	0,2	0,05	0,03	

co

30 мм выпало за 27 мин. Интенсивность этого дождя за 1-2 мин составила 5 мм/мин, за 3 мин — 4, за 4 мин — 3,5, за 5 мин — 3,2, за 10 мин — 2,4, за 20 мин — 1,5 и за 30 мин — 1 мм/мин. В Алма-Ате четко выражены дождливые и бездождные периоды. Дождливым считается период, в течение которого осадки выпадают ежедневно или с перерывами не более чем один день, а их суточная сумма не менее 1 мм. В Алма-Ате в 70 % случаев продолжительность таких периодов в среднем 2-3 дня, а в апреле 1896 и 1974 гг. она составила 14 дней. Сухим (бездождным) периодом считается такой период, в течение которого все дни были без осадков или с осадками менее 1 мм. В Алма-Ате средняя продолжительность бездождного периода составляет 17 дней. В отдельные годы она увеличивается до 50—60 дней (за 8 лет было 4 таких случая) и более (74 дня в 1910 г. и 79 1913 г.).

Для Алма-Аты, расположенной в селеопасной зоне, немаловажное значение имеют сведения о значительных и обильных осадках [26]. Значительными осадками принято называть осадки количеством более 8 мм за 12 ч. Дожди, дающие за сутки 30 мм и более, относятся к обильным и являются опасными для народ-

ного хозяйства.

В среднем за год число полусуток со значительными осадками в Алма-Ате составляет 22 с колебаниями в отдельные годы от 12 в 1967 г. до 33 в 1934 г. В северных районах города это значение уменьшается до 17, а в районах среднегорья достигает 33.

Значительные осадки чаще всего выпадают в жидком виде в дневные часы (74 %). Значительные осадки твердой и смешанной фаз наблюдаются редко и в основном ночью, когда их повторяе-

мость составляет 12-20 % соответственно.

Продолжительность периодов непрерывного выпадения значительных осадков отдельных видов различна. Непрерывное выпадение обложных осадков в пределах 12 ч и менее отмечается в 90-100 % случаев, с максимумом в интервале 6-12 ч (60-65 %) на всей территории города от северных равнин до южного среднегорья. Продолжительность значительных ливневых осадков в 95-100 % составляет 12 ч. Продолжительность менее 2 ч бывает в 11—15 % случаев.

Обильные осадки отмечаются ежегодно в среднем по 2 дня, а в годы максимума их может быть 7 (1963 г.). Среднее годовое количество обильных осадков составляет 34 мм. Осадки с суточным слоем 31 мм имеют обеспеченность 95 %. На 5 % обеспечены обильные осадки с суточным количеством 47 мм. Наблюден-

ный максимум в 1942 г. составил 74 мм.

При проектировании могут представлять интерес сведения об увлажнении вертикальных стен косыми дождями, обусловленными скоростью и направлением ветра [59, 60]. Как показано в табл. 61, количество осадков, поступающее на стены зданий при косых дождях, в среднем за год составляет 340 мм, или 60 % общего количества осадков, выпадающих на горизонтальную по-

Таблица 61
Среднее количество осадков (мм), поступающее на стены зданий различной ориентации при косых дождях. Алма-Ата, ГМО

								-	
Месяц	С	СВ	В	юв	Ю	103	3	СЗ	За месяц
І ІІІ IV VI VII VIII IX X XI XII	2 3 6 6 4 2 1 1 4 4 3 3 37	22 55 44 33 1 1 1 4 3 2 29	1 0 1 2 2 1 1 0 1 1 1 1	0 1 2 7 9 7 7 7 5 3 3 2 1	1 1 5 14 15 12 8 7 5 4 3 1	2 2 6 10 11 7 5 3 3 4 4 2 59	2 2 5 11 7 4 2 2 2 3 3 1 44	2 2 5 7 5 2 1 1 2 3 3 2 35	12 13 35 61 56 36 26 20 18 26 23 13

верхность (см. табл. 53); 54 % годового количества осадков — это осадки ветров южной составляющей.

Иногда за один косой дождь количество осадков, падающих на ограждающие конструкции, может превысить не только месячную норму осадков, но и их суточный максимум (табл. 62). Примером может служить дождь 7 июня 1979 г., давший на вертикальную поверхность 100 мм осадков за 29 мин. Скорость северо-западного ветра при этом достигала 16—20 м/с.

Таблица 62
Максимум осадков (мм) за один косой дождь различной обеспеченности в отдельные месяцы. Алма-Ата, ГМО

	Наблюдения	,,,,,,,,,,,,,,,,,,,,,,,,,,,,,,,,,,,,,,	Обеспеченность, %									
Месяц	мм	год	5	10	20	30	40	50	60			
IV V VI VII VIII IX X	36 68 52 34 52 27 43	1961 1947 1949 1948 1946 1951 1946	33 51 40 22 26 25 28	28 41 32 18 19 20 21	23 30 23 14 13 14 14	20 23 18 11 10 9	18 18 14 8 . 7 6	15 15 10 6 5 4 7	13 13 7 4 2 2 6			

5.3. Снежный покров

Снежный покров не только важный элемент климата, но и мощный климатообразующий фактор, влияние которого сказывается на режиме погодных, гидрологических и почвенных процессов.

Увеличение высоты места над уровнем моря внутри города с севера на юг накладывает свой отпечаток на распределение во времени и характер залегания снежного покрова в Алма-Ате.

Первые снегопады раньше всего отмечаются в южных окрестностях города — в первой декаде октября в районе Медео. Во второй декаде месяца снежный покров отмечается непосредственно в городе, а в третьей декаде — в северных районах, в районе аэропорта. В отдельные годы отклонения от средних дат колеблются в пределах месяца как в сторону более ранних, так и более поздних сроков. Самый ранний снегопад за 60-летний период наблюдений в городе зарегистрирован 14 сентября 1969 г., а в 1954 г. выпадение снега задержалось до 21 ноября (табл. 63).

Таблица 63 Даты первого снегопада, появления и образования устойчивого снежного покрова

Станция	Высота над	Дата	первого с	негонада	Дата появления снежного покрова				
	уров- нем моря, м	сред- няя	ранняя	поздняя	средняя	ранияя	поздняя		
Алма-Ата, аэро- порт Алма-Ата, ГМО Медео	671 847 1530	22 X 19 X 6 X	23 IX 14 IX 10 IX	21 XI 21 XI 10 XI	10 XI 1 XI 13 X	15 X 5 X 12 IX	13 XII 27 XI 14 XI		

	Дата образова:	` H		
Станция	средняя ранняя		поздияя	`Продолжительность предзимья, дии
Алма-Ата, аэро- порт Алма-Ата, ГМО Медео	5 XII 3 XII 10 XI	30 X 1 XI 19 X	13 I 19 I 14 XII	22 (0—68) 33 (0—79) 26 (0—60)

Примечание. В скобках приведены предельные (минимальные и максимальные) значения продолжительности предзимья.

Обычно за год в Алма-Ате бывает 40 дней со снегом. За это время твердые осадки дают около 80 мм, что составляет 14 %

общей годовой суммы.

Снежный покров, как и первые снегопады, прежде всего появляется в горных районах города (район Медео) — во второй декаде октября, 1 ноября — в центральных районах города и к концу декады (10 ноября) — в районе аэропорта. В отдельные годы даты появления снежного покрова могут отклонятся от средних на 4—5 недель в ту или иную сторону. Но этот первый снежный покров, как правило, быстро исчезает и в течение месяца отмечается несколько его становлений. С декабря снежный покров ложится в зиму и сохраняется около 100 дней. Один раз в 35 лет он может быть 1 ноября (1936 и 1943 гг.), а в 1968 г. он сформировался только 19 января. Это самая поздняя дата за весь период наблюдений (рис. 37). В экстремальные годы продолжительность его может увеличиваться до 150 дней либо сокращаться до 30.

Нарастание высоты снежного покрова в начале зимы происходит довольно равномерио, на 2—3 см от декады к декаде, достигая максимума в начале февраля в городе, со смещением на начало марта в южных его окрестностях (см. табл. 23 приложения). Особенности орографии города обусловливают рост средней за зиму высоты снежного покрова с севера на юг от 7 до 25 см, а средней из максимальных — от 30 до 70 см. В малоснежные зимы максимальная высота снежного покрова в городе едва достигает 10 см, а в экстремальные по снежности зимы она превышает 50 см. Повторяемость максимальной высоты снежного покрова в различные зимы по ст. Алма-Ата, ГМО с 1891 по 1975 г. представлена в табл. 64.

 $Taблица\ 64$ Наибольшая декадная высота снежного покрова (см) различной обеспеченности

	ень- гз де- гх,		Bej	оятност	ь декадн	ых высот	, 9á		-4 X
Станция	Нанмен шая из кадимх см	95	90	75	50	25	10	5	Наиболе шая из пекадиы см
Алма-Ата, город и Алма-Ата, ГМО	7 (1966)	15	18	23	30	38	45	49	58 (1967)

В середине декабря устанавливается пернод с высотой снежного покрова 10 см и более и держится 2—3 недели. Но зимой 1951-52 г. он сохранялся только 9 дней.

Уменьшение высоты снежного покрова вследствие таяния и уплотнения снега в обычные годы начинается около 15 февраля с колебаниями в отдельные годы от 11 января до 12 марта.

Следует иметь в виду, что высота снежного покрова измеряется на участках, где снежный покров в течение зимы не нарушается. В городе (за исключением территории парков, скверов, внутренних дворов) снег убирается, а в некоторых случаях вывозится; приведенные значения высоты снежного покрова для большей части города условные. Высоту снежного покрова важно знать при учете работ по уборке снега, определении нагрузки на крыши домов, скорости движения транспорта, глубины промерзания почвы и др.

Скорость снеготаяния зависит от интенсивности весенних процессов. При средней продолжительности 25—30 дней этот период в отдельные годы колеблется от 8 до 55 дней.

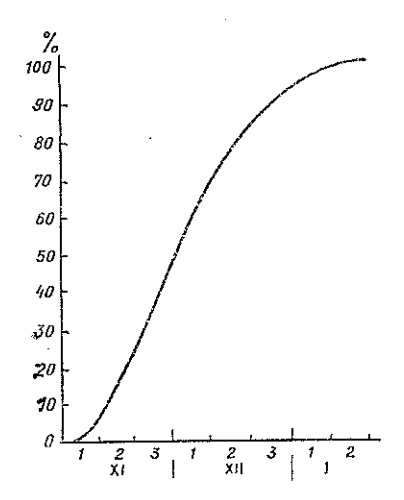


Рис. 37. Обеспеченность (%) указанных и более ранних дат образования устойчивого снежного покрова. Алма-Ата, ГМО.

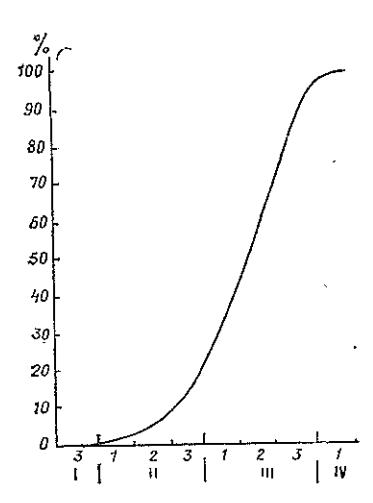


Рис. 38. Обеспеченность (%) указанных и более поздних дат схода снежного покрова. Алма-Ата, ГМО.

Разрушение устойчивого снежного покрова начинается с северных районов города — 9 марта, в центральных — 11 марта и 6 апреля — на южных окраинах (табл. 65).

Таблица 65

Даты разрушения устойчивого снежного покрова, схода снежного покрова, последнего снегопада и продолжительность периода со снежным покровом

	Число дней со снеж-	Дата ра вого	зрушени: снежного	я устойчи- покрова	Дата схода снежного покрова					
Станция	ным покро- вом	сред- няя	ранняя	поздняя	средняя	ранняя	поздняя			
Алма-Ата, аэро- порт Алма-Ата, ГМО Медео	110 112 164	9 III 11 III 6 IV	19 II 28 I 23 II	31 III 4 IV 26 IV	27 III 2 IV 28 IV	24 II 26 II 4 IV	12 V 12 V 30 V			

	Дата	последнего снег	опада	Процент зим с пеус-
Станция	средняя	ранияя	поздняя	тойчивым снежным покровом
Алма-Ата, аэропорт Алма-Ата, ГМО Медео	10 IV 18 IV 10 V	8 III 28 II 4 IV	29 V 30 V 22 IV	1,5

В отдельные годы разрушение устойчивого снежного покрова может наступить на месяц раньше обычной даты или на столько же задержаться (28 января 1963 г. и 4 апреля 1905 г.).

Сход снежного покрова в 75 % лет обеспечен к 20 марта (рис. 38), после чего в 8 годах из 10 возможно новое его кратко-

временное образование продолжительностью до 7 дней.

Весной, после схода снежного покрова, нередки возвраты холодов, сопровождающиеся снегопадами. Выпадение снега в Алма-Ате на майские цветущие сады возможно в 15 % лет, т. е. каждые 1—2 года из 10 лет. В 1929 и 1958 гг. такое явление отмечено даже 30 мая.

Распределение запасов воды в снеге перед началом весеннего снеготаяния в районе Алма-Аты обусловлено орографическим увеличением количества выпадающих зимних осадков и погодными условиями в течение холодного полугодия, что хорошо прослеживается в табл. 66.

Таблица 66

Изменение высоты снежного покрова и запасов воды в снеге по северному склону Заилийского Алатау

	и уров-	Наиболь снеж	шая за зиму кного покров	Наибольший запас воды в снеге за зиму, см				
Станция	Высота над нем моря, м	средняя	макси- Малыпая	миин- мальная	срединй	макси- малывый	минималь- ный	
Илн, жд. станция Алма-Ата, ГМО Медео и Алма-Атин-	455 847 1530)	15 35	37 58	4 7	39 69	78 123	9 23	
ская селестоковая станция	1712	67	112	38	157	270	99	
Верхний Горельник Мынжилки	2272 3017	77 91	109 1 3 8	37 48	182 266	207 524	75 116	

Значительные колебания запасов воды в снеге из года в год свидетельствуют о неустойчивости их как дополнительного фактора увлажнения почвы и источника весеннего половодья рек.

Быстрый рост высоты снежного покрова и запасов воды в снеге по северному склону Заилийского Алатау, у подножия которого расположен город, при определенных метеорологических условиях зимой и весной приводит к обвалам и снежным оползням. Особенно быстро движется вниз по склонам мокрый, насыщенный водой снег. Образующиеся в связи с этим грязе-каменные потоки нередко производят громадную разрушительную работу. Например, в верховьях долины р. Малой Алматинки в урочище Мынжилки в ноябре 1941 г. снежной лавиной была разрушена метеостанция.

Помимо изложенных характеристик снежного покрова особый интерес для городского хозяйства представляют обильные снего-

пады [38]. Их отрицательное влияние наиболее ощутимо сказывается па работе транспорта, поэтому для эффективного проведения снегоочистительных мероприятий необходимы сведения о режиме сильных снегопадов.

С этой целью по ежедневным данным четырех метеорологических станций, расположенных на линии аэропорт—город—высокогорный каток «Медео», были выбраны все случаи за период 1936—1975 гг., когда суточный прирост высоты снежного покрова у постоянной рейки (независимо от защищенности участка) был 10 см и более. За это же время (за время снегопада) выбирались температура воздуха, скорость и направление ветра, подсчитывалась продолжительность снегопадов и их интенсивность. Если продолжительность одного случая превышала 24 ч, а суточный прирост высоты снежного покрова не превышал 10 см, такой случай из обработки исключался.

Результаты обработки показали, что в районе Алма-Аты такие снегопады ежегодны и повторяемость их увеличивается с севера на юг от 3 до 9 случаев за зиму (табл. 67). В отдельные годы число их удванвается (табл. 66). В центральных районах города обильные снегопады наблюдаются с октября по апрель с максимумом в ноябре—декабре. В северных районах города этот период на месяц короче, а в южных районах снегопады отмеча-

ются с сентября по май.

Анализ метеорологических условий при обильных снегопадах свидетельствует о том, что последние в 20—45 % случаев обязаны ветрам западной четверти (табл. 68). Скорость ветра при обильных снегопадах слабая— 1 м/с и менее (табл. 69).

Большие скорости ветра при снегопадах — явление очень редкое. Так, в районе аэропорта за 20 лет отмечено 2 случая со скоростью ветра 17 м/с, а в городе за 40 лет — один случай, когда

Таблица 67

Число случаев (п) с обильными снегопадами по северному склону Заилийского Алатау

Станция	Харак- терис- тика	ıx	х	ΙX	IIX	I	11	111	ıv	v	1X-V
Алма-Ата, аэропорт (1936—1958 гг.)	$\frac{-n}{n}$ $n_{ m MHH}$ $n_{ m Make}$		0,1 0 1	0,6 0 2	0,8 0 2	0,4 0 2	0,4 0 2	0,5 0 3			2,8 0 5 (1949, 1950 rr.)
Алма-Ата, ГМО (1936—1975 гг.)	\overline{n} $n_{ ext{MHH}}$ $n_{ ext{Makc}}$		0,1 0 2	1,0 0 3	1,0 0 2	0,8 0 3	0,6 0 3	0,8 0 3	0,2 0 2		4,5 1 (1944 г.) 9 (1957, 1975 гг.)
Медео и Алма-Атинская се- лестоковая станция (1936—1964 гг.)	$n_{ ext{miii}}$	0,03 0 1	0,7 0 2	1,8 0 4	1,6 0 5	1,2 0 3	0,9 • 0 3	1,7 0 5	1,1 0 3	0,1 0 1	9,1 4 (1944 r.) 18 (1958 r.),

Таблица 68
Повторяемость (%) направлений ветра при обильных снегопадах на северном склоне Заилийского Алатау

Станция	С	СВ	В	ЮВ	10	103	3	С3
Алма-Ата, аэропорт Алма-Ата, ГМО Медео и Алма-Атинская селестоковая станция	18 14 10	5 10 1	2 2 1	3 10 21	12 9	32 20 1	18 15 11	22 17 46

Таблица 69

Повторяемость (%) скоростей ветра различных градаций при обильных снегопадах на северном склоне Заилийского Алатау

			С	корост	a, M.C				
Станция	0-1	2-3	4-5	6-7	8-9	10-11	12	17	Число случаев
Алма-Ата, аэропорт Алма-Ата, ГМО Медео и Алма-Атинская селестоковая станция	36 51 56	36 35 34	17 8 8	9 3 2	2		Trans	2	47 181 276

скорость ветра западного румба достигала 12 м/с при температуре —3,7 °С. В районе Медео скорости ветра не превышали 7 м/с.

Температура воздуха, сопровождающая обильные снегопады, по территории города колеблется в широких пределах — от +14 до -14.0 °C. Но, как правило, до 80 % случаев снегопады бывают при температуре ± 4.0 °C (табл. 70). Максимум же повторяемости относится к градации 0...—2,0 °C, а в северных районах города он смещается на градацию до -4.0 °C.

Таблица 70

Повторяемость (%) температур воздуха при обильных снегопадах на северном склоне Заилийского Алатау

Станция	Ĭ <u>.</u>				Te	пера	тура	1 B03	луха	, °C					
Станция	14,0-12,1	12,0-10,1	10,0-8,1	8,0-6,1	6,0-4,1	4,0-2,1	2,0-0,1	01,9	-2,03,9	-4,05,9	-6,07,9	-8,09,9	-10,0,,-11,9	-12,013,9	Число случаев
Алма-Ата, аэропорт Алма-Ата, ГМО Медео и Алма-Атинская селестоковая станция	2 0,4		0,8	0,6	4 3 1	13 11 13	17 28 19	15 30 20	23 15 18	13 5 13	11 4 9	2 2 2	0,7 2	0,7 0,4	47 181 276

Важной характеристикой сильных снегопадов является про-

должительность их и интенсивность.

Обычно в 30-40 % общего числа случаев увеличение высоты снежного покрова на 10 см и более наблюдается за 16-24 ч. Довольно часто такой снег выпадает и за более короткий срок — 8—14 ч (табл. 71).

Средняя интенсивность снегопадов при этом изменяется по

территории города от 0,8 до 1,3 см/ч соответственно.

Но большая продолжительность снегопада и его максимальная интенсивность не всегда определяют наибольший прирост высоты снежного покрова и большое количество осадков.

Так, 6 декабря 1933 г. в районе аэропорта за 4 ч прирост высоты снежного покрова на 10 см составил 9 мм осадков, а 28 марта 1949 г. такой же прирост высоты снежного покрова был получен за 10 ч, но количество осадков составило 31 мм.

В марте 1968 г. в городе за 10 ч прирост высоты снежного покрова составил 20 см, а количество осадков — 28 мм, 30—31 октября 1975 г. слой выпавшего снега в 14 см за 7 ч дал 20 мм осадков. Эти оба случая могут рассматриваться как опасные яв-

Примером несогласованности максимальной интенсивности, прироста высоты снежного покрова и большого количества осадков в районе Медео являются снегопады 20-21 февраля 1949 г. (интенсивность 9,8 мм/ч), когда за 4 ч слой снега вырос до 3,9 см, а количество осадков составило лишь 4 мм. В то же время снегопад 5-6 апреля 1946 г. за 10 ч увеличил высоту снежного покрова на 46 см и дал 37 мм осадков; 7—9 апреля 1960 г. за 44 ч прирост высоты снежного покрова составил 45 см, а количество осадков 53 мм. Интенсивность при этом (как видно из двух последних примеров) изменялась от 4,5 до 1 см/ч соответственно.

Максимальное увеличение высоты снежного покрова в течение суток за счет обильных снегопадов по территории города как во времени, так и в пространстве изменяется в значительных пределах. Как следует из табл. 72, наибольшие значения отмечены в южных районах и минимальные в северных. Центральные его

районы занимают промежуточное положение.

Исходя из данных максимального прироста высоты снежного покрова за сутки и его плотности, можно рассчитать снеговую нагрузку, возможную в течение суток. В Алма-Ате при максимальном суточном приросте высоты снежного покрова на 34 см и плотности, принятой для этого района, 0,11 г/см3 [37], максимальная масса снежного покрова за сутки составляет 37 кг/м². Масса снежного покрова за сутки различной вероятности, рассчитанная для Алма-Аты, приведена в табл. 73.

Из приведенной таблицы видно, что значения массы снежного покрова, возможные один раз в 100 лет, в 1,5 раза больше значений, возможных один раз в 5 лет. Наблюдавшееся максимальное значение массы снежного покрова лежит между значениями 2 %-ной и 5 %-ной обеспеченности, т. е. встречаются реже, чем

Таблица 71 Повторяемость (%) обильных снегопадов различной продолжительности $\tau(\mathbf{u})$ на северном склоне Заилийского Алатау

						И	птерва	ал вре	мени,	ч					
Станция	Показатель	тмин	45	6-7	8-12	13-15	16-24	25-30	31-35	36-39	40-45	46-50	> 50	тмакс	Число
				***************************************					Total Control of the	110000000000000000000000000000000000000					
Алма-Ата, аэропорт	Число случаев, %	4 (6 XII 1939 r.)	3 5	6 10	13 23	9 15	19 3 3	5 8	1 2	2 4				39 (6—7 XII 1947 г.)	58
Алма-Ата, ГМО	Число случаев, %	4 (13 XII 1945 r.)	3 2	9	30 17	28 16	71 40	19 11	8 5	4 2	1 I	3		48 (12— 14 II 1961 r.)	17,6
Медео, Алма-Атинская селестоковая станция	Число случаев, %	4 (20 II 1949 r.)	7	17 7	61 23	33 12	86 33	31 12	10 4	4 2	5 2	2	2	57 (5—7 IV 1939 r.)	258

တ

Таблица 72 Увеличение высоты снежного покрова за сутки на 10 см и более различной вероятности (%) на северном склоне Заилийского Алатау

Станция	ценный ум, см	Вероя	Вероятность (%) указанных или меньших значений высоты спежного покрова									
Ставция	Наблюденн макснмум,	2	5	10	20	50	70	80	95	Наблюд миниму		
Алма-Ата, аэропорт Алма-Ата, ГМО Медео и Алма-Атинская селестоковая станция	23 34 56	27 35 59	23 31 54	20 28 49	18 24 43	14 19 34	12 16 28	11 15 24	10 11 17	10 12 14		

Tаблица 73 Масса снежного покрова за сутки (кг/см²) различной вероятности .

	Макси-	Вероят	Вероятность (%) указанной массы или меньше										
Станция	накси-	1	2	5	10	20							
Алма-Ата, ГМО	37	42	38	33	31	26							

один раз в 20 лет, но чаще, чем один раз в 50 лет. Если учесть, что максимальная снеговая нагрузка за зиму для города равна $63~\rm kr/m^2$, то один сильный снегопад может дать около половины всей расчетной снеговой нагрузки, принимаемой при проектировании и решении ряда технических задач.

6. РЕЖИМ ОБЛАЧНОСТИ И АТМОСФЕРНЫЕ ЯВЛЕНИЯ

6.1. Облачность

Облачность является одной из основных характеристик атмосферных процессов и существенным фактором радиационного баланса системы Земля — атмосфера. Она ограничивает приток солнечной радиации в дневное время, уменьшает выхолаживание земной поверхности в ночные часы. С облачностью связано выпадение осадков. Образование и распад определенных форм облаков позволяет судить об атмосферных процессах в данном районе, что может быть учтено при составлении прогноза погоды.

Режим облачности формируется под влиянием циркуляционных процессов, определяющих преобладающее направление движения воздушных масс и их влагосодержание, а также под влиянием воздействия подстилающей поверхности. Горный рельеф в значительной мере способствует видоизменению циркуляции воз-

душных масс.

При наблюдениях за облачностью обычно определяется количество облаков на небосводе по 10-балльной шкале, форма облаков и высота их нижней границы. При этом даются две оценки: общий балл покрытия небосвода облаками любых форм п количество нижней облачности — облаков нижнего яруса и вертикального развития.

Средняя месячная и годовая облачность (см. табл. 24 приложения) является недостаточной характеристикой степени покрытия пебосвода облаками, так как ее среднее значение, например по ст. Алма-Ата, ГМО, по месяцам составляет 4—6 баллов, тогда как повторяемость градаций 3—7 баллов для Алма-Аты (см. табл. 25 приложения) является минимальной (всего 16 %), т. е. в данном случае среднее значение непоказательно. Что касается нижней облачности, то по количеству она составляет 40—50 % общей, ее роль не является превалирующей в формировании облачного покрова над Алма-Атой. Отношение среднего месячного количества нижней облачности к общей имеет следующие значения (в %):

Среднее количество нижней облачности составляет 1,5—3,0 балла, что соответствует наибольшей повторяемости отметок нижней облачности от 0 до 3 баллов.

Наиболее полно количество облачности характеризуется повторяемостью определенного сочетания облаков по градациям (см. табл. 25 приложения). По общей облачности зимой и весной преобладает количество облаков 8—10 баллов, повторяемость их в это время составляет более 50 %, а летом и осенью 30—40 %.

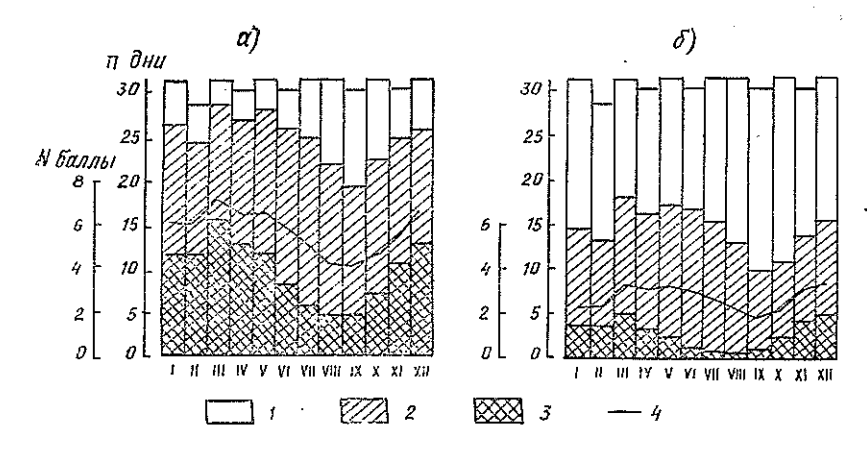


Рис. 39. Годовой ход числа ясных (1), полуясных (с переменной облачностью) (2) и пасмурных (3) дней по общей (а) и нижней (б) облачности и количество нижней облачности N (в баллах) (4). Алма-Ата, ГМО.

Однако следует помнить, что это в основном облака верхнего и среднего ярусов, легко пропускающие прямую солнечную радиацию. Плотные низкие облака наблюдаются гораздо реже. Повторяемость пасмурного состояния неба по нижней облачности составляет всего 12 % летом и 20—30 % в остальное время года; ясная погода с отметкой нижней облачности 0—2 балла в течение года повторяется почти в 70 % случаев.

Количество облачности на протяжении суток определяет общую характеристику дня — ясный или пасмурный. День, когда в среднем за каждый срок наблюдений количество облаков было не менее 8 баллов, считается пасмурным, в ясный день количество

облаков не должно превышать 2 баллов.

Погода в Алма-Ате поражает обилием солнечных дней, особенно в летний период (рис. 39). Пасмурные дни, когда небо покрыто низкими плотными облаками, в летние месяцы наблюдаются не каждый год, а в холодный период составляют 10—15 % общего числа. И хотя по общей облачности повторяемость пасмурных дней значительная и в отдельные месяцы достигает 30—40 %, в целом климат Алма-Аты воспринимается как малооблачный, так как в большинстве случаев небо покрыто тонкими облаками верхнего и несколько более плотными облаками среднего ярусов, которые только частично уменьшают приход солнечной радиации.

Представление об устойчивости ясной или пасмурной погоды

можно получить при помощи соотношения

$$K_{\rm g} = \frac{n_{\rm g}}{P_{(0-2)}}; \quad K_{\rm m} = \frac{n_{\rm m}}{P_{(8-10)}},$$

где K_{π} и K_{π} — коэффициенты устойчивости ясной и пасмурной погоды, %; $P_{(0-2)}$ и $P_{(8-10)}$ — повторяемость ясного и пасмурного состояния неба, %; n_{π} и n_{π} — число ясных и пасмурных дней, %.

Коэффициенты устойчивости ясной погоды по нижней облачности в Алма-Ате довольно высокие в течение всего года, наименьшим коэффициентом характеризуется погода мая ($K_n = 71 \%$), наибольшей устойчивостью — ясная погода сентября ($K_n = 89 \%$). Коэффициенты устойчивости пасмурной могоды имеют значения гораздо меньшие, в летние месяцы они особенно малы (табл. 74).

Таблица 74
Коэффициент устойчивости (%) ясной и пасмурной погоды по нижней облачности. Алма-Ата, ГМО

Коэффициент устойчивости	1	11	111	IV	v	VI	111	VIII	1X	х	1X	XII
$K_{\mathfrak{n}} \ K_{\mathfrak{n}}$	78	79	73	75	71	74	79	82	89	87	79	80
	48	52	47	44	30	2s	9	22	30	40	50	59

Годовой ход облачности выражен довольно четко (см. рис. 39). Значительная облачность наблюдается весной, в пернод наибольшего развития циклонической деятельности, минимум — в августе—сентябре. Амплитуда годового хода небольшая. По общей облач-

ности она составляет 3 балла, по нижней — полтора.

Суточный ход облачности (см. табл. 26 приложения) носит сглаженный характер, особенно в зимние месяцы, когда амплитуда ее не достигает и одного балла. В переходные сезоны и особенно летом максимум облачности хорошо прослеживается в послеполуденные часы (около 15 ч мск), а минимум падает на 0 ч (ближайший к прежнему часовому по среднему солнечному времени). Суточная амплитуда облачности в летние месяцы равна 2,0—2,5 баллам. Послеполуденный максимум облачности в теплый период обусловлен наличием мощной конвективной циркуляции в предгорной зоне, в результате которой образуются кучевые и кучеводождевые облака.

Преобладающие формы облаков, так же как и количество облачности, меняются в течение года. Для теплого периода характерны кучевообразные облака (Сu, Cb, Sc), являющиеся, как правило, результатом горно-долинной циркуляции и конвективных токов. Слоистообразные облака (St, Ns, As) имеют наибольшую повторяемость в зимнее время.

В табл. 27 приложения представлена повторяемость основных форм облаков нижнего и среднего ярусов как наиболее определяющих продолжительность солнечного сияния, влагосодержание воздуха, а также выпадение осадков различного характера. Процент повторяемости вычислен от числа наблюдений за формой облаков.

Как видно, наибольшей стабильностью повторяемости отличаются высоко-кучевые облака (Ас). Они наблюдаются в течение всего года, несколько реже зимой (15—20 %) и чаще летом (40 %). Суточный ход их повторяемостей имеет два максимума — утром и в послеполуденные часы и один минимум — в вечерненочное время.

Кучевые (Cu) и кучево-дождевые облака (Cb) над Алма-Атой возникают чаще всего вследствие горно-конвективной циркуляции. Как правило, они начинают развиваться в утренние часы над горами в результате возникающего в это время долинного ветра, затем по мере увеличения облачности существенную роль в их развитии приобретают конвективные токи, связанные с выделением в облаке теплоты конденсации. Наибольшего развития Си достигают к 12 ч, повторяемость их в это время летом равна 70 %. Весной и осенью повторяемость Си в дневные часы также значительная (25-35 %). При дальнейших благоприятных условиях кучевые облака превращаются в кучево-дождевые (Cb), дающие ливневые осадки. Наибольшей повторяемости Си достигают к 15 ч, затем, после выпадения ливней, склоны гор резко охлаждаются, разности температур горы — атмосфера уменьшаются, циркулирующие воздушные массы смещаются ниже по склону, а вместе с ними смещается ниже и облачность. Таким образом, над городом, у подножия гор, повторяемость Св также еще значительна и после захода солнца. Зимой кучевые облака наблюдаются очень редко, повторяемость их в это время не превышает 3 %.

Слоисто-кучевые облака (Sc) зимой имеют небольшую повторяемость (4—6 %) и сглаженный суточный ход. В переходные периоды и особенно летом повторяемость их увеличивается до 25 %, и в суточном ходе хорошо прослеживается максимум в послеполуденные часы (15 и 18 ч) и минимум утром (9 ч). Очевидно, что Sc связаны с процессами растекания конвективной облачности.

Повторяемость слоистых облаков (St) летом практически сводится к нулю, весной и осенью она составляет около 3 % и только зимой увеличивается до 6 %.

Слоисто-дождевые облака (Ns), так же как и слоистые (St), почти отсутствуют в летнее время, в другие сезоны повторяемость

их составляет 5—10 %.

Высоко-слоистые облака (As) наблюдаются круглый год, повторяемость их изменяется от 4—6 % летом до 10—20 % зимой. В течение суток наибольшая повторяемость наблюдается в дневные часы (12—15 ч), наименьшая—в вечерние и ночные (21—0 ч).

Наряду с количеством облачности и формой облаков большое значение имеют наблюдения за высотой облачности. Ведь высота нижней границы облаков в значительной мере определяет возможности взлета и посадки самолетов.

В табл. 28 приложения представлена повторяемость высоты нижней границы облаков ниже определенных пределов. Процент повторяемости рассчитан от общего числа случаев наблюдений за месяц в пределах периода 1966—1975 гг. На ст. Алма-Ата, ГМО наблюдения за высотой облаков проводились визуально, на двух других станциях—с помощью шаропилотного метода или потолочного прожектора.

Наибольшая повторяемость низких облаков (300 м и менее) приходится на декабрь (около 20 %), также значительна их повторяемость и в другие месяцы холодного периода. В теплое время

года низкие облака наблюдаются очень редко, летом они практически отсутствуют. Повторяемость высоты облаков 50 м и менее очень мала, даже в период максимума она составляет менее 1 %.

6.2. Атмосферные явления

Туман и дымка. Одной из важных характеристик климата Алма-Аты являются туманы. Туман представляет собой помутнение воздуха, обусловленное наличием очень мелких, неразличимых простым глазом, капель воды или кристаллов льда, при этом горизонтальная видимость становится менее 1000 м. По условиям образования туманы подразделяют на радиационные, возникающие в результате местного выхолаживания воздуха в ночные часы, адвективные, образующиеся при переносе относительно теплых и влажных масс воздуха в районы с более холодной подстилающей поверхностью, и смешанные, или адвективно-радиационные.

Радиационные туманы в Алма-Ате составляют около 40 % общего числа дней с туманом [30]. Сравнительно большая их повторяемость объясняется континентальностью климата и преобладанием в данном районе антициклонических типов погоды, в условиях которых они образуются.

Туманы в Алма-Ате, как и на всей территории Казахстана, наблюдаются преимущественно в холодное время года, в летние месяцы они бывают крайне редко (см. табл. 29 приложения), что обусловлено длительным, очень сухим теплым периодом с высокими температурами подстилающей поверхности. Число дней с туманом за год в городе и его окрестностях составляет 48—70. С высотой, в пределах среднегорной зоны, вопреки ожиданию, количество туманов увеличивается незначительно (аэропорт — 47 дней, Медео — 52 дня). Очевидно, влияние увеличения влагосодержания облачности с высотой перекрывается наличием дополнительного количества ядер конденсации непосредственно в городе. связанным с загрязнением атмосферы отходами промышленных предприятий и автотранспорта, что способствует увеличению количества туманов. На ст. Алма-Ата, агро наибольшая повторяемость туманов по сравнению с другими станциями, очевидно, объясияется особенностями ее физико-географического положения. Из года в год число дней с туманом сильно колеблется. Отклонения от средней многолетней могут достигать $\pm (35-45)$ дней (см. табл. 29 приложения).

Ниже приведена вероятность годового числа дней с туманом, подсчитанная за период 1936—1964 гг. по ст. Алма-Ата, ГМО:

Число дней с туманом								
за год	90	80	70	60	50	40	30	20
Вероятность, %	7	7	17	41	52	83	90	100

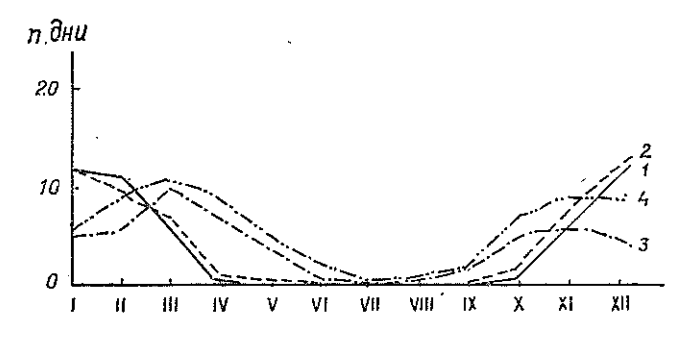


Рис. 40. Годовой ход числа дней с туманом.

1 — Алма-Ата, аэропорт; 2 — Алма-Ата, ГМО; 3 — Медео и Алма-Атинская селестоковая станция; 4 — Алма-Ата, агро.

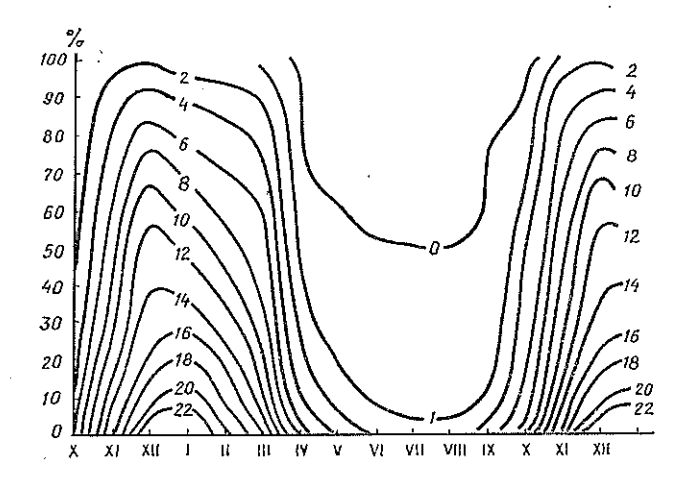


Рис. 41. Число дней с туманом различной вероятности (%) выше указанных предельные месяцы. Алма-Ата, ГМО.

Годовой ход туманов (рис. 40) в Алма-Ате является характерным для большинства станций Казахстана— с максимумом числа дней в зимние месяцы и отсутствием туманов в жаркий период. В окрестностях города (в предгорной зоне) преобладает тип годового хода, характерный для горных долин, где наибольшего развития туманы достигают весной и осенью.

Вероятность числа дней с туманом в различные месяцы на ст. Алма-Ата, ГМО представлена на рис. 41.

К числу важных характеристик тумана следует отнести среднюю непрерывную продолжительность за период (см. табл. 30, 31 приложения).

При подсчете за продолжительность отдельного периода принималось время от начала до конца тумана, когда внутри этого промежутка времени туман прерывался не более чем на 15 мин. Наиболее часто в Алма-Ате повторяются туманы продолжительностью 6 ч и менее, составляющие около 80 % всех туманов. Особенно большая повторяемость (35 %) туманов продолжитель-

ностью от 1 до 3 ч. Средняя непрерывная продолжительность тумана в зимний период составляет 4—5 ч, в теплое время 0—2 ч. Однако бывают случаи, когда туман не прекращается в течение 2 и даже 3 суток. Так, на ст. Алма-Ата, ГМО зафиксировано 3 случая тумана продолжительностью 54—56 ч, а в районе аэропорта 5—8 декабря 1945 г. туман продолжался 86 ч. Туманы наибольшей продолжительности в годовом ходе, так же как и число дней с туманом, в северных и центральных районах города (аэропорт и обсерватория) приходятся на зимние месяцы, в южных районах окрестностей (Медео) они смещаются на март.

О характере суточного хода туманов дают представление данные табл. 32 приложения, в которой представлена продолжительность туманов в разные часы суток, выраженная в процентах от общей продолжительности. В районе аэропорта туманы чаще наблюдаются в ночные и утренние часы. На долю первой половины суток (0—12 ч) приходится около 70 % туманов. В городе наиболее часто туманы бывают в первой половине дня (6—12 ч),

продолжительность их составляет около 35 %.

В большинстве случаев туманы в Алма-Ате образуются при штилевой погоде и слабых ветрах, о чем свидетельствуют данные наблюдений по ст. Алма-Ата, ГМО, вычисленные за период 1936—1975 гг.:

Скорость ветра, м/с .	0-1	23	45	6-7	8-9
Повторяемость туманов,					
%	82,6	14,7	2,5	0.1	1.0

Как правило, туманы наблюдаются при ветрах разных направлений. В 30—40 % случаев они образуются при штилевой погоде (рис. 42 а). Поскольку туманы в Алма-Ате в летнее время наблюдаются крайне редко, повторяемость туманов при разных направлениях ветра представлена только для осени, зимы и весны. Для каждой станции характерна своеобразная роза ветров, спо-

собствующих началу образования туманов.

На южных окраинах города, в районе Медео, во все сезоны года ярко выражено преобладание северо-западных и юго-восточных ветров, что обусловлено наличием горно-долинной циркуляции в данном районе. Причем при северо-западном ветре туманы наблюдаются примерно в два раза чаще, чем при юго-восточном, т. с. долинные ветры более благоприятны для образования туманов. Часто эти ветры вызывают перемещение слоистообразных облаков из более низкой зоны в районе станции, где они воспринимаются наблюдателем как туман, так как стелются над поверхностью земли и ухудшают горизонтальную видимость.

В городе (рис. 42 б) роза ветров при туманах имеет более сглаженный вид. Прослеживается некоторое преобладание ветра

южной и северо-восточной четвертей.

На ст. Алма-Ата, агро (рис. 42 в), расположенной на водоразделе между двумя долинами рек, в начальный период образования тумана преобладают ветры западной четверти.

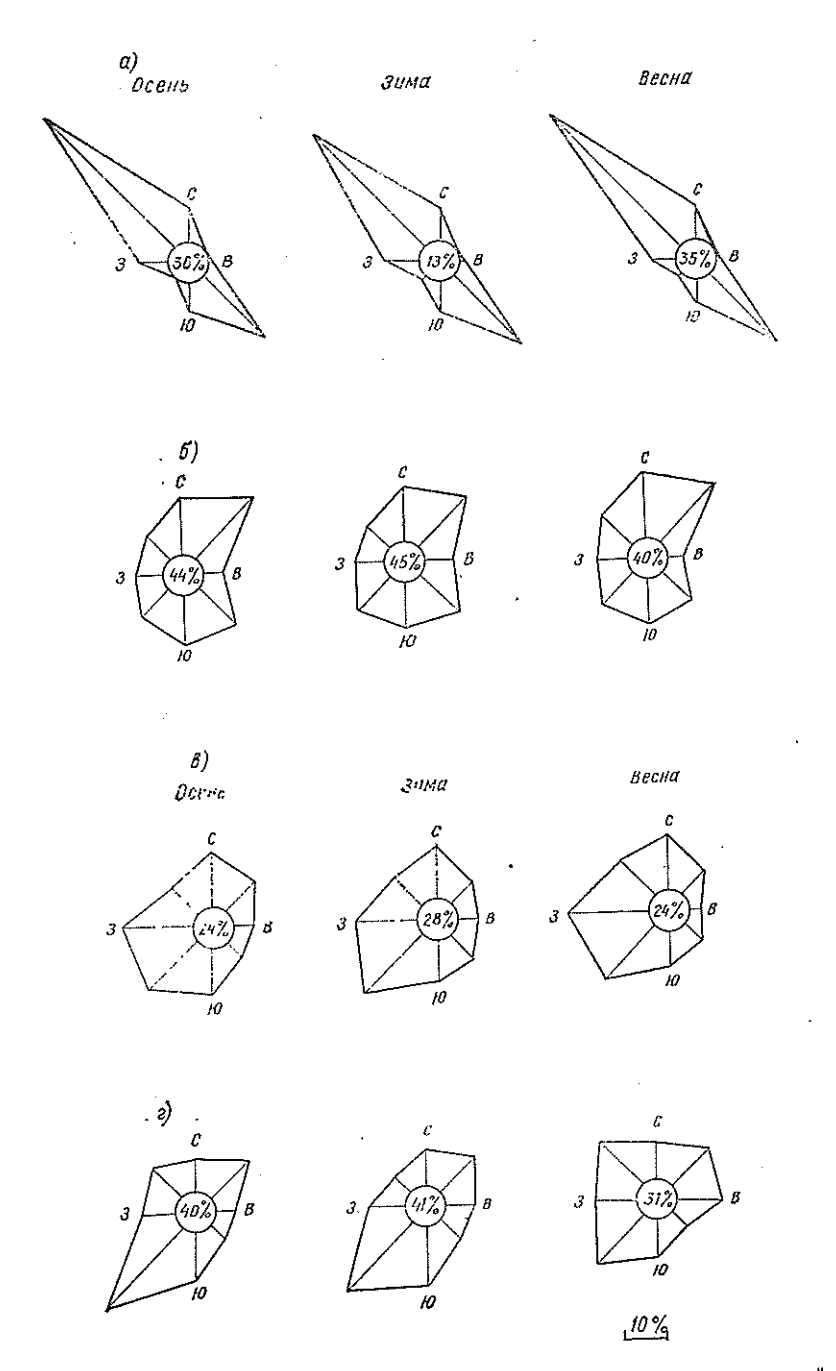


Рис. 42. Повторяемость (%) туманов при ветрах различных направлений. a — Алма-Атинская селестоковая станция (Медео), δ — Алма-Ата, ГМО, s — Алма-Ата, агро, s — Алма-Ата, аэропорт.

В районе аэропорта (рис. 42 г) туманы образуются в основном при юго-западных и северо-восточных ветрах, повторяемость ту-

манов при юго-западном ветре особенно велика.

Гораздо чаще, чем туман, в Алма-Ате наблюдается дымка. Наличие в приземном слое атмосферы большого количества взвешенных частиц увеличивает рассеяние света настолько, что глаз воспринимает его в виде своеобразной световой завесы, хорошо заметной на фоне отдельных предметов. Это рассеяние света получило название атмосферной дымки [20]. Во время дымки видимость объектов в атмосфере уменьшается от 10 км до 1000 м.

Особенно часто (почти ежедневно) дымка в Алма-Ате отме-

чается в зимние месяцы.

В табл. 75 представлено среднее число дней с дымкой, подсчитанное за период 1966—1975 гг. (по ст. Бурундай — за период 1971—1975 гг.). Анализ приведенных данных показал, что дымка в Алма-Ате связана чаще всего с чрезмерным загрязнением атмосферы в холодный период, когда многочисленные отопительные котельные выбрасывают в воздух огромное количество сажи, тогда как за городом (ст. Алма-Ата, агро) дымка наблюдается не более 5—7 дней в месяц.

Таблица 75 Число дней с дымкой

Станция	1	11	III	IV	v	VI	VII	VIII	ΙX	x	χι	XII	Год
Алма-Ата, аэро- порт Бурундай Алма-Ата, ГМО Алма-Ата, агро	30 31 24 4	28 28 22 5	27 27 24 7	10 13 15 3	4 3 6 2	1 0 1 0	1 0 0 1	0 1 1	1 3 1	12 7 15	27 26 22 4	37 30 25 3	171 167 158 35

Суммарная продолжительность дымки (см. табл. 33 приложения) за городом примерно в 15 раз меньше, чем в городе и его северных окрестностях, где продолжительность дымки зимой может достигать в отдельные годы 580 ч в месяц. Однако следует отметить, что чаще всего наблюдаются дымки слабой интенсивности, при которых видимость составляет более 4 км.

Метели. Метель — это перенос снега над земной поверхностью сильным ветром, который сопровождается вихревыми движениями спежинок, выпадающих из облаков или поднятых с поверхности

земли.

Метели в Алма-Ате, где преобладает штилевая погода и погода со слабыми ветрами, явление очень редкое. Они наблюдаются не каждую зиму, а лишь в 35—40 % лет. В среднем за сезон в городе и его окрестностях бывает 0,4—1,0 день с метелью (см. табл. 34, 35 приложения). Наибольшее их числе (5 метелей за год) было отмечено в районе обсерватории зимой 1946-47 г.

Возможное число дней с метелью за сезон различной вероятности можно рассчитать по номограмме (рис. 43), составленной

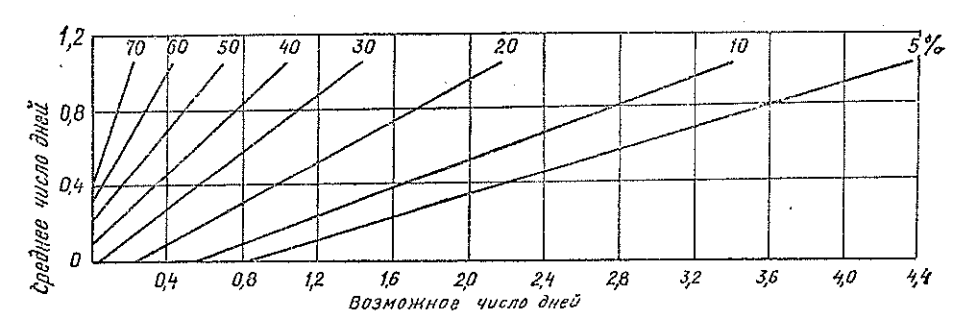


Рис. 43. Номограмма для расчета числа дней с метелью за год различной обеспеченности выше указанных пределов. Алма-Ата, ГМО.

по данным четырех станций (Медео и Алма-Атинская селестоковая станция; Алма-Ата, аэропорт; Алма-Ата, агро; Алма-Ата, ГМО).

Средняя продолжительность периодов с метелью составляет 1—2 ч (см. табл. 36, 37 приложения). Наиболее продолжительная метель, которая не прекращалась в течение 7 ч, наблюдалась в марте 1938 г. на ст. Алма-Ата, аэропорт; метель продолжительностью 6,5 ч была отмечена в районе Медео в феврале 1958 г.

Метели в Алма-Ате наблюдаются при западных и юго-западных ветрах, скорость которых не превышает 9 м/с.

В связи с тем что метели для климата Алма-Аты совершенно не типичны, объем снегопереноса при них настолько мал, что не представляет практического интереса.

Грозы — одно из наиболее величественных и опасных явлений природы. Они представляют собой мощные электрические разряды в кучевых и кучево-дождевых облаках. Развитие гроз обычно связано с прохождением фронтов, с мощными восходящими токами в атмосфере в результате бурного поднятия теплого воздуха, вытесняемого валом надвигающегося холодного.

Однако в условиях Алма-Аты довольно часто наблюдаются грозы местного происхождения, образующиеся в результате сильного развития конвективных токов над нагретой поверхностью земли. Они отмечаются при высокой температуре и влажности воздуха, преимущественно в послеполуденные часы. Как правило, грозы сопровождаются выпадением ливней, сильным ветром и иногда градом.

В Алма-Ате и ее окрестностях грозы — довольно распространенное явление. В течение грозового периода наблюдается в среднем от 23 до 45 дней с грозой, а в отдельные годы это число дней может увеличиваться до 46—68 (см. табл. 38 приложения). Повторяемость гроз увеличивается по территории с севера на юг, что объясняется более благоприятными условиями образования гроз в районах, расположенных ближе к горам.

Основной период грозовой деятельности в Алма-Ате — с апреля по сентябрь. В марте и октябре грозы наблюдаются не каждый год, а в зимние месяцы их повторяемость составляет в среднем

один раз в 50 лет (см. Алма-Ата, ГМО). Максимальной повторяемостью гроз отличается период май—июль, когда в среднем каждый третий, а в отдельные годы и каждый второй день с грозой.

Грозы над Алма-Атой не отличаются большой продолжительностью (см. табл. 39 приложения). В 65—80 % они длятся не более часа. Средняя продолжительность грозы составляет 0,7—0,8 ч, максимальная в летние месяцы может достигать 4—7 ч.

Град — осадки, выпадающие в виде частичек льда в теплое время года. Они наблюдаются при вторжениях холодных масс воздуха, во время ливней с грозами, сопровождающихся сильными ветрами. В Алма-Ате град отмечен вместе с грозами в 85 % случаев, причем процент случаев выпадения града с высотой уменьшается. Так, на прилегающей равнине град во всех случаях сопровождается грозами, а выше Алма-Аты, на ст. Усть-Горельник (H = 1943 м) — в 74 % случаев.

Град — очень редкое явление в Алма-Ате (см. табл. 40 приложения). В районе обсерватории в среднем в году отмечается 1—2 дня с градом, максимум за период с 1916 по 1975 г. достигает 7 дней, но в разных районах города число дней с градом колеблется в зависимости от высоты над уровнем моря. На северных окраинах города, расположенных ниже района обсерватории, град наблюдается реже, на южных — чаще.

Выпадение града в Алма-Ате возможно в период с марта по октябрь. Наибольшая его повторяемость приходится па май, когда в городе град выпадает примерно один раз в два года. Однако в отдельные годы в течение одного этого месяца может быть до 3 дней с градом (см. табл. 41 приложения).

Продолжительность выпадения града невелика, в среднем составляет 7 мин (см. табл. 42 приложения), в 93 % случаев она не превышает 15 мин.

В суточном ходе максимум повторяемости града приходится на послеполуденные часы. В ночное время (0—5 ч) в городе не было отмечено ни одного случая выпадения града.

Дальность видимости — атмосферное явление, представляющее большой интерес и прежде всего для авиации. Уменьшение видимости может препятствовать движению наземного транспорта, поэтому при планировании перевозок, при оснащении дорог средствами сигнализации также необходимы данные о дальности видимости.

Наблюдения над горизонтальной видимостью в атмосфере ведутся в основном визуально, с помощью выбранных объектов, находящихся на определенном расстоянии от глаза наблюдателя. В связи с тем что эти объекты порой затруднительно подобрать в строгом соответствии с Наставлением, данные наблюдений за видимостью носят несколько ориентировочный характер. Наибольшее практическое значение имеют данные о видимости 2 км и менее, обычно они являются более достоверными.

В табл. 43 приложения представлена повторяемость различных

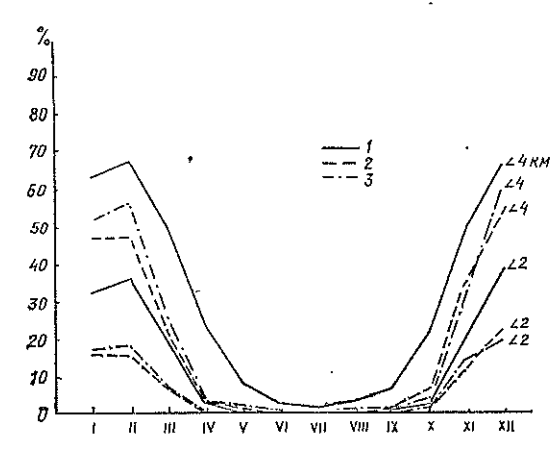


Рис. 44. Годовой ход повторяемости (%) дальности видимости 4 км и менее. 1— Алма-Ата, ГМО; 2— Алма-Ата, аэропорт; 3— Бурундай.

градаций дальности видимости. Процент повторяемости вычислен от общего числа случаев наблюдений за месяц. Как показывают данные, видимость 2 км и менее в Алма-Ате особенно часто наблюдается в зимние месяцы, когда повторяемость ее составляет 15—21 % в северных окрестностях города и 32—38 % в районе обсерватории. В марте и ноябре повторяемость видимости 2 км и менее уменьшается до 7—21 %, а с апреля по октябрь такая видимость почти не наблюдается. Значительное ухудшение видимости в зимнее время, по сравнению с теплым полугодием, обусловлено частым повторением туманов и снегопадов. Годовой ход повторяемости дальности видимости 4 км и менее наглядно представлен на рис. 44. В летнее время в большинстве случаев (60—70 %) дальность видимости в городе более 10 км, в районе Бурундая наибольший процент повторяемости приходится на градацию 4—10 км.

В табл. 44 приложения представлены данные о повторяемости горизонтальной видимости 1 км и менее при разных скоростях ветра. В период с ноября по март видимость 1 км и менее на всех исследуемых станциях в основном отмечается при скорости ветра до 2 м/с (80—100 % случаев). При скорости ветра 6—11 м/с ухудшение видимости наблюдается редко (повторяемость 1—3 %), а при скорости более 12 м/с — лишь в отдельных случаях.

Как было отмечено ранее, в период с апреля по октябрь ухудшение видимости до 2 км и менее в Алма-Ате наблюдается очень редко. Необходимо заметить, что высокий процент повторяемости видимости 1 км и менее при той или иной градации скорости ветра в этот период не означает частое ухудшение видимости при данной скорости ветра. Например, по данным ст. Алма-Ата, аэропорт в августе всего один раз в 10 лет наблюдалось ухудшение видимости до 1 км, которому соответствовала скорость ветра более 12 м/с, и так как других случаев ухудшения видимости в августе не было, то этот единственный составил 100 % при данной градации скорости и т. д. Обычно ухудшение видимости в летний период связано с ливневыми осадками или пыльной бурей перед выпадением дождя.

Гололедно-изморозевые явления. В ряде отраслей народного хозяйства необходимы сведения о гололедно-изморозевых отложениях льда, так как даже при незначительных размерах их ухудшается слышимость на линии связи, происходит утечка тока, вибрация проводов. С увеличением отложений льда происходит обрыв проводов, возможна поломка опор, повреждение деревьев.

Наблюдения за гололедными явлениями в Алма-Ате до 1951 г. велись визуально, с 1951 г. — с помощью гололедного станка, приемной частью которого являются провода диаметром 5 мм, натянутые в широтном и меридиональном направлениях на высоте 2 м

над поверхностью земли.

Обледенение проводов и других предметов происходит чаще всего в результате оседания на них переохлажденных капель воды, находящихся в воздухе в виде тумана, мороси и дождя. При этом могут образовываться различные формы льда, начиная от пушистой кристаллической изморози и кончая прозрачным стекловидным гололедом. Реже обледенение может быть вызвано налипанием на провода мокрого снега.

Гололедные явления в Алма-Ате наблюдаются при адвекции влажного теплого воздуха зимой или резкого похолодания. Нанболее часто они возникают при выходе южно-каспийских циклонов или глубоких ложбин с запада. Реже гололедные явления наблюдаются при прохождении холодных фронтов с северо-запада. Гололедные явления могут возникать и в отроге сибирского аптициклона [14].

При изменении метеорологических условий в течение периода гололедообразования на один вид отложения может осаждаться

другой, образуя сложное отложение льда.

В Алма-Ате, в районе обсерватории, в среднем за год насчитывается около 40 дней с тем или иным видом отложения льда (см. табл. 45 приложения). Наиболее характерным из всех видов обледенения является зеринстая изморозь. Первые гололедно-изморозевые отложения в результате различных явлений отмечаются в октябре почти ежегодно. Заканчивается период с гололедноизморозевыми явлениями обычно в апреле, но могут наблюдаться они и в мае, хотя повторяемость их в этом месяце незначительна, всего 4 раза в 100 лет.

Наблюдения над гололедно-изморозевыми явлениями на метеостанциях заключаются в определении продолжительности обледенения, времени нарастания отложения, размера большого и малого

диаметров и массы льда на 1 м провода.

За продолжительность одного случая обледенения принимается промежуток времени с момента появления на проводах гололедно-

изморозевого отложения до полного его исчезновения.

Средняя продолжительность одного случая гололеда и изморози в Алма-Ате составляет 12—14 ч, в течение холодного пориода она несколько колеблется, наибольшая продолжительность за случай (16—20 ч) приходится на декабрь (см. табл. 46 приложения). Сложные отложения удерживаются на проводах намного дольше, в среднем за период 26 ч, в декабре 57 ч. В отдельных случаях продолжительность обледенения достигала 63 ч с гололедом, 84 ч с зернистой изморозью, 64 ч с кристаллической изморозью и 142 ч со сложным отложением.

В течение года в среднем провода покрыты тем или иным видом отложения в районе обсерватории 431 ч, в южных окрестностях (Медео) продолжительность обледенения несколько меньше (см. табл. 47 приложения). Продолжительность периода, когда отложение на проводах растет, составляет примерно одну третью часть от общей продолжительности обледенения, продолжительность отдельных случаев нарастания обледенения в 60-70 % не превышает 6 ч и лишь в 2—3 % случаев может наблюдаться нарастание отложения более 24 ч. Наибольшей продолжительностью сохранения обледенения на проводах, по сравнению с другими видами, отличается зернистая изморозь, средняя продолжительность ее равна 142 ч за год, но в отдельные годы достигает 300-359 ч (см. табл. 48 приложения). Средняя продолжительность за год других видов обледенения составляет 70-80 ч.

Зернистая изморозь наиболее часто наблюдается зимой, когда условия для ее образования наиболее благоприятны. Именно на зимние месяцы падает максимум повторения туманов в Алма-Ате, и температура воздуха часто бывает близка к —5...—10 °С. Кристаллическая изморозь чаще всего наблюдается в январе, обусловливаемая постепенным вторжением холодных воздушных масс в предгорья Казахстана и понижением температуры воздуха до —15...—20 °C при ясной погоде. Гололед наиболее часто наблюдается в марте, когда температура воздуха колеблется около нуля. Максимум числа дней со сложным отложением в декабре говорит о том, что декабрь является месяцем с наиболее изменчивыми ус-

ловиями погоды в течение периодов гололедообразования.

Степень опасности гололедно-изморозевых явлений увеличивается с ростом размеров и массы отложения, а также скорости ветра. В Алма-Ате масса и размеры гололедно-изморозевых отложений обычно небольшие. По степени гололедности город относится к I району гололедности, где один раз в 10 лет толщина стенки гололеда может достигать 6,4 мм, один раз в 20 лет 9,0 мм [15]. По мере увеличения высоты места над уровнем моря размеры отложений несколько увеличиваются, Медео отнесен ко II району гололедности.

Размеры отложений колеблются в значительных пределах и зависят от вида явлений. Наибольшие размеры диаметров и масса отложений отмечены при налипании мокрого снега. Максимальные значения этого отложения за период наблюдений составляли 176 г (на одном метре провода) в городе и 216 г в районе Медео при размере большого диаметра 47 и 71 мм соответственно 1. Размеры

¹ Здесь и далее размеры отложений даны с включением диаметра провода гололедного станка (5 мм).

плотных гололедных отложений не превышали 13 мм при массе 32 г/м (см. табл. 49 приложения).

Значительно возрастают размеры и масса гололедно-изморозевых отложений с увеличением высоты подвеса проводов линий связи и электропередачи над поверхностью земли. Увеличение размеров отложений в основном связано с увеличением скорости ветра и влагосодержания воздуха с высотой. В результате обобщения исследований, выполненных в ГГО [27, 28] с использованием многолетних экспериментальных данных, проводимых в различных районах Советского Союза, получены коэффициенты для пересчета гололедной нагрузки с провода гололедного станка на рабочие уровни линий электропередачи. В зависимости от массы отложений и скорости ветра для Алма-Аты коэффициент пересчета изменяется от 2,9 при отложениях льда 150—300 г/м до 3,7 при отложениях льда менее 100 г/м. Проведенные расчеты показали, что в Алма-Ате на проводах линий связи и электропередачи, находящихся на высоте 10-12 м над поверхностью земли, один раз в два года отложение льда может превышать 90 г/м, один раз в 5 и 10 лет составляет соответственно 188 и 300 г/м. Максимальная гололедная нагрузка на проводах линии связи за период наблюдений, согласно расчетам, составила от налипания мокрого снега 510 г/м (1960 г.).

Большую опасность при гололедно-изморозевых явлениях представляет ветер, так как создает дополнительную нагрузку на покрытые льдом провода. В Алма-Ате гололедно-изморозевые явления наблюдаются обычно при незначительных скоростях ветра (см. табл. 50 приложения). Лишь в 10—30 % случаев скорость ветра при обледенении проводов превышает 1 м/с. За весь период наблюдений в Алма-Ате отмечены лишь отдельные случаи обрыва телеграфных проводов в результате гололедно-изморозевых явлений (21 ноября 1953 г. и 15 марта 1975 г.).

Значительно большую опасность в Алма-Ате представляет гололедица на дорогах, возникающая в зимнее время при прохождении теплых фронтов, когда температура воздуха резко повышается до 0—3 °C, а подстилающая поверхность сохраняет отрицательную температуру. Чаще всего гололедица бывает в декабре, в период с марта по октябрь случаев с гололедицей не наблюдалось

(см. табл. 51 приложения).

Наряду с данными о гололедно-изморозевых явлениях в приземном слое атмосферы особый интерес представляют сведения о максимальных гололедных нагрузках на высотные сооружения. В табл. 52 приложения приведены такие данные для высот 100, 200, 300 и 500 м над поверхностью земли, полученные в результате расчета методом, предложенным сотрудниками Главной геофизической обсерватории им. А. И. Воейкова [28]. Приведенные результаты расчетов являются ориентировочными, так как при определении интенсивности нарастания отложения скорость ветра 2 м/с и менее условно приравнивалась к 2 м/с. Вследствие малых скоростей ветра в Алма-Ате даже на больших высотах максималь-

ные гололедные нагрузки получаются сравнительно небольшие. Значения их, повторяющиеся, например, каждые 2 года, составляют 0,3—0,6 кг/м и только один раз в 15—20 лет на высотах 200—500 м могут быть гололедные отложения массой более 1 кг на 1 м провода.

Пыльные бури. Почвенно-климатические условия района, в котором расположена Алма-Ата, способствуют слабому проявлению пыльных бурь. Небольшие скорости ветров, значительное количество выпадающих осадков, защищенность почвы растительным покровом — все это способствует тому, что в среднем в районе Алма-Аты возникает 7—8 пыльных бурь в год.

Пыльные бури могут наблюдаться в северо-западных районах. Как показали исследования Н. Н. Романова [49], существуют два основных типа пыльных бурь: 1) кратковременные пыльные бури, связанные с прохождением холодных фронтов, и 2) продолжительные пыльные бури, связанные с увеличением барических градиентов.

Фронтальные пыльные бури в условиях Алма-Аты отличаются кратковременностью, и степень их развития зависит от интенсивности вторжений. Наиболее выражены фронтальные пыльные бури при северо-западных вторжениях. В районе аэропорта отмечались пыльные бури при западных и юго-западных ветрах.

Наибольшее число дней с пыльными бурями в районе Алма-Аты наблюдается в наиболее засушливые летние месяцы (табл. 76) в отличие от прилегающих с севера пустынных и полупустынных районов, где максимум их наблюдается несколько ранее, в мае — июне. Повышенной повторяемости бурь здесь в эти месяцы способствует обострение циклонической деятельности при относительно небольшом количестве осадков, выпадающих в условиях пустынь и полупустынь.

Tаблица 76 Среднее многолетнее число дней с пыльными бурями (n) и их среднее квадратическое отклонение (σ)

Станция	Пернод наблюде- ний	Характе- ристика	IV	v	VI	VII	VIII	ΙX	х	χı	Год
Алма-Ата, ГМО	37	$\frac{\overline{n}}{\sigma}$	0,3	0,5 0,6	1,7 1,6	1,9 2,2	1,4 1,5	0,9 1,0	0,6 1,1	0,02 0,2	7,5
Алма-Ата	23	n s	0,6	0,6	1,6 1,2	2,1 2,1	1,8	1,1 0,9	0,8 0,9		8,6

В условиях же Алма-Аты пыльные бури в весение месяцы наблюдаются хотя и реже, но вызываются ветрами значительных скоростей и наносят наибольший ущерб городскому хозяйству [50, 55].

Изменчивость циркуляционных процессов на юго-востоке Казахстана приводит к значительным вариациям в повторяемости пыльных бурь в отдельные годы. В 50 % лет в районе Алма-Аты за год наблюдается 6—8 пыльных бурь, в 80 % лет — 2—5 пыль-

ных бурь.

Продолжительность пыльных бурь в условиях Адма-Аты и его пригородов невелика. Длительность наблюдавшихся бурь не превышает одного часа, длительность бурь более трех часов исключительно редка. Максимальная продолжительность пыльной бури на ст. Алма-Ата, ГМО 3—4 июля 1955 г. достигла 11 ч 45 мин, а в районе аэропорта 5 октября 1958 г. — 14 ч 45 мин.

В Алма-Ате при пыльных бурях преобладают скорости ветра 6—9 м/с, однако наблюдаются кратковременные усиления скоро-

стей до больших значений (15—17 м/с).

7. КЛИМАТИЧЕСКАЯ ХАРАКТЕРИСТИКА СЕЗОНОВ

С учетом характерных особенностей годового хода основных метеорологических величин и их значений год делится на климатические сезоны. Единые календарные сроки сезонов установлены по астрономическим признакам (зима: декабрь —февраль, весна: март—май, лето: июнь—август, осень: сентябрь—ноябрь). Сроки наступления и продолжительность фактических сезонов находятся в зависимости от складывающихся условий воздействия климатообразующих факторов и изменяются не только по территории, но и от года к году иногда очень резко.

При употреблении таких определений, как «ранняя весна» и «поздняя осень» имеются в виду не календарные сроки, а наступление определенного состояния природы в данный конкретный год.

Сезоны года тесно взаимосвязаны, начало каждого в какой-то степени зависит от характера предшествующего. Конец одного сезона и начало другого принято выражать определенной датой, хотя в действительности это некоторый промежуток времени, в течение которого происходят изменения в радиационном режиме, циркуляционных процессах и в состоянии подстилающей поверхности.

Если условно принять за начало и конец зимы переход средней суточной температуры воздуха через 0 °C, а за лето — период с температурой воздуха 15 °C и выше, то в среднем в Алма-Ате и ее окрестностях границы и конец сезонов года определяются датами, приведенными в табл. 77 и на рис. 1 приложения. Такое соотношение времен года по территории города обусловлено его

Таблица 77 Даты, определяющие границы климатических сезонов в различных районах Алма-Аты

Станция	Зима (<i>t</i> ≪0 °С)	Весна (<i>t</i> =015 °C)				
Алма-Ата, аэропорт	11 XI—13 III (123)	14 III—8 V (56)				
Алма-Ата, ГМО	18 XI—10 III (113)	11 III—7 V (58)				
Медео	24 XI—12 III (109)	13 III—8 VI (88)				
Алма-Ата, агро	27 XI—11 III (105)	12 III—26 V (75)				
Станция	Лето (т́>15 °С)	Осень ($\bar{t} = 150$ °C)				
Алма-Ата, аэропорт	9 V—18 IX (133)	19 IX—10 XI (53)				
Алма-Ата, ГМО	8 V—24 IX (140)	25 IX—17 XI (54)				
Медео	9 VI—4 IX (88)	5 IX—23 XI (80)				
Алма-Ата, агро	27 V—15 IX (112)	16 IX—26 XI (72)				

 Π р и м е ч а н и е. В скобках приведено общее число дней сезона.

физико-географическими особенностями. Северные районы более континентальны, чем южные. Зима в северных районах на две недели дольше, лето — на 1,5 месяца, а весна и осень на месяц короче. Вследствие влияния инверсий зима в южных районах города мягче, но с более продолжительным залеганием снежного покрова. Средняя температура января здесь на 2,5 °C выше, чем в центральных районах города и на 6,6 °C выше, чем в северных, в аэропорту. Все это говорит о том, что с увеличением высоты места над уровнем моря климат становится более мягким, переход средней суточной температуры от низких зимних к летним происходит постепенно, более замедленно.

В дальнейшем для характеристики отдельных сезонов года удобнее пользоваться астрономическими сроками их наступления, так как приводимые при этом в таблицах различные климатические параметры за идентичные промежутки времени дают возможность проанализировать распределение их по территории.

7.1. Зима

Зима в Алма-Ате умеренно холодная, сравнительно непродолжительная, с явным преобладанием штилевой погоды, с устойчивым снежным покровом. Хотя период со средней суточной температурой воздуха ниже 0 °C составляет 110—120 дней, однако устойчивые морозы, когда температура воздуха в любой из сроков наблюдений месяц и более была ниже 0 °C, сохраняются обычно только 67 дней — с 19 декабря по 23 февраля.

Зимой, в отличие от других сезонов года преобладает пасмурная погода. Средняя продолжительность солнечного сияния за день составляет 4,2—5,5 ч. Без солнца в среднем бывает по 7—8 дней за каждый зимний месяц, в отдельные годы число их может удваиваться.

В табл. 78 приведены средние и экстремальные значения температуры воздуха зимних месяцев. В 50 % зим самым холодным месяцем является январь. Температура февраля и декабря в среднем выше январской на 2,0-2,5 °С, но нередко эти месяцы бывают более холодными, чем январь. Зимние месяцы отличаются большей в году неустойчивостью режима температуры. Квадратические отклонения средних месячных значений составляют 2,5-4,0 °C, а наибольшие отклонения наблюдавшиеся за годы, достигали 11—7 °C. Аномалии температуры за декады характеризуются еще большими значениями. Очень холодной в Алма-Ате была третья декада февраля 1951 г. Средняя декадная температура ее составила —23 °C, что ниже нормы на 19 °C. Суточная амплитуда между ночными и дневными температурами зимой в среднем составляет около 10 °C. Погода в зимние месяцы, как и в другие сезоны, часто резко меняется. Относительно теплые периоды сменяются резким похолоданием, и наоборот. При средней межсуточной изменчивости, равной ±3 °C, не-

Термические характеристики зимы. Алма-Ата, ГМО

													дне рату	інее ч йсте ройв іе сут	мпе- тече-
Месяц	7	σ	Т <i>t</i> наиб	Год	t _{Hanm}	Год	$\overline{t}_{ ext{MilH}}$	t	T _{Make}	a	тмин	T _{Makc}	отрицательной	переходом через 0 °С	положитель- ной
XII I	-7.4	3,55 2,64 3,63	-1,6	1971 1976 1958	—13,4 —14,5 —16,8	1944 1969 1931		2,89	-2,0	3,49 2,66 3,59	— 36		14 17 13	15 14 14	0,4 1

редко наблюдаются резкие изменения средней суточной темпера-

туры ото дня ко дню $\pm (14-17 \, ^{\circ}\text{C})$.

При вторжении арктических воздушных масс в Алма-Ате устанавливается морозная погода. Сильные морозы (—25 °С и ниже) могут наблюдаться в течение 6—8 дней подряд, морозы ниже —30 °С наблюдались не более 4 дней подряд. Самая низкая температура воздуха —38 °С отмечена в городе 26 февраля 1951 г. В районе аэропорта в это время термометр показывал —48 °С, а в горах — только —29 °С. Вероятность зим с абсолютным минимумом температуры воздуха ниже указанных пределов по ст. Алма-Ата, ГМО приводится ниже:

Приведенные данные свидетельствуют о том, что зимы с очень низкими температурами — явление довольно редкое для Алма-Аты, но периоды с температурами —15... —20 °С, при которых по нормам недопустимы работы людей на открытом воздухе и которые оказывают вредное влияние на прочность отдельных частей механизмов [5], наблюдаются ежегодно. Средняя продолжительность периодов с такими температурами, по данным самописцев за 1960 и 1970 гг., составляет 225 и 60 ч соответственно [53].

Характерной чертой алма-атинской зимы являются оттепели. В отдельные годы число дней с оттепелью за зиму достигает 60—70 (1940-41, 1951-52, 1962-63 г.) или сокращается до 20—25 (1930-31, 1944-45 г.). В экстремально теплые зимы в дневные часы воздух прогревается до 15—20 °С. Вероятность зим с абсолютным максимумом температуры воздуха выше определенных пределов по ст. Алма-Ата, ГМО приводится ниже:

Абсолютный максимум, °C	7	9	11	13	15	17	19
Вероятность, %		90	80	50	25	10	2

Ветра зимой в городе практически нет. Средняя месячная скорость его 1 м/с — минимальная в годовом ходе. Более 40 % всех случаев за сезон составляют штили. Преобладающие направления ветра — южное и юго-восточное.

За зиму (декабрь—февраль) выпадает в среднем 89 мм осадков, что составляет около 16 % годовой суммы. Обычно это снег, а при резких потеплениях (2—4 дня в месяц) — дождь. Твердые осадки в зимние месяцы составляют 50—54 %, смешанные— 38—43 % общего количества, а на долю жидких в январе прихо-

дится 3 %, в декабре 9 % и в феврале 11 %.

Самой холодной за последние 60 лет была зима 1968-69 г., когда температура воздуха в среднем за сезон оказалась на 5,8 °C ниже нормы. Сравнительно холодными также были зимы 1935-36, 1944-45, 1950-51 гг. Зима 1940-41 г. оказалась наиболее теплой, со средней температурой выше нормы на 4,2 °C. Сведения о температурно-ветровом режиме наиболее теплой и наиболее холодной зим представлены в табл. 79. Разница между средними температурами этих зим составила 10 °C. Сумма отрицательных температур за три месяца холодной зимы почти в четыре раза больше, чем за теплую зиму. Разница в скоростях ветра небольшая. Максимальные скорости несколько больше за теплую зиму.

Несмотря на то что зима в Алма-Ате сравнительно мягкая, отопительный сезон (период со средней суточной температурой воздуха ниже 8 °C) сравнительно длинный. В пределах территории города продолжительность его колеблется от 166 до 175 дней. В северных и центральных районах отопительный сезон начи-

нается на 5—6 дней раньше, чем в южных.

Учитывая большую изменчивость его от года к году, целесообразно представить обеспеченность дат начала, конца и продолжи-

тельности отопительного периода (табл. 80).

Промерзание почвы в Алма-Ате начинается в декабре, реже в ноябре. Благодаря мягкости зимы глубина промерзания сравнительно небольшая. Среднее ее значение из максимальных за зимы составляет 33 см, но в отдельные, более суровые годы, почва промерзает до 80 см (1950-51, 1968-69 гг.). Наиболее характерными атмосферными явлениями для зимних месяцев Алма-Аты являются туманы, изморозь и снег. Метель в Алма-Ате — большая редкость.

7.2. Весна

Веспа в Алма-Ате начинается обычно в начале второй декады марта (11 марта), когда средняя суточная температура воздуха становится положительной. К этому времени разрушается устойчивый снежный покров. Однако весенний период характеризуется крайне неустойчивыми погодными условиями, и в сроках наступления его наблюдаются большие вариации. В зависимости от характера и темпов развития весенних процессов сроки разрушения

Таблица 79

Метеорологические условия в наиболее теплую (1940-41 г.) и наиболее холодную (1908-69 г.) зимы

		Тепла	я зима			Холодиа	ия зима								
Показатель	XII	· I	II	XII-II	XII	1	11	XII-IIX							
	Температура воздуха, ° С														
$\frac{t}{\Delta t}$ Δt T_{MARC} T_{MHH} Σt при $t < 0$ Число дней от $T_{\text{MARC}} > 0$	0,6 5,4 13,4 -17,2 -61,6 26	-3,8 3,6 12,1 -18,1 -136,7 21	$\begin{array}{ c c c } -2,0 \\ & 3,8 \\ 12,2 \\ -19,4 \\ -84,4 \\ & 21 \end{array}$	$\begin{bmatrix} -1,7\\4,3\\13,4\\-19,4\\-282,7\\68\end{bmatrix}$	-6,6 -1,8 11,0 -26,3 -216,8 13	14,5 7,1 5,8 30,1 448,2	$\begin{array}{c c} -14,1 \\ -8,5 \\ 5,9 \\ -28,3 \\ -612,8 \\ 4 \end{array}$	$ \begin{vmatrix} -11,7 \\ -5,8 \\ 11,0 \\ -30,1 \\ -1277,8 \\ 21 \end{vmatrix} $							
Ветер, м/с															
$egin{array}{c} oldsymbol{v} \ oldsymbol{v}_{ ext{\tiny Makc}} \end{array}$	1,3 0,3 6	1,2 0,2 8	1,3 0,2 5	1,3 0,2 8	$\begin{bmatrix} 0,7 \\ -0,3 \\ 3 \end{bmatrix}$	$-0.7 \\ -0.3 \\ 3$	0,7 -0,4 5	$\begin{bmatrix} 0,7 \\ -0,3 \\ 5 \end{bmatrix}$							
			Od	садки, мм											
Σ Число дней со снегом с дождем со смешан- ными осад- ками	34 1 1 3	29 4 2	44 6 2 8	107 11 5 11	22 12 2	54 17	16 13	92 42 2							

Таблица 80 Даты начала и конца отопительного периода и его продолжительность различной вероятности. Алма-Ата, ГМО

		,				Верояти	ость, %	788				T
Показатель	Средняя	Наимень-	Год	5	10	25	50	75	90	95	Напболь- шая	Год
Дата начала Дата конца Продолжитель- ность, дни	21 X 6 IV 168	3 X 14 III 147	1920 1944 1919, 1962	10 X 19 III 150	12 X 24 III 155	15 X 31 III 160	21 X 6 IV 170	26 X 11 IV 176	29 X 17 IV 180	1 XI 22 IV 185		1919, 192; 1916, 1945 1972

) e	_				_		_	707444			ŧ		Среднее число дней с в течение су		Среднее число дней с температ в течение суток		і с температурой суток	
Месяц	t	ď	[‡] напб	Год	t _{HOHM}	Год	t _{MHIII}	σ	T _{Marc}	ь	т	тыакс	отрица- тельной	переходом через 0 °C	положитель- ной			
111	1,8	2,47	7,5	1944, 1962	-2,2	1951	-2,6	2,39	7,0	2,72	—27	25	5	14	12			
V	10,5 16,2	1,75 1,63	15,1 21,1	1929 1917	7,3 12,3	1934 1960	5,2 10,8	1,68 1,52	16,3 21,7	1,87 1,93	-10 -7	33 37	0,2	4	26 31			

Весной 1960 г. на 2—4 °C было холоднее обычного. Количество осадков составило 130 % нормы.

Таблица 83
Метеорологические условия наиболее теплой (1944 г.) и наиболее холодной (1960 г.) весны

1		Теплая	г весна			Холодная	я весна	
Показатель	111	IV	V	V-111	III	IV	v	III-V
		Темп	ература	воздуха,	° C	,		
t Δt $T_{\text{макс}}$ $T_{\text{мин}}$ $\geq t$ при $t > 0$ $\leq t$ при $t < 0$ Число дней с $T_{\text{мин}} < 0$	7,5 5,5 24,3 8,0 18,5 246,2	11,4 0,8 23,4 -4,7 340,6	17,9 1,5 32,4 1,3 804,2	12,3 2,6 32,4 —8,0 —18,5 1391,0	-2,1 -4,1 12,7 -16,3 -94,7 22,6 31	8,9 —1,7 27,4 —9,2 —17,9 285,3	12,3 -4,1 27,6 2,3 406,0	6,4 -3,3 27,6 -16,3 -112,6 713,9
1 Milli		l	Осадк	и, мм				_
$\overline{\Sigma}$ Число дней с	36 4	82 12	30 13	148 29	40 5	92 7	192 24	324 36
дождем Число дней со снегом	0	0	0	0	19	4	0	23
•			Ветер	, м/с			. 10	. 1 គ
υ Δυ υ _{ма кс}	2,4 1,0 9	$\begin{bmatrix} 2,5\\0,8\\9 \end{bmatrix}$	3,0 1,1 12	2,6 1,0 12	0,0	$\begin{bmatrix} 1,5\\ -0,2\\ 11 \end{bmatrix}$	$\begin{bmatrix} 1,6\\-0,3\\14 \end{bmatrix}$	$\begin{bmatrix} -1,5\\ -0,2\\ 14 \end{bmatrix}$
- Ma NL	•							to a mutat

В наиболее теплую весну (1944 г.) с отклонением температуры от нормы за сезон на 2,6 °C осадков выпало 60 % нормы. Сумма положительных температур за три весенних месяца теплой весны почти вдвое больше, чем за холодную весну. Теплая весна оказалась наиболее ветреной. Отклонения скорости ветра от нормы составили 0,8—1,1 м/с.

Возможные атмосферные явления весной представлены в табл. 84. Если для начала весны туман, снег и дождь со снегом явления обычные, то вторая ее половина и особенно май — период дождей, нередко сопровождающихся грозами.

Таблица 84 Среднее число дней с атмосферными явлениями весной. Алма-Ата, ГМО

Атмосферное явление	III	IV	٧	За сезон
Туман Метель Град Гололед Изморозь Гроза Снег Дождь Дождь	7 0,02 0,05 2 2 0,2 8 8 3	0,02 0,1 0,3 2 2 11 2	0,4 0,4 0,04 6 0,3 13	8 0,04 0,6 2 2 8 10 32 5

Лето в Алма-Ате продолжительное и жаркое, а иногда и знойное, с устойчивым сохранением средней суточной температуры воздуха выше 15 °C. Обычно этот период составляет 4,5 месяца (8 мая — 24 сентября). В зависимости от условий атмосферной циркуляции границы сезона значительно варьируют от года к году и могут сместиться на месяц как в сторону более ранней даты (начало сезона 8 апреля 1929 г.), так и более поздней (7 июня 1958 г.). Подъем и спад температуры воздуха от месяца к месяцу идет более плавно, чем в переходные периоды (весна, осень). Самый теплый месяц — июль, но каждый четвертый год может быть август, а в 1941 г. — это был июнь. Некоторые термические характеристики центральных месяцев лета представлены в табл. 85. Суточные колебания температуры воздуха в летний период наибольшие в году. Значения средней суточной амплитуды температуры в летние месяцы равны 11—12 °C, а в отдельные дни — 20—21 °C. Так как максимальные температуры воздуха в Алма-Ате 25 °C и выше наблюдаются ежедневно, то в качестве критерия знойной погоды (как одного из опасных явлений) принята повторяемость температур 30 °C и выше. В Алма-Ате таких дней в среднем за год бывает 36 с колебаниями в отдельные годы от 8 (1972 г.) до 58 (1944 г.). Максимум в годовом ходе приходится на июль (табл. 86). В такие дни в течение 1.5— 2,0 ч отметки термометра могут показывать 40-42 °C.

Таблица 85 Термические характеристики лета. Алма-Ата, ГМО

Месяц	Ŧ	σ	t _{нанб}	Год	$\overline{t}_{\mathrm{naum}}$	Год	₹ _{макс}	đ	Тмакс	T _{MHH}	σ	$T_{ m MHH}$
VI VII VIII	20,6 23,3 22,3	1,34		1941 1944 1 9 23	17,4 20,6 19,3	1972	29.5	1,40 1,55 1,46	42	14,9 17,4 16,1	1,20 1,20 1,19	12 7 4

Таблица 86 Число дней с температурой воздуха 30 °C и выше. Алма-Ата, ГМО

Показатель	V	VI	VII	VIII	χı	Сезон
Среднее Наибольшее Год	1,1 14 1917	5,6 18 1941	14,4 28 1944	12,1 28 1923	2,3 8 1978	35,5 58 1944

По данным 1916—1978 гг. продолжительность знойной погоды в Алма-Ате в 87 % случаев составляет 1—5 дней, а в годы максимума увеличивается до 23. Такими были периоды с 30 июля по 21 августа 1923 г., с 23 июля по 13 августа 1955 г. и с 3 по

25 июля 1956 г. Анализ непрерывной продолжительности знойной погоды в течение дня показал, что в Алма-Ате она чаще всего удерживается в течение 7 ч и менее. За период с 1932 по 1978 г. только 31 июля 1973 г. и 11 июля 1977 г. температура воздуха 30 °С и выше сохранялась 13 ч, а 13 августа 1975 г. — 14 ч. Сравнительно небольшая непрерывная продолжительность высоких температур отражает характерные черты климата предгорий, влияние горно-долинной циркуляции. В среднем за июнь продолжительность жаркой погоды равна 20,8 ч, за июль — 66,9 ч, а за

август — 50,5 ч, что дает в общем за сезон 138,2 ч. Данные суммарного числа дней с максимумами 30 °С и выше за каждый день теплого периода свидетельствуют о том, что наибольшая повторяемость температур 30 °С и выше в Алма-Ате приходится на 17—18, 21—22 июня и 2—5, 21—30 июля. Последний период наиболее продолжителен и вероятность появления в нем высоких температур в два раза больше, чем в перпервом (40—50 % против 22 %). Относительно высокая повторяемость (40—50 % лет) температур 30 °С и выше наблюдается 1—2 и 7—13 августа. Однако в отдельные годы, даже в самый разгар лета, возможны резкие похолодания. В такие дни температура воздуха в ночные часы понижается до 2 °С в июне, 7 °С в июле и 6 °С в августе.

Поверхность почвы в среднем за сутки теплее воздуха на 5 °C, а в отдельные годы различия возрастают на десятки градусов (42 °C температура воздуха и 70 °C температура почвы).

Относительная влажность воздуха летом изменяется от 50 % в июне до 44 % в августе, а в дневные часы — от 42 до 33 % соответственно. Число дней с относительной влажностью воздуха 30 % и ниже в любой из сроков наблюдения в июне 8, в июле 14 и в августе 18, что составляет 57 % сухих дней в году при средней продолжительности сухих периодов за лето 362 ч. Анализ данных табл. 87 показал, что в 62 % летних дней (57 за лето) в Алма-Ате создаются условия, вызывающие засушливо-суховейную погоду.

Таблица 87 Число дней с суховеем (по Е. А. Цубербиллер)

Показатель	IV	V	VI	IIV	VIII	ιx	Год
Среднее σ Нанбольшее Год	1,8 1,5 7 1938	5,5 4,1 15 1961	13,0 6,4 24 1939	21,4 5,9 31 1943, 1956	22,6 5,3 30 1945	12,7 4,4 23 1959	77 22,3 104 1943

Облачность летом незначительная. Вероятность ясного неба по нижней облачности составляет 75 %, а число ясных дней 15—20.

По продолжительности солнечного сияния Алма-Ата занимает одно из первых мест в СССР — 2365 ч за год (Кисловодск —

2000 ч, Ялта — 2200 ч). Это значит, что в Алма-Ате в летние

месяцы солнце светит непрерывно 9-10 ч.

Осадки летнего периода составляют 21 % годовой суммы с максимумом в июне (57 мм) и минимумом в августе (24 мм). Среднее число дней с осадками убывает в такой же последовательности — от 10 до 6. Выпадают они преимущественно в виде ливневых дождей, обычно во второй половине дня и часто сопровождаются грозами, а иногда и градом. Грозы бывают ежегодно с наибольшей повторяемостью в июне (10 дней). В отдельные годы каждый второй день летнего месяца может быть с грозой. Общая продолжительность летних дождей 94 ч за сезон с минимумом в августе (24 ч). Это значит, что дождь в течение суток длится обычно около 1 часа, по количество выпавших осадков за короткое время может быть большим. Алмаатинцам, например, памятен ливень 12 июня 1942 г., когда за 5,5 ч выпало 71 мм осадков при месячной норме 57 мм. Суточный же максимум этого дня 74 мм явился максимумом за все 100 лет наблюдений.

Экстремально влажными с пониженным температурным фоном являются 1896, 1954, 1958 гг. В июне 1979 г. выпало 190 мм осалков. Это наибольшее значение за весь период наблюдений в Алма-Ате (1879—1979 гг.). В условнях недостаточного увлажнения 1950, 1963, 1966, 1973, 1977-й и др. годы можно условно отнести к тепловлагообеспеченным. В эти годы температура воздуха выше 15 °C устойчиво держалась 145 дней с безморозным периодом от 170 до 195 дней, а количество осадков колебалось в пределах нормы. Исключительно жарким и сухим было лето 1944 г., за весь сезон выпало только 20 мм осадков (17 % нормы). Температура воздуха июля превысила норму на 4 °C, а 10 июля и 9 августа достигла абсолютного максимума (42 и 40 °C соответственно) за 100 лет. Следует заметить, что годы с малым количеством осадков (20-50 мм) за летний сезон вероятны один раз в 10 лет, а перноды без дождя могут быть 1,5-2,0 месяца подряд. Метеорологические условия наиболее теплого и наиболее холодного лета приведены в табл. 88.

Высокие температуры летних месяцев способствуют бурному таянию снега в горах, что в сочетании с ливневыми дождями может вызвать сели. Эти грязекаменные потоки, коверкая речную долину, стремительно несутся на город, сметая все на своем пути. Жителям Алма-Аты памятны сели 8 июля 1921 г. и 7 августа 1956 г. Сейчас, когда возведены и укрепляются защитные инженерные сооружения, вода тающих ледников, бегущая по руслу Малой Алматинки, больше не угрожает городу. Пропускаемая самотеком через специальные устройства, она служит кондиционером воздуха в летний зной одного из прекраснейших творений строителей Алма-Аты — Дворца культуры им. В. И. Ленина, не требуя никакого расхода электроэнергии.

Лету свойственно некоторое усиление ветровой деятельности, но и в это время года доминируют штили и слабые ветры. Дватри дня в месяц скорость ветра достигает 15 м/с и более, а в от-

Таблица 88
Метеорологические условия наиболее теплого (1944 г.) и наиболее холодного (1954 г.) лета

		Жарко	е лето			Прохладі	ное лето	
Показатель	17	Λ11	VIII	сезон	VI	VII	VIII	сезон
		Темпеј	р ату ра	воздуха	, ℃			
$egin{array}{l} \hline t \ \Delta t \ T_{ m Marc} \ T_{ m Muh} \ \hline \Sigma t \ { m npu} \ t > 0 \end{array}$	21,7 1,0 37,1 10,1 657,7	27,0 3,6 41,6 16,5 1838,6	10,6	1,9 41.6	$ \begin{array}{c c} -3,3 \\ 27,5 \\ 8,5 \end{array} $	21,3 -2,1 32,7 11,6 662,0	22,3 0,0 33,4 9,5 689,4	20,3 —1,8 33,4 8,5 1879,8
			Осадка	H, MM				
∑ Δ∑ (%) ∑макс за сутки с Число дней с до- ждем	11 19 5 18	5 14 2 9	17 2 8	20 17 5 35	129 222 42 21	47 131 23 15	54 225 18 17	230 197 42 53
		Ско	рость в	зетра, м/	'c			
υ Δυ υ _{макс}	$\left \begin{array}{c} 2,6 \\ 0,6 \\ 12 \end{array} \right $	2,6 0,6 12	$\begin{bmatrix} 2,7\\0,7\\7 \end{bmatrix}$	2,6 0,6 12	$\begin{array}{c} 2,0 \\ 0,0 \\ 12 \end{array}$	2,2 0,2 8	$\begin{bmatrix} 2,3\\0,3\\12 \end{bmatrix}$	$\begin{bmatrix} 2,2\\0,2\\12 \end{bmatrix}$

дельные годы число таких дней увеличивается до 10. Господствующее направление — юго-восточное. В это время года особенно четко проявляется полусуточная смена направлений ветра: днем — северный, а ночью — южный или юго-восточный, дующий с гор. В 2—4 днях в месяц наблюдается фён, повышающий температуру воздуха на 4—5 °С и снижающий его влажность на 20 %.

7.4. Осень

Осень в Алма-Ате называют золотой. Это лучшее время года. Переход средней суточной температуры через 15 °C наступает обычно 24 сентября, и этот месяц по существу можно отнести к летнему сезону. В сентябре продолжает стоять теплая малооблачная сухая погода. Средняя суточная продолжительность солнечного сияния составляет 8,5 ч, или 66 % возможной, уменьшаясь к ноябрю до 5,5 ч (40 % возможной). Средняя месячная температура сентября около 17 °C, а в 1959 г. она составила 20,9 °C. Число дней с относительной влажностью воздуха 30 % и ниже равно 16, но может быть и 25. Около 13 дней в сентябре наблюдались с суховеем, а в 1959 г. число их достигло 23. Количество осадков, выпадающих в сентябре, минимальное после августа (26 мм) и составляет около 5 % годовой суммы. С 14 октября происходит переход температуры воздуха через 10 °C, в конце месяца (30 октября) — через 5 °C. В северной части города

переход через указанные пределы температуры наблюдается в более ранние сроки. Для осени характерно постепенное снижение средних суточных амплитуд температуры воздуха от 12 °C в сентябре до 10 °C в ноябре и лишь в отдельных случаях суточные колебания температуры могут составить 21—22 °C в сентябре — октябре и 24 °C в ноябре. Основные термические характеристики осени представлены в табл. 89.

Таблица 89 Термические характеристики осени. Алма-Ата, ГМО

311	1	or .	ī Hand			у Год	ı 7 _{макс}						Среднее число дней с температурой в течение суток		
Месяц	ŧ	σ	[‡] нанб	Год	t _{itatim}	Год	¹ макс	σ	Тмаке	T _{MHH}	G	Тмин	отрица- телыюй	переходом через 0 °C	положи- тель о
XI X IX	16,9 9,5 0,8	1,48 1,58 2,73	20,9 14,2 6,3	1959 1936 1956	13,4 6,6 6,5	1961	23,4 15,5 6,2	1,58 1,73 2,90	36 31 25	11,0 4,4 —3,6	1,44	-3 -16 -36	0,2 8	0,7 5,3 12	29,3 25,5 10

Первые осенние заморозки в воздухе начинаются 14 октября. В 11 годах из 60 они отмечались в третьей декаде сентября, один раз во второй (19 сентября 1899 г.) и один раз в первой (6 сентября 1968 г.). На поверхности почвы они отмечаются на декаду раньше (4 октября). Таким образом, сентябрь и первая половина октября — переходный пернод, когда возможно резкое похолодание и может быть по-летнему тепло. В сентябре 2 дня, как правило, п 8 дней (1978 г.), как исключение, температура воздуха составляет 30 °C и выше и может повторяться 5—6 дней подряд. Средняя месячная продолжительность периода с такой температурой порядка 7 ч. Во второй половине осени наблюдается увеличение облачности, туманообразования, относительной влажности, осадков. Среднее многолетнее количество осадков в октябре за 7 дней составляет 49 мм и за 10 дней в ноябре — 47 мм. Экстремальное количество осадков, выпавшее в отдельные годы, составляло: в сентябре 1973 г. — 94 мм, в октябре 1969 г. — 145 мм и в ноябре 1941 г. — 112 мм. В 1889, 1893, 1894, 1922, 1926 гг. в сентябре осадки не выпадали, так же как в октябре 1954, 1955 rr.

Во второй половине ноября наблюдается обычно устойчивый переход температуры воздуха к отрицательным значениям. Верхний слой почвы в ноябре промерзает до глубины 10 см. Конец осенних процессов и переход их к зимним приходится на 18 ноября. К этому времени (30 октября) появляется снежный покров (5 октября—21 ноября в отдельные годы), который вскоре исчезает. Окончательно он ложится в зиму через месяц и более, и только зима 1935-36 г. была без предзимья.

В табл. 90 приведены сведения о метеорологических условиях наиболее теплой и холодной осени.

Таблица 90
Метеорологические условия наиболее теплой (1956 г.) и наиболее холодной (1952 г.) осени

		Тепла	ая осень			Холодн	ая осень	
Показатель	IX	х	ΧI	1X-X1	ıx	х	ıx	1X-XI
	T	емпера	гура во	эдуха,	°C			•
Т Δt Тмакс Тмин Σt при t>0 Σt при t<0 Число дней с морозом	17,7 0,7 31,4 -1,7 522,6	10,7 1,1 28,1 -3,5 323,8	6,3 5,5 17,7 -2,7 186,9 -2,3 10	11,6 2,4 31,4 -3,5 1033,3 -2,3 18	16,5 -0,5 31,7 2,9 487,1	8,9 -0,7 25,4 -8,4 271,8 -7,5 8	$\begin{bmatrix} -6,5 \\ -7,3 \\ 19,5 \\ -34,1 \\ 46,2 \\ -245,0 \\ 23$	6,3 -2,8 31,7 -31,4 805,1 -252,5 31
		1	Ветер,	м/с				
υ Δυ υ _{макс}	$\begin{bmatrix} 1,8\\-0,1\\5 \end{bmatrix}$	$\begin{bmatrix} 1,4\\ -0,1\\ 5 \end{bmatrix}$	$\begin{bmatrix} 1,1\\0,0\\4 \end{bmatrix}$	$\begin{bmatrix} -0,1\\ -0,1\\ 5 \end{bmatrix}$	$\begin{bmatrix} 2,2\\0,3\\7 \end{bmatrix}$	$\begin{bmatrix} 2,0\\0,5\\8 \end{bmatrix}$	$\begin{bmatrix} 1,0\\ -0,1\\ 3 \end{bmatrix}$	$\begin{bmatrix} 1,7\\0,2\\8 \end{bmatrix}$
		(Эсадки,	MM				
У Число дней с дожде Число дней со снего	17 4 1	34 5 3	18 5 7	69 14 11	23 4 0	49 6 2	35 2 12	107 12 14

В 1956 г. осень продолжалась на 2 недели дольше обычного — с 26 сентября по 1 декабря. Температура воздуха во все месяцы была выше нормы, в ноябре — на 5,5 °C. Осадки за сезон составили менее 60 % нормы, а в ноябре — менее 40 %. Из 18 морозных дней температура воздуха не опускалась ниже —3,5 °C, а днем воздух прогревался до 31—18 °C с сентября по ноябрь соответственно. Теплыми и сухими осенние месяцы были в 1955 и 1971 гг. Благоприятные погодные условия отмечались и в 1936 г. Примером холодной и короткой осени с быстрым персходом к зиме является осень 1952 г. — с 19 октября по 10 ноября, на месяц короче обычной. Средняя месячная температура воздуха за сезон была ниже средней многолетней на 3°C, а в ноябре на 7,3°C. Заморозки начались с 7 октября. Из 39 осенних дней 31 наблюдался с морозом. Его интенсивность в ноябре составила —34°C. Холодной и сырой отмечена осень 1976 г. Повторяемость сильных ветров сокращается с сентября по ноябрь от 0,8 до 0,5 дня и только в отдельные годы их может быть 5. Повторяемость штилей увеличивается от 12 % в сентябре до 29 % в ноябре. Преобладающим направлением ветра, как и летом, остается юго-восточное (36 % за сезон) при значительной повторяемости южного (19 % за сезон).

8. КОМПЛЕКСНЫЕ ХАРАКТЕРИСТИКИ

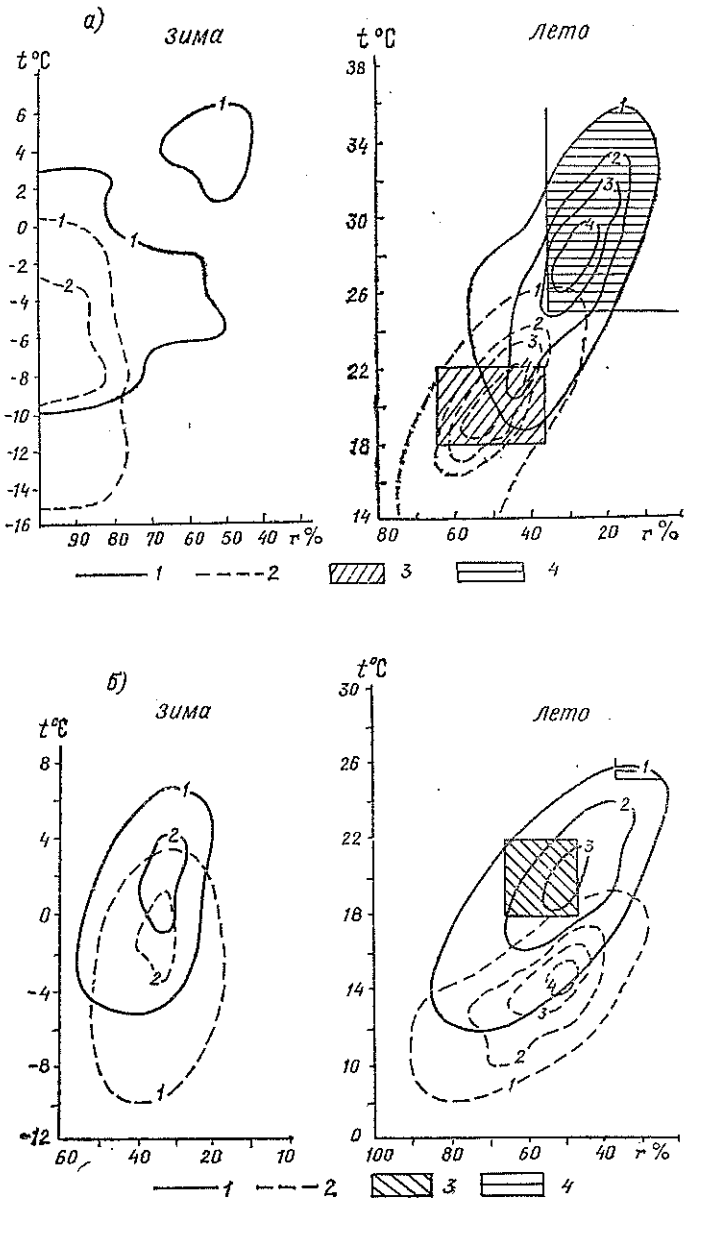
До последнего времени в качестве основных характеристик климата при обслуживании народного хозяйства использовались средние многолетние значения основных метеорологических параметров, опубликованных в «Справочниках по климату СССР», которые широко используются в практике. В природе же они воспринимаются в комплексе, поэтому учет комплексных характеристик метеорологических величин имеет огромное значение. При решении ряда технических вопросов в медицинской климатологии и курортологии чаще всего требуются сведения о сочетании температуры, влажности и скорости ветра.

8.1. Температурно-влажностный режим

Из табл. 53 и 54 приложения, составленных по данным самописцев с 1936 по 1965 г. следует, что в течение года (см. табл. 53 приложения) в Алма-Ате 85 % всех случаев составляет комплекс с относительной влажностью воздуха 21—100 % и температурой от 29 до —19 °С. При этих же значениях относительной влажности, но при меньшем днапазоне колебаний температур (от 29 до —9 °С) отмечено 59 % случаев в году. Относительная влажность воздуха 91—100 % в сочетании с отрицательными температурами (—5 °С и ниже) — явление редкое (3 % общего числа случаев за год).

Суточный ход температурно-влажностного режима в зимний период сглажен, хотя обе характеристики изменяются тельных пределах (см. табл. 54 приложения). Как ночью, так н днем алма-атинской зиме свойственна высокая относительная влажность (70 % и более) при большом днапазоне температур. Наибольшая повторяемость высокой относительной влажности наблюдается при отрицательных температурах (до —50...—10 °C). Сухому воздуху зимних месяцев свойственны положительные температуры (до 15°C). Но повторяемость эта мала. На рнс. 45 а проведены изолинии повторяемости 1 % и более различного сочетания температуры и относительной влажности воздуха, т. е. наиболее часто встречающиеся. Зимой температура изменяется от 2 до —15 °C при относительной влажности воздуха 80—100 % в 99 % всех случаев ночью и более 50 % случаев днем. Днем около 20 % случаев составляет комплекс температуры воздуха ±5°C при относительной влажности воздуха 45-70 %. Уменьшение влажности до 60 % при температуре около —5 °C — явление крайне редкое.

С переходом к весенним процессам резко повышается температура воздуха и падает влажность. Весенние дни характеризуются комплексом относительной влажности 25—55 % и температурой 10—25 °C. Сочетание высокой относительной влажности



и температуры от 15 до -4 °C отмечается обычно в ночные часы; 20 % всех случаев — это комплекс относительной влажности 90—100 % и температуры +4 °C. Бывают случаи, когда относительная влажность сочетается с более высокими температурами (от 6 до 14 °C).

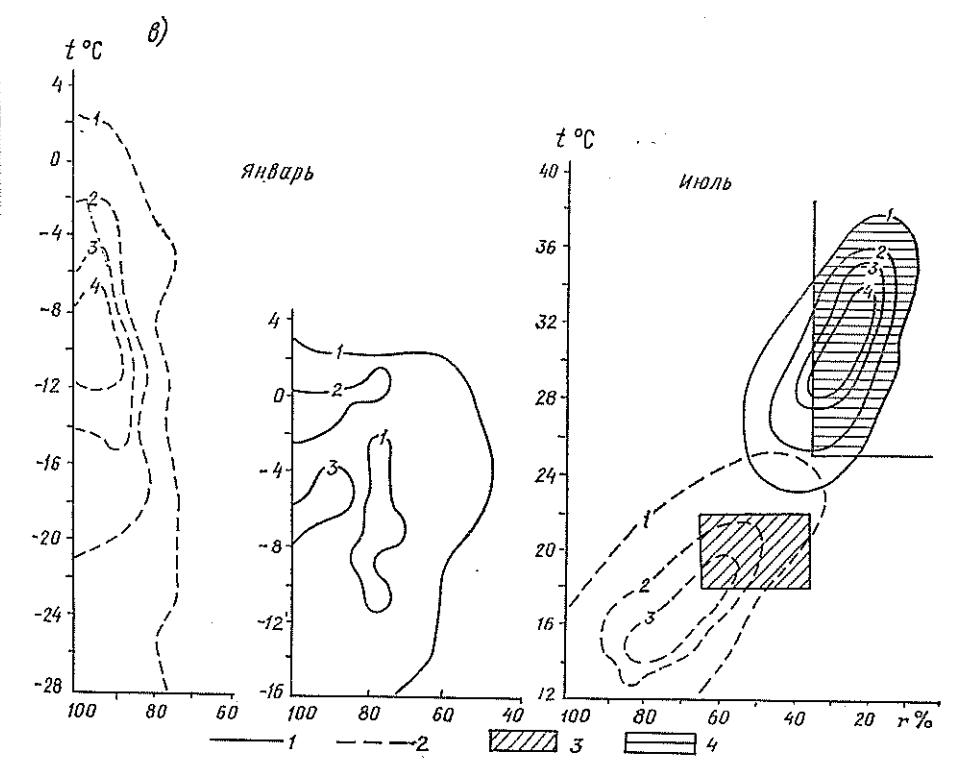


Рис. 45. Повторяемость (%) различных сочетаний температуры и относительной влажности воздуха. $a-A^{\text{лма-Aта}}$, ГМО; $b-A^{\text{лма-Aтинская}}$ селестоковая станция; $b-A^{\text{лма-Aта}}$, аэропорт. $b-A^{\text{лма-Aта}}$, $b-A^{\text{лма-Ata}}$, $b-A^{\text{лмa-Ata}}$, $b-A^{\text{N$

Летом дневные условия характеризуются изменениями температуры от 20 до 36 °C при влажности 55—15 %. Если считать, что наиболее комфортными для ошущения человека считаются условия при влажности 36—65 %, температуре воздуха 18—20 °C и слабом ветре, то в Алма-Ате этот период наблюдается только в 8 % случаев. В ночные часы температура понижается до 25—14 °C, значения влажности колеблются от 25 до 75 %. Этот комплекс охватывает до 75 % всех случаев, из которых 35 %—комфортные условия как результат горно-долинной циркуляции. Весной и осенью повторяемость комфортных условий порядка 6 % общего числа случаев за сезон.

Комплекс со значением температуры выше 25 °C и влажности воздуха 35 % и ниже — неблагоприятный для теплоощущения человека, а особенно для сельского хозяйства и характеризуется как засушливый. В Алма-Ате в дневные часы они составляют до 70 % всех случаев или около 64 дней за сезон. Наибольшая повторяемость низкой относительной влажности (до 10 %) наблюдается при температуре 30 °C.

Осенью, при колебаниях температуры 10—28 °С, относительная влажность днем не поднимается выше 55 % и редко падает ниже 20—15 %. Этот комплекс охватывает до 30 % всех случаев за сезон, из которых более 5 % случаев расцениваются как засушливые; 22 % всех случаев за сезон составляют благоприятные условия для осени, когда температуре воздуха выше 12 °С соответствует влажность 36—65 %. Наибольшему понижению температуры в ночные часы (8—18 °С) соответствует увеличение относительной влажности до 30—65 %. В отдельных случаях, при температуре ниже 10 °С и отрицательных ее значениях, относительная влажность воздуха достигает 90—100 %.

Большое разнообразие природных условий различных районов города существенно сказывается на их температурно-влажностном режиме. Это хорошо подтверждается данными января и июля горной станции (Алма-Атинская селестоковая станция) и равнинной (Алма-Ата, аэропорт), представленных на рис. 45 б и в. Как и на рис. 45 а, здесь показаны области различного сочетания температуры и относительной влажности повторяемостью 1 % и более, которые охватывают 50—80 % всех случаев. При пользовании графиками следует помнить, что в эту область не входят случаи наиболее низких температур и высокой относительной влажности, а также самых высоких температур и низкой

влажности.

На рис. 45 б видно, что летом в горных районах в 50 % всех случаев в дневное время преобладает сочетание температуры 24—18 °C и относительной влажности 30—65 %. Более 30 % всех случаев приходится на комфортные условия. Ночью они наблюдаются реже из-за низкой температуры и высокой влажности, которая нередко достигает 90-95 % при температуре 10-8°C. Район аэропорта, расположенный в удаленной от гор северной части города, в большей степени, чем другие районы Алма-Аты, находится под влиянием равнины и отличается более континентальным климатом. Здесь наблюдается резко выраженный суточный ход температурно-влажностного режима (рис. 45 в). Днем повторяемость 1 % и более имеют комплексы с температурой 22—38 °C и относительной влажностью от 50 до 15 %. Они охватывают до 80 % всех случаев, где около 65 % — это засушливые условия. Ночью преобладают комплексы с температурой 10—25 °C и относительной влажностью 95—36 %. Особенно часто (повторяемость 3 % и более) — это комплекс температуры 14—20 °С и относительной влажности 85—55 %. Он охватывает до 25 % всех случаев. В 20 % случаев или около 6 ночей в июле бывают комфортные условия, что в три раза меньше, чем в городе (Алма-Ата, ГМО около 65 % или 20 ночей в месяц). По мере удаления от города на север, в район Капчагайского водохранилища (зона отдыха горожан), континеитальность климата возрастает. По данным Или, ж.-д. ст. днем здесь преобладают сочетания температуры 24-20 °C и относительной влажности 40-10 %, т. е. почти всегда засушливые условия. Ночью относительная влажность повышается от 30 до 95 % при весьма умеренных температурах. В 25 % всех случаев бывают комфортные условия.

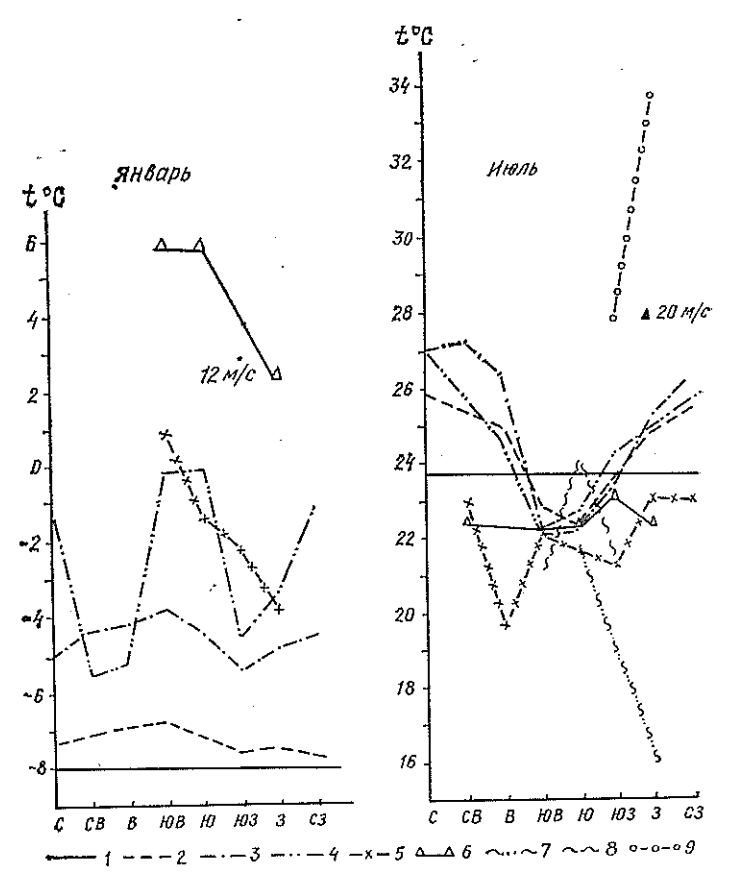
Зимой в горах воздух суше и теплее, чем в городе. Относительная влажность воздуха здесь в январские дни колеблется обычно в пределах 20—50 % при температуре ±8°С. Температуре воздуха от 2 до 12°С ниже нуля соответствует относительная влажность воздуха 80—100 %. Ночные часы отличаются от дневных только более низкими температурами.

Северные равнинные районы города и его окрестности находятся в менее благоприятных условиях. Здесь преобладают комплексы с температурой от 2 до -16 °C днем и от 0 до -30 °C ночью. Относительная влажность при этом чаще всего составляет 55—100 % днем и 75—100 % ночью.

8.2. Температурно-ветровой режим

В приложении к данному разделу в виде таблиц даны комплексные температурно-ветровые характеристики — зависимость температуры воздуха от скорости и направления ветра, которая является одним из факторов формирования температурного режима в нижних слоях атмосферы. Эти данные могут быть учтены при оценке теплоощущений человека в разное время года и теплопотерь зданиями зимой. В табл. 55 приложения представлена средняя температура воздуха каждого направления при определенной скорости ветра. Эти данные приведены на рис. 46 и 47. Они свидетельствуют о том, что зимой в Алма-Ате слабых ветрах всех направлений температура воздуха ниже, чем при более сильных ветрах этих же направлений. Так, в январе температура воздуха при юго-западном ветре скоростью 0-1 м/с составляет —7,6 °С, а при ветре скоростью 12 м/с — только 1,9 °C; при южном ветре скоростью 0—1 м/с соответствует температура —7,2 °C, а усиление ветра до 9 м/с сопровождается повышением температуры воздуха до 6 °C. Различия в температуре при этом составляют 13°C. Самые низкие температуры наблюдаются при штиле. Летом (июль) общий температурный фон при ветрах скоростью до 6 м/с па 2,0-2,5 °C выше, чем при ветрах скоростью 6—15 м/с. Сильным ветрам (более 15 м/с) соответствуют и более высокие температуры. Как показано на рис. 46, при западном ветре в Алма-Ате температура воздуха в июле может быть равна 16 °C при скорости ветра 10 м/с и 34 °C, если скорость ветра усиливается до 16 м/с. Амплитуда температуры при этом составляет 18 °C. Влияние направления ветра сказывается в том, что зимой в Алма-Ате господствующие южные и юго-восточные ветры характеризуются наиболее высокими температурами. Ветры западной составляющей приносят низкие температуры. Летом горные южные и юго-восточные ветры умеряют

5 Заказ № 461 129



.Рис. 46. Зависимость средней месячной температуры воздуха от скорости и направления ветра. Алма-Ата, ГМО.

1) штиль; 2) 0—1 м/с; 3) 2—3 м/с; 4) 4—5 м/с; 5) 6—7 м/с; 6) 8—9 м/с; 7) 10—11 м/с; 8) 12—13 м/с; 9) 16—17 м/с.

жару, которую приносят в город горячие и сухие ветры северной составляющей из районов прилегающих пустынь.

В горных окрестностях Алма-Аты картина почти идентична. Ветрам с южной составляющей здесь соответствует понижение температуры воздуха летом (июль) и повышение зимой (январь). Ветры с северной составляющей повышают температуру летом и понижают зимой.

В равнинных северных районах города в течение года южные ветры наиболее холодные. Зимой это вызвано застаиванием и последующим выхолаживанием потоков горного воздуха в условиях пересеченного рельефа при антициклонической погоде. Наиболее часто повторяющиеся сочетания и возможные редкие случаи представлены на рис. 48. Для Алма-Аты неблагоприятным фактором в летние месяцы (с повторяемостью до 40 %) является период со слабыми и умеренными ветрами (0—5 м/с) при темпера-

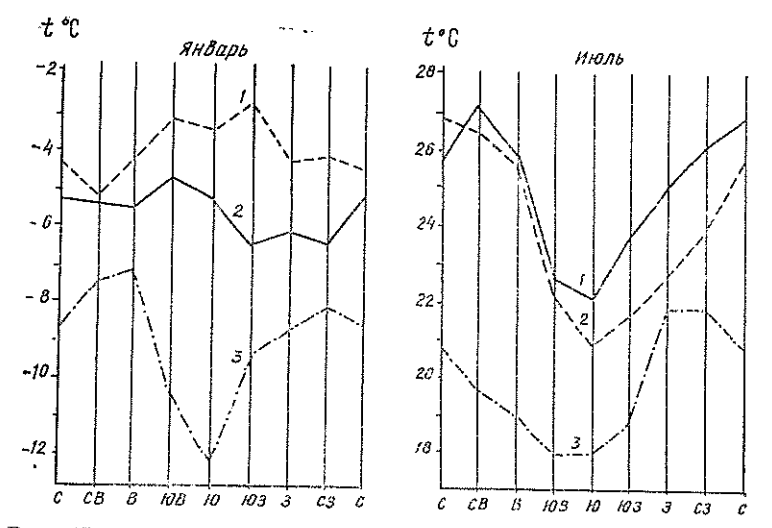


Рис. 47. Зависимость средней месячной температуры воздуха от направления ветра на северном склоне Занлийского Алатау. 1— Алма-Атинская селестоковая станция (Медео); 2— Алма-Ата, ГМО; 3— Алма-Ата, аэропорт.

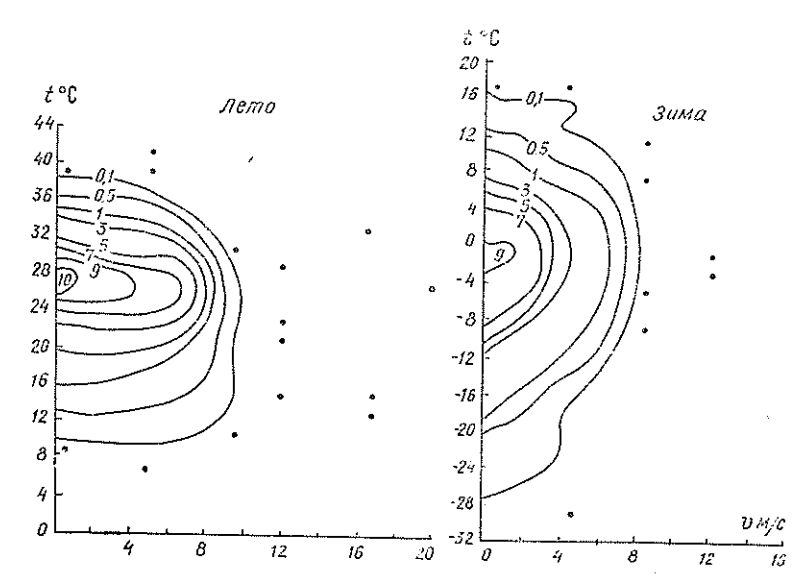


Рис. 48. Повторяемость (%) различных сочетаний дневной температуры воздуха и скорости ветра. Алма-Ата, ГМО.

Точка означает отдельные случаи повторяемости менее 0,1 %.

туре воздуха выше 30 °C. Особенно тяжелые условия наблюдаются в период штилей. В июне их повторяемость составляет 10 %, а в июле и августе она увеличивается до 20 % (см. табл. 56 и 57 приложения).

9. МЕЗО- И МИКРОКЛИМАТИЧЕСКИЕ ОСОБЕННОСТИ ГОРОДА

Одним из факторов, определяющих микроклимат города, является распределение температуры воздуха в приземном слое. Причем чтобы судить об условиях комфорта, недостаточно иметь данные о распределении средней температуры, необходимы данные о температуре в отдельные моменты времени.

Синхронные инструментальные измерения температуры воздуха и почвы на территории большого города требуют огромных усилий. Поэтому мы получили поле распределения температур путем измерения рассеянной радиационной температуры подсти-

лающей поверхности.

На рис. 49 представлены карты полей радиационной температуры (с учетом нагрева прямыми солнечными лучами) зимней подстилающей поверхности Алма-Аты, выполненные по данным зондирования самолета-зондировщика Ил-18 Главной геофизической обсерватории им. А. И. Воейкова в предвечерние (16—18)

и утренние (7-9) часы 12-13 декабря 1975 г.

В городе в предвечернее время наблюдаются три четко выраженных очага тепла (рис. 49 а). Наиболее интенсивный из них располагается в центре города, с максимальным повышением радиационной температуры подстилающей поверхности до —2 °C. Второй очаг с температурой —4 °C охватывает промышленный район территории города. В западной части города (микрорайоны) отмечается наиболее слабый очаг тепла с температурой —6 °C, в то время как за пределами города прослеживаются участки с радиационной температурой —10 °C. Вдоль пойм рек Малой и Большой Алматинок на территории города наблюдается

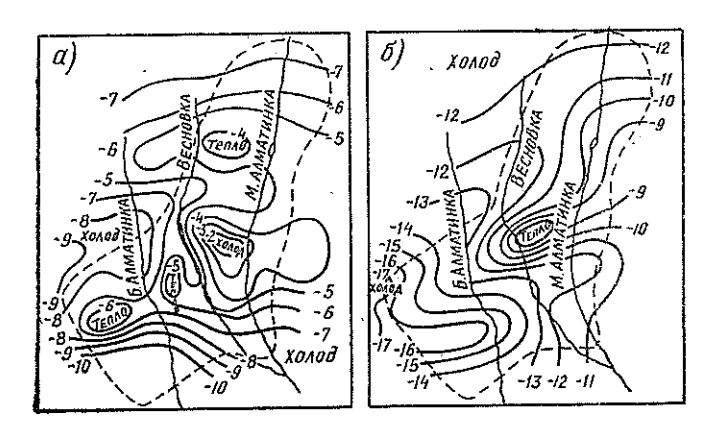


Рис. 49. Қарты полей радиационной температуры зимней подстилающей поверхности Алма-Аты в предвечерние и утрениие часы 12—13 декабря 1975 г.

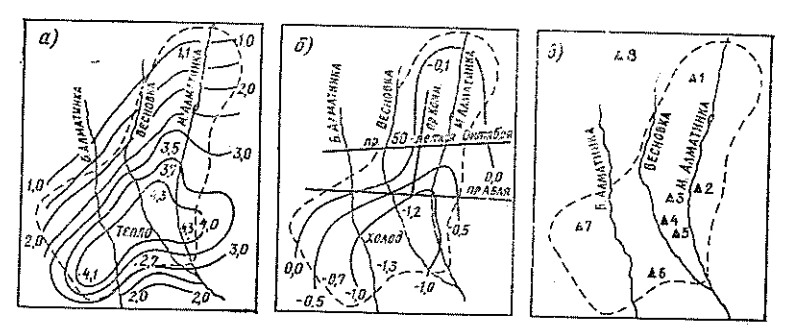


Рис. 50. Разности средней дневной температуры воздуха городпригород при ясном небе в январе (a) и пюле (b) и пункты наблюдений (a).

некоторое понижение радиационной температуры подстилающей поверхности, обусловленное стоком холодного воздуха с гор. Наиболее значительное радиационное выхолаживание наблюдается на некоторых пониженных участках в северо-западной и западной частях города. Температурные различия внутри города обусловливают порядок включения отопительной системы и длительность отопительного сезона.

В утреннее время характер поля радиационных температур подстилающей поверхности несколько меняется. Прослеживается понижение температуры над всей территорией города, но контрасты ее с максимальным перепадом до 10 °C в центре (по сравнению с окраинами) сохраняются (рис. 49 б).

Особенно важное значение в повседневной деятельности человека представляет распределение температуры в отдельные периоды суток. С целью изучения различий в ходе метеовеличин между городом и равнинной частью пригорода были организованы эпизодические наблюдения в светлое время суток в январе, апреле, июле и октябре в 1976—1978 гг. Оценка температурного режима город — пригород выполнена по средним значениям из всех наблюдений.

Термические особенности города по-разному проявляются при различных погодных условиях. Наиболее резко температурные различия прослеживаются в ясные дни.

На рис. 50 приведены разности средней дневной температуры воздуха между городом и пригородом в январе и июле. Из рис. 50 α видно, что зимой в черте города значительно теплее, чем в пригороде, различия составляют в среднем 3—4 °C.

Воздух, смещающийся от подножия горного хребта в сторону равнинной части города, вследствие опускания с незначительной высоты не испытывает эффекта адиабатического сжатия. Более того, холодный горный воздух, довольно быстро перемещаясь по долинам рек, из-за малого уклона и шероховатости подстилающей поверхности приходит с прежней температурой и застаивается на равнинной части города. Затем вследствие радиацион-

ного выхолаживания ночью температура воздуха здесь существенно понижается. В зимнюю безоблачную ночь из-за длительности и интенсивности выхолаживания температура воздуха над северной частью города понижается значительно. А на южную и частично центральную части города приходит воздух, шийся с более высоких уровней и медленно двигавшийся по поверхности горного склона. Поэтому эти части города заполняет воздух, нагретый вследствие адиабатического сжатия. Таким образом, создаются значительные контрасты температуры воздуха между северной и южной частями города. Повышение же температуры в центре города по сравнению с окраинами объясняется энергонасыщенностью центра.

Летом перед восходом солнца наблюдается значительное выхолаживание в пригороде, разности с центром города достигают 3,6 °C (табл. 91). В течение дня они постепенно уменьшаются и становятся отрицательными (рис. 50 а). Максимальные отрицательные различия в ясную погоду составляют 1—2 °C. Образотакого «оазиса», располагающегося южнее ул. Комсомольской (рис. 50 б), объясияется бурным испарением с богатой растительности и фонтанов города, особенно в ясную

погоду.

Многие организации города интересуют средние суточные значения метеорологических величин и их изменение по территории. С этой целью были организованы повторные микроклиматические съемки. При этом были выбраны следующие пункты наблюдения: пикет 2 находился в одноэтажной застройке с поливным приусадебным участком и плотным озеленением вокруг пикет 8 — в четырехэтажной застройке со слабым озеленением; пикет 9 — в разреженной смешаной одно-двухэтажной застройке с отсутствием древесного озеленения; пикет 10 — в ботаническом саду АН КазССР. По центру города размещались пикеты 1, 3, 4; пикет 1 — в периметральной замкнутой четырехэтажной застройке с плотным озеленением по центру фрагмента; пикет 3 — в строчно-периметральной застройке с замкнутым торцевым углом и умеренным древесным озеленением; пикет 4 — в строчио-периметральной четырехэтажной застройке, с угловыми торцевыми разрывами, равными высоте здания, с отсутствием древесного озеленения.

Анализ материалов круглосуточной регистрации температуры воздуха по территории города за период самой жаркой и холодной пятидневок показал, что в центральной части (рис. 51 в, II) температура выше, чем в южной (III) и северной (I) частях города. «Остров тепла» хорошо прослеживается в распределении также средних минимальных и минимальных температур (табл. 92 и 93).

То, что по распределению средних суточных температур «остров тепла» проявляет себя и летом, объясняется преобладаннем оранжерейного эффекта ночью над выхолаживанием воздуха за

счет испарения днем.

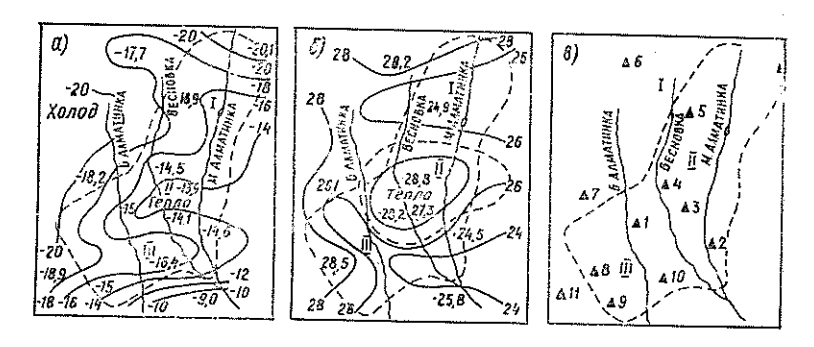


Рис. 51. Распределение средней суточной температуры воздуха в самую холодную в январе (а) и в самую жаркую в июле (б) пятидневки и пункты наблюдений (в).

Из табл. 92 также вытекает, что амплитуда суточных колебаний температуры в центре города меньше, чем на окраинах. Это связано с расположением центра на стыке двух наклонных плоскостей и малой подверженностью его действию горно-долинной циркуляции, с застройкой его многоэтажными зданиями.

Контрасты температуры воздуха зависят от погодных усло-

вий, в частности от облачности и скорости ветра.

Обычно контраст температуры воздуха порядка 7—8 °C (в частности, на побережье озер или морей) вызывает заметное горизонтальное перемещение воздуха — бризы. В Алма-Ате же иногда контраст температуры воздуха в отдельные моменты времени превышает 10—20°C. Так, например, 13 января 1956 г. разница температуры воздуха по данным станций Алма-Ата, ГМО и Алма-Ата, аэропорт составила 21 °C. Между тем заметного движения воздуха не наблюдалось. Отсутствие ветра связано с орографией местности: холодный воздух располагается на севере, над равнинной частью, а теплый — на юге, над относительно высокой частью города. Кроме того, затуханию горизонтальных движений воздуха способствует инверсионное распределение температуры в нижнем 500-900-метровом слое.

Вообще в формировании температурных контрастов в Алма-Ате ведущая роль принадлежит рельефу местности, в то время как антропогенные факторы обусловливают контрасты темпера-

тур всего в 1—2 °C.

Для количественной оценки степени влияния факторов, способствующих как повышению, так и понижению температуры в городе, были выполнены расчеты радиационных температур поверхностей стен, экспериментальные обследования на площадях, улицах, перекрестках, в озелененных кварталах города, которые сводились к измерению температуры и влажности воздуха, определению направления и скорости ветра на высоте 1,5 м с помощью аспирационных психрометров МВ-4 и анемометров МС-13.

Расчет раднационной температуры поверхности стен (табл. 94) произведен с применением фактических режимных данных по

Tаблица 91 Дневной ход разностей температуры воздуха (°C) город—пригород при ясной погоде в июле

			Пункты												
Время, ч	1	2	3	4	5	6	7								
7 22 10 22 13 22 15 00 16 22 19 22	1,4 -0,8 0,0 -0,2 -0,3 0,0	3,0 -0,6 -0,3 -0,6 -0,5 -0,3	1,8 -1,2 -1,4 -1,8 -1,8 -0,9	1,7 -1,2 -1,5 -1,4 -1,8 -2,0	2,0 -1,3 -1,5 -1,6 -1,7 -0,4	1,5 -1,1 -1,6 -1,6 -1,9 -0,9	3,6 -0,8 -1,0 -1,3 -1,6 0,8								

Tаблица 92 Распределение температуры воздуха (°C) по территории Алма-Аты за период самой жаркой пятидневки с 29 июля по 2 августа 1973 г.

<u> </u>				Температ	ура воздух	a		
Пункт наблюдений	Высота над уровнем моря, м	средняя суточная	средняя мальная	средняя мини- мальная	средняя амплиту- да	макси» мальная	мини- мальная	
	Горна	ая окрест	ность Ал	іма-Аты	(III)			
Алма-Ата, агро	1317	25,8	30,4	21,6	8,8	35,2	18,0	
		Южная	часть	города				
Пикет 2 Пикет 9 Среднее по зоне	900 931 916	$ \begin{array}{ c c c } 24,7 \\ 26,9 \\ 25,8 \end{array} $	$ \begin{vmatrix} 34,2 \\ 34,0 \\ 34,1 \end{vmatrix} $	16,7 19,9 18,3	17,5 14,2 15,8	38,2 37,1 37,6	14,0 17,1 15,5	
	Цe	нтральна	я часть	города (<i>II</i>)			
- Алма-Ата, ГМО Пикет 8 Пикет 1 Пикет 3 Пикет 4 Среднее по зоне	847 876 811 779 783 819	27,7 28,6 28,2 28,4 28,8 28,4	35,4 35,9 35,4 36,9 36,1 35,9	19,6 22,7 21,7 22,1 21,5 21,5	15,8 13,2 13,7 14,7 14,6 14,4	40,3 39,7 39,3 39,8 41,4 40,1	18,2 20,6 19,7 19,0 18,6 19,2	
		Северная	часть го	орода (I)				
Пикет 5 Пикет 7 Пикет 6 Алма-Ата, аэро- порт Среднее по зоне	697 743 701 679 705	24,9 26,1 28,2 25,6 26,2	34,7 35,6 36,9 34,8 35,5	15,9 16,8 19,8 16,4 17,2	18,8 18,7 17,0 18,4 18,2	39,4 39,4 41,5 39,4 39,9	12,4 13,6 17,3 12,6 13,9	

Таблица 93 Распределение температуры воздуха (°С) по территории Алма-Аты за период самой холодной пятидневки с 28 января по 2 февраля 1977 г.

	Высота			Температ	ура воздух	a	
Пункт наблюдений	над уровнем моря, м	средняя суточная	средняя макси- мальная	средняя мини- мальная	средняя ампли- туда	макси- мальная	мник- мальная
	Горн.	ая окрест	ность Ал	ма-Аты	(111)	<u> </u>	<u> </u>
Алма-Ата, агро	1317	9,0	-5,2	11,8	6,6	-3,3	-12,3
		Южная	часть го	рода			
Пикет 2 Пикет 10 (сад) Пикет 9 Среднее по зоне	900 875 931 902	$\begin{vmatrix} -14,6 \\ -16,4 \\ -14,5 \\ -15,2 \end{vmatrix}$	$ \begin{array}{c} -7,4 \\ -7,7 \\ -7,2 \\ -7,4 \end{array} $	$\begin{array}{c} -19,4 \\ -21,7 \\ -19,2 \\ -20,1 \end{array}$	12,0 14,0 12,0 12,7	$ \begin{array}{r} -3,5 \\ -4,6 \\ -5,7 \\ -1,6 \end{array} $	-21,1 -23,3 -20,5 -21,6
	Цег	тральная	часть г	орода <i>(1</i> .	<i>I</i>)		
Алма-Ата, ГМО Пикет 3 Пикет 4 Пикет 1 Среднее по зоне	847 779 783	$ \begin{array}{r} -14,9 \\ -13,9 \\ -14,8 \\ -15,5 \\ -14,6 \end{array} $	$ \begin{array}{c c} -7,4 \\ -9,6 \\ -10,1 \\ -9,7 \end{array} $	-18,5 -17,3 -18,3 -19,5		-4,8 -7,8 -8,2 -8,0 -7,2	-20,1 $-19,9$ $-20,5$ $-21,5$ $-20,5$
	(Северная	часть гор	ода (/)			
Пикет 5 Пикет 6 Пикет 7 Алма-Ата, аэропорт Пикет 11 Среднее по зоне	697 701 743 679 807 725	-16,9 -17,7 -18,2 -20,1 -18,9 -18,4	$ \begin{array}{c c} -10,9 \\ -12,0 \\ -12,9 \end{array} $ $ -13,8 \\ -11,0 $	$ \begin{array}{c c} -21,3 \\ -21,8 \\ -22,6 \end{array} $ $ -25,7 \\ -24,4 $		$ \begin{array}{c c} -9.5 \\ -10.1 \\ -9.0 \end{array} $ $ -12.8 \\ -8.6 \\ -10.0 $	-27,6 -27,8

Таблица 94
Распределение радиационной температуры (°C) стен зданий различной ориентации по срокам наблюдений для Алма-Аты

Время,		0	рнеп	гация	степ	здан	1št		<u> </u>	Орнентация степ зданий							
ч мин	С	СВ	В	ЮВ	Ю	ЮЗ	3	СЗ	Время, ч мин	c	СВ	В	ЮВ	10	103	3	СЗ
			Ян	варь							<u>'</u>	И	ar.o	l .	<u> </u>		<u> </u>
9 30 12 30 15 30	3 5 2	3 5 2	8 6 2	11 13 2	10 15 2	11 5	3 5 6	3 5 5	6 30 9 30 12 30 15 30 18 30	6 5 4 0	11 8 5 4 0	10 15 8 4 0	16 13 4 0	2 9 14 9 0	2 5 10 14	2 5 5 13	2 5 7
			Anp	ель					,	٠ ١		' '	гябрь	1	2	2	2
6 30 9 30 12 30 15 30	4 5 3	7 6 5 3	6 12 7 3	8 13 12 3	9 12 6	1 4 9 9	1 4 5 10	1 5 6	6 30 9 30 12 30 15 30	3 4 5 3	7 5 5 3	7 14 7 3	4 17 14 3	1 12 16 6	1 4 11 13	1 4 5 13	1 4 5 8

срокам наблюдений ст. Алма-Ата, ГМО. Использовались формулы А. М. Шкловера [61] с учетом того, что для условий Алма-Аты коэффициент теплоперехода у поверхности ограждения $a_{\rm H}\!=\!83,8~{\rm MДж/(M^2\cdot ^{\circ}C)}$, а коэффициент поглощения солнечной радиации наружной поверхностью ограждения $P\!=\!0,6$.

При воздействии на огражденную конструкцию солнечной радиации температура поверхности инсолируемой стены в дневное время в течение всего года повышается на 13—17 °C по сравне-

нию с окружающим воздухом.

Нагрев поверхности стен и подстилающей поверхности, естественно, повышает температуру окружающего воздуха. Это подтверждается материалами летних экспериментальных наблюдений, полученными в июле и августе 1973 г. и осредненными за 3—5 дней по периодам ясной и полуясной погоды (табл. 95).

Южная стена четырехэтажного здания, расположенного в группе домов, нагревает слои воздуха на расстоянии 1,5 м в среднем на 1,7 °С выше по сравнению с температурой, измеренной в 1,5 м от северной стены параллельно стоящего здания. С момента попадания лучей на северную сторону (около 15 ч 30 мин) воздух у стены начинает быстро прогреваться и через 1,0—1,5 ч температуры выравниваются. Влияние южной стены хорошо прослеживается до расстояния 20 м.

Скорость ветра в разрыве между длиниыми сторонами зданий в рассматриваемом случае достигает максимальных значений в середине прохода, минимальных — у южной стены, значительное ослабление скоростей ветра у южной стены следует от-

нести за счет увеличения турбулентного обмена.

Повышению температуры воздуха способствует и асфальтированное покрытие дороги. Максимум температуры воздуха на площади Ленина (центральная часть Алма-Аты) в 14 ч был выше на 2,1 °C, чем в соседнем сквере (табл. 95), а относительная влажность воздуха ниже на 14 %.

Перепад температур площадь — сквер способствует развитию конвективного обмена и увеличению скоростей ветра на площади, по сравнению со скоростью ветра на ст. Алма-Ата, ГМО

на 70 % и по сравнению со сквером — в 4 раза.

Как видно из табл. 96, в холодный период года центральная и северная части города имеют почти одинаковую относительную влажность. Только южная часть города отличается меньшей относительной влажностью. Дневная амплитуда относительной

влажности в январе равна 10-20 1%.

Своеобразен ход относительной влажности летом в городе. Максимальных значений относительная влажность воздуха достигает в центре города в 7 ч, минимальных — в 16 ч. В 20—21 ч наблюдается ее относительно резкое повышение, затем небольшой спад к 2 часам ночи, что является результатом влияния горного ветра [22]. На окраинах города в одноэтажных и смешанных постройках экстремумы наступают на час раньше.

В самую жаркую пятидневку относительная влажность воз-

Таблица 95

Распределение температуры воздуха t, относительной влажности r, скорости ветра v, эквивалентной (ЭТ) и эквивалентно-эффективной (ЭЭТ) температур по разрезу площадь — газон — сквер и на метеоплощадке ГМО

Время,	t °C	r %	v M/c	эт °С	ээт °С	Время, ч	t °C	т %	v M/c	эт °С	ээт ∘с
		поп	цадь					Скі	вер		
13 14 15	$\begin{bmatrix} 27,1\\28,2\\28,7 \end{bmatrix}$	31 26 25	2,0 2,1 1,9	30,6 31,5 31,9	$\begin{vmatrix} 29,1\\ 30,2\\ 30,7 \end{vmatrix}$	13 14 15	$\begin{vmatrix} 25,5\\ 26,1\\ 26,5 \end{vmatrix}$	42 37 33	$ \begin{array}{ c c} 0,6 \\ 0,6 \\ 0,3 \end{array} $	28,8 29,6 30,1	28,3 29,1 29,8
		Газ	30Н				Мет	еоплои	цадка І	`MO	
13 14 15	27,1 27,3 27,9	37 33 32	1,3 1,1 1,2	30,3 30,6 31,1	29,3 29,8 30,3	13 14 15	$\begin{bmatrix} 25,6 \\ 26,6 \\ 27,7 \end{bmatrix}$	42 38 37	1,0 1,4 1,7	28,9 29,9 30,7	$\begin{bmatrix} 28,1\\ 28,8\\ 29,5 \end{bmatrix}$

Таблица 96 Распределение относительной влажности воздуха (%) по территории Алма-Аты за период самой холодной пятидневки с 28 января по 2 февраля 1977 г.

	Высота	отпосительная влажность											
Пункт наблюдения	над уровнем моря, м	средняя суточная	средияя макси- мальная	средняя минима- льная	я средняя амили-туда макс малы туда малы туда малы туда (малы туда) (малы туд		-вишини- квиак						
Горная окрестность Алма-Аты													
Алма-Ата, агро	1317	47	63	32	31	86	1 19						
	I	ожная ча	ість горо	да (<i>III</i>)									
Пикет 2 Пикет 10 Пикет 9 Среднее по зоне	900 875 931 902	83 72 77 77	93 82 91 88	59 50 46 51	32 45	94 83 96 91	35 38 26 33						
Среднее по зоне 902 77 88 51 37 91 33 Центральная часть города (//)													
Пикет 1 Пикет 4 Пикет 3 Алма-Ата, ГМО Среднее по зоне	805 783 779 847 803	89 76 84 79 82	98 84 91 87 90	72 63 72 51 64	26 21 19 36 25	100 89 96 91	63 52 63 39 54						
Speamed no bone		еверная	часть гор										
Пикет 11 Пикет 7 Пикет 6 Пикет 5 Алма-Ата,	807 7-13 701 697	78 81 91 83	83 89 97 93	60 64 77 66	23 25 20 27	96 92 100 97	49 50 69 57						
аэропорт Среднее по зоне	679 725	84 83	89 90	67 66	22 23	94 95	46 54						

духа изменяется по территории города в значительных пределах (табл. 97). В среднем самая высокая относительная влажность (58 %) наблюдается в одноэтажной застройке с плотным озеленением и поливом, наименьшая (26 %) — в строчно-периметральной застройке с отсутствием озеленения.

Таблица 97
Распределение относительной влажности воздуха (%) по территории
Алма-Аты за период самой жаркой пятидневки с 29 июля по 2 августа 1973 г.

	Высота	[O	тносительїї	ая влажно	сть							
Пункт наблюдений	над уровнем моря, м	средняя суточная	средняя макси- мальная	средияя мини- мальная	средняя ампли- туда	макси- мальная	минима- льная						
	Го	рная окр	естность	Алма-Аті	5 I								
Алма-Ата, агро	1317	26	36	1 18	18	48	8						
-	I	Ожная ч	асть горо	да (ІІІ)									
Пикет 2 Пикет 9	900 931	43 31	66 51	19 16	46 35	71 65	12 9						
Среднее по зоне	916	37	58	17 .	40	68	10						
Центральная часть города (II)													
Алма-Ата, ГМО Пикет 8 Пикет 1 Пикет 3 Пикет 4	847 876 811 779 783	34 26 27 36 30	47 39 41 39 41	22 12 14 12 17	25 27 27 27 27 24	55 49 49 54 49	13 5 8 4 10						
Среднее по зоне	819	30	41	15	26	51	8						
	,	Северная	часть го	рода <i>(I)</i>									
Пикет 5 Пикет 7 Пикет 6	697 743 701	58 51 34	88 94 58	21 19 14	67 75 44	93 100 69	16 16 6						
Алма-Ата, аэропорт Средиее по зоне	679 705	45 47	71 78	22 19	48 58	81 86	20 14						

Роза ветров (см. разд. 3.3), построенная по данным ст. Алма-Ата, ГМО, отражает основной перенос воздушных масс в направлении север—юг (горно-долинную циркуляцию). Застройка метеоплощадки с юга несколько снизила повторяемость ветров южного направления.

Учитывая высокую эффективность зеленых насаждений, З. Н. Чеботарева [56] рекомендует для условий Средней Азии нормировать не свободную от застройки и покрытий площадь, а массу зелени с интенсивным поливом. К аналогичному мнению пришли и Ю. Л. Раунер и М. М. Чернавская [47] на основании изучения радиационного и теплового баланса города.

Изменения температуры и влажности у различных видов фон-

танов приведены в табл. 58-61 приложения.

10. ВОЗДУШНЫЙ БАССЕЙН ГОРОДА

10.1. Загрязнение воздушного бассейна города

Загрязнение воздуха — это изменение состава атмосферы из-за наличия в ней примесей, т. е. рассеянных в атмосфере твердых и жидких частичек, а также и газов, не содержащихся в ее постоянном составе.

Загрязнение воздушного бассейна Алма-Аты определяется не только количеством поступающих в атмосферу вредных выбросов, но и неблагоприятными климатическими условнями, приводящими нередко к накоплению примесей. Алма-Ата не является крупным промышленным городом, но по некоторым показателям концентрация вредных примесей превышает таковую в г. Горьком [13, 16].

Материалы наблюдений за содержанием вредных примесей, полученные во время экспедиционных исследований, позволили составить четкое представление об особенностях территориального распределения плотности составляющих атмосферного загрязнения и связать их с особенностями метеорологических условий. Эти исследования показали также, что определяющее значение в загрязнении воздушного бассейна имеют выбросы двигателей автотранспорта. Кроме автотранспорта, источниками загрязнения воздуха города являются предприятия тяжелой, легкой и пищевой промышленности, крупные комбинаты: домостроительный, текстильный, плодоконсервный, предприятия бытовой химии, стройматерналов, промышленные и бытовые котельные. Однако количество выбросов, поступающих в атмосферу от автотранспорта, на порядок превышает количество выбросов от всех других источников загрязнения.

Основными метеорологическими факторами, влияющими па формирование поля загрязнения и вызывающими его изменчивость, являются ветер и температурная стратификация приземного слоя, обусловленные орографическими особенностями города.

В зимний период над территорией города образуются мощные и продолжительные инверсии температур, которые в северной части города довольно значительны.

В слое инверсии реализуется задерживающий эффект, что является причиной большого загрязнения по типу задымления.

В целом для всей территории города при значительной повторяемости безветренной погоды и интенсивного выхолаживания создаются условия для развития процессов аккумуляции вредных продуктов. Поэтому зимний период, с точки зрения гигиены атмосферного воздуха, является самым неблагоприятным. Опасность подобных ситуаций усиливается из-за крайней инертности зимних атмосферных процессов.

Согласно данным проведенных обследований, зимний период, в который наблюдается оживление городского коммунального хозяйства, характеризуется существенной стабилизацией повышен-

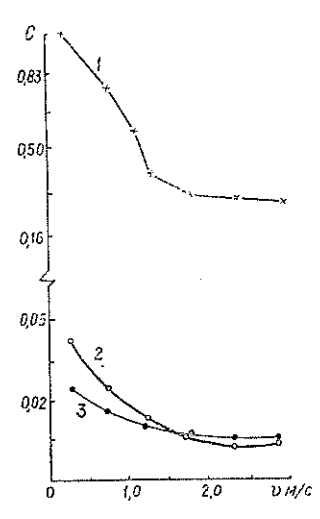


Рис. 52. Зависимость концентраций загрязнения атмосферы от скорости ветра. 1— окись углерода, 2— двуоки заота, 3— сажа.

ного уровня загрязнения воздуха. Области повышенного загрязнения воздуха по территории города совпадают с распространением зоны наиболее выраженных штилевых условий.

Кроме того, аккумуляция вредных примесей в атмосфере при достаточной интенсивности солнечной радиации приводит к фотохимическим реакциям, которые обусловливают формирование различных вторичных продуктов. Эти продукты часто обладают более токсичными свойствами, чем вещества, поступающие от источников выбросов.

Летом инверсии наблюдаются редко и не имеют значительных мощностей,

скорость ветра увеличивается.

На рис. 52 приведены нормированные зависимости концентраций загрязнений атмосферы углекислым газом, окисью азота и сажей от скорости ветра за первод 1967—1970 гг. [23]

риод 1967—1970 гг. [23].

Анализ приведенных данных показал, что при скорости ветра 0—1,8 м/с прослеживается четкое снижение концентрации примесей в городе, при скорости ветра более 1,8 м/с концентрация не зависит от скорости. То обстоятельство, что при скорости ветра 2 м/с и более концентрация стабилизируется, указывает на появление при этих скоростях других факторов самоочищения, таких, как турбулентность атмосферы, конвекция, сдвиг ветра по высоте и др. [23].

Ежедневно долинный ветер северных румбов уносит загрязненный городской воздух в сторону гор, вследствие чего горы быстро обволакиваются дымкой. Видимость в течение дня остается пониженной. К вечеру аэрозоль и газы в результате конвекции уносятся высоко по склонам гор. Ночью в сторону города дует

чистый горный ветер.

В [23] подробно рассматривается ветровое самоочищение атмосферы воздуха, связанное со скоростью ветра при различных направлениях и горизонтальными размерами воздушного бассейна. Наиболее быстро атмосфера самоочищается летом, ночью всего за 1,4 ч, днем это время возрастает до 8,7 ч. Однако в летнее время днем вступает в действие другой фактор — конвекция, которая весьма активно способствует очищению атмосферы. В среднем за год атмосфера самоочищается ночью за 2,4 ч, днем за 5,8 ч. По обобщенной характеристике в среднем за сутки и за год время самоочищения равно 5,8 ч. Для центральной части города оно должно быть еще больше, факторы ветрового самоочищения воздуха города в целом оказываются недостаточными для поддержания приемлемого гигиенического состояния воздуха в Алма-Ате.

Сильные ветры и осадки с приближением к горам трансформируются: ветры ослабевают, а количество осадков увеличивается. Ливни конвективного происхождения также чаще наблюдаются в предгорьях. А как известно, осадки приводят к значительному очищению атмосферы, при этом большую роль играет интенсивность осадков.

Таким образом, южная часть города, расположения на склонах гор, находится в более выгодном положении по сравнению с центральной и северной частями.

Для оценки годового хода концентрации примесей использовались ежедневные показатели загрязнения воздуха, вычисленные по формуле

$$P = \frac{m}{n}$$
,

где m— средняя суточная концентрация вредной примеси за день по городу; n— средняя концентрация за сезон. Для анализа использовались данные наблюдений за концентрацией вредных примесей на стационарных пунктах за 1977—1979 гг.

В дальнейшем показатель P, согласно [19], был разделен на три группы: $P \geqslant 1,3$ (повышенное); $1,2 \geqslant P \geqslant 0,8$ (среднее); $P \leqslant 0,7$ (пониженное). Из них показатели $1,2 \geqslant P \geqslant 0,8$ близки к среднему значению данного ингредиента и характерны для города, а остальные две группы дают аномальные значения. В табл. 98 приводятся повторяемости показателей загрязнения воздуха в Алма-Ате. Как видно из таблицы, изменения вредных примесей во времени значительные. В среднем в течение года 30-40 % наблюдений помещены во вторую группу, что указывает на большую изменчивость (отклонение в обе стороны) концентраций вредных примесей.

Таблица 98 Повторяемость (%) показателя загрязнения воздуха. Алма-Ата, 1977—1979 гг.

Груп- па	I	11	111	IV	v	VI	VII	AIII	IX	х	ΧI	XII	Гол
						SC)2		,				
1-я 2-я 3-я	23 40 37	7 38 55	6 36 58	12 41 47	20 44 36	16 50 34	8 58 31	14 53 33	38 44 18	37 33 30	26 32 42	23 34 43	17 42 41
						NC)2						
1-я 2-я 3-я	51 41 8	44 37 19	30 28 42	19 28 53	28 30 42	$\begin{vmatrix} 27 \\ 38 \\ 35 \end{vmatrix}$	18 33 49	18 41 41	33 33 34	7 48 45	11 34 55	24 48 28	$\begin{bmatrix} 26 \\ 35 \\ 39 \end{bmatrix}$
						C()						
1-я 2-я 3-я	27 63 13	17 69 14	10 69 21	14 60 26	10 62 28	13 66 21	79 14	6 80 14	20 71 9	9 67 24	14 63 23	23 62 15	12 71 15

Груп- па	ı	II	111	IV	V	VI	VII	VIII	ΙX	х	χı	XII	Год
1-я 2-я 3-я	15 31 44	14 28 58	13 23 64	20 32 48	18 33 49	Пы, 23 38 39	ль 16 46 38	29 41 30	40 32 28	30 27 43	24 36 40	16 34 50	21 34 46
	1 ((,	Сая			•	•	•	•	•
1-я 2-я 3-я	8 32 30	28 21 41	10 22 68	15 18 77	2 8 90					$\begin{bmatrix} 3\\20\\77 \end{bmatrix}$	22 34 44	39 30 31	20 56 24

Исключением является окись углерода, 70 % наблюдений за которой помещены во вторую группу, т. е. концентрация окиси углерода колеблется в основном около среднего значения.

Однако в годовом ходе отмечаются определенные закономерности. Так, например, зимой повторяемость окиси углерода и двуокиси азота в первой группе больше, чем в третьей. Повторяемость показателя запыленности воздуха первой группы имеет максимум в сентябре. Содержание сажи, конечно, наибольшее в зимние месяцы.

Анализ данных табл. 98 подтверждает полученный ранее вывод о высоком потенциале загрязнения воздуха Алма-Аты в зимний период вследствие образований мощных инверсий температуры и увеличения количества сжигаемого топлива [9, 25]. Выделяется также сентябрь, когда преобладают повторяемости первой и второй групп, обусловленные метеорологическими и синоптическими факторами, способствующими увеличению загрязнения воздуха.

Из обзора атмосферно-физических условий Алма-Аты следует, что зимой и летом в более выгодных санитарно-гигиенических условиях находятся южные склоны гор, где в основном и развернуто строительство новых жилых массивов.

В целях охраны воздушного бассейна в последние годы проведена большая работа: пересмотрен ряд технологических процессов на предприятиях-загрязнителях, внедрены новые газопылеулавливающие установки, твердое и жидкое топливо заменено газом, запрещено движение грузового автотранспорта и мотоциклов в центральной части города, разработаны маршруты транзитных грузопотоков.

Санитарной службой совместно с ГАИ проводится регулярный контроль за токсичностью выхлопных газов автомобилей.

Осуществляется выполнение мероприятий по газификации и теплофикации города, более рациональному проектированию и застройке городской территории с учетом размещения промышленного комплекса, системы естественной вентиляции улиц и максимального использования горно-долинной циркуляции.

10.2. Биоклимат Алма-Аты и его горных окрестностей

Окружающая среда оказывает многообразное влияние на организм человека, и при ее оценке основное внимание уделяется тепловому состоянию, которое определяет собой систему физиологических процессов, ответственных за поддержание теплового равновесия в организме на уровне, близком к оптимальному. Проблема теплового режима человека интересна для представителей различных профессий — архитекторов, строителей, гигиенистов, физиологов, курортологов, врачей, лиц, связанных с организацией различных трудовых процессов, спортивных мероприятий, альпинизма, туризма и т. д.

Для исследования биоклимата Алма-Аты, ее горных окрестностей и оценки теплового состояния человека рассчитаны основные биоклиматические показатели [1] по данным метеостанций за 13 ч, расположенных в различных высотных поясах северного склона Заилийского Алатау. Низкогорный пояс (400—1000 м над ур. м.), где расположен город, характеризуется наблюдениями, выполненными на ст. Алма-Ата, ГМО; среднегорный пояс (до 2000 м над ур. м.), зона отдыха горожан, где расположены санатории и дома отдыха, — данными ст. Медео и Усть-Горельник и высокогорный пояс (выше 2000 м над ур. м.), зона туризма и горных видов спорта, — данными ст. Верхний Горельник.

Для характеристики теплового состояния человека, испытывающего влияние комплекса метеорологических факторов, наиболее приемлемым является метод теплового баланса. Из метеорологических параметров, особенно заметно влияющих на тепловой режим человека, следует отметить температуру воздуха, влажность и скорость ветра, а также коротковолновую и длинноволновую радиацию. Наиболее важными физиологическими факторами являются теплопродукция организма, т. е. тепло, выделяемое в организме в процессе окислительных реакций, а также терморегуляторные функции организма (выделение пота и др.).

Организм человека обычно находится в состоянии теплового равновесия, при котором суммарное поступление тепла к телу равно общей теплопотере. Это условие можно выразить уравнением теплового баланса человека [1]

$$FR + FP + FLE + LE_{\alpha} + P_{\alpha} + q = 0$$
,

где F — поверхность тела человека, участвующая в процессах теплообмена и испарения; R — радиационный баланс человека; P — теплообмен между телом человека и окружающим воздухом путем конвекции; LE — потери тепла организмом за счет испарения с поверхности кожи; LE_π — потери тепла за счет испарения с поверхности дыхательных путей при дыхании; P_π — теплообмен между поверхностью дыхательных путей и внешним воздухом при дыхании; q — теплопродукция организма.

Биоклиматические показатели Алма-Аты и его горных окрестностей, характеризующие тепловые нагрузки иа организм и суммарные тепловые потери, рассмотрены в зависимости от сезона года. В уравнение теплового баланса человека входит радиационный баланс тела человека (FR), который складывается из коротковолнового ($FR_{\rm K}$) и длинноволнового ($FR_{\rm A}$) баланса, т. е. $FR = FR_{\rm K} + FR_{\rm A}$. Распределение $FR_{\rm K}$ характеризуется незначительными изменениями как при увеличении высоты над уровнем моря (от $1104,6\cdot10^3$ Дж/ч в среднем за год в Алма-Ате до $1293,6\times10^3$ Дж/ч в высокогорном поясе), так и при внутригодовом распределении. В Алма-Ате максимум приходится на июль ($1260,0\cdot10^3$ Дж/ч), а минимум — на ноябрь ($844,2\cdot10^3$ Дж/ч). В высокогорном поясе максимальные значения $FP_{\rm K}$ наблюдаются зимой (в феврале $1667,4\cdot10^3$ Дж/ч), а минимальные — летом (в июне $995,4\cdot10^3$ Дж/ч).

Длинноволновый баланс тела человека во всех высотных поясах в течение всего года отрицателен, кроме июня и августа в Алма-Ате (37,8 \cdot 10 3 — 29,4 \cdot 10 3 Дж/ч). Положительные значения $FR_{\rm д}$, отмечаемые летом в низкогорье, указывают на то, что лишь в это время года и в этом поясе происходит поступление тепла к телу за счет обмена потоками теплового излучения с окружа-

ющей средой.

По мере увеличения высоты над уровнем моря средние годовые значения $FR_{\rm d}$ изменяются от —550,2·10³ Дж/ч в Алма-Ате до —785,4·10³ Дж/ч в Усть-Горельнике. Наибольшие потери тепла телом человека приходятся на зимние месяцы (от —991,2·10³ до —1155,0·10³ Дж/ч) с максимумом в январе — феврале (—1146,6 \times \times 10³...—1155,0·10³ Дж/ч). Следует отметить, что в этот период года различия в средних месячных значениях $FR_{\rm d}$ по высотным поясам сглажены (от —1033,2·10³ Дж/ч в низкогорье до —1104,6·10³ Дж/ч в высокогорье). В теплый период эти различия более заметны: от положительных значений в Алма-Ате (37,8 \times 10³ Дж/ч) до отрицательных (—655,2·10³ Дж/ч) на высоте ст. Верхний Горельник.

Радиационный баланс тела человека (FR) характеризует то количество тепла, которое получает (или теряет) организм человека за счет лучистого теплообмена с внешней средой. Радиационный баланс тела человека в течение большей части года положителен как в г. Алма-Ате, так и в его окрестностях (табл. 99). Отрицательные значения наблюдаются в Алма-Ате в ноябре, де-

кабре и январе.

Наиболее высокие значения FR летом отмечаются в низкогорном поясе Заилийского Алатау (до $1293,6\cdot 10^3$ Дж/ч), а в среднегорном и высокогорном поясах значения радиационного баланса тела человека оказываются более низкими, что объясняется увеличением облачности и понижением температуры воздуха и почвы

Теплообмен между телом человека и воздухом $(F\check{P})$ в течение всего года во всех высотных поясах Заилийского Алатау имеет отрицательные значения. так как средняя температура воздухи

Таблица 99
Радиационный баланс тела человека FR (103 Дж/ч) в 13 ч в предгорных и горных районах Заилийского Алатау

Месяц	Алма -Ата, ГМО	Медео	Усть-Горельник	Верхинії Горельник
I III IV V VI VIII IX X XI XII	-113,4 92,4 218,4 520,8 987,0 1092,0 1293,6 1270,8 1016,4 558,6 -72,4 -222,6	499,8 533,4 504,0 596,4 558,6 760,2 919,8 949,2 791,6 336,0 340,2 352,8	-4,2 474,6 574,4 453,6 491,4 730,8 726,6 726,6 519,2 193,2 268,8 386,4	491,4 412,4 491,4 474,6 340,2 756,0 600,6 176,4 268,8 449,4

в 13 ч ниже температуры поверхности тела (33 °C). В Алма-Ате в июне и сентябре, а в Медео лишь в июне потери тепла компенсируются радиационным притоком тепла. В горных поясах, расположенных выше, преобладают потери тепла даже в летние месяцы $(-777,0\cdot10^3-890,4\cdot10^3\ \mbox{Дж/ч})$. В низкогорые только в июле и августе потери тепла, равные соответственно $-50,4\cdot10^3\ \mbox{и}$ $-331,8\cdot10^3\ \mbox{Дж/ч}$, существенно перекрываются поступлением тепла к телу путем радиационного теплообмена.

Анализ карт «Биоклиматического атласа Средней Азии» [17] по распределению показателей тепловой нагрузки на организм показал, что потери тепла за счет испарения пота (FLE) в холодный период года (с октября по май в Алма-Ате и с сентября по нюнь в горах) имеют положительные значения, которые соответствуют режиму охлаждения организма. Летом значения FLE в 13 ч отрицательны, что говорит об избытке тепла, поступающего к организму. Однако в течение всего сезона в среднегорном и высокогорном поясах значения FLE заключены в пределах, соответствующих оптимальному термическому режиму организма (от $-210.0 \cdot 10^3$ до $-840.0 \cdot 10^3$ Дж/ч). В Алма-Ате в мае, июне и сентябре отмечается или оптимальный или умеренный режимы, и лишь в июле и августе значения FLE в околополуденное время выходят за верхнюю границу комфорта ($-1348.2 \cdot 10^3$ и -1239.0×10^3 Дж/ч, табл. 100).

Другой объективной количественной характеристикой тепловой нагрузки на организм может служить количество испарившегося пота за единицу времени (FE), приведенное в табл. 100. При состоянии теплового комфорта FE не превышает 150 г/ч. По мере возрастания тепловой нагрузки избыток тепла ощущается все сильнее. При значениях FE около 350—400 г/ч дискомфорт уже ощущается, но трудно переносимые условия наступают при значении FE, превышающем 800 г/ч (табл. 101). В Алма-Ате такие условия возникают редко — в среднем 2 дия в нюле.

Таблица 100
Потери влаги путем испарения пота FE (г/ч), потери тепла за счет испарения пота FLE (10^3 Дж/ч) и фактор относительной теплоотдачи (влагопотери) испарением пота M (%) в 13 ч

Показатель	I	II	111	IA	v	VI	VII	VIII	Хī	Х	ΧI	XII
			,		Ал	ма-Ата, Г	MO				,	
FE	736	— 652	442	—57	235	378	553	508	283	—57	— 566	76 7
FLE	1793,4	1587,6	1075,2	138,6	-575,4	919,8	-1348,2	1239,0	688,8	138,6	1377,6	1869,0
М	53	47	33	— 5	21	36	553 —1348,2 · 51	45	24	- -4	—4 3	— 56
	,		•	•	!	Медео	. '			ı	'- '	'
FE	432	-362	-316	160	58	130	243	252	75	—284	-375	—465
FLE	1050,0	882,0	768,6	390,6	138,6	315,0	-592,2	613,2	180,6	642,6	915,6	1129,8
M	30	25	-25	—12	6	11	243 —592,2 21	21	6	—20	—27	—3 2
	•	ı		'		' сть-Горель		'		ı	1	•
FE	-468	_442	_327	-285	-188	46	87	38	— 9 3	_359	—447	. —475
FLE	1117,2	1075,2	798,0	693,0	331,8	-109,2	87 239,4	-239,4	226,8	873,6	1087,8	1159,2
М	_31	-30	23	21	-11	4	6	8	— 7	—25	-31	-32
						хний Горе.						
FE	463	_414	-373	-368	173	153	31	-	94	-383	—432	
FLE	1129,8	1008,0	907,2	898,8	432,6	373,8	31 495,6 2	_163,8	231,0	932,4	1054,2	1050,0
М	_30	27	25	— 25	13	_12	2	6	7	_26	-23	-28

Таблица 101

Шкала теплового состояния человека, находящегося на открытом воздухе при мышечном покое

			Условия	потери	тепла ор	ганизмом	£			
3	170.00		потеря	тепла п	теплооц	ущения			теп	іальное Ловое Оянне,
Показатель теплового состояния	очень большая,	1	пая, хол	одна	умере умеренно	нная, холодно		іабая, іхладію	теп. Ком	ония, повой форт К
	очень холодио	от		цо	от	до	от	до	от	ДО
FE г/ч FLE 10 ³ Дж/ч М %	900 2188,2 2188		900 3,2 —13	-551 339,8 -	—550 -1335,6 —	201 491,4 	—20 —487 —	00 49 ,2 117,6	50 121,8 5	
]		Усл	оп кнао	ступлени	я тепла	к органи	зму		********
	<u> </u>		T	спловая	нагрузка	и тепло	ощущен	ия		
Показатель теплоного состояния	слабая,	тепло		еная, тепло		шая, рко	очень большая очень жарко		чрезмерная	
	от	до	OŦ	до	07	до	ОТ	до	чрезм ка	рко рко
FE г/ч FLE 10 ³ Дж/ч М %	151 369,6 13	300 730,8 25	735,0	500 1218,0 46	1222,2	7 00 1 70 5,2 64		900 2192,4 8 5	2192	900 2,4 85

Сопоставляя данные по тепловому показателю в разные месяцы года (табл. 100) с условиями потери тепла организмом и теплоощущениями при различных значениях FE и FLE (табл. 101), можно оценить средние значения оптимальных теплозащитных свойств одежды, относящихся к околополуденному времени суток холодного периода. Вид одежды в летние месяцы, когда возможна тепловая нагрузка на систему терморегуляции, определяется по значениям фактора относительной теплоотдачи M.

Отрицательные значения FE свидетельствуют об условиях охлаждения, когда сумма теплопотерь превышает теплопоступления. Для обеспечения состояния теплового комфорта в месяцы с отрицательными значениями FE требуется одежда с определенными теплоизоляционными свойствами. В Алма-Ате зимияя одежда необходима в течение трех месяцев (декабрь — февраль), когда теплоощущения характеризуются как холодные (табл. 102).

В среднегорном и высокогорном поясах в дневные часы теплоощущения умеренно холодные и демисезонной одежды вполие достаточно. Период использования демисезонного пальто в горах значительно дольше, чем в городе и составляет шесть-семь месяцев в году. В теплый период продолжительность пользования костюмом увеличивается по мере возрастания высоты над уровнем моря и в районе Верхнего Горельника такая одежда необходима в течение всего лета.

Таблица 102 Тепловое состояние человека, находящегося на открытом воздухе при мышечном поксе

Алма-Ата, ГМО

Мелео

			_			•		
Теплоощущения	В	ид одежды		Теплоощущения		Вид одежды		
Холодно Холодно Умеренно холодно	Зимня Деми	ня Сезонная	Ун Ун	меренно холодно меренно холодно	Де Де	мисезонная мисезонная мисезонная		
						Состюм		
					Ле	гкая одежда		
					Ле	егкая одежда		
			Te	епло		Легкая одежда		
Тепло	Легка	ія одежда				егкая одежда		
Прохладно	Кости	OM				емисезонная		
Умеренно	Деми	сезонная	N 1	меренно холодно	Д	емисезонная		
холодно Холодно	Зими	яя	У:	1		емисезонная		
У	сть-Горе	льник	1	Верхии	îιΓο	рельник		
Теплоощущ	ения	Вид одежды		Теплоощущения	1	Вид одежды		
Умеренно хо Умеренно хо Прохладно Прохладно Комфорт Прохладно Прохладно Умеренно хо Умеренно хо	Демисезоння Демисезоння Демисезоння Костюм Костюм Костюм Костюм Костюм Костюм Демисезонн Демисезонн	ая ая ая жда жда ая	Умеренно холо; Умеренно холо, Умеренно холо, Прохладно Прохладно Прохладно Прохладно Прохладно Умеренно холо, Умеренно холо	дно дно дно дно дно	Демисезонная Демисезонная Демисезонная Демисезонная Костюм Костюм Костюм Костюм Костюм Демисезонная Демисезонная			
	Холодно Холодно Умеренно холодно Прохладно Тепло Очень тепло Жарко Жарко Тепло Прохладно Умеренно холодно Холодно Умеренно холодно Умеренно холодно Прохладно Прохладно Прохладно Прохладно Прохладно Комфорт Прохладно Прохладно Комфорт Прохладно Кумеренно хо Умеренно хо	Холодно Холодно Зимия Зимия Умеренно холодно Прохладно Холодно Холодно Холодно Холодно Умеренно холодно Умеренно холодно Прохладно Прохладно Комфорт Прохладно Умеренно холодно Умеренно холодно Умеренно холодно Прохладно Прохладно Комфорт Прохладно Умеренно холодно Умеренно холодно Умеренно холодно Прохладно Комфорт Прохладно Комфорт Прохладно Умеренно холодно	Холодно Холодно Зимняя Зимняя Демисезонная Костіом Легкая одежда Костіом Умеренно холодно Умеренно холодно Умеренно холодно Прохладно Прохладно Комфорт Прохладно Комфорт Прохладно Комфорт Прохладно Умеренно холодно Имеренно Имеренно Имеренно Имеренно Имеренно	Холодно Зимняя Зимняя Ум Ум Умеренно Демисезонная Костюм Прохладно Костюм Легкая одежда Легкая одежда Костюм Демисезонная Умеренно холодно Умеренно холодно Прохладно Прохладно Прохладно Прохладно Комфорт Прохладно Прохладно Умеренно холодно Умеренно холодно Умеренно холодно Комфорт Прохладно Прохладно Прохладно Прохладно Прохладно Прохладно Костюм Демисезонная Костюм Демисезонная Костюм Костюм Легкая одежда Костюм Демисезонная Демисезонная Костюм Легкая одежда Костюм Легкая одежда Костюм Легкая одежда Костюм Демисезонная Демисе	Холодно Зимняя Умеренно холодно Умеренно холодно Прохладно Прохладно Прохладно Прохладно Прохладно Прохладно Прохладно Прохладно Костюм Имеренно холодно Холодно Холодно Зимияя Умеренно холодно Умеренно холодно Холодно Тепло Легкая одежда Тепло Тепло Легкая одежда Прохладно Костюм Умеренно холодно Холодно Зимияя Умеренно холодно Умеренно холодно Умеренно холодно Прохладно Прохладно Прохладно Костюм Прохладно Костюм Прохладно Костюм Прохладно Костюм Прохладно Костюм Прохладно Костюм Прохладно Прохладно Прохладно Прохладно Прохладно Прохладно Прохладно Умеренно холодно Умеренно холодно Имеренно холодно Демисезонная Костюм Прохладно Прохладно Прохладно Прохладно Прохладно Умеренно холодно Умеренно холодно Имеренно Хетен Имерен Им	Холодно Зимняя Зимняя Умеренно холодно Демисезонная Умеренно холодно Прохладно Костюм Прохладно Костюм Дегкая одежда Тепло Легкая одежда Комфорт Легкая одежда Тепло Легкая одежда Тепло Легкая одежда Комфорт Легкая одежда Тепло Легкая одежда Комфорт Умеренно холодно Умеренно холодно Умеренно холодно Холодно Зимпяя Умеренно холодно Умеренно холодно Грохладно Прохладно Прохладно Прохладно Костюм Прохладно Прохладно Костюм Прохладно Умеренно холодно Холодно Умеренно холодно		

В городе слабая тепловая нагрузка на организм (FE до $300~\mathrm{r/ч}$) имеет место в дневные часы в мае и сентябре, а в среднегорном поясе — в центральные месяцы лета. Теплоощущения при такой нагрузке характеризуются как «тепло». Более значительных количеств поступления тепла в горах летом не отмечается. В городе в июне наблюдается умеренная, а в июле и августе — большая тепловая нагрузка на организм. В этот период в Алма-Ате в светлую часть суток жарко и достаточно только легкой летней одежды.

В течение всего зимнего периода ночью (1 ч) в городе и его горных окрестностях отмечается очень большая теплоотдача (FEот -1350 до -1209 г/ч). Этим условиям соответствует одежда типа утепленного зимнего пальто. В апреле ночью рассматриваемая территория относится к условиям большой теплоотдачи (III x).

В июле Алма-Ата оказывается в зоне с благоприятными ноч-

ными условиями (II x), а на северных склонах Занлийского Алатау по параметру FE, превышающему —600 г/ч [6], имеет место более прохладные ночи (III x). Это обстоятельство является весьма благоприятным для горожан, так как после большой тепловой нагрузки, господствующей днем, освежающий ночной отдых является более полноценным.

Небезынтересно рассмотреть распределение положительных значений фактора относительной теплоотдачи (влагопотери) испарением пота (M, табл. 100). Этот показатель используется для оценки степени напряжения терморегуляторных механизмов при тепловой нагрузке. В мае и сентябре в городе и в течение всего лета в горах в 13 ч фактор M имеет наибольшие положительные значения (от 2 до 30 %), которые соответствуют благоприятным бноклиматическим условиям (табл. 101). Небольшой избыток тепла в Алма-Ате в июне и августе (M = 30...45 %) не создает еще существенной нагрузки на систему терморегуляции и легко снимается испарением пота. Лишь в июле фактор M в городе в дневные часы достигает 50 %, что соответствует большой тепловой нагрузке (табл. 101). В целом Алма-Ата характеризуется относительно малой повторяемостью высоких значений фактора M.

При гигиенической оценке теплового влияния метеорологических факторов на человека используются эквивалентно-эффективные температуры (ЭЭТ). Теплоощущения обнаженного человека, получающего воздушную ванну в целях закаливания или лечения, оценивается ЭЭТ по основной шкале. ЭЭТ учитывают комплексное влияние температуры, влажности и скорости ветра. В зависимости от внешних факторов воздушные ванны разделяются на холодные (ЭЭТ ниже 8 °С), умеренно холодные (ЭЭТ от 8 до 16 °С), комфортные (ЭЭТ от 17 до 23 °С) и теплые (ЭЭТ выше 24 °С). Оптимальные условия возникают при ЭЭТ, равной 19 °С.

Анализ средних месячных значений ЭЭТ показал, что комфортные теплоощущения наблюдаются лишь в инзкогорпом поясе в июле и августе. В среднегориом и высокогорном поясах в течение всего теплого периода года ЭЭТ остаются в пределах холодных или умеренно холодных теплоощущений (табл. 103). При сопо-

Таблица 103

Средние месячные значения (°С) эквивалентно-эффективных температур (ЭЭТ) и радиационно-эквивалентно-эффективных температур (РЭЭТ)

Месян	Алма-Ат	га, ГМО	Me	део	Усть-Гор	эннакэс	Верхний і	линакэдо
месяц		РЭЭТ	ээт	гееч	ээт	РЭЭТ	ээт	РЭЭТ
X X X X X X X X X X X X X X X X X X X	5,2 12,0 16,6 19,2 18,5 13,3 4.0	8,3 15,7 20,6 23,5 22,7 18,2 10,2	-2,0 5,3 11,0 13,5 13,2 7,3 -2,0	2,1 9,7 16,1 18,9 18,5 13,2 5,6	0,9 0,8 6,4 9,7 9,3 3.0 5,0	3,7 12,5 14.8 14.7 9.7	3.0 3.0 6.0 6.4 0.0	8,2 10,8 14,1 6,3

ставлении значений ЭЭТ по высотным поясам видно, что наиболее благоприятные биоклиматические условия при приеме воздушных ванн в естественной среде создаются в летние месяцы в Алма-Ате и Медео.

Влияние солнечной радиации на организм человека учитывается расчетной радиационно-эквивалентно-эффективной температурой (РЭЭТ). По данным той же табл. 103, распределение РЭЭТ в общих чертах совпадает с распределением ЭЭТ, но благодаря учету солнечной радиации РЭЭТ оказывается на 4—6 °С выше, чем ЭЭТ. Однако и РЭЭТ на склонах Заилийского Алатау не превышают верхнего предела зоны комфорта.

Теплоощущения человека, одетого по сезону и производящего легкую работу (энергетические затраты организма $q=672,0\times 10^3~\rm Дж/ч$), оценивались по нормальной шкале эквивалентноэффективных температур (НЭЭТ). НЭЭТ выражает комплексное влияние метеорологических величин (температуры воздуха, влажности, скорости ветра) на человеческий организм и в зависимости от ее значений подразделяется на три зоны:

1) зона комфорта при НЭЭТ 16—21 °C,

2) зона охлаждения при НЭЭТ ниже 16 °C,

3) зона перегрева при НЭЭТ выше 21 °C.

Кроме того, выделены дни, когда скорость ветра на уровне 2 м от поверхности земли в 13 ч превышала 8,5 м/с [6]. В начале теплого периода (май) во всех высотных поясах в большинстве дней отмечаются холодные теплоощущения. Процент случаев НЭЭТ в зоне комфорта не превышает 40 % в низкогорье и 30 % в средиегорье. В июне — августе в этих высотных поясах преобладают тепловые условия в зоне комфорта. Необходимо отметить и одновременное возрастание в пределах Алма-Аты числа дней с НЭЭТ выше 21 °С. В сентябре НЭЭТ в зоне комфорта составляет 60—65 % до высоты 1200 м, выше этого уровня увеличивается повторяемость дней с холодными условиями теплоощущения. В течение всего теплого времени года наибольшее число дней со скоростью ветра 3,5 м/с отмечается в зоне 1200—1700 м, что объясняется рельефными особенностями местности.

Таким образом, анализ ряда показателей тепловой нагрузки на организм в пределах Алма-Аты показал, что в городе в течение большей части теплого времени года преобладают оптимальные термические условия. Лишь в июле и августе в дневные часы тепловое ощущение характеризуется как «жарко» и возможны гипертермия (перегрев) и гиперинсоляция, т. е. чрезмерное воздействие солнечных лучей иа организм. Горные районы, расположенные к югу от Алма-Аты, отличаются более низкими значениями количества испарившегося пота за единицу времени (FE), потери тепла за счет испарения пота (FLE) и фактора относительной теплоотдачи испарением пота (M), что определяет их благоприятные биоклиматические условия. Поэтому закономерно использование предгорий и склонов Заилийского Алатау для отдыха и лечения трудящихся.

11. ПОГРАНИЧНЫЙ СЛОЙ И КЛИМАТ СВОБОДНОЙ АТМОСФЕРЫ В РАЙОНЕ АЛМА-АТЫ

11.1. Пограничный слой атмосферы

Слой атмосферы, через который осуществляется взаимодействие атмосферы с поверхностью земли и в котором наряду с градиентом давления и кориолисовой силой существенную роль играют турбулентного трения, называется пограничным слоем. С высотой значения составляющих касательного напряжения трения уменьшаются и на высоте пограничного слоя становятся пренебрежимо малыми.

Поэтому скорость ветра и градиент температуры внутри и вне пограничного слоя отличаются друг от друга. Скорость ветра и градиент температуры над слоем атмосферы, непосредственно прилегающим к пограничному, с высотою не меняется. Внутри же пограничного слоя, в зависимости от рассматриваемого момента времени, градиент температуры на различных уровнях может иметь разные значения и даже знаки. Здесь также меняется скорость ветра с высотою. Тем не менее, поскольку направление ветра внутри пограничного слоя остается постоянным, значение скорости ветра относительно плавно растет.

Для характеристики планетарного пограничного слоя атмосферы в районе Алма-Аты были использованы средние климатические значения метеорологических величин, взятые из материалов

ВНИИГМИ — МЦД за 1966—1975 гг.

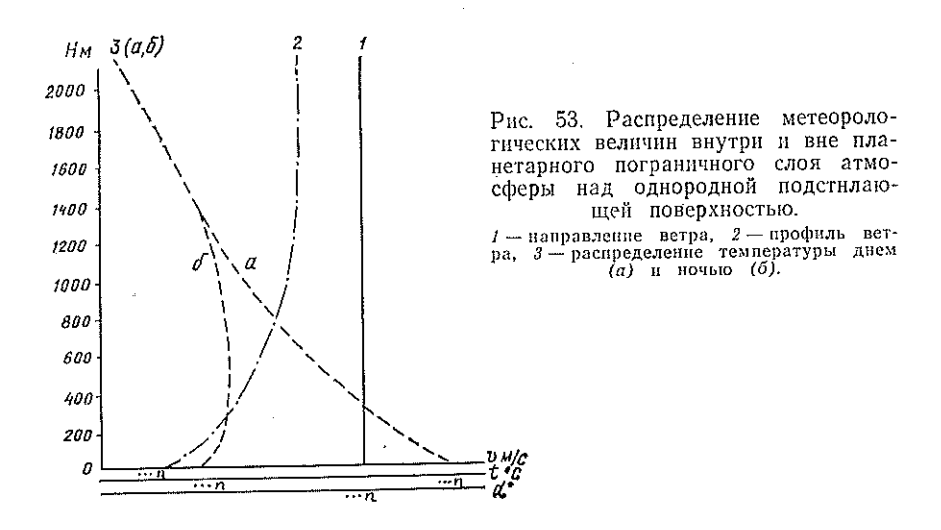
Особенности пограничного слоя атмосферы могут быть установлены путем изучения распределения по высоте основных метеорологических величин. Естественно ожидать, что горно-долинная циркуляция обусловливает характерные условия взаимодействия атмосферы с подстилающей поверхностью. Распределение осредненных за сутки метеовеличин будет сглаженным. А средние месячные распределения метеорологических величин, не привязанные к конкретному моменту времени, будут отражать преобладающее влияние на формирование пограничного слоя, долинного ветра в теплый и горного в холодный периоды года в соответствии с длительностью их действия.

Исходя из этих соображений, рассмотрим распределение ско-

рости ветра и температуры для одного момента времени.

Начнем изучение пограничного слоя со случая, когда адвекция внутри нижних слоев атмосферы направлена с севера, т. е. со стороны равнины. На рис. 53 приведены распределения средней скорости ветра и температуры по высоте в 17 ч в апреле. Заметим, что речь идет об осредненных значениях данных за 10 лет за этот момент времени.

Как видно из рис. 54, атмосфера стратифицирована внутри слоя 0-900 м неустойчиво, а в слое 900-2150 м - устойчиво по закону влажной адиабаты. Последнее объясняется тем, что ст. Алма-Ата,



ГМО, от которой отсчитывается высота, сама располагается на высоте 847 м над ур. м.

Максимум скорости наблюдается на уровне 100 м, что обусловлено сложением потока адвективного переноса с долиным ветром, направленным в это время также с севера, т. е. в сторону гор. Затем в слое 500—700 м средняя скорость сравнивается со средней скоростью геострофического ветра для апреля. Начиная с высоты 900 м средняя скорость в начале слабо, затем более интенсивно растет. Это указывает на наличие второй, отличной от подстилающей поверхности города, поверхности трения. Данное положение объясняется ступенчатым ростом поверхности рельефа местности. В связи с этим построим профиль средней скорости в логарифмической шкале высот. Из рис. 55 вытекает, что только в двух областях 0—100 и 300—2150 м скорость с высотою меняется по линейному закону в логарифмической шкале.

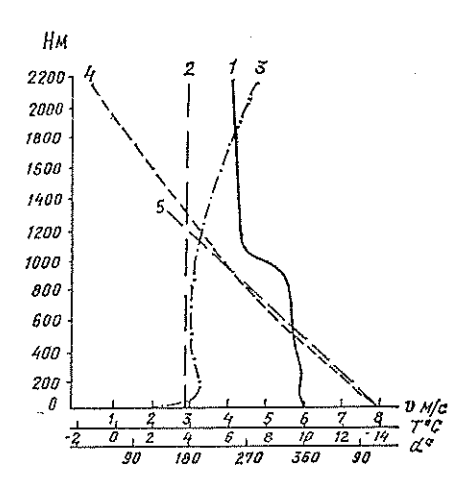
Законы изменения средней скорости по высоте внутри этих слоев представляются следующими выражениями:

$$v = 1.5 \ln \frac{z}{0.63}, \quad v = 2.0 \ln \frac{z}{292};$$
 (5)

шероховатость подстилающей поверхности равна 0,63 и 292 м соответственно.

Отсюда вытекает, что первый слой связан с трением о подстилающую поверхность города, а второй— с наличием отрога горного хребта Кок-Тюбе, расположенного на юго-востоке на высоте около 300 м относительно ст. Алма-Ата, ГМО. Таким образом, воздушная масса, обтекающая город с севера на юг, одновременно испытывает трение подстилающей поверхности города и задерживающее влияние поверхности отрога Кок-Тюбе. Характерно еще

Рис. 54. Распределение по высоте направления (1) и скорости (3) ветра, геострофического ветра (2) и гемпературы воздуха (4), сухоаднабатического градиента температуры (5) при севериых и северо-западных переносах (апрель, день).



то, что над уровнем 900 м направление потока резко меняется на 90°, т. е. на северо-запад. Затем это направление остается постоянным.

Судя по характеру изменения градиента температуры, направления и скорости ветра следует считать, что толщина планетарного пограничного слоя для рассмотренного случая равна 900 м; над этим уровнем имеет место резкий поворот ветра на 90°. Выше пограничного слоя скорость ветра не остается постоянной, как это имеет место над равниной, а растет с высотой. Обусловлено это тем, что частица воздуха над городом одновременно испыты-

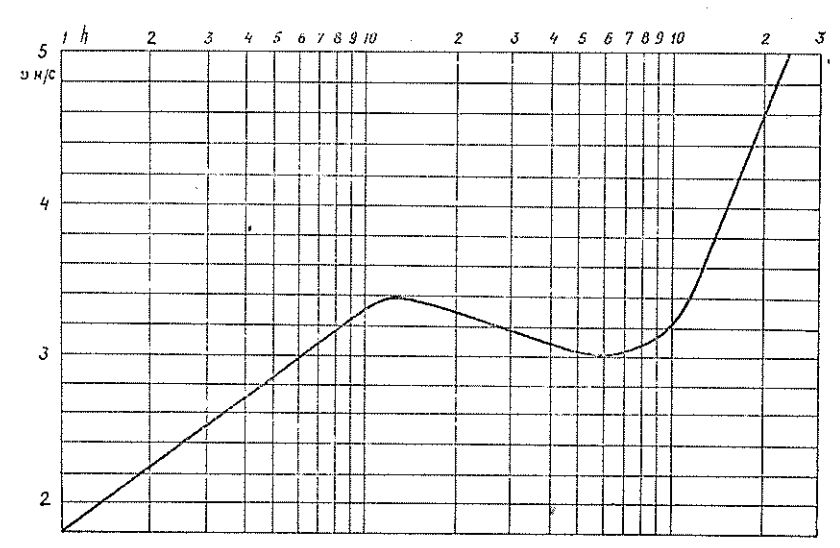


Рис. 55. Изменение скорости ветра с высотой в логарифмической шкале высот.

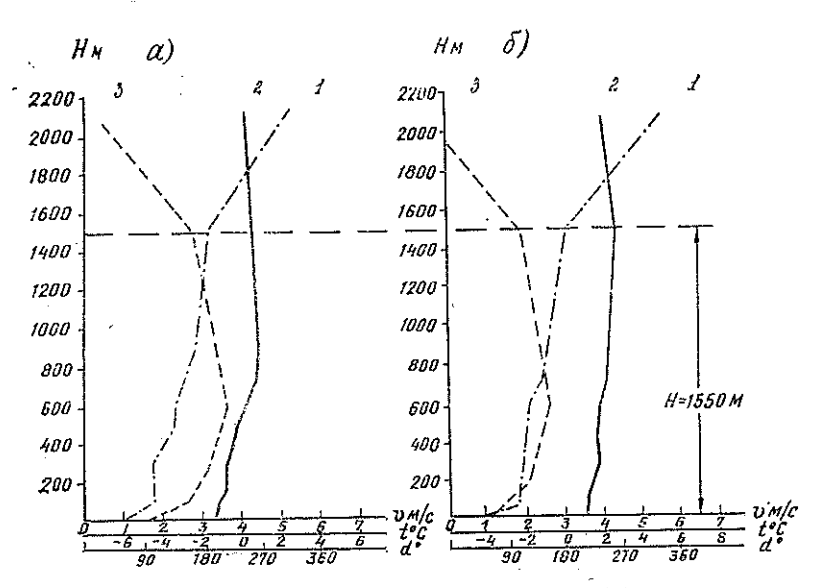


Рис. 56. Распределение по высоте средней скорости (1) и направления (2) ветра и температуры воздуха (3) при южных переносах. Декабрь. a— ночь (5 ч), δ — день (16 ч).

вает влияние второго пограничного слоя, вызываемого вышеупо-

мянутым отрогом горного хребта.

На рис. 56 приведены случаи южного переноса, при котором в районе Алма-Аты не наблюдается пасмурной погоды, как при северных переносах. При этом не происходит нейтрализации горнодолинной циркуляции и сохранения одного направления ветра во всей толще пограничного слоя не наблюдается, вследствие чего южный перенос не распространяется на всю толщину планетарного пограничного слоя.

Из рис. 56 нетрудно заметить, что высота пограничного слоя атмосферы равна 1500 м, т. е. равна среднеклиматической высоте этого слоя над равнинной поверхностью средних широт. Это объясняется тем, что при переносах, направленных с гор, масса воздуха течет параллельно поверхности склонов, что имеет место и над равниной. На рис. 57 представлены распределения ветра и температуры по высоте для юго-западного и северо-западного переносов. Здесь левый рисунок отражает картину в ночное, а правый в дневное время. Изменения температуры и скорости ветра с высотою аналогичны рассматриваемым выше. Исключение составляют инверсии ночью в слое 0—600 м.

Случаев, когда восточные и северо-восточные ветры сохраняются от поверхности земли до 500—600 м по осредненным данным не наблюдается. На рис. 58 приведен случай северо-северо-восточного переноса. По ходу изменения температуры и скорости ветра с высотою пограничный слой определен на уровне 1150 м. Измене-

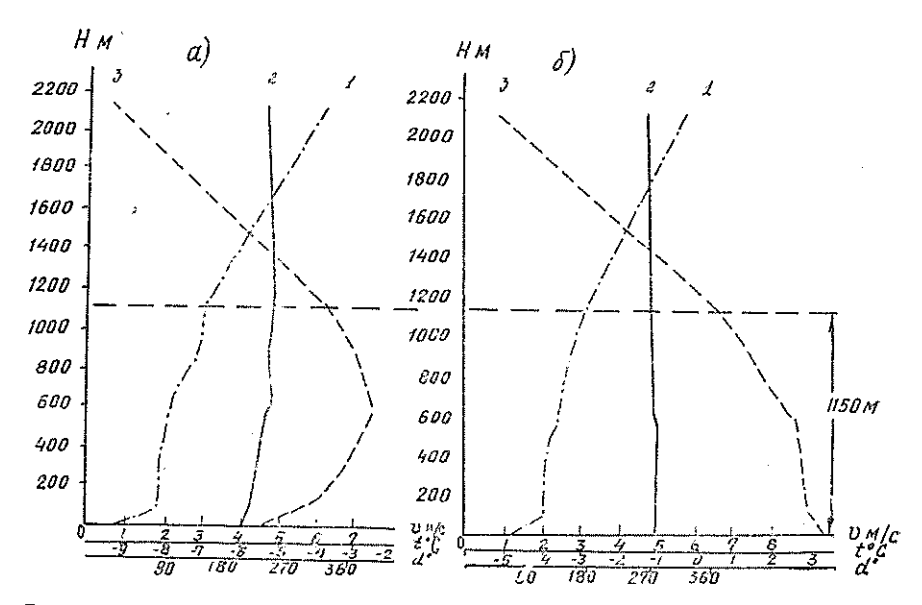


Рис. 57. Распределение по высоте средней скорости (1) и направления (2) ветра, температуры воздуха (3) при юго-западных (а, февраль) и северо-западных (б, ноябрь) переносах.

ние направления ветра с северного на северо-западный имеет место в слое 650—900 м.

Из рис. 57 и 58 вытекает, что:

1) на уровне 100 м имеет место максимум скорости ветра;

2) в слое от 200 м до 1150 м скорость ветра меняется слабо, а выше этого слоя она с высотой растет. Заметное изменение направления ветра имеет место непосредственно над уровнем 1150 м;

3) изменение температуры зависит от времени суток и года, особенно внутри первой половины пограничного слоя. В целом температура внутри слоя 0—1150 м изменяется по закону сухой адиабаты, выше этого слоя— по закону влажной адиабаты;

4) толщина планетарного пограничного слоя, равная 1150 м,

сохраняется и при некоторых других направлениях переноса.

Таким образом, по осредненным данным за 10 лет высота планетарного пограничного слоя в районе Алма-Аты может быть равна 900, 1150 и 1500 м и в соответствии со стратификацией атмосферы может быть неустойчивой, безразличной и устойчивой.

Изменение температуры с высотой внутри пограничного слоя зависит еще от направления адвекции, что подтверждается приве-

денными выше кривыми.

При северных (в том числе северо-западных и северо-восточных) переносах в среднем пограничный слой (особенно его нижние слои) бывает стратифицирован неустойчиво. При широтном направлении переноса пограничный слой в среднем стратифицирован безразлично.

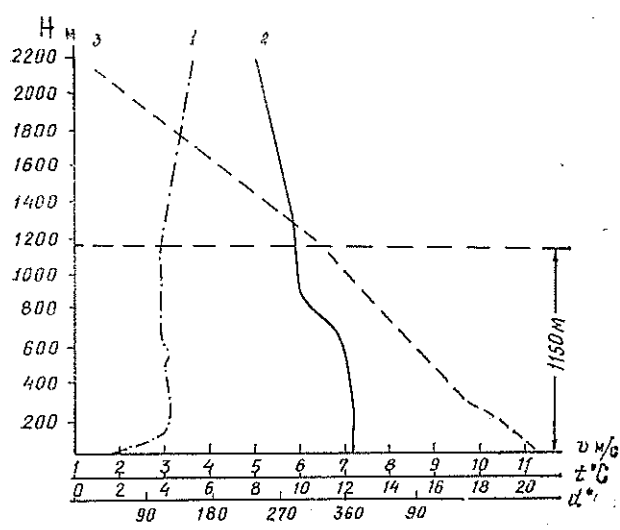


Рис. 58. Распределение по высоте средней скорости (1) и направления (2) ветра, температуры воздуха (3) при северо-северо-восточных переносах (сентябрь).

При южных переносах внутри пограничного слоя наблюдаются довольно мощные инверсии температуры, формирующиеся вследствие адиабатического сжатия опускающегося с гор воздуха.

Горно-долинная циркуляция имеет место и при отсутствии южного переноса. В этом случае инверсии формируются при опускании воздуха верхнего потока этой циркуляции. Если при этом не происходит смыкания с приземной инверсией, образованной радиационным выхолаживанием, то формируется «приподнятая инверсия». Если же смыкание происходит, что особенно часто случается в зимние безоблачные ночи, то образуются интенсивные инверсии, способствующие формированию городского смога и туманов. Однако наиболее мощные инверсии связаны с южным переносом. Поскольку инверсии есть результат взаимодействия атмосферы с подстилающей поверхностью (термического и динамического), то они могут охватить всю толщу пограничного слоя. Следовательно, в среднеклиматическом разрезе мощность таких инверсий равна 1500 м. По всем случаям наблюдения ветра повторяемость проявления горно-долинной циркуляции достигает 80 %. В связи с тем что инверсии являются для Алма-Аты характерным явлением, приведем некоторые статистические данные об инверсиях температуры в районе Алма-Аты.

Годовая повторяемость инверсий за утренний срок (3 ч мск) составляет: приземных (от 0,0 м до 100 м) — 80 %, приподнятых (100 м и выше) — 14 % [40].

На рис. 59 хорошо видна закономерность повторяемости приземных и приподнятых инверсий. Максимум повторяемости приземных инверсий отмечается летом за сроки 3 и 21 ч мск (92—96 %), несколько реже—в январе. В дневное время—9 и 15 ч мск—в теплый период приземные инверсии наблюдаются чрезвы-

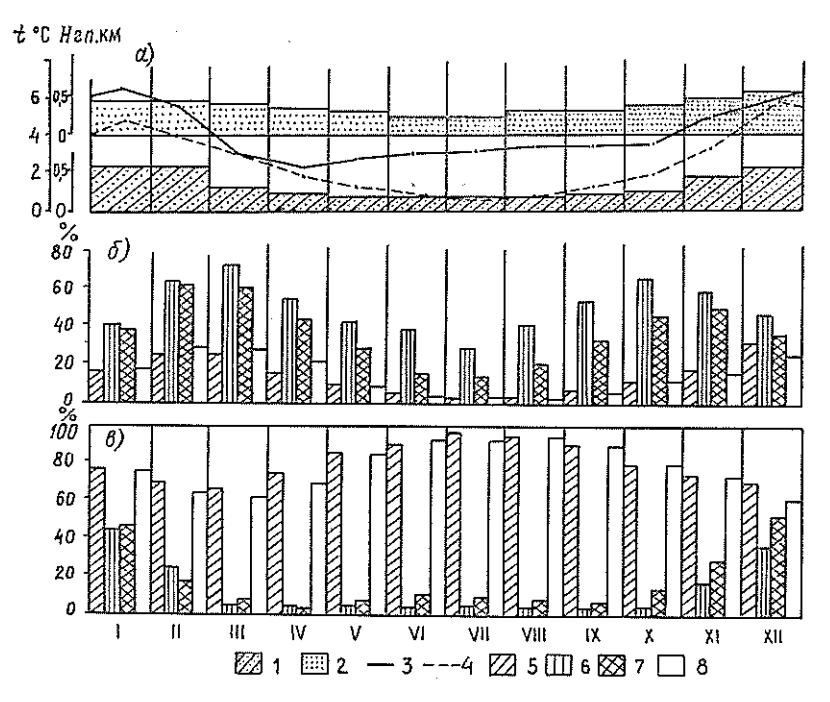


Рис. 59. Характеристики приподнятых и приземных инверсий. a — мощность (гп. км) и интенсивность (°С); δ — повторяемость приподнятых инверсий (%); I — мощность приземных инверсий; 2 — мощность приподнятых инверсий; 3 — интенсивность приподнятых инверсий; 3 — интенсивность приподнятых инверсий; 5 — 3 ч мск; 6 — 9 ч мск; 7 — 15 ч мск; 8 — 21 ч мск.

чайно редко (2—10 %). Объяснить это можно тем, что радиационный эффект летом заметно усилен особенностями орографии благодаря отчетливо выраженной горно-долинной циркуляции [27]. Максимум повторяемости приподнятых инверсий (63—75 %) приходится на февраль — март и октябрь — ноябрь в сроки 9 и 15 чмск, минимум на лето (в сроки 21 и 3 чмск).

Различная мощность, интенсивность и высота инверсий температуры обусловливают достаточно большую временную изменчивость температуры воздуха: в декабре — марте среднее квадратическое отклонение колеблется в пределах 6,2—6,7 °С. Годовой ход средних мощностей приземных инверсий (рпс. 59) характерен их малыми изменениями внутри каждого сезона.

По представленному рис. 59 можно также определить мощность (км) и среднюю интенсивность (°C) приземных и приподнятых инверсий в течение года.

В отдельных случаях мощность приземных инверсий, так же как и приподнятых, достигает 2000 м. Экстремальные значения интенсивностей инверсий в отдельных случаях превышают 20 °С и вертикальный температурный градиент в слое инверсии составляет 5—6° [40].

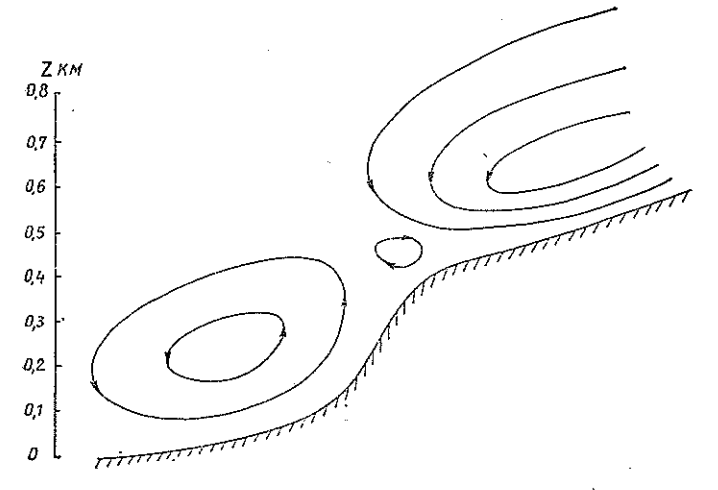


Рис. 60. Профиль ветра при сложной многоступенчатой структуре гор.

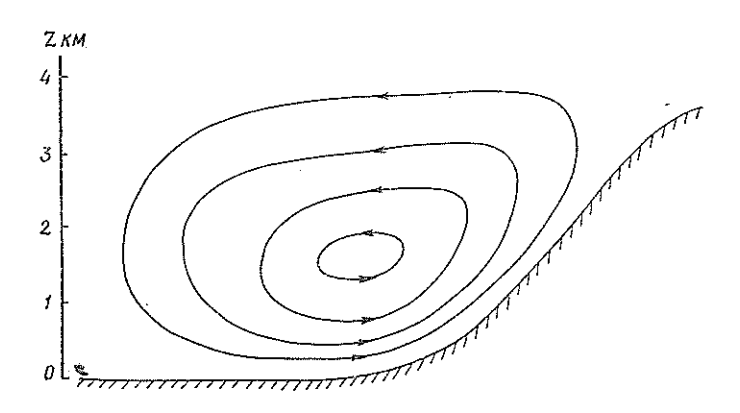
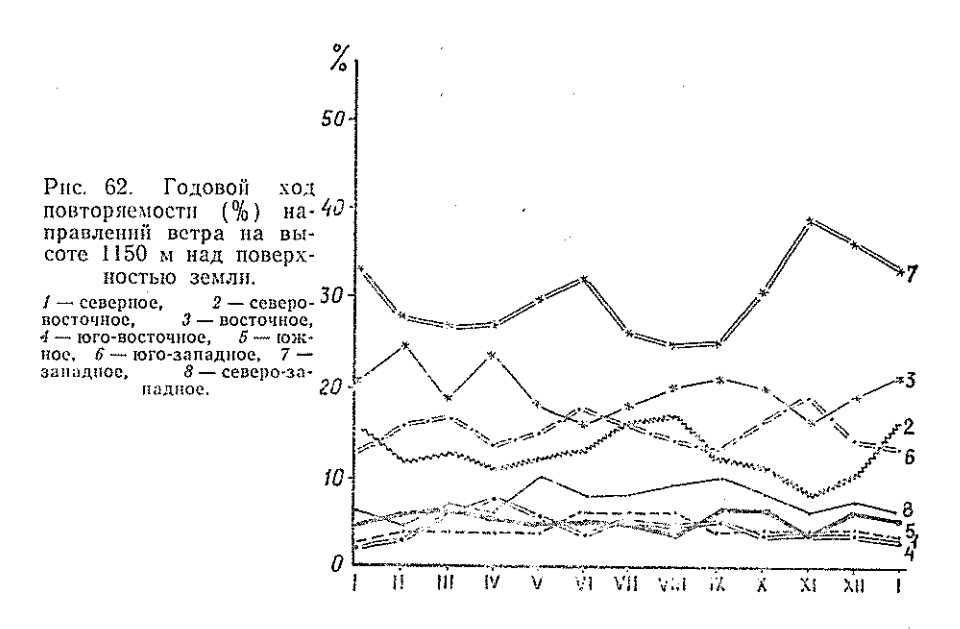


Рис. 61. Модель горно-долинной циркуляции.

Поскольку в районе Алма-Аты поверхность рельефа растет не плавно, а ступенчато, пограничный слой терпит разрыв, подобно тропопаузе над средними широтами (рис. 60). Причем в области разрыва пограничного слоя изменение средней скорости не подчиняется логарифмическому закону. Этот закон справедлив только для областей вне разрыва пограничного слоя. Следовательно, классическое представление о горно-долинной циркуляции (рис. 61) относится к невысоким и плавно возвышающимся хребтам.

В табл. 62 приложения приведена повторяемость направления ветра на трех высотах (флюгер, 0,5 и 1,0 км). Из этой таблицы видно, что в слое 0,5—1,0 км наиболее часто (32—43 %) наблю-



даются юго-западные и западные направления ветра и несколько меньший максимум направлений (20—40 %) приходится на северо-восточные и восточные направления.

На рис. 62 приведен годовой ход повторяемости направлений ветра по 8 румбам на уровне 1150 м. Из этого рисунка следует, что северо-восточные, восточные, юго-западные и западные направления ветра на уровне 1150 м от поверхности земли преобладают над остальными направлениями.

Преобладание этих румбов в слое 0,5—1,15 км относительно других направлений переноса обсусловлено расположением Алма-Аты на южной части сибирского антициклона (СВ и В) зимою и на юго-восточной части казахстанской термической депрессии (З, ЮЗ). Из этих рассуждений вытекает, что наиболее повторяющейся толщиной пограничного слоя атмосферы в районе Алма-Аты является 1150 м, соответствующая господствующим направлениям переноса и безразличной стратификации атмосферы.

При характеристике планетарного пограничного слоя мы рассматривали атмосферу как среду, у которой плотность с высотой меняется и толщина этого слоя определяется уровнем, на котором еще отмечается суточный ход метеорологических величин. Целесообразность выделения этого слоя атмосферы вытекает из необходимости оценки погодообразующего влияния поверхности земли в целом, в том числе конвективного обмена.

Однако для оценки изменения с высотой ветровых условий в нижних частях атмосферы следует еще указать на наличие динамического пограничного слоя атмосферы, наличие которого связано с обтеканием и прилипанием атмосферы.

Толщина данного слоя для среднеклиматических условий над равнинной местностью средних широт равна 250 м [10]. Поскольку атмосфера обтекает поверхность вращающегося вокруг своей оси земного шара, максимум скорости ветра имеет место на уровне 200 м.

В районе же Алма-Аты, как было отмечено выше, наибольшая скорость располагается на высоте 100 м и этот уровень в профиле скорости выделяется отчетливее, чем над равниной, что связано со сложением скорости адвективного потока со скоростью более сосредоточенного нижнего потока горно-долинной циркуляции.

Для многих практических задач, в том числе для расчета устойчивости работы подъемных кранов на различных высотах, имеет значение профиль скорости внутри первого 100 м слоя. Профиль скорости ветра строится по значению скорости у поверхности земли по следующей формуле:

$$v = v_1 \frac{\ln z - \ln z_0}{\ln z_1 - \ln z_0}, \tag{6}$$

где v, v_1 — скорости на высоте z и у поверхности земли, т. е. на высоте z_1 ; z_0 — шероховатость подстилающей поверхности города.

На рис. 63 приведена кривая шероховатости подстилающей поверхности города для среднеклиматических условий, вычисленная по формуле, приведенной в памятке ГГО

$$\ln z_0 = \left(2 - \frac{v_{100}}{v_{100} - v_{10}}\right) \ln 10, \tag{7}$$

где v_{10} , v_{100} — средние скорости ветра на высоте 10 и 100 м соответственно. В теплый период шероховатость подстилающей поверхности города колеблется незначительно, в пределах 0.55—0.60 м. В холодный период года при устойчивом снежном покрове она растет до 1.26 м. Шероховатость наименьшая в начале переходных сезонов (в марте и декабре), что, видимо, связано с отсутствием как снежного покрова, так и богатой растительности.

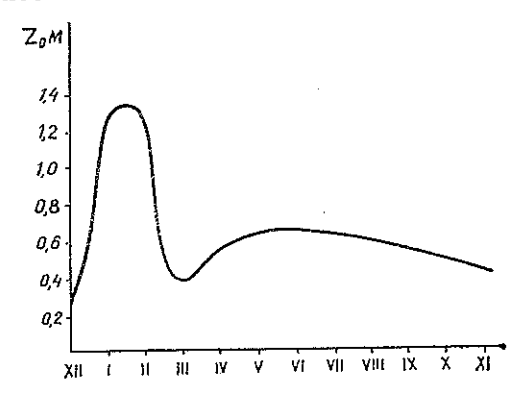


Рис. 63. Изменение шероховатости подстилающей поверхности (Z_0) по месяцам в Алма-Ате.

11.2. Климат свободной атмосферы над Алма-Атой

Горные массивы Тянь-Шаня, почти полукольцом охватившие город, достигают наибольшей высоты 7439 м (Пик Победы) и являются естественной преградой иа пути движения воздушных масс, что приводит к самым различным эффектам, влияние которых на изменение значений метеорологических величин существенно и проявляется не только на значительном удалении от гор, но и на больших высотах атмосферного слоя [18, 42].

Как показал многолетний опыт работы и анализ фактического материала, близость гор оказывает влияние на активизацию атмосферных процессов и обострение фронтальных разделов, а следовательно, и на формирование некоторых отличительных осо-

бенностей в климате свободной атмосферы над Алма-Атой.

При описании слоя атмосферы от 1,5 до 30 км над Алма-Атой использованы материалы аэроклиматического справочника свободной атмосферы [44] за период 1961—1970 гг. для всех 12 месяцев. Для характеристики тропопауз к анализу привлекались данные работ Т. В. Масловой [39] и В. С. Чередниченко [57] за период 1961—1963 гг. (4 срока наблюдений) и 1966—1970 гг. (2 срока наблюдений). Для характеристики инверсий пспользованы материалы работ Т. В. Масловой [40] по данным наблюдений раднозонда за период 1961—1970 гг. за 4 срока (3, 9, 15 и 21 ч мск).

Основные характеристики термического режима. Распределение температуры воздуха в свободной атмосфере над Алма-Атой и ее некоторые статистические параметры наглядно проиллюстрированы рис. 64, где представлен годовой ход различных характеристик климата свободной атмосферы над рассматриваемым районом.

В тропосфере, т. е. в нижней части атмосферы в слое от 850 до 200 гПа, наблюдается ярко выраженный годовой ход температуры с одним максимумом в июле и одним минимумом в январе, что наглядно подтверждается характерной конфигурацией изоплет на рис. 64 — синхронность изолиний во всем рассматриваемом слое с хорошо выраженной выпуклостью их в июле. Для этого слоя атмосферы характерны значительные изменения температурного режима в течение года, на что указывают большие значения годовой амплитуды средней месячной температуры воздуха, наибольшие у поверхности 850 гПа. На уровне 200 гПа максимум температуры сохраняется в июле, а минимум смещен на ноябрь — декабрь в область более низких температур (—60,4...61,1 °C), очерчиваемую изоплетой —60,0 °C, расположенной вблизи нижней границы полярной тропопаузы.

У изобарической поверхности 150 гПа наблюдается некоторое повышение температуры воздуха относительно нижележащих слоев с последующим ее падением на уровне 100 гПа в зоне тропической тропопаузы. Годовая амплитуда средней температуры резко уменьшается и достигает своего минимального значения на

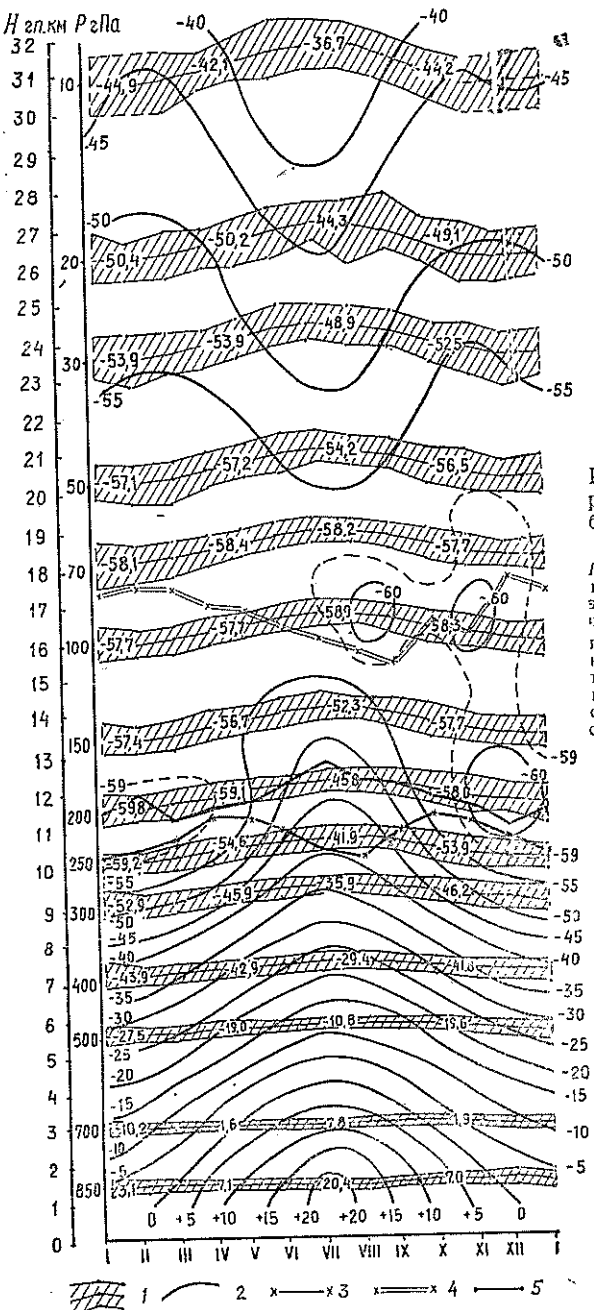


Рис. 64. Годовой ход характеристик климата свободной атмосферы над Алма-Атой.

I—среднее месячное значение геопотенциала H (гп. км) и его экстремальные значения; 2—изоплеты средней месячной гемпературы t (°C); 3—средняя нижняя граница полярной тропопаузы (гп. км); 4—средняя нижняя граница ской тропопаузы (гп. км); 5—средняя высота уровня максимального ветра (гп. км).

уровне 70 гПа. На рис. 64 для этих слоев характерно малоградиентное поле изоплет. Хорошо прослеживаются две области низких температур, ограниченных изоплетой —60,0 °C — в августе и ноябре.

В слое 50—10 гПа происходят резкие изменения в конфигурации изоплет: ярко выражена вогнутость их в июле с двумя выпуклостями в феврале — марте и ноябре, что указывает на наличие одного максимума и двух минимумов температуры (первичный в феврале с последующим смещением его с высотой на март, вторичный — в ноябре). Постепенно увеличивающиеся с высотой значения годовой амплитуды говорят о возрастающих изменениях термического режима в течение года в слое 20—30 км.

Таким образом, изменение температуры по высоте в этом слое, включающем в себя нижний слой стратосферы, противопо-

ложен изменению температуры в нижележащих слоях.

Абсолютные годовые амплитуды экстремумов, приведенные в табл. 104, более чем вдвое превышают амплитуду средних месячных температур. Отметим, что самая низкая температура в тропосфере и нижней стратосфере —75,9°C наблюдалась в январе и декабре, а самая высокая температура +35°C—в июне.

Таблица 104 Экстремальные значения температуры (°С) для каждой изобарической поверхности (850—10 гПа)

P r Ma	Макснмум	Месяц	Мишаум	Месяц	Годовая амп- литуда экстре- мумов, °С	<i>Р</i> гПа	Максимум	Месяц	Минниум	Месяц	Годовая ампли- туда экстре- мумов, °С
850 700 500 300 250 200	35,0 18,4 0,0 23,1 26,0 37,0	VI VIII VIII VIII VI	-25,6 -29,9 -53,5 -63,3 -75,0 -75,9	XII - III I	60,6 48,3 53,5 40,2 49,0 38,9	150 100 70 50 30 10	-43,2 -44,0 -36,0 -36,2 -36,0 -18,0	III, V IX V I	—75,5 —73,9 —73,1 —75,2 —75,9 —66,0	VIII VI I I	32,3 29,9 37,1 39,0 39,9 48,0

Высокие значения абсолютных экстремумов, особенно в нижней половине тропосферы, указывают на возможность исключительно интенсивной адвекции арктических и тропических масс воздуха на юго-восточные районы Казахстана.

О вертикальной структуре атмосферы над Алма-Атой хорошее представление дают характеристики: вертикальный температурный градиент γ_t , среднее квадратическое отклонение температуры σ_t и плотности воздуха σ_r , вертикальный векторный сдвиг ветра γ_v .

Известно, что за начало слоя тропопаузы условно принимается уровень, на котором вертикальный градиент температуры не превышает 2°С/1 км. В работах Т. В. Масловой и В. С. Чередниченко показано, что над Алма-Атой прослеживается два слоя тропопауз: полярная и тропическая (рис. 64).

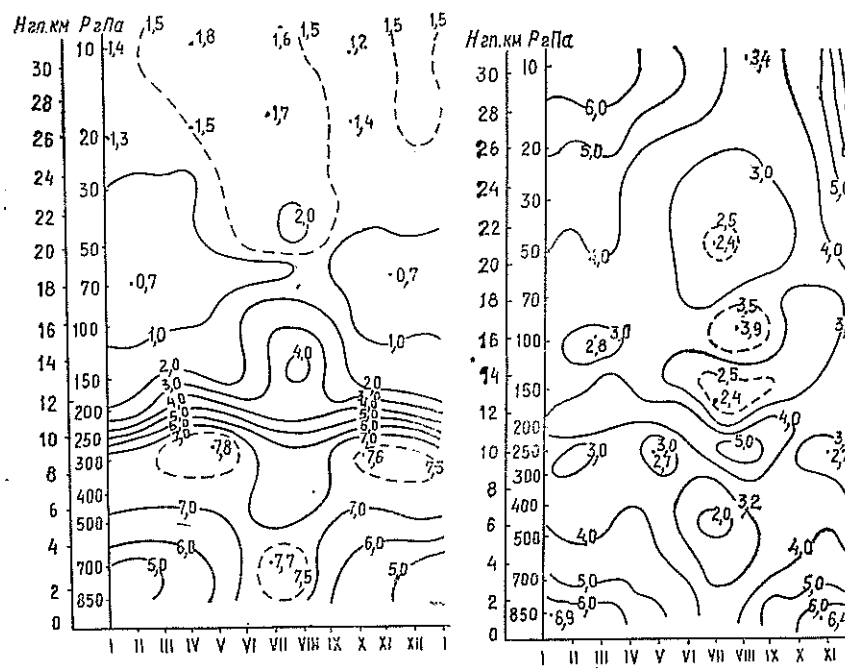


Рис. 65. Изоплеты годового хода вертикального градиента температуры γ_t (°С/гп. км).

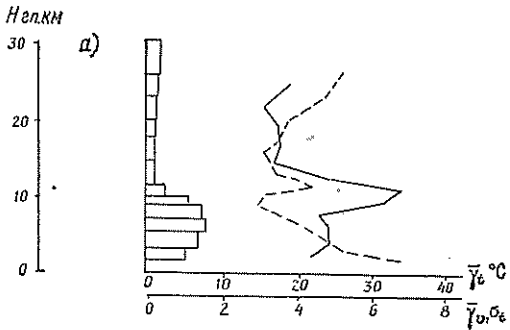
Рис. 66. Изоплеты годового хода средних квадратических отклонений температуры воздуха σ_t (°C).

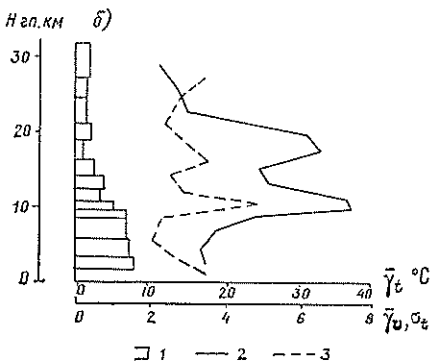
Анализ рис. 65 показал, что зимой, весной и осенью в тропосфере, за исключением приземного слоя, где почти в всего года отмечаются отрицательные градиенты, наблюдается рост положительных вертикальных градиентов температуры. Наибольших значений они достигают в слое 400-300 гПа, т. е. ниже полярной тропопаузы, из чего следует, что турбулентность весной и осенью над тропопаузой развита больше, чем летом. В летние месяцы наблюдается иной характер в распределении вертикальных градиентов с высотой. Вследствие активизации возмущающего действия земной поверхности в слое 850-700 гПа градиент достигает 7,7 °С/км, затем идет его постепенное уменьшение с высотой. Наблюдавшееся резкое уменьшение градиента в слоях 300-250 и 150-100 гПа с четко выраженным ростом его в слое 200—150 гПа подтверждает наличие тропопауз и низкие средние высоты (рис. 64).

В холодное полугодие основной максимум изменчивости температуры (6,2—6,8 °C), свидетельствующий о достаточной активности циркуляционных процессов, так же как и рост изменчивости плотности (28,0—30,0 г/м³), отмечается на уровне 850 гПа. С высотою значение σ_t уменьшается и имеет минимальные значения 2,0—3,0 °C ниже полярной тропопаузы. Далее изменчивость температуры возрастает и в июле — августе достигает макси-

Рис. 67. Вертикальное распределение статистических характеристик температуры и ветра.

a — январь, δ — ноль; 1 — средний вертикальный градиент температуры τ_{I} , 2 — средний вертикальный векторный сдвиг скорости ветра τ_{V} , 3 — среднее квадратическое отклонение температуры σ_{I} .





мальных значений 4,9—5,0°C над полярной тропопаузой (рис. 66).

Аналогичный ход σ_t выявлен и в зоне тропической тропопаузы. Средние квадратические отклонения плотности с высотой уменьшаются, но над тропопаузой в слое 10-12 км (летом 9-10 км) происходит их заметное увеличение.

Показательны данные о $\overline{\gamma}_t$, σ_t , $\overline{\gamma}_v$, представленные на рис. 67 для января и июля. Вертикальные профили нанесенных $\overline{\gamma}_v$ и σ_t в июле имеют точки перегиба на одних и тех же уровнях — минимумы под полярной и тропической тропопаузами, максимумы — над тропопаузами. Максимумам $\overline{\gamma}_v$ и σ_t соответствуют минимальные значения $\overline{\gamma}_t$. В январе на уровне 250 гПа также отмечается наличие максимумов $\overline{\gamma}_v$ и σ_t , что указывает на наличие полярной тропопаузы. Вертикальный профиль приведенных характеристик в слое 100—70 гПа сглажен, так как повторяемость тропической тропопаузы в зимнее время всего 25—33 % [57].

Интересно отметить, что в летний период над Алма-Атой выявляется еще один минимум изменчивости температуры в слое 50—20 гПа, что указывает на существование еще одного слоя тропопаузы. На рис. 66 представлены изоплеты годового хода σ_t , конфигурация которых подтверждает наличие двух слоев тропопауз и указывает на возможность существования 3-го слоя (летом).

Представляет интерес распределение средней удельной влажности по месяцам и высотам. В слое 850-10 гПа наблюдается почти синхронное изменение с высотой средних значений температуры \overline{t} и влагосодержания воздуха q [44]. Наибольшее влагосодержание отмечается на изобарической поверхности 850 гПа: в июле 6,56 г/кг, в январе 1,73 г/кг, наименьшее — зимой на уровне 250 гПа (0,01 г/кг), летом на изобарической поверхности 100 гПа (0,02 г/кг).

Как указывалось выше, над Алма-Атой четко прослеживается два слоя тропопауз — полярная и тропическая, при этом повторяемость тропической тропопаузы летом составляет 78—100 %,

зимой 25—33 %.

В табл. 105 приведены средние характеристики тропопауз из работ [39, 57]. Режим полярной тропопаузы над Алма-Атой имеет очень сложный годовой ход и значительные колебания ее высот во времени. Отмечается два максимума — первичный в апреле, вторичный в октябре и два минимума — основной в августе, вторичный в январе. Надо отметить, что приведенное не соответствует известному сезонному распределению тепла и влаги в атмосфере: летом вместо повышения высоты полярной тропопаузы наблюдается ее значительное снижение, которое подтверждается ярко выраженным уменьшением среднего вертикального градиизменчивости температуры характером (рис. 64-66). Значительное снижение уровня тропопаузы в летний период обусловлено влиянием как орографического фронтогенеза, так и частым формированием термической депрессии к югу и северо-западу от рассматриваемого района. Средняя мощность (Δh) слоя полярной тропопаузы колеблется от 2,2 км (февраль) до 1,55 км (ноябрь).

Таблица 105

Годовой ход средней высоты (гп. км) нижней границы полярной и тропической тропопауз ($H_{\rm n.r.}$) и средней высоты уровня (гп. км) максимального ветра и средней максимальной скорости ветра (м/с)

Показатель	I	11	HH	IV	γ	VI	VII	VIII	IA	Λ	Ai	Λ11
H _{st. p.}	10,4	10,4	10,8	Поляр 11,4	ная т 11,3	ропоп 11,0	ауза 10,5	10,25	10,9	11,4	[11,1	10,6
H _{н. г.}	17,5		17,5	ропиче 17,1 ристи	16,9	[16,4	16,3	15,8		[16,5	16,1	17,9
Средняя		11,88	11,27	11,56	11,79	12,22	12,56	12,13	12,18	11,87	11,47	11,02
скорость ветра	34	37	39	35	29	34	39	44	37	32	31	39

Средняя температура на нижней границе полярной тропопаузы имеет хорошо выраженный годовой ход с минимумом в январе (-62,9 °C) и максимумом в июле—августе (-44,0 °C). В апреле значения температуры все еще близки к зимним (-61,4 °C).

Из данных табл. 105 видно, что годовой ход средних высот нижней границы тропической тропопаузы следует за годовым ходом высот полярной тропопаузы и наиболее высокое ее положение отмечается зимой. Тропическая тропопауза характеризуется почти постоянным температурным режимом для летнего (июль, —59,5 °C) и зимнего (декабрь, —60,4 °C) периодов. Изменение высот тропопауз хорошо согласуется с ходом наземного давления [39], вертикальным распределением температуры и увеличением ее изменчивости.

Проведенный анализ климатического материала и результаты

работ [39] н [57] позволяют сделать следующие выводы:

1) экстремальные значения высоты и температуры воздуха нижней границы полярной тропопаузы колеблются в широком диапазоне: высота от 7.1-8.0 до 14.0 км, а температура от -30.0 до -75.0 °C;

2) опускание полярной тропопаузы до уровня 7,1—8,0 км

чаще происходит летом, чем зимой;

3) экстремальные значения высоты инжней границы тропической тропопаузы изменяются от 13,0 до 18,0 км, а температура от -46,0 до -75 °C.

Отметим также, что сопоставление высот средних максимальных скоростей ветра и высот нижних границ полярной и тропической тропопауз (табл. 105) выявляет важную особенность: уровень, на котором наблюдается средняя максимальная скорость ветра, находится над средней высотой нижней границы полярной тропопаузы, вблизи изобарической поверхности 200 гПа (рис. 64).

Для Алма-Аты весьма характерны температурные инверсии, формированию которых способствуют ярко выраженная горно-долинная циркуляция и в холодную половину года преобладание антициклонических полей. Результаты анализа различных характеристик приземных и приподнятых инверсий [40] изложены в пограничном слое атмосферы.

Направление и скорость ветра. Прежде чем перейти к анализу ветрового режима над Алма-Атой, приведем некоторые особенности синоптических процессов, протекающих над Казахста-

ном.

Зимой на севере Казахстана в средней и верхней тропосфере явно намечается ложбинообразный прогиб, обусловленный термобарическим минимумом над северным полюсом, частная ложбина которого вытянута к югу на районы Карского моря, достигающая часто широты Аральского моря. В результате затока холода с севера, в вершине ложбинообразного прогиба возникает значительный контраст температуры и в этой области формируется фронтальная зона. В теплый период тропосферная фронтальная

зона смещается к северу, а в районе Аральского моря летом намечается даже небольшой гребнеобразный прогиб, в то же время на южные и юго-восточные районы Казахстана перемещается субтропическая фронтальная зона, с которой связаны субтропические струйные течения. Термические и барические градиенты в основном направлены с юга на север, в зимнее время—с восточной составляющей. Такое положение термобарического поля является как бы фоном, на который в значительной степени накладываются активные процессы преобразования термобарического поля, сопровождающиеся возникновением циклонов и антициклонов и их смещением.

За рассматриваемое десятилетие (1961—1970 гг.) в сезоны зимы, весны и лета, чаще, чем обычно на районы Казахстана, осуществлялись северо-западные и северные вторжения масс арктического воздуха, оформленные барически в антициклоны. В это время в средней и верхней тропосфере отмечалось формирование контрастных фронтальных зон, нередко достигающих юго-востока Казахстана.

Характер распределения ветра в слое 850—10 гПа наглядно проиллюстрирован рис. 68. К исследованиям привлечены также данные аэроклимсправочника [11] о повторяемости направлений ветра по румбам (%) для слоя 3—10 км над уровнем моря, приведенные на рис. 69, причем точки, соответствующие значениям повторяемости направлений, соединены прямыми. Очевидно, что преобладающему направлению ветра соответствует наиболее высокое положение кривой.

Выше отмечалось, что на уровне 1,15 км над поверхностью земли почти в равной степени преобладают северо-восточные, восточные, юго-западные и западные направления ветра. Однако на рис. 68 направление результирующего вектора ветра указывает все же на господство западных направлений, весной и

осенью с северной составляющей.

На уровне 3 км уже наблюдается западное, затем юго-западное направление и на высоте 5 км явно видно преобладание западных потоков (рис. 69). Это указывает на наличие в слоях от 3 до 5 км ведущего потока, на который на высоте 3 км оказывают определенное влияние орографические особенности рассматриваемого района, чем и объясняется добавление южной составляющей к вектору западного направления вблизи горного массива, что хорошо согласуется с анализом режима ветра в пограничном слое над Алма-Атой. Очень хорошо сказанное подтверждается высоким положением кривой на рис. 69 и согласованным западным направлением ветра в течение всего года в слое 700—500 гПа на рис. 68.

В слое от 5 до 18 км прослеживается приоритет западного переноса (260—280°, рис. 68), хотя рис. 69 указывает на возросшую

значимость северо-западных, юго-западных направлений.

В слое 20—30 км в летнее время устанавливается восточное течение (наиболее продолжительное на высоте 30 км — май —

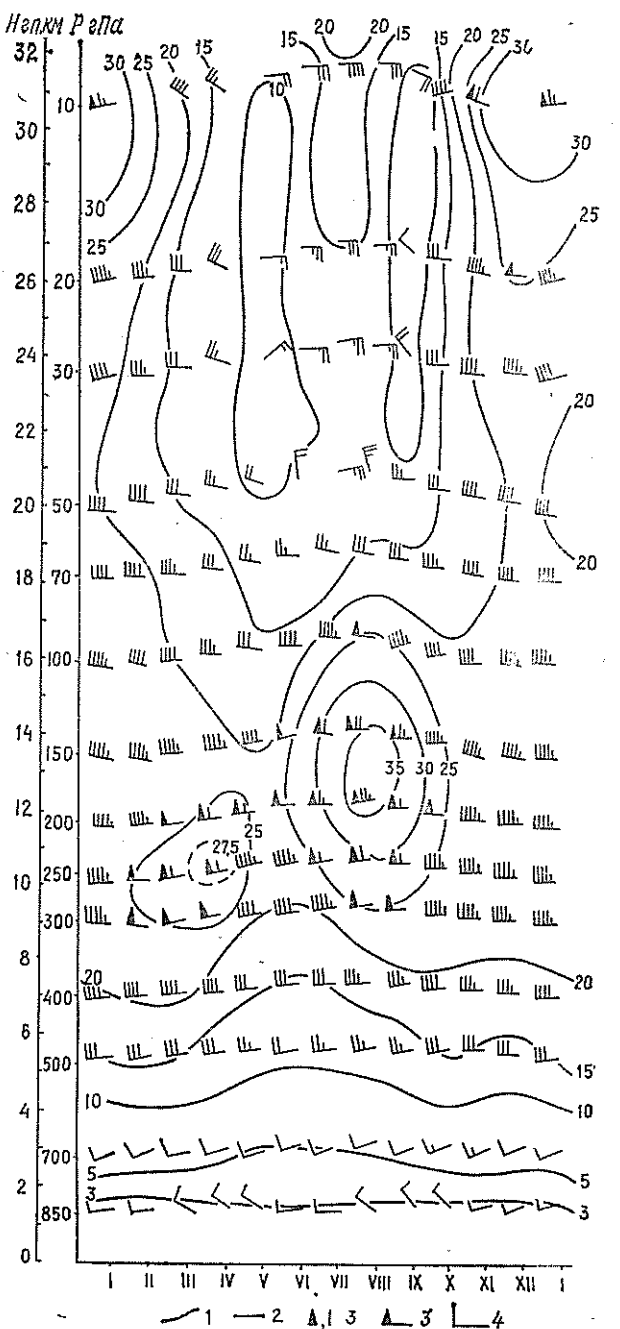
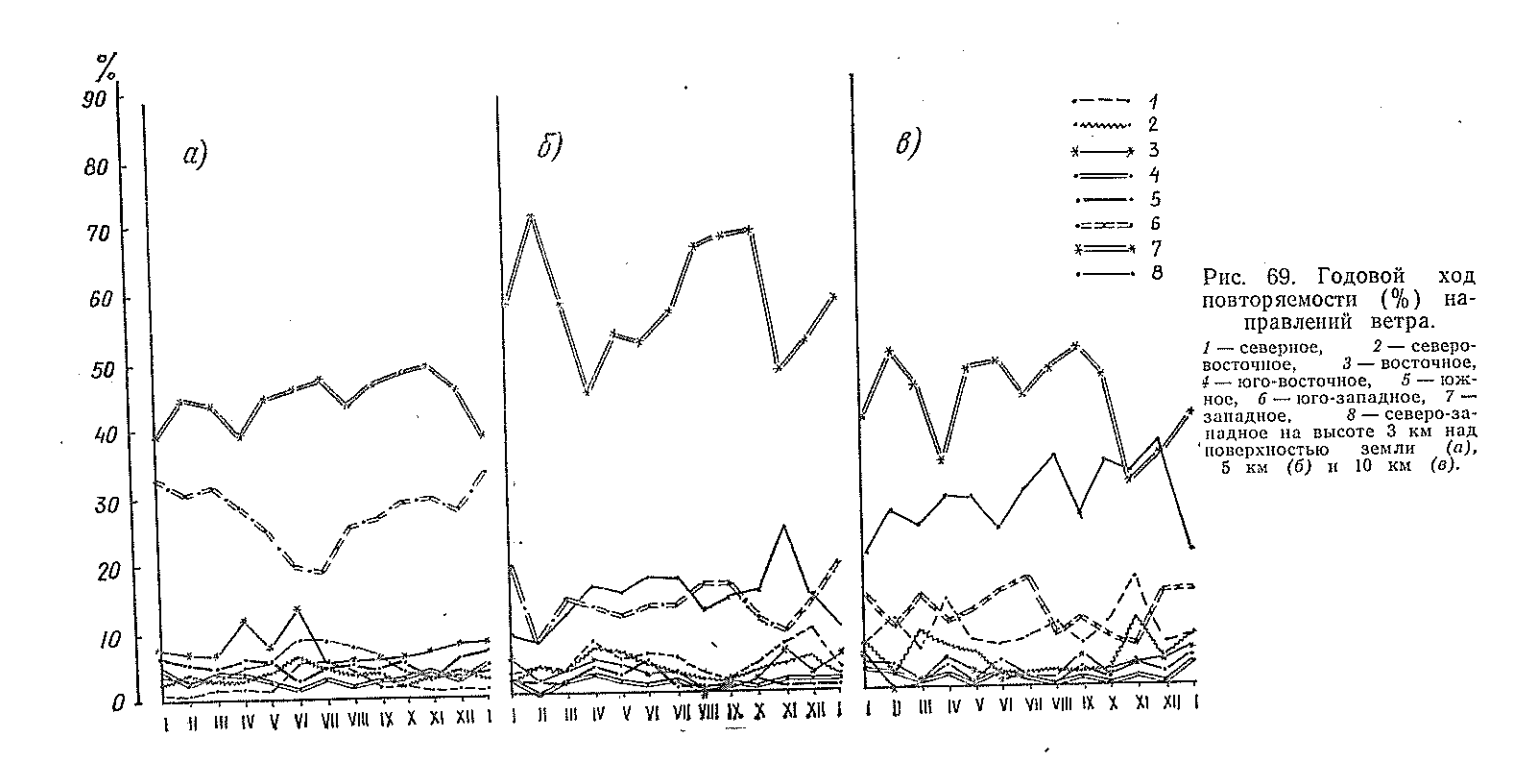


Рис. 68. Годовой ход скалярной скорости ветра $\overline{\upsilon_s}$ (м/с) и направлення результирующего вектора ветра θ (0°) на главных изобарических поверхностях.

1 — наотахи скалярной скорости ветра, 2 — направление результирующего вектора ветра, 3, 4 — скалярная скорость ветра 25 и 5 м/с соответственно.



сентябрь), что связано с перестройкой термического поля и об-

ращением термического граднента в стратосфере.

Итак, отличительной чертой режима ветра в свободной атмосфере над Алма-Атой является абсолютное преобладание западного переноса за исключением нижней стратосферы (30—80 гПа), где в летнее время наблюдается восточное течение. Сказанное согласуется с исследованнями ветрового режима в слое тропосферы [9, 22].

Весьма показательна картина распределения средней скорости ветра по высоте в течение года, представленная на рис. 68 в виде поля изотах средней скалярной скорости ветра v_s по данным

[44].

В целом во всем рассматриваемом слое до высоты 9 км наблюдается увеличение скорости ветра. В слое 850—700 гПа значения v_s очень небольшие: от 2,5—3,3 м/с на уровне 850 гПа до 5,1—6,6 м/с на уровне 700 гПа, с годовой амплитудой соответственно 0,8—1,5 м/с и минимумом изменчивости скорости 2—4 м/с. Основным фактором, обусловливающим малые скорости воздушных потоков в слое 850—700 гПа, является влияние орографии, т. е. близость широтно расположенных мощных горных систем, которые оказывают тормозящее влияние на продвижение воздушных масс и фронтальных разделов [22].

Заметное увеличение средней скорости ветра отмечается на уровнях 500 (11,1—15,7 м/с) и 400 гПа (14,4—20,5 м/с). Постепенное нарастание средней скорости ветра происходит от зимы к весне и от лета к осени, и максимумы отмечаются ранней весной и осенью. Наибольшие скорости ветра наблюдаются тогда, когда над этими районами располагаются контрастные высотные

фронтальные зоны.

Слой 300—100 гПа характеризуется наибольшими средними скалярными скоростями с ярко выраженными двумя максимумами с замкнутыми изотахами 27 и 35 м/с и с наибольшей изменения в температурования в температу

менчивостью ветра σ_s (13,0—15,0 м/с).

Формирование области наиболее сильных ветров над Алма-Атой, простирающейся в слое 300—100 гПа, с замкнутой изотахой 35 м/с, происходит вследствие смещения к северу азиатской ветви субтропического течения [18], профиль которого хорошо виден из рис. 68. Кроме того, на дополнительное усиление струй-

ного течения влияет и орографический фронтогенез [41].

Проявление струйного течения со скоростями 25—26 м/с начинает обнаруживаться в июне в слое 200—150 гПа, достигая максимального развития в августе, где струйное течение захватывает толщу атмосферы от 300 до 100 гПа, со средними скоростями 26—36 м/с и с соответствующим модулем результирующего вектора 23—33 м/с, и заканчивается в октябре в слое 200—150 гПа со скоростями 24—25 м/с. На наличие струйного течения в слое 300—100 гПа указывает также анализ табл. 106: самые сильные западные потоки отмечаются в августе—122 м/с на уровне 100 гПа, 114 м/с на уровне 150 гПа, 104 м/с на уровне 200 гПа.

Таблица 106

Абсолютные максимумы скорости ветра (м/с) для каждой изобарической поверхности (850-20 гПа)

PrMa	850 700 45 31 VII I, XII	500 30 63 9	0 250 0 94	200 104	150 114 VIII	100 122 VIII	70 88 VI	50 77	30 77 I	20 77 I
Месяц	VII [I, XII]	II IX	I XI	VIII	VIII	AIII	VI	I į	1 1	1

Вторая, менее мощная область сильных ветров со средними скалярными скоростями 25-28 м/с и модулем результирующего вектора 21-23 м/с, а также значительной изменчивостью (13-14 м/с), прослеживается в слое 300—200 гПа в феврале — апреле. • Последняя обусловлена частым перемещением мощных фронтальных зон с меридианальной составляющей, их активизацией над рассматриваемым районом.

горизонтального обращения Вследствие летнего температуры в нижней стратосфере с высотой значение средней скорости ветра уменьшается и вблизи 30 гПа отмечается ее минимум. В мае и сентябре в слое 50—10 гПа прослеживаются минимумы с замкнутыми изотахами 10 м/с с модулем результирующего вектора 0,5-3,0 м/с. Выше уровня 30 гПа средняя скалярная скорость ветра увеличивается и в зимнее время на изобарической поверхности 10 rIIa составляет 31-33 м/с.

Интересно отметить близость значений скалярной и векторной скоростей ветра $(\overline{v_s}$ и $\overline{v_r})$ в слое 300-100 гПа, что еще раз подтверждает наличие доминирующего западного направления ветра в этом слое, тогда как и в слое от 50 до 10 гПа летом разница между $\overline{v_S}$ и $\overline{v_r}$ весьма значительна, что, в свою очередь, говорит о существовании нескольких основных, противоположных по направлению, переносах воздушных масс.

Сложный режим ветра в свободной атмосфере довольно ховертикального градиента рошо подтверждается распределением температуры γ_t , а также средним вертикальным векторным сдви-

гом скорости ветра у (рис. 67).

ЗАКЛЮЧЕНИЕ

Климат Алма-Аты резко континентальный. Абсолютный максимум 42 °C, абсолютный минимум —38 °C. Континентальность климата резче выражена в северной части города в связи с расположением его в зоне перехода горных склонов к равнине. Город Алма-Ата подвержен действию горно-долинной циркуляции, характеризующейся перемещением воздуха днем с долин в сторону гор, ночью — обратно. Самым холодным месяцем в году является январь, самым жарким — июль. Вегетационный период длится в среднем 252 дня, а знойная погода, когда наблюдается температура воздуха 30 °C и выше — 36 дней. Наиболее засушливый месяц — август, в среднем в течение месяца выпадает 26 мм осадков. Максимум осадков в апреле — мае, второй, меньший по величине, максимум отмечается в октябре — ноябре.

Туманы наблюдаются преимущественно в холодное время года, в среднем 50—70 дней в году, с колебаниями ±40 дней в отдельные годы. Сезон гроз начинается с апреля и продолжается по сентябрь, за год отмечается по 23—45 грозовых суток. Максимум

гроз в мае-июле.

Средняя дата появления устойчивого снежного покрова 30 октября, схода — 2 апреля. В целом климат Алма-Аты можно охарактеризовать как малооблачный, повторяемость пасмурного состояния неба по нижней облачности составляет всего 12 % летом и 20—30 % в остальное время года.

Сильные ветры скоростью 15 м/с и более наблюдаются 15 дней в течение года, преимущественно летом во второй половине дня.

В формировании «острова тепла» в центре города зимой большую роль играет рост города за последние 40 лет, т. е. огромное число камениых сооружений, железных крыш, асфальтированных покрытий и отходы производства и автотранспорта. За эти же годы прозрачность воздушного бассейна зимой уменьшилась в 1,4 раза. Однако преобладающей в формировании климата Алма-Аты остается роль рельефа. Перепад высот внутри города сравнительно невелик (180 м), но расположение города в зоне перехода горного склона к равнине обусловливает значительные контрасты температуры между станциями Алма-Ата, ГМО и Алма-Ата, аэропорт. Так, 13 января 1956 г. в 7 ч утра на ст. Алма-Ата, ГМО была зарегистрирована температура +0,6 °C, а на ст. Алма-Ата, аэропорт —20,0 °C. Годовая сумма осадков южной части города почти в 2 раза превышает таковую северных окраин.

Летом в ясную погоду температура в центре города на 0,5—1,0°С ниже, чем на южных окраинах, и на 2—3°С выше, чем на северных окраинах. Этот эффект оазиса связан с охлаждающим влиянием испарения с растительности, фонтанов и парковых зон города. С развитием строительства города необходимо продолжать традицию одновременного увеличения площади зеленых

насаждений, числа и мощности фонтанов.

СПИСОК ЛИТЕРАТУРЫ

1. Айзенштат Б. А. Биоклиматическое районирование территории Средней Азии. — Труды САРНИГМИ, 1978, вып. 57 (138), с. 3—24.
2. Алисов Б. П., Берлин И. А., Михель В. М. Курс климатологии/
Под ред. Е. С. Рубинштейн: — Л.: Гидрометеоиздат, 1954, ч. 3. — 320 с.

3. Анапольская Л. Е., Мандель Д. Г. Методика оценки температурно-внажностного режима наружного воздуха. - Труды ГГО, 1969, вып. c. 105—122.

4. Анапольская Л. Е., Пашина О. Б. Особенности годового и суточного хода температурно-влажностного режима в различных климатических ус-

ловиях. — Труды ГГО, 1970, вып. 268, с. 86—145. 5. Анапольская Л. Е., Сократилина З. И. Методика оценки суровости климата для определения условий работы механизмов и машин. — Труды ГГО, 1967, вып. 210, с. 109—121.

6. Афанасьева И. А., Русманова Т. С. Природно-климатические условия южной пригородной зоны отдыха г. Алма-Аты. — В кн.: Климат и город.

M., 1974, c. 12—14.

7. Ахмеджанов Х. А. Гидрометеорологические исследования в Казах-

стане (предисл. к сб.) — Труды КазНИГМИ, 1970, вып. 36, с. 3-4.

8. Ахмеджанов Х. А., Дегтярев В. И. Об оценке факторов, формирующих микроклимат г. Алма Аты. — Метеорология и гидрология, 1979, № 1,

9. Ахмеджанов Х. А., Гельмгольц Н. Ф. Особенности климатических условий г. Алма-Аты и их роль в загрязнении воздушного бассейна горо-

да. — Труды КазНИГМИ, 1970, вып. 36, с. 127—136.

10. Ахмеджанов Х. А., Саламатин А. М. Расслоение тропосферы для среднеклиматических условий.— Труды КазНИИ, 1980, вып. 66, с. 3—16. 11. Аэроклиматический справочник СССР. — Л.: Гидрометеонздат,

1957, вып. 5, с. 185—187.

12. Байдал М. Х. Қалендарные особенности климата Алма-Аты. — Алма-

Ата: Қазахстан, 1976. — 36 с.

13. Безуглая Э. Ю. Метеорологический потенциал и климатические особенности загрязнения воздуха городов. — Л.: Гидрометеоиздат, 1980. — 182 с. 14. Белоус И. М. Гололедно-изморозевые явления и обледенение проводов на территории Казахстана. -- Автореф. дис. на соискание учен. степени канд.

геогр. наук. — Л., 1969.

15. Белоус И. М. Районирование территории Казахстана по гололедным нагрузкам. — В кн.: Вопросы гидрометеорологии Казахстана. Алма-Ата, 1965. —

16. Берлянд М. Е. Современные проблемы атмосферной диффузии и за-

грязнения атмосферы. — Л.: Гидрометеоиздат, 1975. — 448 с.

17. Биоклиматический атлас Средней Азии.— Л.: Гидрометеоиздат,

1973. — 156 c.

18. Бугаев В. А. Образование струйного течения в атмосфере под влиянием горных массивов Средней и Центральной Азии. — Метеорология и гидрологня, 1958, № 5, с. 3—11.

19. Гавашели Ш. Г. Загрязнение воздуха и предсказание ожидаемого роста уровня некоторых примесей в г. Тбилиси. - Труды ЗакНИГМИ, 1980,

вып. 66 (72), с. 3—17.

20. Гаврилов В. А. Прозрачность атмосферы и видимость. — Л.: Гидро-

метеоиздат, 1958. — 168 с.

21. Гельмгольц Н. Ф. Горно-долинная циркуляция северных склонов Тянь-Шаня. — Л.: Гидрометеоиздат, 1963. — 329 с.

22. Гельмгольц Н. Ф. Горно-долинная циркуляция в предгорной зоне. —

Труды КазНИГМИ, 1961, вып. 14, с. 47—62. 23. Гельмгольц Н. Ф.. Нурумов С. Ж. О некоторых закономерностях ветрового самоочищения атмосферы г. Алма-Аты. — Труды ҚазНИГМИ, 1971, вып. 64, с. 9-16.

- 24. Горленко С. М. К вопросу об устойчивости реального солиечного кадастра. — Бюл. постоянной актинометрической комиссии, 1933. № 1. с. 6--
- 25. Дегтярев В. И. О роли метеорологических факторов в опасном загрязнении Алма-Аты. — Труды КазНИГМИ, 1978, № 2, с. 116—128.

26. Дейчева В. Г. Некоторые характеристики значительных осадков на территории Казахстана. — Труды КазНИГМИ, 1977, вып. 63, с. 62—74.

- 27. Заварина М. В.— Стронгельная климатология.— Л.: Гидрометеонздат, 1976. — 312 c.
- 28. Заварина М. В., Глухов В. Г. Рекомендации по расчету гололедных нагрузок на высотные сооружения. — Л.: Гидрометеоиздат, 1976. — 24 с.
- 29. Калитин Н. Н. Учет сумм тепла солнечной радиации. Изв. научно-

мелиорационного ин-та, 1923, вып. 5, с. 49—73. 30. Климат Казахстана/Под ред. А. С. Утешева. — Л.: Гидрометеоиздат,

1959. — 368 c.

- 31. Климатические волны холода, тепла и влажные нериоды на территории Казахстана (приложение с месячными прогнозами погоды). — Алма-Ата, 1974. — 39 c.
- 32. Климат Бреста/Под ред. Ц. А. Швер, И. А. Савинского. Л.: Гидрометеонздат, 1979. — 160 с.
- 33. Климат Минска/Под ред. М. А. Гольдберга. Минск: Вышейшая школа, 1976. — 288 с.

34. Климат Новосибирска/Под ред. С. Д. Кашинского, К. Ш. Хайрулли-

на, Ц. А. Швер — Л.: Гидрометеонздат, 1979. — 223 с. 35. Климат Ярославля/Под ред. Ц. А. Швер. — Л.: Гидрометеонздат,

1979. — 140 c.

36. Комиссарова Л. Н. Опасные явления погоды на территории Казахстана, обусловленные выходом южных циклонов различных типов. — Труды КазНИГМИ, 1978, вып. 72, с. 100—115.

37. Липовская В. И. Кратковременные снеговые нагрузки. — Труды ГГО, 1971, вып. 283, с. 35—41.

- 38. Липовская В. И. Учет сильных снегопадов при определении снеговых нагрузок. — Информ. письмо ГУГМС № 19. М.: Гидрометеоиздат,
- 39. Маслова Т. В. Аэроклиматическая характеристика тропопаузы над

Алма-Атой и Кустанаем. — Алма-Ата, 1968, с. 3—7. 40. Маслова Т. В. Изучение потенциала загрязнения воздуха. — Алма-

Ата, 1974, с. 7—17, 46—85.

- 41. Морозова М. И., Петросянц М. А., Чернышева О. Н. Среднее поле ветра над горными системами Средней и Центральной Азии. Труды ИМАН УзССР, 1962, вып. 25, с. 23—44.
- 42. Мусаелян Ш. А. Планетарные орографические волны в западном потоке. — В кн.: Вопросы динамической метеорологии. М.: Изд-во АН СССР, 1960, c. 21—54.
- 43. Наставление гидрометеорологическим станциям и постам. Вып. 3. ч. 1. Л.: 1969. — 308 с.

44. Новый аэроклиматический справочник свободной атмосферы над СССР. — М.: Гидрометеоиздат, 1980, т. 1—3, с. 17—20.

45. Пивоварова З. И. Характеристика радиационного режима па территории СССР применительно к запросам строительства. — Л.: Гидрометеоиздат, 1973. — 127 с. — (Труды ГГО. Вып. 321).

46. Платонова А. Ф., Тулина Л. П. Распределение высоких температур воздуха по территории Казахстана. — Труды КазНИГМИ, 1978, вып. 72,

47. Раунер Ю. Л., Чернавская М. М. Тепловой баланс города и влияние городского озеленения на температурный режим. - Изв. АН СССР. Cep. reorp., 1972, № 5, c. 46-53.

48. Рекомендации по описанию климата большого города. — Л.,

1976. --- 143 c.

49. Романов Н. Н. Пыльные бури в Средней Азии. — Ташкент: СамГУ, 1960. — 198 c.

50. Семенов О. Е., Тулина Л. П. Пространственное и временное распределение опасных и особо опасных пыльных бурь на территории Казахстана. — Труды ҚазНИГМИ, 1978, вып. 71, с. 62—74.

51. Справочник по климату СССР. Вып. 18, ч. 1—4. — Л.: Гидрометео-

издат, 1966—1968, с. 117, 550, 568, 669. 52. Ткаченко Н. С., Федюшина Л. П. Некоторые характеристики температуры и промерзания почвы в предгорьях Заилийского Алатау. — Труды ҚазНИГМИ, 1965, вып. 22, с. 106—111.

53. Трифонова Т. М., Гашинская Э. Н. Режим низких температур на территории Казахстана. — Труды КазНИГМИ, 1978, вып. 72, с. 21—30.

54. Тулина Л. П., Ткаченко Н. С. О температурных контрастах в районе г. Алма-Аты и его пригородах. — Труды КазНИИ, 1980, вып. 66, с. 74—83.

55. Федюшина Л. П. Распределение пыльных бурь на территории Алма-Атинской и Джамбулской областей как одной из форм проявления дефляции почв. — Труды ҚазНИГМИ, 1972, вып. 49, с. 76—83.

56. Чеботарева З. П. Плотность застройки и микроклимат территории жилых микрорайонов в оазисах Средней Азин. — В кн.: Климат и город,

1974, c. 131—133.

57. Чередниченко В. С. Тропопауза и максимальный ветер над Казах-

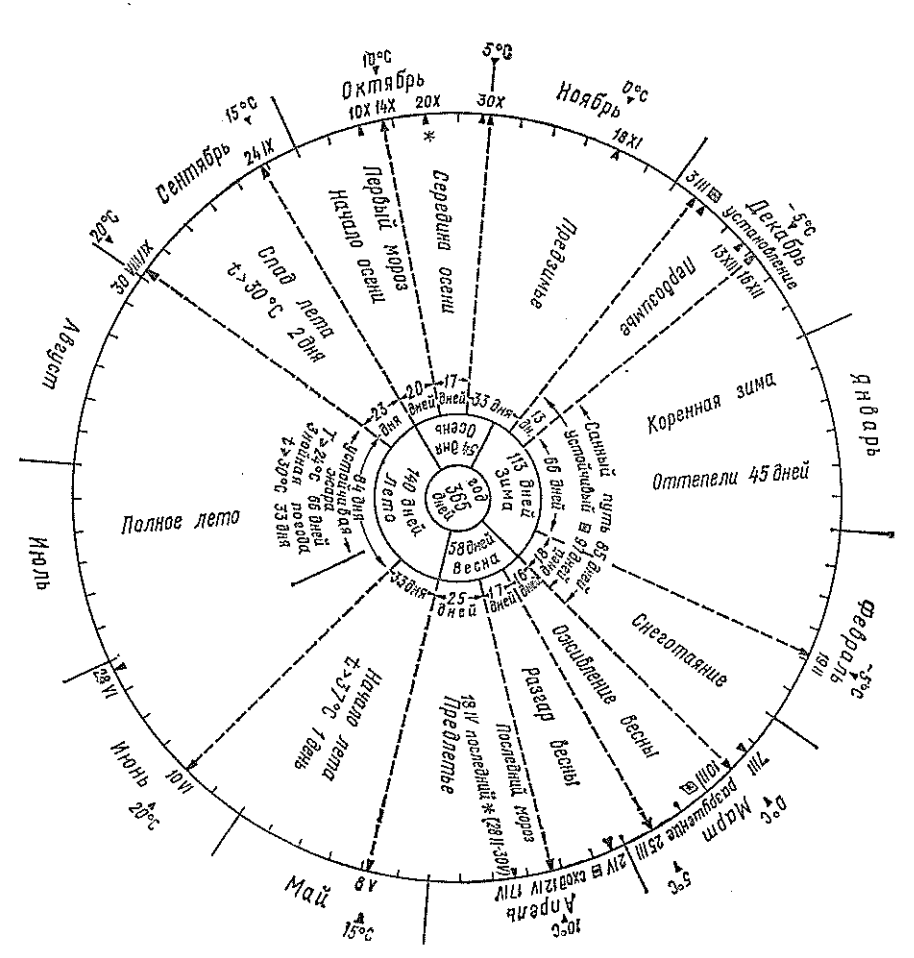
станом. — Алма-Ата, 1975, с. 114-155.

58. Швер Ц. А. Атмосферные осадки на территории СССР. — Л.: Гидрометеоиздат, 1976. — 302 с. 59. Швер Ц. А. Исследование результатов наблюдений по дождемеру и

осадкомеру. — Л.: Гидрометеоиздат, 1965. — 170 с.

60. Швер Ц. А. Расчет увлажиения стен косыми дождями. — Информ. письмо ГУГМС № 19. М.: Гидрометеоиздат, 1972, с. 145—152. 61. Шкловер А. М. Теплотехнический расчет наружных ограждений в южных районах. — Строительная промышленность, 1951, № 3, с. 81—86.

приложение. таблицы климатических данных



Календарь климатических сезонов г. Алма-Аты.

Таблица 1 Радиационный режим

Почасовая продолжительность (ч) солнечного сияния

					-		Инте	ервал	време	ни, ч						
Месяц	4-5	5-6	6-7	22	68	9-10	10—11	11-12	12—13	13-14	14—15	15–16	16—17	17—18	18—19	19—20
I II III IV V VI VIII VIII VIII X X X X	l 1.0	5,4 13,8 11.8	16,7 20,2 22,1 19,8 9,4	9,8 16,9 19,3 21,9 24,5 23,9 21,0 12,4	10,0 14,3 18,5 20,6 23,0 25,2 25,0 23,8 20,0 11,0	12,9 15,9 19,4 21,4 23,4 25,7 25,5 24,6 21,4 15,2	15,0 16,6 19,3 21,7 23,7 26,6 26,1 24,9 22,1 16,8	16,0 16,4 19,0 21,4 23,2 26,0 26,2 25,0 17,5	15,6 15,6 18,8 20,6 21,9 24,9 25,4 24,3 21,7	14,9 18,0 19,3 21,2 23,7 24,5 23,6 21,6	14,1 13,9 16,6 17,6 20,3 23,3 23,7 22,8 20,5 15,4	10,6 11,8 15,1 17,0 19,3 22,6 23,1 21,7 18,2 11,2	3,8 8,4 12,8 15,7 18,2 21,2 21,7 19,1 11,5 2,6	2,0 8,6 14,2 16,3 19,0 19,0 8,4 0,8	1,6 8,5 12,6 13,4 5,8	0,2 1,4 0,6
Год	1	34	102	154	205	233	245	248	241	232	216	187	136	88	42	2

Таблица 2
Средняя месячная интенсивность прямой радиации (кВт/м²)
на перпендикулярную поверхность, вычисленная за периоды 1940—1950 гг.
(числитель) и 1962—1972 гг. (знаменатель)

	Высота солица, °													
Me-						Выс	ота сол	ища, в						
СИЦ	5	10	15	20	25	30	35	40	45	50	55	60	65	70
1	0,41 0,13	$\frac{0,61}{0,29}$	$\frac{0,75}{0,37}$	$\frac{0.82}{0.51}$	$\frac{0,87}{0,58}$	 0,64								
II	$\frac{0,39}{0,14}$		$\frac{0,68}{0,39}$	$\frac{0,77}{0,47}$	$\frac{0,82}{0,54}$	$\frac{0,86}{0,59}$	0,64							-
Ш	$\frac{0,40}{0,17}$	$\frac{0,55}{0,30}$	$\frac{0,68}{0,40}$	$\frac{0,74}{0,48}$	0,54	$\frac{0,84}{0,59}$	0,64	0,67						
IV	$0,31 \over 0,19$	$\frac{0,47}{0,36}$	$\frac{0,60}{0,50}$	$\frac{0,68}{0,58}$	$\frac{0,73}{0,64}$	$\frac{0.78}{0.69}$	0,75	0,78	$\frac{0,87}{0,81}$	0,83	0,84			
V	0,31	$\begin{array}{ c c } \hline 0,45 \\ \hline 0,34 \\ \hline \end{array}$	$\frac{0,57}{0,50}$	$\frac{0,65}{0,61}$	0,67	$0,75 \\ \hline 0,72$	0,75	0.80	0,82	0,85	0,87	$\frac{0,89}{0,89}$	$\overline{0,91}$	
VI	0,32	$\frac{0,47}{0,43}$	$\frac{0,61}{0,57}$	$\frac{0,68}{0,67}$	$\frac{0,73}{0,73}$	$\begin{bmatrix} 0,76\\ \overline{0,75} \end{bmatrix}$	0,77	0,80	0.82	0.83	0.85	$\frac{0,87}{0,87}$	0.89	$\frac{0,90}{0,90}$
VII	$\frac{0,32}{0,17}$	$\frac{0,47}{0,37}$	$\frac{0,58}{0,52}$	$\frac{0,66}{0,64}$	0,69	0,73	0,77	0,80	0.82	0.84	0.87	$\frac{0,89}{0,89}$	0,91	$\frac{0,92}{0,92}$
VIII	$\frac{0,32}{0,29}$	$\frac{0,48}{0,45}$	$\frac{0,57}{0,55}$	$\frac{0,64}{0,62}$	0,67	0,70	$\frac{0,76}{0,74}$	0,77	0,80	0.82	0,84	$\frac{0,86}{0,86}$	$\frac{-}{0,87}$	
IX	$\frac{0,31}{0,21}$	$\frac{0,45}{0,36}$	$\frac{0,59}{0,46}$	$\frac{0,67}{0,54}$	$\frac{0,73}{0,61}$		0,72	0,76		$\frac{0,89}{0,83}$,		
X	$\frac{0,36}{0,26}$	0,36	$\frac{0,64}{0,45}$	$\frac{0,71}{0,54}$	$\frac{0,76}{0,62}$	$\frac{0,81}{0,69}$	$\frac{0,85}{0,76}$	$\frac{0,89}{0,82}$						
, XI	$\begin{array}{ c c }\hline 0,42\\\hline 0,22\end{array}$	$0,59 \\ 0,35$	$\frac{0,70}{0,45}$	$0,77 \over 0,54$	$\frac{0.82}{0.61}$	$\frac{0,87}{0,67}$								
IIX	$\frac{0,44}{0.14}$	$\frac{0,61}{0,28}$	$\frac{0,73}{0,40}$	$\frac{0.81}{0.51}$	$\frac{0,87}{0,59}$									

 $Tаблица\ 3$ Интенсивность рассеянной радиации (к $B\tau/м^2$) в зависимости от массы атмосферы

						Mace	а атмос	þеры					•
Месяц	8	5	4	3	2	1,5	пол- день	1,5	2	3	4	5	8
I III III V V VI VIII VIII IX X XI XII	0,03 0,03 0,03 0,03 0,03	0,06 0,06 0,06 0,06	0,09 0,08 0,07 0,06 0,06 0,06 0,06 0,06	0,08 0,08 0,08 0,08 0,10	0,19 0,14 0,14 0,13 0,12 0,12	0,18 0,15 0,15 0,15 0,13	0,19 0,22 0,27 0,30 0,28 0,22 0,17 0,18 0,17 0,17 0,17 0,15	0,23 0,17 0,16 0,16 0,15 0,14 0,15 0,19	0,14	0,14 0,13 0,12 0,12 0,11 0,10 0,08 0,08 0,09 0,10 0,10 0,12	0,08 0,07 0,07 0,07 0,06 0,07 0,07 0,08 0,07	0,08 0,07 0,07 0,06 0,06 0,06 0,06 0,06 0,06	0,04 0,03 0,03 0,03 0,03 0,03 0,03 0,03

Таблица 4 Средние многолетние дневные суммы рассеянной радиации $[MДж/(m^2 \cdot 10^{-2})]$. Алма-Ата, ГМО

Период, годы	ı	11	111	IV	V	1V	VII	NIII	ΙX	х	Χī	11%
1942—1954	377	545	612	708	763	767	645	587	465	398	331	302
1942—1977	356	515	633	733	821	809	721	624	520	415	318	285

 ${\it Taблица~5}$ Интенсивность суммарной радиации (к Bt/m^2) при ясном небе

Месяц		Время, ч														
ичесиц	S	6	7	8	9	10	11	12	13	14	15	16	17	18	19	20

1945—1954 гг.

$ \begin{array}{c c c c c c c c c c c c c c c c c c c $	0,09 0,01 0,14 0,02 0,12 0,01
---	-------------------------------------

Таблица 6 "

Интенсивность суммарной радиации (кВт/м²) при средних условиях облачности

							обла	чнос	ТИ			_				
	Время, ч															
Месяц	5	6	7	8	9	10	11	12	13	14	15	16	17	18	19	20
						1	941—	-1954	г г.							
I III IV V VII VIII IX X XI XI	0,01	0,06	0,1 0,2 0,2	0,05 30,13 00,23 90,33 20,35 20,37 50,30 70,22	0,16 0,26 0,36 0,45 0,45 0,52 0,45 0,23	50,28 50,3 50,5 50,5 00,5	9 0,27 8 0,37 7 0,47 7 0,54 8 0,66 8 0,68 8 0,68 2 0,61 4 0,43 0 0,28 6 0,23	0,43 0,51 0,59 0,68 0,71 0,78 0,66	0,45 0,45 0,68 0,68 0,68 0,75 0,75 0,64	40,38 90,44 80,52 80,61 80,63 60,70 10,66 40,59 70,42	0,28 0,36 0,52 0,54 0,54 0,61 0,57 0,49	0,17 10,34 10,43 10,43 10,43 10,43 10,36 10,20	0,03 0,21 0,29 0,31 0,35 0,30 0,20	0,03 0,09 0,17 0,19 0,21 0,15 0,07	0,08 0,08 0,03	0,01 0,01
							1966–	-1978	fr.							
I III VV VI IV IIV XX XI XI XI XI	0,01	0,01 0,05 0,08 0,07 0,02	0,03 0,03 0,13 0,23 0,23 0,00 0,0	0,05 20,12 80,23 90,34 20,38 10,37 50,33 60,21	0,18 0,23 0,37 0,47 0,52 0,54 0,37	0,2 0,3 0,4 0,5 0,6 0,6 0,6 0,5 0,5	510,24 410,33 500,37 90,57 90,68 50,75 60,77 110,71 000,59 40,42 000,27	0,38 0,47 0,61 0,77 0,77 0,80 0,75 0,65	0,35 0,47 0,58 0,68 0,75 0,75 0,75 0,63	50,34 70,40 80,52 80,61 50,70 70,71 50,66 80,56	0,24 0,31 0,51 0,59 0,61 0,56 0,45 0,45	0,14 0,21 0,31 0,40 0,47 0,49 0,43 0,19	0,05 0,17 0,27 0,33 0,34 0,28 0,17 0,07	0,02 0,08 0,15 0,20 0,19 0,13 0,06	0,01 0,05 0,08 0,07 0,03	0,01 0,01

Таблица 7 Возможные суточные суммы суммарной радиации $[M \square \# / (\mathbb{M}^2 \cdot 10^{-2})]$

				Гитт	ж/ (м"	· 10-2	<u>)] </u>					
Число	I	11	1111	IV	v	VI	VII	IIIV	X1	х	11	ııx.
7	721	1131	1550	2221	2849	3256	3218	2962	2472	1886	1299	859
2	725	1144	1567	2246	2870	3264	3210	2950	2451	1865	1278	851
3	737	1156	1584	2263	2891	3268	3205	2937	2430	1844	1257	838
4	754	1173	1609	2284	2908	3272	3197	2925	2409	1827	1240	830
5	767	1186	1626	2309	2925	3277	3193	2912	2388	1810	1224	821
6	775	1198	1638	2334	2941	3281	3189	2904	2367	1793	1207	817
7	792	1215	1659	2363	2958	3281	3184	2891	2346	1777	1190	809
8	805	1228	1676	2388	2967	3281	3176	2874	2325	1760	1169	800
9	821	1240	1701	2413	2979	3281	3168	2862	2305	1739	1144	796
10	838	1253	1718	2439	2996	3281	3159	2849	2284	1718	1131	788
11	846	1270	1735	2472	3004	3281	3151	2832	2263	1697	1115	784
12	863	1282	1760	2485	3025	3281	3143	2820	2242	1676	1098	779
13	880	1295	1772	2510	3034	3277	3134	2803	2221	1659	1081	771
14	897	1307	1793	2531	3050	3277	3126	2786	2200	1643	1064	767
15	909	1324	1814	2552	3067	3277	3117	2770	2179	1626	1043	763
16	918	1337	1835	2573	3080	3272	3105	2753	2162	1609	1022	758
17	930	1353	1852	2594	3088	3272	3096	2740	2145	1601	1006	754
18	947	1366	1873	2627	3101	3272	3088	2724	2133	1592	997	750
19	955	1374	1898	2640	3113	3268	3084	2707	2120	1584	989	746
20	964	1387	1923	2661	3126	3264	3080	2690	2108	1563	981	742
21	985	1404	1944	2682	3138	3264	3071	2673	2095	1546	964	742
22	997	1420	1969	2703	3151	3260	3059	2665	2074	1525	955	737
23	1014	1437	1990	2724	3163	3256	3050	2640	2053	1504	947	737
24	1027	1454	2020	2744	3172	3251	3042	2623	2032	1441	934	737
25	1039	1467	2053	2761	3184	3247	3034	2606	2011	1420	922	733
26	1052	1488	2078	2778	3193	3243	3025	2589	1990	1404	905	729
27	1064	1500	2103	2795	3205	3239	3017	2573	1969	1383	897	729
28	1073	1517	2129	2807	3218	3231	3008	2556	1948	1362	888	725
29	1089	1529	2149	2820	3226	3226	2996	2535	1927	1345	880	725
30	1106		2170	2837	3239	3222	2988	2514	1906	1332	867	721
31	1119		2200		3251	1	2975	2497		1312		717

Таблица 8 Средние часовые и суточные суммы суммарной радиации $[M / (M^2 \cdot 10^{-2})]$ при ясном небе (первые I - XII) и средних условиях облачности (вторые I - XII). 1941—1954 гг.

		•					······································	1	Зремя	, น	·						
Месяц	5	6	7	8	9	10	11	12	13	14	15	16	17	18	19	20	сут- ки
I III III III VI	4 8 4	8 34 46 38 13 4	4 2 59 96 109 105 71 34 8	8 29 84 130 226 176 168 138 101 50 8 4	50 101 155 201 226 230 226 197 163 117 59 34	105 159 205 260 277 285 277 251 218 168 117 92	143 201 251 297 314 323 314 289 260 205 155 126	168 222 268 323 339 335 310 281 230 176 147	172 226 277 318 339 344 331 306 281 230 176 147	147 205 251 302 318 323 314 285 260 205 151 126	101 155 205 260 277 285 277 247 218 168 113 88	59 101 155 201 226 239 226 193 159 109 54 38	8 34 88 134 163 180 168 134 92 42 13 4	4 21 59 92 113 101 67 29 4	13 34 50 42 17 4	8 4	961 1441 1962 2565 2969 3058 2930 2522 2104 1536 1022 806
I II III IV VIII VIII IX X XI XII	4 4	8 21 34 29 13	13 38 67 80 80 54 25 4	4 17 46 84 117 126 134 109 80 34 8	29 59 92 130 163 176 189 163 134 42 25	67 101 134 171 210 210 230 210 189 122 71 59	94 134 168 197 239 247 260 243 222 155 101 84	113 155 184 214 247 256 281 264 239 168 117 96	113 159 176 210 243 247 272 256 230 168 117 96	101 138 159 189 222 226 251 239 214 151 101 84	71 105 130 159 189 193 218 205 176 113 71 59	34 63 92 122 155 155 176 155 130 71 38 25	8 21 46 75 105 113 126 109 71 29 8 4	13 34 63 67 75 54 25 4	4 21 29 29 13 4	4	634 952 1253 1635 2066 2167 2358 2087 1739 1103 674 536

Tаблица 9 Средние часовые суммы суммарной радиации $[M \coprod \mathbb{H}/(\mathbb{M}^2 \cdot 10^{-2})]$ при ясном небе (первые I—XII) и средних условиях облачности (вторые I—XII). 1966—1975 гг.

			-					Bpe	ия, ч			•				
Месяц	5	6	7	8	9	10	11	12	13	14	15	16	17	18	19	20
I III IV V VI VII VIII IX X	4 4 4	4 8 25 38 25 8 4	4 17 54 96 109 96 113 25 4	4 17 75 126 168 176 159 159 92 29 8	42 71 134 205 235 239 230 226 163 84 54	88 122 193 251 289 289 235 256 214 126 105	122 155 235 272 327 331 314 297 256 155 134	138 180 256 314 344 344 314 272 172 151	138 180 260 310 344 256 335 306 277 172 151	117 155 235 289 306 331 306 285 251 151 130	80 113 193 243 277 285 277 247 205 122 88	34 59 130 184 226 222 226 193 147 75 46	17 71 117 159 163 151 126 84 29 8	4 17 50 88 96 117 54 29 4	4 8 29 42 34 13 4	4 4 4

	Время, ч															
М'есяц	5	6	7	8	9	10	11	12	13	14	15	16	17	18	19	20
шх				4	25	71	105	122	126	113	63	25	4			
I III IV V VII VIII IX X XI	4 4	4 17 29 25 8	8 29 67 80 75 54 21 4	4 17 42 84 122 138 134 117 75 29 8 4	29 54 84 134 172 189 193 168 134 80 38	54 88 109 176 214 235 239 218 180 122 71 46	88 117 134 205 247 268 277 256 214 151 96 71	105 138 172 218 251 277 289 272 235 168 109 80	105 126 168 210 243 272 277 268 226 159 109 80	88 122 147 189 218 251 256 239 201 142 88 63	59 88 113 155 184 214 218 201 163 109 59 42	25 50 75 113 147 172 176 155 117 67 29 17	4 17 38 63 96 117 122 101 63 25 8	8 29 54 71 67 46 21 4	4 17 29 25 13	4 4

Таблица 10 Часовые и суточные суммы радиационного баланса $[MДж/(м^2\cdot 10^{-2})]$. 1966—1975 гг.

	1	l	Ī	ı						Ī	·····	
Время, ч	ī	11	III	VI	v	17	117	VIII	ıx	х	ΧI	11X
1 2 3 4 5 6 7 8 9 10 11 12 13 14 15 16 17 18 19 20 21 22 23 24 С умма за с утки	-8 -8 -8 -8 -8 -8 -8 -8 -17 21 17 21 17 8 -8 -13 -8 -13 -8 -13 -8 -13 -8 -13 -13 -13 -15 -15		38 13 -4 -13 -13 -13 -13 -13	-17 -13 -13 -13 -13 -13 -13 -13 -13 -13 -13	134 163 172 168 147 122 59 25 0 —13 —17 —17 —17	-17 -17 -17 -17 -17 -17 -17 -15 1180 189 184 172 142 109 71 38 4 -17 -17 -17	67 29 0 17 21 21 21 21	—17 —17 —17 —17 —17 —13 —13 —13 —13 —21 —21 —21 —21 —21	59 21 8 21 21 21 21	0 29 59 84 96 96 84 59 0 -13 -17 -17 -17 -17	25 42 50 54 42 25 -13 -13 -13 -13 -13	-8 -8 0 131 21 25 25 21 8 4 -8 -13 -13 -13 -13
В макс	235	729	1140	833 1534	1764	1982	1785	1492	619 1081	737	453	302
В мин	-331	293	172	50	102	117	205	80	— 25	— 101	-3 10	369

Tаблица 11 Интенсивность радиационного баланса (кBт/м 2) в зависимости от форм облачности

Месяц	Ясно	Ci	Cs	As	Ac	St	Sc	NsFrnb	Сь
				0 ч 30) мин				
I II III III III III III III III III I	-0,04 -0,05 -0,06 -0,06 -0,06 -0,06 -0,06 -0,06 -0,06 -0,06 -0,06 -0,06	-0,03 -0,03 -0,03 -0,04 -0,05 -0,05 -0,05 -0,05 -0,04 -0,04 -0,04 -0,03	-0,03 -0,03 -0,03 -0,04 -0,03 -0,03 -0,05 -0,04 -0,03 -0,03	$\begin{array}{c} -0,01 \\ -0,01 \\ -0,02 \\ -0,02 \\ -0,03 \\ -0,03 \\ -0,03 \\ -0,06 \\ -0,02 \\ -0,02 \\ -0,01 \\ -0,01 \end{array}$	-0,02 -0,03 -0,03 -0,03 -0,03 -0,03 -0,04 -0,03 -0,03 -0,02 -0,02	-0,01 -0,01 -0,01 -0,01 -0,01 0,02 0,01 0,01	$\begin{array}{c} -0,02 \\ -0,01 \\ \hline -0,02 \\ -0,03 \\ -0,03 \\ -0,03 \\ -0,03 \\ -0,03 \\ -0,03 \\ -0,02 \\ -0,01 \\ -0,02 \\ \end{array}$	-0,01 -0,01 -0,01 -0,01 -0,02 -0,03 -0,02 -0,02 -0,01 -0,01	-0,01 -0,01 -0,01 -0,02 -0,02 -0,02 -0,03 -0,03 -0,03 -0,03 -0,03 -0,00
				12 ч 30) мин				
I III IV VI VIII VIII IX X XI XII	0,09 0,17 0,43 0,58 0,65 0,65 0,61 0,56 0,44 0,34 0,19 0,10	0,08 0,20 0,40 0,54 0,60 0,69 0,61 0,54 0,46 0,31 0,19 0,10	0,10 0,16 0,31 0,43 0,43 0,21 0,42 — 0,15 0,19 0,10	0,04 0,09 0,17 0,21 0,24 0,17 0,18 0,14 0,09 0,07 0,05	0,10 0,10 0,27 0,40 0,48 0,36 0,56 0,27 0,22 0,14 0,04	0,04 0,08 0,10 0,14 - 0,01 - 0,05 0,06 0,03	0,05 0,09 0,13 0,21 0,24 0,27 0,22 0,27 0,10 0,10 0,06 0,06	0,02 0,03 0,09 0,10 0,11 	0,03 0,06 0,06 0,11 0,14 0,10 0,10 0,13 0,07 0,08 0,03 0,02

 $\begin{tabular}{ll} $Taблицa$ & 12 \\ \begin{tabular}{ll} Интенсивность эффективного излучения (кВт/м²) \\ \end{tabular}$

Месяц	Ясно	Cı	Cs	As	Ac	St	Sc	Ns,Frnb	СЪ
				12 ч	30 мин				
I III VV VI VIII VIII X X XI XI	0,08 0,09 0,13 0,15 0,13 0,15 0,17 0,17 0,17 0,15 0,11	0,08 0,09 0,11 0,15 0,12 0,15 0,15 0,16 0,14 0,14 0,10 0,07	0,06 0,07 0,10 0,15 0,06 0,03 0,13 	0,03 0,04 0,04 0,07 0,05 - 0,04 0,06 0,09 0,05 0,04 0,02	0,03 0,05 0,08 0,10 	0,01 0,03 0,03 0,04 — — 0,02 — 0,03 0,03 0,02	0,01 0,02 0,04 0,07 0,06 0,04 0,07 0,09 0,04 0,03 0,03	0,01 0,02 0,02 0,03 0,03 - 0,01 0,05 0,02 0,02 0,01	0,02 0,01 0,02 0,03 0,03 0,03 0,02 0,02 0,02

Особенности атмосферной циркуляции

Таблица 13
Повторяемость (%) ветра различных скоростей по направлениям в разные часы суток. Алма-Ата, ГМО

Скорость ветра, м/с	С	СВ	В	ЮВ	IO	103	3	СЗ
nerpu, mie								
				Январь 1 ч				
0—1 2—5 6—9	4,5 0,9	7,0	8,2 1,5	26,8 6,7 0,5	13,7 4,8 0,2	11,3 4,4 0,5	2,8 1,6 0,1	2,8 0,2
0—1 2—5 6—9	4,6	7,9 2,0	10,0 1,6	7ч 19,6 7,5 0,2	15,7 5,0	14,9 3,9 0,2	2,1 0,8	2,3 1,0
				13 ч		·		
0—1 2—5 6—9 10—13	15,1 4,7	11,4 5,0	2,9 0,3 0,1	3,4 0,5 0,2	5,9 1,8	13,2 3,9 0,3 0,1	12,5 3,4 0,2	12,6 2,5
0.1			2.5	19 ч				
0—1 2—5 6—9	$\left \begin{array}{c} 6,1\\0,6\end{array}\right $	9,1 2,9	6,0 0,8	16,7 6,5 0,2	14,2 4,6 0,4	12,6 6,8 0,3	6,0 0,8 0,1	4,8 0,5
			Ç	Ревраль 1 ч				
0—1 2—5 6—9	2,1	6,1 2,0	6,3 1,6	26,8 10,1 0,5	13,8 4,7 0,3	10,0	4,2 1,6 0,1	3,7 1,3
. 0.1			0.7	7 ч				
0—1 2—5 6—9	5,1	11,1	8,7	15,9 7,0 0,1	$\begin{bmatrix} 16,2\\7,2\\0,2 \end{bmatrix}$	$\begin{bmatrix} 10,7 \\ 4,2 \\ 0,2 \end{bmatrix}$	3,4 1,4	4,0 0,9
0—1	15,9	76 1	90 1	13 ч 1,3	2 O I	19 4 1	14.7 1	12.0
2—5 6—9	5,9	7,6 5,6 0,3	2,0	0,8	3,2	12,4 5,3	14,7 5,5 0,1	13,0 4,3
0 —1	6,8	951	49 E	19 ч 15,3 [1901	10 € 1	67 1	C 1
2—5 6—9	0,9	$\stackrel{8,5}{\stackrel{2,5}{\scriptstyle ,5}}$	4,2 0,6	4,9 0,1	13,8 6,4 0,4	13,5 5,1 0,4	6,7	6,1 1,8
				Март 1 ч				
0—1 2—5 6—9	3,3	8,5 2,2 0,1	4,7 1,3 0,2	23,0 15,0 0,7	12,7 6,8 0,2	8,1 4,0 0,5	2,6 1,3 0,2	2,9 0,7 0,1

Скорость ветра, м/с	С	СВ	В	ЮВ	IO	103	3 .	СЗ
0—1 2—5 6—9 10—13 14—17	3,7	8,5 1,3 0,1	6,1	7ч 21,5 8,7 0,7	14,3 6,1 0,5	11,9 4,7 0,2	4,5 1,2 0,1	2,2 1,3 0,1
0—1 2—5 6—9 10—13	10,3	8,0 11,2 0,5	1,2 1,2	13 ч 1,8 1,0	3,3 2,2	9,5 6,1 0,2	10,9 6,3 0,2 0,1	10,5 6,4 0,2
01 25 69 1013 14-17 18-20	6,0 1,3 0,1	11,0 3,1	5,2 1,2	19 ч 12,0 12,7 0,7	10,4 8,5	9,0 5,2 0,2	6,3 1,6 0,1	4,4 0,8 0,1
				Апрель 1 ч				
0—1 2—5 6—9 10—13 14—17	0,9	1,9	3,9 1,4	21,0 29,9 1,9	8,5 9,8 0,6	5,1 3,8 0,1	2,4 2,9 0,1	2,4 1,0
18—20		ļ		l 7ч	0,1	I	1	
0-1 $2-5$ $6-9$ $10-13$ $14-17$	1,0	6,9 2,1	4,2 0,7	20,2 8,5 0,6 0,1	14,9 8,0 0,8 0,1 0,1	9,9 4,8 0,1	4,5 3,0 0,1	3,7 1,4
0—1	1 2 2	177	1 20.	13 ч	ı 10	1 42	6,4	1 7 B
2—5 6—9 10—13	8,8 13,8 0,2	7,7 14,2 0,5	3,2 2,4 0,1	1,7 1,4 0,2	1,8 1,9 0,6	4,3 3,6 0,6 0,1	7,4 0,7 0,2	7,6 10,1 0,4 0,1
0—1 2—5 6—9 10—13	$ \begin{array}{ c c } 6,6 \\ 1,9 \\ 0,2 \end{array} $	18,0 7,0 0,2	5,0 2,3	8,3 11,3 1,3	7,2 10,1 1,0 0,1	3,7 5,0 0,2 0,1	2,4 2,9 0,1 0,1	3,8
0—1 2—5 6—9 10—13 14—17	0,9	1,5	3,6 1,5	Май 1 ч 17,5 39,0 5,9 0,1 0,2	5,6 10,4 1,5 0,1	3,5 3,2 0,3	1,2 0,8 0,1	0,6 0,9 0,2 0,1

Скорость ветра, м/с	С	СВ	В	ЮВ	Ю	юз	3	СЗ
0 1				7 ч	-			
0-1 $2-5$ $6-9$ $10-13$	5,2 1,8 0,1	7,7 1,7	7,1 1,4	24,1 7,9 0,8	12,7 6,0 0,2	6,6 2,8 0,8	4,4 2,8 0,2 0,1	2,8 1,8
A 1				13 ч				
0—1 2—5 6—9 10—13	8,3 11,8 0,1	10,2 14,2 0,3	4,3 3,5	1,0 1,5 0,5 0,1	2,2 2,4 0,7 0,1	4,0 5,4 0,4	4,5 8,3 0,6	6,8 8,6 0,2
01		ו פ חפו	70	19 u			0.0.1	2.2
2—5 6—9 10—13 14—17	5,5 0,8 0,1	20,3 4,2 0,1	7,2 2,1 0,1	7,8 11,1 1,4 0,2 0,1	6,8 10,1 2,0 0,3 0,2	5,3 4,2 0,6 0,1 0,1 0,1	2,8 2,3 0,2	2,2 1,4 0,1
18—20		0,1			-,-	0,1	0,1	
				Июнь 1 ч				
0—1 2—5 6—9 10—13 14—17	0,7 0,5	0,5 0,5	1,9 2,0 0,2	15,9 46,8 6,0	5,7 11,7 0,8 0,2	1,4 2,6 0,4 0,2 0,1	0,6 0,7 0,1 0,2	0,1 0,1
18—20	ĺ	ļ		0,1 7 म		ļ		4
0—1 2—5 6—9 10—13	4,4 0,7	5,6 1,5	8,2 1,1	29,9 12,1 0,6	10,8 6,3 0,2	5,6 3,2 0,1	3,9 1,8 0,2	2,5 1,0
14—17		-			0,2		0,1	
0-1	9,4	13,6	5,4	13 պ 1,7	2,1	4.7 1	561	9.5
2—5 6—9 10—13 14—17	9,4 5,5 0,2	13,6 10,7 0,2	5,4 3,2	3,1 0,7 0,1	4,4 1,0 0,3 0,1	4,7 6,0 0,4 0,2	5,6 5,5 0,5	9,5 5,7 0,2
01	121	11 0 1	7.1	19 ч				
2—5 6—9 10—13	1,3 1,1	11,9 2,5 0,2	7,1 1,9	9,6 19,0 2,4	9,3 14,8 1,4 0,1	3,5 4,8 0,6 0,1	3,0 1,7 0,6	2,5 0,2 0,3 0,1
				Июль				
0—1 2—5 6—9 10—13	0,6 0,3	1,8	2,2 1,4	1 ч 14,2 51,5 5,4	4,7 11,3 0,9 0,2	1,5 1,3 0,2 0,1	0,5 0,8 0,1	0,2 0,5

Скорость ветра, м/с	С	СВ	В	ЮВ	Ю	103	3	сз
0—1 2—5 6—9 10—13	1,3	4,4 1,0 0,1	7,5 1,5	7 ч 33,1 17,5 0,8 0,2	10,7 6,1 0,7	5,3 3,0 0,2	2,6 0,9 0,2	1,0
0—1 2—5 6—9 10—13 14—17 18—20	8,9 7,9	12,3 12,2	5,4 3,0	3,9 2,3 0,3	4,0 4,6 0,9	5,4 6,4 0,1	5,8 4,3 0,1 0,1 0,1	7,8 4,0 0,2
0—1 2—5 6—9 10—13 14—17	1,3	9,7 2,3 0,1	4,6 3,2 0,2	19 प 13,2 27,1 2,1 0,2	8,8 14,1 1,9 0,1	2,5 4,0 0,9 0,1	0,7 0,5 0,2	1,3 0,5 0,1
0—1 2—5 6—9 10—13 14—17	0,1	0,5	1,7	ABryct 1 4 15,4 51,0 4,8	5,8 11,6 1,2 0,1	1,8	0,6	1,0 0,1 0,1
01 25 69 1013	0,3	1,2 0,1	6,7 1,4 0,1	7 ч 33,3 19,0 0,5	13,1 6,2 0,1	8,8 3,6	1,6 1,7 0,3 0,1	0,9 0,8
0—1 2—5 6—9 10—13 14—17	11,8 10,0 0,1	12,1 11,3 0,4	3,1 2,2	13 प 2,1 1,8 0,2 0,2	2,7 3,0 0,6 0,1	6,1 3,7 0,1	9,0	8,3 6,2 0,1
0—1 2—5 6—9 10—13 14—17	1,8	6,5 1,3 0,1	4,8 4,8 0,1	19 ч 11,6 41,3 3,1 0,1	4,0 11,2 0,6 0,2	1,4 2,3 1,1 0,5	0,6 0,1 0,2 0,1	0,7
0—1 2—5 6—9 10—13	0,8	1,1		Сентябрь 1 ч 22,9 48,9 2,7	6,6 8,2 0,2	1,8 1,1 0,4	0,1	0,7

Скорость ветра, м/с	С	СВ	В	воі	Ю	ЮЗ	3	C3 .
0—1 2—5 6—9 10—13	2,4 0,5	3,8 2,7	8,7 1,2	7 ч 32,2 19,4 0,6 0,1 13 ч	12,0 5,3 0,1	4,3 3,1	1,4 0,7 0,1	1,0 0,4
0—1 2—5 6—9 10—13	13,7 12,6 0,1	11,5 12,6 0,5	3,5 3,2	0,2 1,1 0,1	1,4 1,5 0,2 0,2	3,5 3,1 0,2	7,6 4,4 0,4	11,9 6,4 0,1
0—1 2—5 6—9 10—13	1,1	3,7 3,8	4,3 2,8 0,1	19 ч 13,0 47,4 3,4 0,2	3,6 7,7 0,6 0,2	1,4 1,9 0,3	1,2 0,2 0,2	1,5 0,7
				ктябрь 1 ч				
0—1 2—5 6—9	1,5	5,0	4,6 1,8	33,1 28,7 1,3	9,2 5,9 0,1	2,5 1,4 0,1	0,7 0,3 0,2	0, 7 0,5
0—1 2—5 6—9 10—13	2,7	4,0	7,6 1,6	30,2 14,5 1,6	13,3 5,7 0,1	7,7 2,9 0,3 0,1	2,3 0,7 0,2	1,4 0,7
0—1 2—5 6—9 10—13	9,1	13,0 11,6 0,2	2,5 1,3	13 ч 1,4 1,3	2,1	5,8 3,1 0,2	7,7 4,0 0,1 0,1	12,0 5,8
0—1 2—5 6—9 10—13	1,3	7,2	4,5 3,5 0,1	19 ч 23,6 32,3 1,6 0,1	6,0 7,8 0,6	3,5 2,4 0,2	0,7 0,6 0,2	1,4 0,8
0 1			Н	іоябрь 1 ч				
0—1 2—5 6—9	3,2	7,7	6,3 1,5	28,9 12,5 0,6	12,7 5,5 0,4	6,8 3,0 0,4	2,4 0,9 0,2	3,7 0,6
0—1 2—5 6—9	4,9	6,8 2,7	10,2 1,1 0,1		12,5 6,0 0,2	8,8 3,9 0,2	2,6 0,7 0,2	2,4 0,6
0—1 2—5 6—9	17,9 6,7	14,2 6,6 0,1	2,0 0,6	2,4 0,4	3,3 1,3	9,5 3,9	10,8 4,5 0,2	12,5 3,1

Скорость ветра, м/с	С	СВ	В	ЮВ	Ю	юз	3.	СЗ
		·		19 ч				
0—1 2—5 6—9	4,6 0,6 0,1	8,4	7,3 1,5 0,1	20,0 12,1 0,4	15,2 6,4 0,2	8,7 3,2 0,1	3,4 1,0 0,1	4,0 1,0
•)	Цекабрь				
			0.6	1 น เคอ ธ		. 06	. 91 (1.6
0—1 2—5 6—9	4,8 1,0	8,3 2,2 0,1	8,6 1,0	$\begin{bmatrix} 22,5\\8,9\\0,2 \end{bmatrix}$	17,1 6,2 0,2	9,6 3,3 0,1	2,1 1,4	1,6 0,8
				7 ч				0.0
01 25 69	3,5	8,3 1,8 0,2	8,9 1,5	17,3 8,5 0,5	16,9 5,4 0,3	12.2 5,4 0,3	2,5 1,2 0,1	3,3 0,9
•	,			13 ਖ				
0—1 2—5 6—9	14,8 3,6	12,8 5,6	3,3 0,7	3,2 0,6	6,1 0,8	13,9 4,7 0,3	14,3 2,9 0,1	$\frac{10,9}{2,4}$
				19 ч				
0—1 2—5 6—9	7,9 0,8	11,1	6,1 1,3 0,1	18,5 7,3	$ \begin{array}{c c} 12,9 \\ 5,1 \\ \cdot 0,1 \end{array} $	10,3 5,9 0,2	3,7 0,7 0,1	5,4 0,7

Термический режим

Таблица 14
Вероятность (%) положительных и отрицательных отклонений средней месячной температуры воздуха от средней многолетней. 1879—1975 гг.

			Отклон	ения тем	ператур	ы воздух	ка от ној	омы, °С		
Месяц	-12,011,1	-11,010,1	-10,0,9,1	9,08,1	-8,0,7,1	-7,06,1	-6,05,1	-5,04,1	-4,03,1	-3,0,2,1
I III IV V VI VII VIII IX X XI XII	1	0	0	2	1 2 1	0 3 2	2 4 0	5 4 5 1 1	10 6 9 5 5 1	12 5 7 11 6 9 4 5 6 7 13 7

		Оті	слонения те	мпературь	воздух:	а от норі	иы, °С		
Месяц	-2,01,1	-1,0-0,0	0,1-1,0	1,1-2,0	2,1-3,0	3,1-4,0	4,1-5,0	5,1-6,0	6,1-7,0
I II III IV V VI VIII IX X X XI XII	5 2 14 19 15 10 19 17 11 15 15	15 15 10 22 25 30 32 27 40 26 14	9 14 11 6 24 31 25 31 26 22 11 7	15 10 17 19 17 12 14 15 9 14	10 15 12 8 6 5 5 4 3 4 10	12 10 5 0 1 1 1 4 6 6	1 6 3 4 1 1 26	3 2 4	1

Таблица 15
Вероятность (%) различных градаций средней месячной температуры воздуха.
Алма-Ата, ГМО. 1915—1975 гг.

Темпед	ратура, С												
OT	до	I	II	III	IV	V	VI	VII	VIII	IX	х	ΧI	XII
-18,0 -16,0 -14,0 -12,0 -10,0 -6,0 -4,0 0,1 2,1 4,1 10,1 12,1 14,1 16,1 18,1 22,1 24,1 26,1	-16,1 -14,1 -12,1 -10,1 -6,1 -6,1 -2,0 2,0 4,0 6,0 8,0 10,0 12,0 14,0 16,0 12,0 22,0 22,0 22,0 22,0 22,0 26,0 28,0	12 17 24 35 12	2 2 2 5 7 13 25 27 15 2	4 24 25 30 12 5	5 40 20 30 5	11 32 46 9 2	2 35 50 13	14 55 27 4	4 31 51 14	2 18 59 16 5	12 48 29 9 2	2 7 7 27 28 20 7 2	5 7 16 14 18 20 13 7

Таблица 16 Скользящий ряд средней годовой температуры воздуха. Алма-Ата, ГМО. 1921—1978 гг.

Год	5	10	15	20	Год	5	10	15	20
						,		- 1	
1921					1952	8,4	8,7	9,0	8,8
1922					1953	8,4	8,7	9,0	8,8
1923					1954	8,3	8,5	8,9	8,8
1924					1955	8,5	8,6	8,8	8,9
1925	9,0				1956	8,7	8,7	8,8	8,9
1926	9,2				1957	8,8	8,6	8,7	9,0
1927	9,1				1958	8,7	8,6	8,7	9,0
1928	9,1				1959	8,9	8,6	8,7	8,9
1929	8,8				1960	8,7	8,6	8,6	8,8
1930	8,5	8,8		:	1961	8,7	8,7	8,6	8,7
1931	8,2	8,7			1962	8,9	8,8	8,7	8,8
1932	8,2	8,6			1963	9,2	8,9	8,8	8,8
1933	8,3	8,7			1964	9,1	9,0	8,8	8,8
1934	8,3	8,6			1965	9,4	9,1	8,9	8,8
1935	8,2	8,4	8,6		1966	9,3	9,0	8,9	8,8
1936	8,3	8,3	8,6		1967	9,1	9,0	8,9	8,8
1937	8,0	8,1	8,4		1968	8,9	9,0	8,9	8,8
1938	8,1	8,2	8,5		1969	8,7	8,9	8,9	. 8,8
1939	8,5	8,4	8,5		1970	8,6	9,0	8,9	8,8
1940	8,9	8,6	8,5	8,7	1971	8,7	9,0	8,9	8,9
1941	9,5	8,9	8,7	8,8	1972	8,5	8,8	8,9	8,8
1942 •	9,8	8,9	8,6	8,8	1973	8,6	8,8	8,9	8,8
1943	9,7	8,9	8,7	8,8	1974	8,8	8,8	8,9	8,9
1944	9,5	9,0	8,8	8,8	1975	8,9	8,7	9,0	8,9
1945	9,3	9,1	8,8	8,7	1976	8,6	8,7	8,9	8,8
1946	8,9	9,2	8,9	8,7	1977	9,0	8,8	8,9	8,9
1947	9,0	9,4	8,9	8,7	1978	9,0	8,8	8,9	8,9
1948	9,0	9,3	8,9	8,8		475,0	430,5	387,1	343,9
1949	8,8	9,2	8,9	8,8		54	49	44	39
1950	8,8	9,0	9,0	8,8		8,8	8,8	8,8	8,8
1951	8,6	8,8	9,0	8,8					
	'	•							
						1]

Tаблица 17 Суточный ход температуры воздуха (°C). Алма-Ата, ГМО

ž.				-									
	Время, ч	I	11	111	IV	v	VI	ΛΙΙ	VIII	IX	х	ıx	11X
,	1 2 3 4 5 6 7 8 9 10 11 12 13 14 15 16 17 18 19 20 21 22 23 24	8,5,6,7,8,8,8,6,7,6,5,5,8,8,1,8,7,5,5,7,9,0,1,3,6,1,8,1,8,1,8,1,8,1,8,1,8,1,8,1,8,1,8,1	-6,7,9,0,2,-7,5,5,0,8,9,2,5,9,9,0,4,3,2,6,6,6,4,-2,2,3,4,5,5,6,6,6,4,-6,6,6,4,-6,6,6,4,-6,6,6,4,-6,6,6,6,	0,13 -0,3 -0,5 -0,5 -0,5 -0,5 -0,5 -1,3 -4,7 -4,7 -1,3 -1,6 -1,9 -1,9 -1,9 -1,9 -1,9 -1,9 -1,9 -1,9	8,1 7,5 7,7,3 7,2 9,4 10,2 11,2 12,9 13,7 14,3 13,6 10,8 11,5 9,4 9,6 8,6	13,4 13,0 12,6 13,4 14,8 15,7 16,5 17,4 18,9 19,7 19,7 19,4 18,6 15,9 15,9 14,8 14,5 14,5	17,5 17,2 17,0 16,8 16,8 17,9 19,5 20,6 21,2 22,0 24,2 24,4 24,5 24,1 21,9 20,8 19,3 18,8 18,4 18,0	20,3 19,7 19,5 19,5 19,1 19,9 21,8 23,9 25,0 26,9 27,6 27,7 27,9 27,8 27,8 27,3 24,4 21,8 21,4 20,9 20,6	19,1 18,7 18,5 18,0 18,3 20,1 21,5 22,7 23,1 26,9 27,4 27,3 26,6 22,9 21,5 20,9 21,5 20,9 21,5 20,9 21,5	13,9 13,6 13,3 13,0 12,6 14,1 15,9 17,1 18,6 20,5 21,4 22,0 21,9 22,4 22,0 21,2 15,6 15,6 15,6 15,6 14,1	7,52,96,42,41,4,5,56,59,0,52,2,4,0,5,2,8,6,13,52,2,4,0,5,2,8,6,13,13,13,13,13,13,13,13,13,13,13,13,13,	-0,57,9 -0,0,0,1,2 -0,0,0,1,1,2 -1,0,6,6,5,1,7,8,7,9,7,0,8,5,2,0,0,1,1,0,8,5,2,0,0,0,0,0,0,0,0,0,0,0,0,0,0,0,0,0,0	-5,7 -5,8 -6,0 -6,0 -6,0 -6,0 -6,0 -6,0 -54,3 -22,3 -4,7 -22,4 -23,4 -55,4 -55,7 -55,7
	Средняя за 24 ч	-7,4	5,6	1,8	10,5	16,2	20,6	23,3	22,3	16,9	9,5	0,8	-4,8
107	Суточная амплитуда	_ 4,0	4,6	5,5	7,3	7,2	7,7	8,8	9,4	9,8	7,8	5,0	3,8

 Таблица 18

 Повторяемость (%) различных типов погоды в отдельные месяцы и за год.

 Алма-Ата. ГМО

	Алма-Ата, I MO														
№ типа погоды	Тип погоды		I	II	111	IV	v	VI	VII	AIII	IX	х	ΧI	XII	Год
	15 ч 1 0—1 м/с, 0—2 26,1 21,6 10,6 7,7 6,8 14,7 14,8 26,1 24,6 26,1 28,0 21,9 19,1														
1	0—1 м/с, 0 балла	-2 20	6,1	21,6	10,6	7,7	6,8	14,7	14,8	26,1	24,6	26,1	28,0	21,9	19,1
2	2 0—1 м/с, 3—7 8,4 3,9 2,9 6,0 8,1 15,3 14,2 12,3 12,6 11,3 9,7 7,0 9,3 баллов														9,3
3	0—1 м/с, 8— баллов	-10 49	9,4	48,6	50,0	39,0	34,5	24,7	21,6	20,3	27,7	33,2	43,0	57,1	37,4
4	2—5 м/с, 0-	_2	4,2	7,4	7,0	11,7	7,7	10,3	14,5	17,4	13,7	11,3	6,6	3,5	9,6
5		7	0,6	0,7	4,3	5,0	10,0	10,0	12,9	9,7	8,7	2,9	1,0	1,2	5,6
6	баллов 2—5 м/с, 8—	-10 1	1,0	17,8	25,2	30,3	31,9	24,0	20,7	14,2	12,0	15,2	11,7	9,3	18,6
7		_2							0,3						
8	балла > 5 м/с, 3-	_7													
9	баллов > 5 м/с, 8–	-10	0,3			0,3	1,0	1,0	1,0		0,7				0,4
	9 >5 м/с, 8—10 0,3														
						6	5 4				•			,	
1	01 м/с, 0- балла	-2 ³⁸	8,1	39,7	25,8	21,4	16,1	17,4	16,1	25,5	33,0	47,1	43,7	32,6	29,7
2	0—1 м/с, 3- баллов	_7	7,4	8,9	8,1	5,3	8,0	7,3	10,6	7,4	7,0	9,0	4,6	6,5	7,5
3	0—1 м/с, 8— баллов	-10 4	1,6	42,9	47,1	46,7	39,4	24,0	24,5	21,0	22,0	21,9	35,7	47,1	34,5
4		_2	5,2	2,1	2,3	9,3	12,3	19,0	20,7	23,9	23,3	10,6	5,7	4,2	11,6
5		_7	0,6	1,4	1,9	1,7	5,5	10,0	9,4	7,4	5,0	2,6	1,0	1,9	4,0
6	2—5 м/с, 8—	-10	7,1	5,0	14,8	15,0	18,4	22,3	18,7	14,5	9,7	8,8	9,3	7,7	12,6
7-		-2				0,3	•								
8		7													
9	баллов > 5 м/с, 8— баллов	-10				0,3	0,3			0,3					0,1

Ταблица 19 Ежедневная средняя и экстремальная температура воздуха (°С)

ω										·									
Заказ			Сре	дняя сут	очна	N.				Минима	льная					Максим	альная	•	
ıs № 461	Число	t _{make}	год	ī	σ	t _{mini}	год	t _{Make}	год	<u></u>	σ	t _{mun}	год	t _{make}	год	7	σ	t _{MHH}	год
										Январь									
197	1 2 3 4 5 6 7 8 9 10 11 12 13 14 15 16 17 18 19 20 21 22 22 23 24 25 26 27 28 29 29 20 20 20 20 20 20 20 20 20 20 20 20 20	3,17,46,47,210,80,66,77,79,44,43,99,40,48,95,94,44,33,55,32,33,55,32,34,21,36,44,44,44,46,46	1940 1927 1940 1940 1940 1940 1958 1976 1940 1924, 1938 1938 1950 1941 1965 1968 1972 1917 1955 1949 1961 1959 1967 1967 1963 1949 1963 1949 1963 1963 1963 1963	-6,4 -6,5 -6,6 -6,9 -6,3 -6,4 -5,9 -5,7 -7,4 -7,1 -7,5 -6,2 -7,4 -7,4 -6,5 -6,5 -6,2 -6,4	67666666555555555555556665555556 6766666655555555	-25,0 -24,0 -22,0 -24,8 -25,2 -21,2 -19,4 -19,0 -20,8 -18,4 -18,5 -17,5 -21,4 -19,8 -22,3 -21,4 -19,8 -22,3 -21,4 -19,8 -22,3 -21,4 -19,8 -22,3 -25,7 -26,9 -25,5 -23,7 -23,3 -24,3	1930 1955 1930 1966 1956 1956 1931 1931 1937 1974 1974 1923 1935 1935 1935 1943 1943 1944 1954 1929 1929 1929 1929 1929 1969 1969	-1,6 0,4 1,3 3,7 2,4 -0,5 2,0 0,1 0,5 -1,3 0,1 0,1 0,1 0,1 0,1 0,1 0,1 0,1 0,1 0,1	1940 1940 1940 1940 1940 1948 1958 1958 1950 1950 1955 1941 1966 1952 1959 1942 1959 1942 1959 1942 1959 1942 1956 1956	-11,6 -12,0 -12,1 -11,0 -11,4 -11,2 -11,1 -11,3 -11,2 -10,9 -11,5 -10,7 -10,7 -10,6 -10,7 -11,7 -12,0 -11,7 -12,0 -11,0 -11,0 -11,0 -11,0 -11,7 -11,0 -12,0 -11,0 -10,7	676665665565555575556566565666	-25,5,5,26,2,26,2,26,2,26,2,26,2,26,2,26	1935 1955 1930 1930 1956 1956 1916 1931 1919 1937 1937 1919 1943 1943 1943 1929 1943 1929 1929 1929 1929 1929 1969 1919	10,20 13,42 10,5,8 10,5,8 10,5,8 10,5,8 10,5,8 10,5,8 10,5,8 10,6,6,2,9 10,8,9,3,6,2,3,7,7,7 10,7,7 11,7,7	1940 1940 1940 1940 1940 1929 1976 1929 1975 1960 1955 1963 1963 1949 1959 1967 1967 1968 1949 1959 1967 1963 1949 1949 1959	-1,7 -2,6 -1,1 -1,2 -1,5 -1,5 -1,6 -1,1 -1,1 -1,1 -1,4 -0,3 -0,7 -0,2 -0,4 -1,0 -1,8 -1,5 -2,0 -2,2 -1,9 -1,3 -1,5 -1,5 -1,5 -1,5 -1,5 -1,5 -1,5 -1,5	7,6299867,431415967185702816644	-16,9 -22,4 -10,22 -17,5 -19,3 -20,4 -16,8 -15,0 -13,5 -13,8 -13,5 -16,2 -17,6 -17,6 -14,4 -13,6 -20,7 -18,0 -20,7 -18,0 -20,7 -18,0 -22,6 -18,0	1955 1969 1969 1956 1956 1931 1931 1974 1927 1937 1935 1935 1935 1935 1943 1943 1944 1929 1929 1929 1929 1929 1929 1929

		Сре	дняя су	точ	іая				Минима	льная				М	аксимал	ная		
Число	t _{make}	год	\overline{t}	σ	t _{min}	год	t _{Make}	год	\overline{t}	σ	t _{mhii}	год	<i>t</i> _{макс}	год	7	σ	t _{мин}	год
30 31	4,8 2,8	1963 1941	-6,6 -6,6	5,9 5,8	-24,9 -19,9	1929 1972	0,3 -0,6	1966 1947, 1952	—10,8 —10,8	5,9 6,0	28,8 26,5	1929 1929	9,6 10,6	1963 1941	$\begin{bmatrix} -1,3\\ -1,0 \end{bmatrix}$	5 ,7	—18,7 —16,2	1929 1929
,		·							Феврал	Ъ								
1 2 3 4 5 6 7 8 9 10 11 12 13 14 15 16 17 18 19 20 21 22 23 24 25 26 27 28 29 29 29 29 29 29 20 20 20 20 20 20 20 20 20 20 20 20 20	4,4,2,6,3,0,0,2,5,4,2,0,1,8,1,8,9,6,2,5,5,0,5,0,4,2,7,5,8,4,6,6,7,5,5,6,8,5,0,5,0,4,2,7,1,0,1,0,1,1,0,1,1,0,1,1,0,1,1,0,1,1,0,1	1976 1923 1935 1939 1960 1956 1934 1953 1944 1970 1970 1970 1970 1971 1935 1921, 1946 1958 1958 1958 1960 1921 1928 1963 1963 1963 1963 1963 1963 1963	-6,8 -8,0 -7,7 -7,4 -7,2 -5,5 -6,0 -5,8 -5,8 -5,7 -5,3 -5,3 -4,9 -5,2 -4,4 -4,4 -4,4	6,6,5,8,0,4,3,8,9,0,8,5,6,8,1,7,0,3,6,4,5,4,6,6,5,6,5,5,5,5,6,5,6,6,6,6,6,6	-28,5 -28,7 -24,3 -20,6 -20,8 -24,4 -24,9 -22,1 -20,1 -20,1 -20,1 -22,4 -24,1 -25,9 -24,1 -22,4 -32,9 -33,9 -38,4	1957 1931 1931 1931 1931 1931 1947 1947 1969 1969 1969 1969 1969 1969 1974 1974 1974 1974 1974 1951	-0,27 -0,88 3,33 0,33 1,50 1,59 0,71 1,79 0,71 1,23 1,96 2,54 4,35 5,45 5,53 2,3	1958 1937 1924 1939 1960 1966 1976 1976 1970	-11,0 -10,9 -12,2 -11,9 -11,5 -10,3 -9,8 -9,8 -9,3 -9,6 -9,0 -9,1 -8,8 -9,7 -7,7 -7,2 -7,3 -7,3	8891963360896858026757488793	-25,5,5,-29,8,8,3,0,5,6,-25,6,0,-25,6,0,-25,6,4,-25,9,4,-25,9,-26,4,9,-27,9,9,-28,8,9,9,-28,9,9,-29,4	1920, 1929 1931 1931 1931 1931 1931 1931 1931 1947 1969 1969 1969 1954 1969 1969 1969 1974 1974 1974 1974 1971 1951 1951 1951	12,8 10,1 9,3 12,0 11,6,7 13,5,5 10,0,7 13,5,5 10,0,1 13,1 10,6,6 11,7,3 11,5,0 11,5,0 11,5,7 11,5,0 11,5,7	1976 1937 1947 1939 1960 1966 1953 1948 1944 1965 1966 1958 1927 1919 1970 1934 1946 1958 1954 1958 1954 1963 1958 1963 1963 1963 1968	-1,2,9 -2,9 -2,2,-2,0,6 -0,1,-0,5 -0,9 -0,8,-0,3 -0,3,-0,3 -0,3,-0,4 -0,1,-0,1 -0,1,-0,1 1,8,2,3,1,7 2,3,8 1,6	66676756665565665676667777	-21,3 -22,6 -22,6 -24,3 -16,6 -14,5 -15,3 -20,3 -19,6 -14,5 -17,0 -12,6 -19,8 -19,3 -19,3 -19,3 -19,3 -19,3 -19,3	1957 1931 1931 1931 1931 1931 1931 1947 1969 1969 1969 1969 1969 1969 1969 1920

$ \begin{array}{c ccccccccccccccccccccccccccccccccccc$	Mapt 3,0 1968 -6,9 6,2 -24,8 1920 2,2 1953 -6,7 5,4 -20,8 1930 2,1 1935 -6,8 4,8 -18,5 1971 6,6 1953 -7,0 5,7 -18,9 1945 3,0 1935 -7,3 5,1 -18,0 1951 5,8 1935 -6,6 5,9 -18,8 1919, 1950 5,3 1958 -5,7 5,1 -16,5 1946 4,1 1934 -5,6 4,7 -15,8 1971 5,6 1944 -4,5 5,0 -18,7 1971 5,8 1925 -4,6 5,1 -15,0 1971 6,5 1968 -4,1 5,2 -16,1 1954	14,5 1962 1,7 5,8 -9,0 1931 12,7 1953, 1960 1,6 5,3 -11,3 1971 16,0 1968 1,7 5,9 -11,2 1971 18,7 1953 1,6 5,6 -9,1 1919 13,0 1935 2,2 5,4 -7,5 1919 17,1 1935 3,5 5,9 -8,6 1946 15,9 1941 4,0 5,4 -8,5 1946 16,3 1934 4,2 5,2 -6,7 1971 17,3 1925 4,3 5,7 -9,5 1960 17,3 1925 4,3 5,7 -8,2 1933 21,3 1940 7,2 6,5 -9,1 1933 20,5 1965 7,8 5,8 -3,7 1927
11	5,8 1925 -4,6 5,1 -15,0 1971 6,5 1968 -4,1 5,2 -16,1 1954 9,0 1962 -2,8 5,5 -18,0 1933 9,5 1947 -1,8 4,9 -15,8 1933 6,6 1966 -1,7 4,4 -11,2 1970 8,9 1968 -1,4 4,9 -12,7 1946 7,8 1941 -1,3 4,6 -13,1 1976	18,6 1940 5,2 5,7 —8,2 1933 21,3 1940 7,2 6,5 —9,1 1933 20,5 1965 7,8 5,8 —3,7 1927 20,6 1964 8,4 6,1 —5,6 1923 20,6 1941 8,2 5,9 —6,0 1946 20,9 1944 7,2 6,3 —5,3 1946
17 14,6 1944 2,45,2 —7,3 1946 18 12,1 1944 2,74,7 —7,6 1959 19 13,8 1929 3,25,1 —5,9 1949 20 15,8 1931 4,25,1 —8,6 1960 21 15,7 1931 3,8 5,6 —8,3 1928 22 13,5 1971 3,34,8 —9,11928 23 12,0 1940 2,84,7 —12,2 1928 24 13,1 1962 3,05,1 —10,5 1928 25 14,5 1926 3,86,1 —10,2 1934 26 17,5 1926 4,85,3 —10,3 1934 27 16,8 1932 5,65,0 —10,3 1934 28 17,6 1932 6,34,9 —5,8 1976 29 18,7 1962 6,75,0 —3,2 1923 30 16,4 1944 6,54,6 —3,3 1945 31 18,4 1944 6,75,6 —6,71949	8,3 1929 -1,7 4,4 -12,9 1917 8,5 1929 -1,8 4,5 -12,8 1959 6,5 1944 -1,3 4,4 -10,7 1959 7,0 1944 -0,6 4,5 -13,9 1953 9,5 1931 -0,4 4,9 -13,7 1928 6,8 1969, 1971 -0,7 4,5 -16,4 1928 7,8 1947 -1,0 4,2 -14,7 1928 8,8 1941 -1,0 4,8 -17,3 1928 8,3 1970 -0,5 4,6 -15,6 1934 9,3 1926 0,3 4,7 -15,0 1976 9,3 1932 1,5 4,7 -15,0 1976 9,3 1932 1,7 4,0 -11,6 1976 12,7 1962 2,5 4,2 -6,1 1923 11,0 1975 1,9 4,2 -7,3 1923 13,6 1944 1,9 4,6 -9,9	$\begin{array}{c ccccccccccccccccccccccccccccccccccc$
	Апрель	
1 17,2 1944 7,3 5,1 -4,4 1945 2 17,2 1970 7,4 4,7 -3,8 1963 3 16,1 1947 7,4 4,8 -6,0 1966 4,5 -3,0 1958	$\begin{array}{c ccccccccccccccccccccccccccccccccccc$	23,8 1917 13,3 5,8 -0,7 1945 24,8 1938 13,7 5,3 4,5 1945 21,7 1968 13,2 5,8 -2,2 1963 21,7 1931, 1969 12,6 5,2 0,4 1954

		(Средняя	сут	квни				Миним	альна	เя				Максих	гальная		
Число	t _{макс}	год	ī	σ	t _{min}	год	t _{Make}	год	\overline{t}	σ	t _{miih}	год	t _{make}	год	ī	σ	t _{MHH}	год
5 6 7 8 9 10 11 12 13 14 15 16 17 18 19 20 21 22 23 24 25 26 27 28 29 30	17,0 18,4 20,2 20,7 18,8 17,8 17,8 19,5 21,4 22,3 22,0 21,2 24,9 20,5 20,8 20,8 20,8 21,7 23,8 21,7 23,0 24,2 22,7 24,2 24,2 24,2 24,2 24,2 24,2	1931 1919 1969 1955 1938 1947 1929 1932 1956 1930 1938 1941 1946 1971 1959 1935 1967 1927 1927 1922 1967 1932 1932 1932 1932	7,7 8,1 8,7 9,2 9,0 10,5 11,6 11,8 11,7 11,2 10,7 11,2 11,8 12,8 13,1 12,8 13,1 12,8 13,9	4,40,428,96,522,38,51,73,63,55,55,54,44,55,54,45,54,44,44,44,44,44,	-3,6 -6,8 -5,2 -2,4 -2,9 -4,9 -5,0 -1,2 -1,4 -1,1 -0,1 -0,2 -3,4 -4,5 -6,8 -3,4 -4,5 -6,8 -1,6 -6,8 -1,6 -1,6 -1,6 -1,6 -1,6 -1,6 -1,6 -1,6	1936 1928 1925 1973	12,0 11,0 14,4 13,1 12,0 13,4 12,6 14,2 16,2 14,3 17,9 15,6 14,3 17,2 16,1 15,4 18,5 18,5 16,2 18,7 14,8	1942 1926 1955 1947 1955 1947 1961 1929 1941 1956 1938 1941 1946 1971 1957 1927 1927 1927 1927 1927 1927 1927 192	223,41,819,44,66,5,5,522,80,5,52,7,7,5,81,3 Maii	4,00 4,68 4,74 4,04 4,34 4,74 4,76 4,76 4,78 8,28 4,4,06 4,76 4,76 4,76 4,76 4,76 4,76 4,76 4,7	-7,3 -8,8 -6,5 -2,3 -2,5 -3,4 -4,1 -7,2 -5,1 -1,4 -2,1 -2,3 -3,3 -3,3	1934 1960 1952 1960 1960 1950 1950 1950 1950 1937 1937 1937 1937 1937 1937 1937 1937	24,9 25,0 30,2 27,4 29,2 23,7 24,7 25,6 28,0 28,0 28,0 28,8 27,8 27,8 27,8 27,9 30,6 32,0 28,5 4 30,9 28,9 28,9 28,9	1965 1969 1955 1955 1955 1947 1950 1952 1916 1946 1946 1946 1959 1974 1976 1927 1961 1972 1959 1932 1932	13,3 14,6 15,4 15,3 15,2 16,3 17,7 17,9 17,6 17,6 16,6 16,6 17,6 18,5 18,5 18,1 19,4	4,5,5,6,5,5,5,5,5,5,5,5,5,5,5,5,5,5,5,5,	4,62 -0,5 0,6 -3,1 -1,4 1,3 0,8 4,6 5,5 4,1 1,8 4,6 3,5 7,1 11,4 7,6 6,4 3,8 8,9	
1 2 3 4 5	22,7 23,4 24,7 26,3 27,4	1961 1917 1919 1917 1917	14,4 14,6 14,5 14,7 15,2	4, 5, 5,	1 —1,6 7 1,8 2 —2,1 2 0,2 7 5,1	1932 1931	17,8 15,3 17,6 19,4 20,5	1965 1938 1917 1944 1944	8,5 9,1 8,9 9,3 9,7	3,8 4,6 5,0	$\begin{bmatrix} -1, 8 \\ -4, 5 \\ -7, 0 \end{bmatrix}$	8 1932 3 1931 0 1931	30,4 31,4 33,1 32,7 33,5	1961 1917 1919 1917 1917	19,8 20,2 20,2 20,2 20,7	5,0 5,4 5,8 5,8 5,8 5,4	1,3 6,4 2,7 7,6 10,2	1932 1959 1931 1952 1954

1.1 2.3 4.5 6.7 8	31	6 7 8 9 10 11 12 13 14 15 16 17 18 19 20 21 22 23 24 25 26 27 28 29 30	
26,6 25,6 25,4 26,6 26,2 26,1 27,8 27,2	25,1	25,8 27,5,5 25,1 26,3 21,1 23,6 22,1,4 24,5 25,0 24,8 25,1,9 26,2 27,6 29,0 27,6 29,0 27,0 26,0 27,0 26,0 27,0 26,0 27,0 27,0 27,0 27,0 27,0	ļ
1967 1961 1945 1927 1961 1961 1957 1944	1920	1917 1917 1917 1938 1944 1950, 1976 1945 1941 1950 1935 1935 1935 1932 1932 1951 1974 1974 1917 1925 1933 1933 1974 1920	
19,6 19,6 19,0 19,2 19,7 19,6	18,9	14,9 15,48 14,5 14,5 16,6 17,0 16,1 17,7 18,5 18,4 18,4	
3,1 3,5 3,1 3,5 3,7 3,7 4,0	3,7	4,5,4,2,0,9,5,4,4,1,0,6,6,8,6,7,9,0,9,8,7,1,9,0,4,5,1,4,4,4,4,4,5,1,4,4,4,5,1,4,5,1,5,1	1
11,5 7,5 9,6 10,9 10,2 10,5 10,9 11,2	10,3	35578364777888678526 477788867854	ı
1937 1924 1924 1926 1958 1949 1927 1943, 1961	1937	1954 1970 1959 1924 1924 1934 1957 1952 1952 1964 1966 1940 1935 1921 1929 1926 1926 1926 1960 1960 1939 1927 1929	
22,4 20,2 21,0 18,9 21,2 21,3 20,4 21,6	20,4	20,7 20,2 19,8 19,2 20,7 16,8 16,8 17,1 19,0 20,5 18,7 19,8 21,1 19,8 21,9 21,9 21,9 21,9 21,9 21,9 21,9 21,9]
1921 1961 1916 1961 1941 1951 1957 1942	1974	1917 1917 1917, 1918, 1944 1950 1976 1942 1941 1950 1950 1955 1965 1961 1961 1951 1951 1951 1951	
14,2 14,6 13,7 13,6 13,6 14,0	13,0	9,5 9,4 9,7 10,6 10,6 11,4 11,6 11,7 11,7 11,7 11,7 11,7 11,7 11,7	ŧ
3,6 3,4 3,4 2,8 3,6 3,6 3,3	3,7	4,0,1,0,1,1,0,1,1,1,1,1,1,1,1,1,1,1,1,1,	-
4,7 3,3 3,1 6,6 4,3 4,3 5,2 2,0	2,4	0,7 -0,6 2,1 1,7 0,4 1,2 -2,7 0,4 0,6 -0,1 3,8 0,9 1,3 3,2 4,4 3,2 3,2 3,2 5,3 3,4 -0,1	
1929 1924 1924 1926 1970 1924 1927	1929	1941 1970 1959 1924 1924 1957 1957 1957 1952 1975 1973 1932 1966 1966 1935, 1957 1931 1921 1921 1931 1929 1960 1960 1960 1971 1958	
34,4 32,2 31,5 31,4 32,6 34,7 34,0 33,3	31,9	32,7,5 31,5 31,5 31,5 32,4 32,7,8 30,7,5 29,5,4 30,0,3 32,6 32,6 32,5,1 30,7,4 33,3,5,5 32,5,1 33,5,5,1 33,5,5,1 33,5,5,1 33,5,5,5,1 33,5,5,5,5,5,5,5,5,5,5,5,5,5,5,5,5,5,5,	
1967 1960 1945 1928 1941 1961 1957 1962	1920	1917 1917 1917 1917 1944 1950 1945 1938 1965 1941 1950 1970 1927 1932 1976 1974 1917 1925 1951 1916 1916 1974 1916	
25,5 24,9 24,8 24,4 24,1 25,0 25,1 25,2	24,3	20,2 20,0 20,0 20,4 20,1 19,9 20,7,4 222,3,4 222,4,3,9 221,4,3 222,2,4,3 221,2,3,4 221	
3,6 3,8 3,7 4,0 4,7 4,6 4,1 4,2	4,1	5,7,06 4,5 5,0232831173641284566 5,54432834,736441284566 4,444444444444444444444444444444444	
15,0 13,8 14,8 15,6 11,5 11,7 15,5 16,4	13,4	7,4 9,2 8,9 11,1 11,4 9,1 6,6 6,7 7,2 11,6 13,8 9,7 11,7 10,5 11,0 12,8 13,0 7,4 10,6 10,9 10,5	·
1937 1924 1924 1926 1916 1916 1949 1949	1937	1954 1940 1969 1920 1924 1934 1957 1957 1952 1966 1940 1940 1935 1921 1929 1926 1926 1926 1960 1960 1960 1939 1927 1958	

	1		Средняя	суто	ная			Mı	нималы	ая					Макси	малы	ная	
Числ	t _{Make}	год	\overline{t}	σ	t _{muh}	год	t _{make}	год	ī	σ	t _{muh}	год	t _{make}	год	ī	đ	t _{MnH}	год
9 10 11 12 13 14 15 16 17 18 19 20 21 22 23 24 25 26 27 28 29 30	25,3 26,8 28,1 27,4 26,8 27,6 29,6 29,6 30,1 26,8 28,0 28,5 27,7 27,2 28,1 28,6 30,5 29,2 27,8 29,2	1955 1936 1941 1941 1975 1975 1975 1966 1929 1933 1965 1940 1941 1971 1941 1930 1928 1939 1944	21,8 21,8 21,5 21,3 21,2 21,0 21,7 21,6 22,0 22,1 22,2 22,5 21,7 21,8	490566410933892320233222	12,5 11,5 15,7 12,6 13,4	1961 1943 1970 1961 1933 1947 1941 1954 1961 1922 1923 1932 1946 1946 1946 1954 1954 1954 1954 1954 1954 1954	20,4 21,4 23,0 21,5 21,4,9 21,4,2 23,7,7 21,7,20,4,4 21,6,6 22,3,8 21,8,1 22,4,2 21,7,1 23,5	1955, 1962 1962 1941 1940 1966 1940 1966 1975 1966 1965 1965 1965 1941 1970 1971 1941, 1971 1930 1941 1959 1959	14,5 15,1 14,4,5 14,4,5 15,8 15,2 15,3,7 16,3,7 16,6,1 16,6,1 16,1 16,1 16,1	333333333332223332233323323 9199191919	4,1 4,6 8,0 7,1 4,4,9 9,5 8,0 9,5 8,0 7,7 7,0 8,9 7,7 7,0 8,5 8,5 10,6	1943 1943 1970 1933 1933 1933 1947 1954 1961 1917 1923 1923 1946 1946 1946 1946 1946 1946 1954 1954 1955 1955	31,0 32,9 33,0 33,8 36,8 36,8 36,8 34,7 34,7 34,5 34,6 35,4 35,4 36,6 34,4 36,6 36,6 36,7 36,7 36,7 36,7 36,7 36,7	1970 1936 1941 1941 1925 1975 1966 1965 1965 1971 1941 1941 1941 1941 1941 1928 1974 1944	25,5 25,6 25,7 26,4 27,4 27,0 26,6 27,0 27,6 27,6 27,8 28,0 28,3	43,69,610 33,33,642,57,7,50,35,64 33,33,33,33,33,33,33,33,33,33,33,33,33,	16,6 14,2 16,7 16,7 17,9 18,9 19,4 18,3 16,7 17,1 20,1 17,6 20,5 18,9 16,8	1961 1916 1916 1916 1933 1954 1941 1954 1935 1922 1956 1932 1946 1946 1946 1954 1954 1920 1954 1922 1945 1966
								M	ЮЛЬ									
1 2 3 4 5	30,4 27,9 28,0 29,1 29,2	1944 1936 1938 1920 1968	22,8	3,1 3,1 3,0 2,9 3,4	15,1 13,2	1921 1923 1926 1926 1934, 1947	24,3 23,7 22,8 23,7 21,8	1944 1955 1969 1953 1931,	17,2 17,3 17,2	3,2 3,0 3,0 3,0 3,0	9,8 7,3	1966 1952 1926 1926 1926	37,0 34,4 34,5 36,1 36,8	1944 1950 1938 1953 1968	28,8 28,6 28,8 28,3 29,0	3,3 3,5 3,0 3,1 3,6	$\begin{array}{ c c c } 21,2 \\ 20,9 \end{array}$	1966 1924 1923 1926 1947
6 7 8	30,8 29,7 30,4	1968 1968 1944	22,8 22,9 23,1	3,5 3,4 2,8	14,9	1959 1936 1936	27,2 24,9 25,4	1943, 1966 1942 1960 1943	17.1	3,2 3,3 3,3	8,4	1959 1936 1936	37,7 38,4 36,6	1968 1943 1944	28,6 28,8 28,8	3,8 3,7 3,1	18,6 21,5 21,5	1959 1928 1920

9 10 11 12 13 14 15	30,3 32,8 31,9 32,3 32,0 30,0 29,5 29,4	1930 1944 1944 1927 1927 1952 1932 1974	23,2 23,5 23,4 23,8	3,1 3,7 3,3 3,4 3,5 2,9 2,7 3,2	14,4 16,1 15,4 15,1 13,7 16,5 15,8 13,2	1921 1921, 1949 1972 1931 1931 1931 1953 1941	22,8 24,8 24,0 24,6 25,4 26,7 22,9 25,5	1975 1944 1944 1927, 1956 1956 1952 1956 1974	17,3 17,2	2,6 3,4 3,3 3,3 3,5 3,5 2,6 2,8	11,4 9,5 8,6 10,5 10,9 8,8 11,4 9,9	1936 1921 1972 1949 1931 1931 1940 1941	36,4 41,6 37,8 39,2 38,7 37,2 36,7 36,1	1975 1944 1944 1927 1927 1938 1974 1945,	29,1 29,3 29,5 29,8 29,6 29,1	3,6 4,2 3,7 3,9 3,9 3,5 3,1 3,9	19,8 21,1 21,6 19,9 18,6 22,4 21,4 19,2	1921 1946 1954 1931 1931 1931 1953
17 18 19 20	30,5 30,7 29,5 29,6	1945 1927 1925 1917, 1925	23.7	3,0 2,4 2,4 2,7	15,9 18,4 18,5 17,6	1960 1971 1964 1954	23,3 25,1 22,8 25,5	1970 1927 1950 1925	17,4 17,7 18,1 18,0	2,9 2,4 2,1 2,6	9,3 12,1 12,0 12,3	1941 1941 1971 1964	37,4 35,7 36,0 36,7	1976 1945 1927 1976 1924	29,2 29,6 30,2 30,3	3,7 2,9 2,8 3,0	20,0 22,1 24,0 22,9	1958, 1960 1971 1964 1954
21 22 23 24 25 26 27 28 29 30 31	31,7 30,1 30,0 31,3 32,0 29,1 29,7 31,0 29,2 29,0 31,0	1929 1956 1940 1948 1924 1917 1917 1917 1932 1944 1973	24,1 24,3 24,6 24,7 24,5 23,8 24,0 24,0 24,0	3,3 3,4 3,4 3,3 3,0 2,4 2,3 3,0 3,1 2,8 3,3	16,0 16,2 16,6 17,3 18,1 20,1 19,5 16,6 15,3 16,4 17,4	1954 1954 1949 1949 1935 1929 1972 1934 1925 1925 1936, 1957, 1968	22,6 24,1 26,2 25,4 26,6 23,7 27,0 25,3 22,9 24,0 25,3	1965 1965 1965 1924 1924 1939 1917 1917 1943 1948 1952	17,9 18,1 17,9 18,4 18,5 18,7 17,7 17,8 18,0 17,9 18,0	2,6 2,3 3,2 3,1 2,6 2,5 8,8 2,2 3,2	12,7 11,9 10,9 11,5 11,9 13,0 12,4 13,0 11,2 7,9 10,3	1947 1927 1920 1949 1949 1949 1929 1934 1938 1925 1925	37,7 39,0 37,7 39,7 38,5 36,5 35,3 38,9 36,0 35,8 39,7	1929 1956 1948 1948 1925 1924 1943 1917 1956 1946 1973	30,3	3,09821777328	19,1 22,0 22,1 22,0 25,1 24,5 20,8 20,8 23,0	1954 1954 1928 1931 1935 1931 1920 1934, 1969 1964 1925 1936

Август

1	32,8	1927	24,0 3,6		1938	26,1	1944	18,1 3,6	8,4	1938	38,2 1	1946	30.5	[3,8]	22,3	1932
2	31,9	1927	24,0 3.3	15,3	1932	26.1	1927	18,1 3,1	9,2	1968	38,0	1927	30.3	3.8	18,9	1932
3	31,6	1917	23,6 3,1	17,4	1944	24.4	1917	17.8 3.2	9,8	1932	36,4	1935	29.8	3.2	22.2	1956
4	30,4	1935	23,2 3,1	15,9	1919	23.4	1917	17,3 3,0	10,0	1919	38,8	1943				1960
5	30,5	1935	23,3 2,9	16,0	1963	26.1	1962	17,4 3,5	8,0	1919	37,2	1935	29.4	3.4		1936
6	28,1	1968	23,0 3,0	14,5	1936	22.9	1955	16,9 2,9	11.5	1963	35.7	1968	29.0	3.6	18,0	1936
7	28,7	1923	23,2 2,9	15,7	1974	21.9	1955	16,9 2,7	10,6	1936	37,1	1944	29.4	3,5	20,7	1974
8	30,0	1944	23,0 3,5	16,5	1937	23.8	1944	16,9 3,2	10,6	1920	37,2	1944	29.3	3.9	20,0	1937, 1970
9	31,5	1944	23,5 3,3	16,5	1940	24,1	1955	17,5 3,2	10,5	1937	40,5	1944	29,9	3,8	21,7	1940

			Средияя	суточна	ภ				Миним	альная					Макси	мальная		
Число	t _{make}	год	-	σ	t _{mhh}	год	t _{make}	год	ī	σ	t _{mhh}	год	t _{Make}	год	T	σ	t _{MHH}	год
10 11	30,3 30,1	1933 1968	23,6 23,2	3,2 3,2	16,3 17,4	1928 1925,	24,4 24,7	1923 1968	17,4 17,2	2,9 3,0	12,0 9,7	1929 1937	37,6 38,0	1923 1968	30,1 29,7	3,3 3,6	23,7 21,1	1971 1958
12 13 14 15 16 17 18	29,8 30,9 29,9 29,2 30,9 30,8 29,0 27,9	1939 1976 1976 1917 1955 1917 1928 1927,	23,1 23,2 22,8 22,4 22,7 22,7 22,7 22,7	3,4 3,3 3,0 3,5 3,5 2,1	15, I 15, 6 16, 8 15, 6 15, 7 17, 1 16, 6 15, 3	1927 1958 1932 1932 1921 1953 1942 1921 1938	25,5 24,4 25,4 24,5 26,9 25,0 24,8 23,3	1939 1976 1960 1923 1955 1917 1923 1916	16,9 16,8 16,6 16,7 16,2 16,3 17,0 16,4	3,5 3,4 3,4 3,5 4,0 3,7 3,3 3,4	9,53,32,55,7,0 10,88,99,99,99	1928 1932 1932 1932 1929 1929 1976 1918	36,4 40,2 36,7 35,7 37,7 37,4 35,6 36,7	1916 1975 1976 1955 1955 1975 1924 1916	29,8 29,8 29,1 29,1 29,2 29,1 29,0 28,6	3,8 3,7 3,3 3,6 3,7 3,8 3,6	18,6 22,2 22,2 22,0 21,5 21,8 20,5 21,0	1958 1932 1932 1930 1953 1929 1921 1921
20	28,0	1965 1965	22,0	3,3	16,2	1930	23,8	1965	16,3	3,4	8,4	1918	35,9	1965	28,4	3,8	22,1	1920, 1954
21 22 23 24	27,8 27,4 26,8 27,4	1947 1927 1974 1922	21,5 21,4 21,3 21,3	3,2 2,7 2,6 3,2	9,9 14,1 14,2 13,0	1930 1930 1965 1936	24,5 22,0 21,8 22,0	1947 1960 1943 1922	15,6 15,4 15,0 15,3	3,3 3,0 2,7 3,2	8,3 7,6 10,5 9,2	1930 1930 1968 1946	35,5 34,4 34,4 34,7	1947 1939 1974 1943, 1962	27,9 27,9 27,8 27,5	3,7 3,0 2,7 3,6	13,8 18,0 20,3 15,8	1930 1930 1930 1936
25 26 27	28,2 26,6 27,9	1943 1925 1925	21,4 20,8 21,0	3,5 3,5 3,4	11,1 13,4 14,4	1972 1972 1958	24,2 21,0 21,0	1943 1942 1920	15,6 14,9 14,8	3,3 3,4 3,2	9,3 7,0 7,8	1936 1948 1929, 1946	34;8 32,6 35,0	1902 1971 1937 1925	27,7 27,4 27,7	4,0 3,9 4,0	14,3 17,0 18,9	1972 1958 1957
28 29 30 31	26,7 28,0 27,7 26,7	1937 1935 1924 1966	21,1 20,8 20,0 19,6	3,6 3,8 3,7 3,9	14,4 9,7 11,9 11,3	1957 1937 1967 1968	22,6 23,4 22,8 21,5	1937 1935 1933 1945	15,0 14,7 14,2 13,5	3,5 3,7 3,9 3,6	8,0 6,1 5,8 5,8	1974 1937 1967 1965	33,5 35,5 35,4 34,0	1939 1944 1970 1924	27,8 27,6 26,6 25,9	3,8 4,0 3,9 4,3	20,5 20,0 19,0 16,4	1957 1928 1967 1968
								C	Сентябр	ь	٠							
$\begin{bmatrix} 1 \\ 2 \\ 3 \end{bmatrix}$	27,3 28,3 26,7	1926 1931 1926	19,5 19,3 19,0	3,4 4,0 3,7	12,1 11,0 11,3	1968 1933 1934	20,7 23,0 21,9	1966 1966 1948	13,4 13,1 13,1	3,2 4,0 4,2	4,8 5,6 3,7	1968 1974 1917	34,2 36,0 33,7	1922 1931 1926	26,0 25,7 25,8	4,0 4,2 3,9	18,9 15,6 16,7	1968 1933 1917

4 5 6 7	26,1 26,5 26,8 28,0	1962 1959 1959 1959	19,3 19,1 18,8 18,8	3,9	9,6 7,8 6,3 10,2	1966 1968 1968 1968	21,1 21,2 22,3 19,9	1962 1959 1947 1943	13,2 13,5 13,0 12,7	3,7 4,1 4,0 3,6	4,8 4,9 -0,4 3,4	1968 1968	33,4 34,3 34,8 35,6	1962 1959 1943 1959	26,1 25,7 25,2 25,4	4,2 4,3 4,5 3,7	13,4 15,5 14,1 18,7	1968 1968 1918,
8 9 10 11 12 13 14 15	26,6 25,2 25,1 24,9 26,3 25,2 23,5 24,7	1947 1925 1945 1945 1933 1951 1935 1931	18,6 18,7 18,4 18,0 18,1 17,7 17,5 17,1	3,3 3,2 3,8 4,0 3,7 3,8 4,2 4,1	12,7 10,7 9,0 9,0 9,2 7,7 4,4 7,8	1938 1919 1919 1971 1949 1969 1969 1926	21,0 19,9 20,3 19,7 21,8 20,5 18,6 20,2	1948 1959 1943 1945 1925 1953 1951 1935 1931	12,5 13,0 12,5 12,1 12,1 12,0 11,6 11,7	3,4 3,2 3,6 3,9 3,9 3,7 4,2 4,0	4,9 5,9 5,8 2,0 4,1 4,0 1,1 2,5	1924 1939	35,3 32,1 31,8 33,5 33,0 32,4 30,5 34,7	1947 1945 1945 1953 1933 1945 1935 1916	25,3 25,3 24,9 24,5 24,8 24,4 24,3 23,9	3,2 3,8 4,3 4,4 4,2 4,4 4,6 4,7	18,0 15,5 14,4 13,9 13,8 11,1 8,2 10,0	1968 1949 1919 1919 1949 1949 1969 1969 1969
16 17	23,8 24,3	1953 1931	16,8 16,7	3,6 4,1	8,3 7,3	1948 1972	22,1 19,5	1936 1916 1953	11,1 10,7	4,1 4,2	2,2 0,2	1948 1926	34,5 32,6	1916 1929,	23,7 23,7	4,4	14,4 10,8	1930 1972
18 19 20 21 22	25,6 22,1 23,1 24,0 22,7	1944 1965 1974 1925 1929	16,4 16,0 15,6 15,7 15,2	3,9 3,5 3,9 4,1 3,9	7,0 7,9 7,7 8,1 7,0	1928 1928 1935 1952 1949	18,4 16,7 17,4 17,8 16,6	1944 1974 1974 1954 1951	10,8 10,5 9,7 9,9 9,7	3,8 3,1 3,2 3,7 3,6	0,5 2,1 0,9 1,0 1,6	1972 1972 1928 1933 1933,	31,0 30,4 31,1 30,7 31,0	1959 1944 1965 1965 1925 1916	22,9 22,9 22,0 22,0 21,8	4,4 4,2 4,6 4,7 4,4	8,9 11,7 11,4 11,1 12,6	1928 1934 1943 1952 1949,
23 24 25	23,3 21,7 21,2	1927 1922 1918	14,4 14,0 13,8	4,3 4,0 4,1	4,5 3,9 5,2	1921 1923 1958	16,4 16,6 17,4	1957 1922 1916	9,3 8,7 8,5	4,3 3,9 4,1	-1,4 $-0,6$ $-1,8$	1949 1933 1969 1969	31,2 30,3 28,8	1963 1916 1916,	21,1 20,4 20,1	4,5 4,8 4,7	12,4 9,0 8,8	1958 1944 1962 1947
26 27	22,3 22,9	1966 1929	13,6 13,4	4,2 4,7	4,8 3,6	1944 1956, 1973	16,8 16,2	1966 1918	8,1 8,1	4,1 4,4	-1,7 $-0,7$	1958 1969	29,2 29,0	1946 1966 1951	20,3 20,0	4,6 5,1	11,4 8,5	1944 1956
28 29 30	23,2 23,0 24,0	1939 1931 1931	13,8 14,2 13,8	4,3 3,7 4,3	3,3 3,0 3,1	1973 1973 1973 1973	19,2 16,6 15,7	1916 1966 1938	8,2 8,4 8,1	4,7 3,5 4,0	-3,0 0,0 -1,7	1969 1934 1956	29,9 29,8 30,0	1939 1931 1931	20,7 20,8 20,5	4,8 4,5 4,6	8,5 5,2 7,3	1973 1973 1973

Октябрь

1	21,1	1968	14,0	4,4	3,2	1933	15,4	1931	8,4	4,4	-2,2	1964	29,9	1968	20,8	4,8	11,6	1933,
2	22,8	1941	13,9	4,5	3,8	1973	17,5	1941	8,6	4,2	_0,6	1955	30,7	1970	20,5	5,2	7,2	1955 1973

2			(Средняя	суточная	[Миним	альная					Максим	панапа		<u></u>
,	Число	t _{make}	год	<u> </u>	ø	t _{men}	год	t _{Make}	год	ī	σ	t _{muh}	год	t _{make}	год	T	σ	t _{mith}	год
	3 4	19,4 20,8	1917 1923	12,6 12,4	4,4 4,3	2,9 3,2	1973 1968,	14,4	1945 1959	7,6 7,3	3,8 4,2	0,5 3,2	1955 1973	27,0 28,7	1960 1959	19,1 19,0	4,7 4,9	6,0 7,9	1973 1968
	5	22,1	1930	12,0	4,8	2,3	1973 1917	15,6 18,3	1930	7,1	4,6	_3,3	1954	28,3	1931	18,5	5,3	4,6	1917, 1968
	6 7	21,0 19,8	1930 1931,	12,1 12,0	4,6 4,1	1,8 2,7	1968 1976	16,7 13,4	1931 1916,	6,6 6,7	4,7 4,1	_5,1 _3,5	1968 1968	28,9 25,9	1930 1957	18,6 18,2	4,8 4,8	5,8 5,5	1976 1976
	8 9	20,9 21,0	1957 1931 1971	11,3 10,4	4,2 4,8	$\begin{bmatrix} -1,4 \\ -1,9 \end{bmatrix}$	1961 1934,	15,1 12,9	1957 1925 1971	6,0 5,4	4,0 4,4	$\begin{bmatrix} -2,4\\ -6,3 \end{bmatrix}$	1961 1961	27,9 29,0	1971 1971	18,0 16,9	5,0 5,1	7,5 4,5	1961 1961
	10 11 12 13 14 15 16 17 18 19 20 21 22 23 24	18,5 17,4 19,1 17,3 18,7 19,6 21,4 22,2 20,2 21,8 18,9 19,2 18,5 15,9	1936	, 7,5	4,8 4,46 4,68 4,62 4,7 5,2 1 5,2 1 5,2 4,7 4,3	-4,3 -4,0 -0,9 -1,5 -0,6 0,0 0,8 -2,1 -2,8 -3,7 -4,6 -1,4 -3,1 -5,0 -3,7	1924 1953 1953 1972 1972 1952 1949 1976 1929 1929	14,6 13,4 12,1 12,8 11,6 13,5 16,7 15,1 14,4 15,6 12,2 12,7 13,6 12,8 11,4	1950 1936 1965 1936 1959 1965 1965 1945 1936 1936 1925 1946 1942 1942		4,7 4,3 4,4 4,4 4,0 4,4 4,5 4,3 4,6 4,5 4,8 4,5 4,2 4,1	-6,1 -8,1 -7,6 -4,6 -5,0 -7,4 -1,6 -3,5 -6,7 -7,-8,7 -6,1	1934 1934 1933 1920 1920 1924 1972 1972 1975 1949 1976 1976 1929	26,2 27,6 24,8 26,3 27,9 28,9 28,7 28,3 28,3 27,6 25,6 26,2 24,0	1941 1962 1927 1946 1946 1959 1946 1945 1936 1922 1946 1942 1942 1925	16,8 17,3 17,6 16,2 16,1 16,6 16,8 16,5 15,0 15,1 14,2 14,9 14,6 13,7	5,51,6,6,5,4,6,9,9,6,7,4,3,2,2,5,5,5,5,5,5,5,5,5,5,5,5,5,5,5,5,5	-1,6 -0,6 5,1 -0,5 0,0 3,8 3,1 5,4 0,8 -2,0 -0,3 1,9 0,9 1,6	1929 1929
	25 26 27 28 29	16,1 19,7 16,5 16,7 16,1	1924	6,6 6,5 6,7 6,0	5,1	-3,9 -5,0 -4,8 -4,8 -2,9	1928 1925 1953	12,4 12,0 9,0	1922 1927	$\begin{bmatrix} 2,2\\2,1\\1,4 \end{bmatrix}$	4,0 4,9 4,7 4,4 4,1	-8, -10, -7, -9, -5,	6 1928 8 1945 0 1953	25,5	1958	12,1	5.9 6.6	$ \begin{vmatrix} -2,4 \\ -0,2 \\ -2,8 \\ -1,5 \\ -1,6 \end{vmatrix} $	1939 1925 1925

	30 31	13,2 15,1	1958 1922	6,0 4,9	4,0 4,8	$\begin{bmatrix} -2,3 \\ -8,1 \end{bmatrix}$	1930 1975	9,5 9,5	1940 1920	1,5 0,9	3,6 4,1	-7,5 -8,4	1930 1968	21,5 22,3	1958 1922	12,5 10,7	4,5 5,3	$\begin{bmatrix} 2,1\\-1,4 \end{bmatrix}$	1965 1935	
										Ноябрь										
	1 2 3 4 5 6 7 8 9 10 11 12	14,6 13,2 14,9 13,8 14,0,7 11,0 9,3 12,6 13,5 13,8 12,8	1919 1941 1939 1955 1973 1921 1952 1942 1970 1938 1956 1941	3,7 3,6 4,0 4,1 3,8 2,9 2,5 3,0 2,3 1,0 0,6	4,9 5,6 5,6 5,0 4,4 6,2 5,5 4,0 6,0	-9,2 -10,5 -8,6 -5,4 -7,4 -11,9 -7,5 -9,4 -14,8 -16,5 -10,4 -15,8	1953 1953 1935 1952	9,0 8,5 9,4 10,2 7,9 6,5 7,6 5,7 8,1 9,6 7,3	1919 1941 1941 1955 1941 1969 1942 1942 1969 1938 1956 1941	-0,4 -1,0 -1,1 -0,5 -0,6 -1,1 -1,8 -1,6 -1,4 -1,7 -3,0 -3,4	4,6 5,8 5,8 5,8 4,9 4,6 4,3 4,3 4,8 5,8	-12,4 -17,3 -20,8 -16,3 -16,5 -16,5 -12,8 -18,4 -20,2 -16,9 -17,4	1916 1916 1916 1916 1926 1926 1975 1953 1953 1953	21,0 21,5 21,7 20,6 20,4 18,4 19,5 18,0 21,2 19,0 19,6 20,4	1919 1921 1939 1970 1973 1956 1952 1969 1970 1938 1938 1938	9,5 9,4 9,6 9,6 8,1 7,7 8,1 7,7 8,3 6,4 5,6	6,2 6,8 6,8 5,8 5,7 5,9 5,6 7,0	-5,0 -7,2 -9,6 -5,2 -4,2 -4,8 -4,7 -8,5 -9,6 -6,8 -12,1	1916 1916 1916 1916 1926 1975 1975 1953 1953 1942 1952	
	13 14	11,5 14,2	1941, 1947 1930	0,9 1,0	5,9 5,1	-15,5 $-13,0$	1952 1952	6,7 7,3	1947 1930	-3,4 -3,0	5,6 5,3	-18,9 -15,7	1952 1955	21,6 18,7	1941 1930	6,3 6,1	6,5 5,7	-10,7 -11,0	1952 1952	
	15	13,4	1930	0,9	5,2	-12,5	1937	8,6	1930	3,1	5,0	-13,5	1937	18,4	1930, 1948	6,4	5,6	-5,4	1952	
	16 17 18 19 20	13,1 10,6 12,6 12,2 13,3	1973 1973 1965 1930 1971	0,3 0,1 0,4 0,6 0,6	6,1 5,7 6,0 6,8 7,3	-15,2 -16,6 -16,5 -16,8 -20,0	1937 1937 1937 1937 1951	8,0 5,0 8,0 5,7 7,8	1973 1965 1965 1930 1971	-3,7 -4,2 -3,8 -3,8 -3,6	5,6 5,1 5,5 6,6 7,0	$\begin{array}{r} -16,9 \\ -18,3 \\ -19,0 \\ -21,2 \\ -22,4 \end{array}$	1937 1937 1937 1937 1951,	24,2 16,9 18,8 18,2 19,5	1948 1948 1973 1965 1930 1973	5,7 4,9 5,6 6,2 6,7	7,1 6,9 6,9 7,1 7,7	-13,0 -14,4 -14,0 -10,3 -13,5	1937 1937 1937 1937 1931	
	21 22 23 24 25 26	10,4 9,9 11,9 10,7 10,4 9,1	1944 1964 1964 1964 1922 1953	0,2 -0,6 -1,5 -1,2 -1,8 -2,5	6,4 6,5 6,4 6,3 6,8 6,7	-17,0 -16,5 -17,2 -13,9 -16,4 -18,1	1951 1960 1931 1960 1962 1946	5,2 4,9 6,8 4,9 4,8	1971 1955 1955 1964 1928 1924,	-3,8 -5,0 -6,0 -5,9 -6,2 -6,7	6,3 6,5 6,8 6,8 6,9	$\begin{array}{c} -22.0 \\ -21.0 \\ -24.0 \\ -27.3 \\ -23.0 \\ -22.7 \end{array}$	1960 1951 1960 1916 1916 1916 1946	19,9 17,5 18,8 17,8 17,9 16,6	1953 1964 1919 1964 1922 1924	5,8 4,5 4,1 3,6 2,7 2,6	7,1 6,7 6,7 7,5 7,7 7,3	-12,4 $-10,2$ $-12,3$ $-16,0$ $-13,9$ $-11,2$	1960 1937 1931 1916 1916 1962	
207	27 28 29 30	11,4 10,6 13,6 9,0	1924 1955 1955 1955	-2,8 -2,6 -2,3 -2,6	6,7 7,2 8,1 7,8	$ \begin{array}{r} -21,1 \\ -24,7 \\ -29,7 \\ -30,7 \end{array} $	1954 1952 1952 1952	5,5 4,7 7,2 4,2	1971 1936 1947 1955 1925	$\begin{bmatrix} -7,2\\ -7,1\\ -6,7\\ -6,8 \end{bmatrix}$	6,8 7,2 7,7 7,6	-24,1 -31,0 -33,7 -34,1	1954 1952 1952 1952	15,2 16,1 20,3 15,2	1924 1955 1955 1972	2,2 2,8 3,4 2,6	6,7 7,7 8,4 7,9	$ \begin{array}{c} -13,6 \\ -17,6 \\ -24,9 \\ -25,6 \end{array} $	1954 1954 1952 1952	

			Средняя	суточна	ıя				Миним	льная					Макс	(мальна	я	
Число	t _{make}	год	<u></u>	. 0	t _{muh}	год	t _{make}	год ,	<u></u>	σ	t _{mhh}	год	t _{make}	год	T	σ	t _{MHH}	год
	1		·	*******					Дек аб р:	6		٠						
1 2 3 4 5 6 7 8 9 10 11 12 13 14 15 16 17 18	11,9 7,9 7,6 7,6 7,5 5,8 5,8 5,1 6,3 8,0 7,0 7,0 11,2 6,8 5,6	1955 1934 1958 1939 1940 1934 1925 1951 1922 1971 1925 1921 1940 1971 1971 1971 1971 1940	-3,0 -2,9 -2,6 -2,6 -2,9 -3,3 -3,6 -4,5 -4,3 -4,9 -5,6 -6,7 -6,2 -6,2	6,7	-27,6 -22,7 -22,1 -17,6 -17,8 -18,0 -22,2 -20,4 -20,7 -21,5 -24,6 -27,4 -26,7 -23,8 -21,7	1947 1947 1929 1930	4,9,0,5,9,2,7,1,9,9,3,9,5,3,9,5,6,6,6,6,9,9,6,6,6,6,9,9,6,6,6,6,9,9,6,6,6,6,9,9,6,6,6,6,9,9,6,6,6,6,9,9,6,6,6,6,9,9,6,6,6,6,6,9,9,9,6,6,6,6,6,9,9,6,6,6,6,6,6,9,9,6,6,6,6,6,6,9,9,6,6,6,6,6,6,9,9,9,6,6,6,6,6,6,9,9,6	1955 1934 1937 1971 1940 1925 1957 1971 1971 1971 1940 1940 1971 1951 1971 1971	-7,01 -6,7 -7,0 -6,6 -6,6 -7,2 -7,6 -7,4 -8,8 -9,1 -8,8 -9,1 -9,6 -10,1 -10,9	7,45,09,96,95,55,66,55,94,07,76,64,8 7,7	-31,81 -24,8 -25,4 -20,3 -21,0 -20,3 -25,6 -24,6 -23,1 -25,2 -24,7 -27,6 -30,5 -31,7 -27,0 -29,5 -30,5 -30,5	1929 1929 1929 1947 1929 1930 1930	17,8 14,5 14,0 12,9 14,0 11,9 15,8 15,2 12,1 15,5 12,4 12,0 11,8 13,8 19,0 12,4 9,3	1955 1934 1971 1939 1921 1934 1925 1970 1971 1971 1963 1921 1967 1971 1971 1971 1971 1940,	1,9 1,9 2,6 2,4 1,8 1,1,5 1,7 1,2 0,1 0,3 0,2 0,4 -0,8 0,0 -0,6 -1,7	7,16,5,5,00 5,00 5,00 7,17,7,3,9,0 6,4,4,1,7 7,5,5	-20,6 -19,8 -18,5 -14,0 -12,2 -14,2 -16,2 -17,7 -17,7 -17,7 -17,5 -21,4 -21,2 -18,4 -15,5 -18,2 -20,8 -23,9	1944 1944 1929 1929 1947 1947 1966
20 21 22 23 24 25 26 27 28 29 30 31	7,1 6,9 7,6 3,9 5,4 4,7 6,2 4,2 2,8 6,9 4,7 5,0	1925 1962 1962 1925 1939 1939 1925 1971 1925 1965 1939	- 7,0	5,8 5,8 5,6 5,3 5,4 6,5	-28,0 -27,3 -21,5 -23,6 -25,2 -22,0 -18,1 -20,3 -19,8 -21,4 -23,4 -21,0	1930 1930 1976 1976 1976 1976 1954 1954 1968	0,4 3,2 0,0 0,5 1,8 0,6 0,3 0,3 1,3 0,1	1925 1962 1975 1939 1939 1939 1939 1971 1969 1969	-10,1 -10,3 -10,7 -10,6 -9,9 -10,6 -11,6 -11,5 -11,5	7,3 7,2 6,5 6,0 5,8 5,8 5,6 5,5 6,1	30,0 31,6 29,1 26,6 28,4 24,0 25,8 24,6 26,3 24,2	1930 1930 1976 1976 1976 1954 1954 1954 1954 1968	17,0 11,8 9,1 11,3 10,0 11,5 9,3 12,7 14,7 11,6 11,5	1962 1962 1939 1975 1939 1939 1925 1975 1925 1936 1947	-0,9 -1,0 -0,9 -0,1 -0,5 0,0 -1,5 -1,7 -2,5 -1,7 -1,5	7,5 6,3 6,3 6,8 5,4 5,3 6,4 7,0 6,3	-22,1 -22,1 -15,7 -16,5 -19,5 -16,4 -12,6 -15,1 -16,3 -17,6 -18,2 -15,1	1930 1930 1976 1976 1937 1937 1954 1966 1968

Таблица 20 Средняя месячная температура почвы на глубинах различной обеспеченности. 1926—1966 гг.

				0	беспеченно	сть, %		
Глубина, см	t °C	2	5	10	50	90	95	98
			9	Январь				
20 40 80 260 320	$ \begin{array}{c c} -1,6 \\ -0,1 \\ 2,4 \\ 6,1 \\ 10,3 \end{array} $	$ \begin{array}{c c} -6,2 \\ -4,3 \\ -0,6 \\ 3,6 \\ 9,2 \end{array} $	-5,1 -3,2 0,4 4,2 9,4	-4.2 -2.3 1.0 4.8 9.6	-1,2 0,4 2,7 6,3 10,3	0,4 1,4 3,5 6,9 10,8	0,7 1,6 3,6 7,1 11,0	1,1 1,8 3,8 7,4 11,3
				Ревраль			-	
20 40 80 160 320	-1,4 0,5 1,4 4,7 9,0	-5,3 -4,2 -1,8 2,8 7,8	-4,4 -3,2 -1,2 3,2 8,0	$ \begin{array}{c c} -3,6 \\ -2,3 \\ -0,4 \\ 3,6 \\ 8,3 \end{array} $	-1,0 -0,2 1,7 4,8 9,0	0,2 1,0 2,6 5,6 9,4	0,3 1,2 2,9 5,7 9,5	0,4 1,3 3,0 5,8 9,6
				Март				
20 40 80 160 320	1,7 1,9 2,4 4,2 7,9	$ \begin{array}{c c} -1.5 \\ -1.2 \\ -0.2 \\ 2.4 \\ 6.8 \end{array} $	-1,2 -0,7 0,3 3,0 7,0	$ \begin{array}{c c} -0.9 \\ -0.2 \\ 0.9 \\ 3.4 \\ 7.2 \end{array} $	1,7 1,9 2,5 4,3 8,0	4,1 4,0 3,9 5,1 8,4	4,6 4,5 4,1 5,2 8,5	5,2 4,9 4,4 5,4 8,6
				Апрель				
20 40 80 160 320	10,0 9,0 7,5 6,2 7,6	6,6 6,2 4,8 4,4 6,5	7,6 6,8 5,3 4,7 6,7	8,3 7,4 5,8 5,0 6,9	9,7 8,8 7,5 6,3 7,6	12,2 11,0 9,4 7,5 8,2	12,8 11,5 9,9 7,9 8,3	13,4 11,3 10,4 8,3 8,4
				Май	٠			
20 40 80 160 320	15,7 14,4 12,5 9,8 8,4	12,2 12,1 10,4 8,3 7,4	13,0 12,4 10,8 8,6 7,6	13,8 12,8 11,2 8,9 7,8	15,8 14,4 12,5 9,6 8,4	17,6 15,8 13,8 10,9 9,1	18,5 16,6 14,3 11,2 9,3	19,6 17,6 14,9 11,4 9,4
				июнь				
20 40 80 160 320	20,0 18,4 16,3 12,9 10,0	17,3 16,4 14,7 11,6 9,0	17,8 16,8 14,9 11,8 9,2	18,3 17,1 15,2 12,0 9,4	29,9 18,4 16,3 12,9 9,9	21,7 19,8 17,3 14,1 10,6	22,1 20,3 17,6 14,4 10,8	22,8 21,2 18,2 14,6 11,0
20	23,0	19.6	20.2	Июль 20,7	22.8	1 25.9	1 26.6	27,3
40 80 160 320	21,5 19,1 15,5 11,5	19,6 18,4 16,8 14,0 10,6	20,2 18,9 17,2 14,2 10,8	19,3 17,6 14,5 10,9	22,8 21,3 18,9 15,4 11,5	25,9 23,9 21,0 16,7 12,3	26,6 24,6 21,6 17,1 12,5	25,5 22,2 17,7 12,8

			•	O	беспеченно	сть, %		
Глубина, см	t °C	2	5	10	50	90	95	98
			Į	Август				
20 40 80 160 320	23,4 22,2 20,5 17,3 13,0	19,1 19,2 18,3 15,4 11,6	19,8 19,5 18,6 15,7 12,0	20,4 19,9 18,8 15,9 12,3	23,7 22,3 20,4 17,2 13,1	26,0 24,6 22,4 18,8 13,8	26,6 25,1 23,0 19,2 14,0	27,4 25,9 23,8 19,8 14,3
			C	ентябрь				
20 40 80 160 320	19,1 19,2 18,8 17,4 14,1	16,1 16,1 16,8 16,0 13,1	16,5 16,7 17,0 16,2 13,2	17,0 17,2 17,3 16,3 13,4	19,1 19,2 18,8 17,4 14,1	20,8 21,1 20,4 18,6 14,8	21,1 21,8 20,7 18,9 15,0	21,5 22,9 21,0 19,4 15,3
• •			О	ктябрь				
20 40 80 160 320	11,7 12,6 14,4 15,4 14,3	8,2 10,7 12,5 14,4 13,5	9,0 10,9 13,0 14,5 13,6	9,8 11,1 13,4 14,6 13,7	11,5 12,6 14,3 15,4 14,3	14,0 13,9 15,6 16,2 14,9	15,2 14,4 15,8 16,4 15,1	17,7 14,9 16,0 16, 7 15,3
			ŀ	Іоябрь				
20 40 80 160 320	3,6 5,3 8,4 11,9 13,5	0,7 2,9 6,6 10,9 12,7	1,0 3,4 7,0 11,1 12,9	1,5 3,8 7,2 11,3 13,0	3,8 5,4 8,4 11,8 13,4	5,1 6,8 9,5 12,6 14,0	5,5 7,1 9,7 12,8 14,2	6,0 7,4 10,0 13,1 14,3
			Д	(екабрь				
20 40 80 160 320	0,1 1,6 4,4 8,5 11,9	$\begin{array}{c c} -4,4 \\ -2,5 \\ 2,1 \\ 7,2 \\ 10,9 \end{array}$	-2,9 -1,4 2,8 7,6 11,3	$ \begin{array}{c c} -1,7 \\ -0,1 \\ 3,4 \\ 7,9 \\ 11,4 \end{array} $	0,5 1,8 4,6 8,5 11,9	1,4 2,6 5,2 9,0 12,4	1,6 3,0 5,5 9,2 12,6	1,8 3,5 6,0 9,5 12,9

Режим увложнения Таблица 21

Ежедневное среднее (\overline{X}) и максимальное количество осадков. Алма-Ата, ГМО

Дата	\overline{x}	5	X макс	Год	Дата	\overline{x}	G	Х макс	Год
1 2 3 4 5	0,8 0,9 0,8 0,9 0,9	Январь 2,2 2,4 2,1 2,8 2,2	9,5 13,4 11,7 19,5 12,7	1884 1896 1970 1927 1971	6 7 8 9 10 11	0,6 0,8 0,8 0,7 0,6 1,2	1,8 2,7 2,5 1,9 2,1 3,6	11,4 18,0 15,7 16,5 15,5 27,2	1963 1912 1961 1979 1962 1886

Дата	\overline{x}	· G "_	Х макс	Год	Дата	\overline{x}	σ	Х макс	Год
12 13 14 15 16 17 18 19 20 21 22 23 24 25 26 27 28 29 30 31	1,29 0,77 0,6 0,77 0,97 0,77 0,8 0,77 1,0 1,1 1,2 1,6 1,0	3,095,338,480,199,77,47,14,48 2,199,77,44,7,14,48	14,4 18,4 7,9 16,6 13,7 9,9 16,4 22,0 11,5 12,5 9,2 10,1 24,8 12,2 21,6 3 10,7 6,4 18,9	1888 1905 1902 1902 1908 1908 1907 1958 1916 1882 1977 1945 1896 1884 1953 1892 1937 1882 1938 1886	3 4 5 6 7 8 9 10 11 12 13 14 15 16 17 18 19 20 21 22 23 24	1,1 1,5 1,1 1,2 1,0 1,7 2,5 0,7 1,1 2,6 3,7 2,2 1,8 1,4 2,0 3,1 0,0 3,0 3,0 3,0 3,0 3,0 3,0 3,0 4,0 4,0 4,0 4,0 4,0 4,0 4,0 4,0 4,0 4	7 8 4 9 9 4 5 4 4 9 5 8 3 6 8 5 7 7 0 1 9 1 5 5 6 4 4 3 3 4 5 6 3 6 5 6 5 6 5 6 5 6 5 6 5 6 6 5 6 6 5 6	24,1 18,3 18,9 29,1 16,2 14,5 20,8 4 14,6 26,3 31,7 35,2 29,3 24,7 26,8 15,0 17,0 18,2 25,1	1966 1895 1907 1889 1963 1941 1935 1942 1961 1886 1966 1881 1902 1914 1918 1888 1884 1895 1925
1	0.6	Февралі 1,6	11.0	1926	25 26	1,5 2,0 2,1	1 4 2	26,4 21,6 33,3	1969 1942 1970
2 3 4 5 6 7 8 9	0,6 1,3 0,8 0,6 0,7 0,6	3,3 2,3 1,8 1,9 2,0 2,3 1,7	18,5 13,7 11,9 9,9 13,4 10,7 9,8 22,1	1958 1959 1892 1955 1964	27 28 29 30 31	2,0 2,1 2,8 2,2 2,0 1,9 2,4	6,2 5,9 4,0 4,0 6,2	31,2 33,6 20,2 17,8 32,3	1949 1901 1916 1964 1959
7 8 9	1,0 0,5 1,1	1,7 3,3	9,8 22.1	1957 1913 1934	1	1 2 5	Апрель 1 6.4	1 40 5	1 1911
10 11 12 13 14 15 16 17 18 19 20 21 22 23 24 25 26 27 28 29	0,6 0,9 0,6 1,5 0,7 0,6 1,2 0,6 1,3 1,4 1,1 1,9 1,5 1,6 1,3 3,1	3,3650 2,502 4,110 22,75,73 22,795 33,712 4,387,12 4,387,12	7,9 12,8 11,4 19,5 10,7 11,0 11,7 8,9 19,3 11,2 25,2 15,1 20,3 16,5 24,6 15,6 15,6 19,4 31,3 32,6	1971 1965 1975 1884 1956 1922 1934 1908 1921 1966 1973 1949 1902 1965 1943 1961 1963 1892	2 3 4 5 6 7 8 9 10 11 12 13 14 15 16 17 18 19 20 21 22 23 24	2,571396349097555800228887224 2222333322 22333322	65,64,56,87,0,61,49,0,97,91,56,6,83,9,5 65,66,55,56,75,58,7,89,67,55,67,65,5	40,5 24,6 26,3 32,3 33,1 36,8 31,9 32,1 36,3 44,5 39,1 26,3 47,5 39,1 36,7 28,1 28,1 36,7 24,4 26,8 37,1 38,2 37,1	1956 1974 1971 1900 1931 1960 1972 1974 1969 1928 1955 1894 1963 1963 1961 1902 1891 1968 1968
1 2	1,0 1,8	Март 2,6 5,0	15,5 35,0	1957 1911	23 24 25	3,2 3,2 2,4	7,3 6,9 5,5	38,2 37,1 24,7	1882 1887 1948

5,5
6,8 27,2 1948 26 1,0 2,7 8,0 44,9 1904 26 1,0 2,7 6,6 47,4 1955 28 1,7 4,5 8,2 50,7 1940 29 1,7 4,5 5,9 31,0 1969 30 0,9 3,0 6,5 33,8 1946 7,7 55,3 1963 8,0 42,0 1930
55,3 1963 42,0 1930 Июль
1963 1930 1930 1939 1 1 0,8 3,0
Июль 1 0,8 3,0 2 1,0 2,8 3 1,4 4,0 4 1,7 4,7
Июль 0,8 3,0 1,0 2,8 1,4 4,0 1,7 4,7
Июль 3,0 2,8 4,0 4,7

Дата	\overline{X}	ď	Х макс	Год	Дата	\overline{x}	a	Х макс	Год
5 6 7	0,7 0,7 0,5	2,7 2,4 1,6	21,0 15,6 19.6	1890 1974 1973	28 29 30	0,4	2,3 5,5 4,1	16,1 33,2 20,5	1951 1881 1920
8 9	0,7	2,6 3,6	28,4 24,7	1970 1887			Октябри		
10 11 12 13 14 15 16 17 18 19 20 21 22 23 24 25 26 27 28 29 30 31	0,4 0,6 1,5 0,7 0,7 0,2 0,7 1,3 1,7 0,4 0,4 0,4 0,4 0,5 1,3	1,1 1,8 5,0 2,7 2,3 8,5 6,0 4,7 4,0 5,1 1,7 4,5 1,6 2,6 2,6 2,6 4,0 4,5 1,6 2,6 4,0 4,0 4,5 1,6 1,6 1,6 1,6 1,6 1,6 1,6 1,6 1,6 1,6	5,9 24,5 36,6 15,6 13,4 5,2 16,9 21,7 24,5 29,5 4,2 23,5 4,1 13,5 14,5 14,5 14,5 14,5 14,5 14,5 14,5 15,5 16,9 17,5 16,9 16,9 17,5 18,5 18,5 18,5 18,5 18,5 18,5 18,5 18	1887 1969 1958 1934 1921 1946 1895 1967 1896 1900 1905 1965 1967 1908 1881 1927 1911 1968 1950	1 2 3 4 5 6 7 8 9 10 11 12 13 14 15 16 17 18 19 20 21	0,5 2,4 1,3 1,1 0,4 1,8 0,6 0,7 2,5 2,1 1,0 1,1 1,0 2,1 1,0 8,8	1,7455996044281350825886684 42,81350825886684 5,15345322435	25,1 31,5 27,0 30,3 25,8 29,7 30,7 13,8 23,0 15,1 32,2 16,4 33,8 27,1 31,7 215,7 215,2	1969 1911 1966 1894 1976 1886 1946 1913 1979 1892 1978 1940 1930 1967 1940 1889 1927 1963 1963 1963
·		Сентябрь			22 23	0,7 1,7	2,6 4,6	19,5 23.3	1977 1946
1 2 3 4 5 6 7 8	0,8 0,3 0,5 0,8 0,5 0,5 0,4	2,5 1,3 2,9 3,6 1,8 1,5 2,0 1.5	13,1 9,2 24,7 25,8 13,6 9,1 25,3 10,9 43,8	1928 1923 1897 1896 1968 1977 1973 1919	24 25 26 27 28 29 30 31	1,6 2,4 2,1 3,0 2,6 1,0 2,2	6,4 6,9 5,0 3,0 5,5 4,8	16,6 27,6 38,4 28,7 16,5 18,5 28,2 25,2	1937 1953 1901 1882 1893 1893 1944 1936
9	1,2 1,2 0,5	5,4 4,1 1,7	27,5	1890 1939	1 1		Ноябрь 3,8 ।	[8,3]	1927
11 12 13 14 15 16 17 18 19 20 21 22 23 24 25 26 27	0,5 0,9 0,9 0,8 0,7 1,0 1,1 1,3 0,7 	1,7 3,7 2,6 6,2 3,9 4,3 2,7 2,1 2,1 4,4 4,5	15,5 18,3 24,9 34,9 28,0 25,3 24,1 37,8 37,2 15,2 17,0 28,2 13,9 36,7 21,6 32,0	1973 1923 1954 1969 1884 1924 1928 1909 1947 1944 ——————————————————————————————————	2 3 4 5 6 7 8 9 10 11 12 13 14 15 16 17 18	1,6 1,8 1,1 1,5 2,1 2,6 1,7 1,5 8 3,0 1,4 1,0 1,1 1,6 1,1	3,8 4,3 3,8 0,7 5,6 4,2 3,1 5,7 4,5 4,3 4,3 4,3 4,3 7,1 4,5 4,3 4,3 4,3 4,3 7,1 4,5 4,7 1,7 1,7 1,7 1,7 1,7 1,7 1,7 1,7 1,7 1	24,2 17,1 19,5 23,6 26,1 45,8 34,4 20,3 28,0 24,1 16,9 23,3 22,6 23,0 28,4 14,2	1881 1946 1947 1939 1941 1904 1901 1972 1939 1897 1972 1940 1885 1920 1888 1908

Дата	\overline{x}	σ	<i>X</i> макс	Год	Дата	\overline{x}	σ	х макс	Год
19	1,7	5,0	26,8	1951	10	0,5	1,6	10,0	1916
20	0,9	2,6	16,5	1885	11	0,8	2,2	19,4	1978
21	1,8	4,5	21,8	1932	12	0,7	2,1	12,0	1952
22	1,7	3,4	31,1	1966	13	1,3	3,1	12,7	1906
23	1,7	4.0	24,1	1946	14	1,0	2,4	12,0	1943
24	1,2	2,7	17,8	1881	15	1,0	2,5	13,7	1975
25	1,9	3,7	13,9	1886	16	1,9	4,1	20,0	1954
26	0,7	2,3	20,6	1973	17	0,3	0,9	14,7	1966
27	1,2	2,9	13,2	1959	18	1,2	3,7	20,6	1886
28	1,2	4.4	32,7	1953	19	1,3	3,1	16,4	1940
29	1,3	3,1	15,6	1964	20	1,2	3,4	20,2	1943
30	0,9	2,7	18,3	1885	21	1,0	2,5	11,3	1960
	,-	Декабры	•		22	0,8	3,2	17,7	1951
1	1,2	3,0	17,6	1886	23	1,1	4,0	32,8	1893
2	1,2	3,7	25,0	1925	24	1,3	3,5	21,0	1912
3	0,9	3,2	23,3	1895	25	0,7	1,9	16,0	1975
4	1,1	3,1	19,4	1915	26	1,1	2,7	13,9	1933
5	0,9	2,2	11,5	1922	27	0,8	2,2	16,2	1947
6	1,5	3,4	13,3	1939	28	1,1	2,3	10,5	1958
7	1,2	2,9	16,2	1934	29	0,6	1,6	7,5	1921
8	1,0	2,7	18,4	1902	30	0,8	2,8	16,8	1902
9	1,3	3,7	26,0	1887	31	0,4	1,2	6,5	1940

Tаблица 22 Число случаев n с основными видами атмосферных осадков и их непрерывная продолжительность $au_{\text{непр}}$ (ч). Алма-Ата, ГМО

Вид осадков	Характе- ристика	I	11	111	ΙV	V	VΙ	VII	VIII	ΙX	х	ХI	XII
Осадки (все виды) Дождь Снег Морось Ливневые осадки Ливневые осадки и грозы	n THEND n THEND n THEND n THEND n THEND n	14,1 6,7 3,9 3,3 12,9 6,6 1,5 2,4 0,5	7,1 5,0 3,8 11,2 7,1 1,3 2,0 6,0	6,6 13,4 4,7 10,5 6,6 2,9 2,6 3,4,3 0,2,3	4,3 21,2 3,8 3,2 5,1 0,9 13,4 2,5 2,1,5	3,0 27,0 2,9 0,4 3,1 0,7 1,6 21,8 2,2 5,6	1,6 28,7 1,6 0,1 2,3 26,1 1,5 7,7	27,8 1,1 0 0 25,8 1,1 8,2	1,4 0,1 1,1 0,1 1,1 15,7	2,2 12,4 2,1 0,2 3,3 0,1 0,5 9,8 1,7	10,6 4,5 2,1 1,3 1,9 3,3 7,2,7 2,7 2,7	6,5 8,9 4,6 8,4 6,3 1,9 2,6 1,6 2,3 0,02	5,5 3,6 11,4 6,6 1,7 2,6 0,4 1,6

Таблица 23 Высота, плотность и запас воды в снеге

		IX	1	Х		Ī	XI		ī	XII]	1	
Характеристика	2	3	1	2	3	1	2	3	1	2	3	1	2	3
					Алма	-Ата, а	эропор	T					***************************************	·
Высота, см	1	1	1	1] •	1	اً عَ		(3 11	14	17	19	1 21
					Алі	ма-Ата,	ГМО		•	•	•	•		
Высота, см Плотность, г/см Запас воды, мм			Mono			2	4	0,15 12	0,17	F 25	0,18 37	16 0,20 43	0,22 52	0,23 54
D		,	меде	о и Ал	ima-Ati	нская								
Высота, см Плотность, г/см Запас воды, мм	•	•	•	•	•	0,15 16	0,18 31	0,17 40	0,18 0,18 48	30 3 0,18 58	0,19 75	39 0,19 78	0,20 82	0,20 94
		II			111	******	1	ΙV	1	V	•	Наибол	њшее за зна	лу значение
Характеристика	1	2	3	1	2	3	1	2	3	1	2 3	среднее	Makemaar	1
					Алм	a-Ara,	аэроног)т						
Высота, см	23	22	18	14			•		1	1	I	1 28	55	8 1
_					Али	ма-Ата,	ГМО	•	•		•	•	1	
Высота, см Плотность, г/см Запас воды, мм	0,24 56	0,25 49	0,24 37	16 • 27	10	3	6	•	•	•	•	0,18 69	58	7
_				ео и Ал	ма-Атн	нская (селесто	ковая с	танці	ІЯ	•	'		•
Высота, см Плотность, г/см Запас воды, мм	$\begin{bmatrix} 52 \\ 0,21 \\ 102 \end{bmatrix}$	0,21 109	0,24 118	55 0,24 127	0,27 128	37 0,28 109	0,32 53	0	•			0,20 157	112	38

Примечание. Точка (\cdot) означает, что снежный покров наблюдался менее чем в 50 % зим.

Таблица 24

Средняя месячная и годовая облачность (баллы) в разные часы суток.

Алма-Ата, ГМО

Время, ч	I	11	III	IV	V	VI	VII	VIII	ΙX	х	ХI	ХII	Год	
	Общая													
0 3 6 9 12 15 18 21 Средняя	5,0 5,2 6,9 6,4 6,5 5,5 6,0	6,7 6,8 6,9 5,5 5,1	7,4 7,4 7,9 8,2 6,6 6,2	5,2 6,5 6,5 6,8 7,5 8,3 5,6 6,6	5,3	5,3	3,6 5,4 5,2 4,9 5,9 6,0 4,3 5,2	3,0 4,3 4,2 4,7 5,4 4,6 3,2 4,2		3,7 3,6 5,3 5,1 5,6 6,0 4,1 3,6 4,6	4,6 4,8 6,1 5,8 6,0 6,3 5,1 4,7 5,4	5,8	4,6 5,3 6,0 5,9 6,4 6,8 5,8 4,8 5,7	
						Ниж	RRH							
0 3 6 9 12 15 18 21 Средняя	2,2 2,6 2,6 2,6 1,8 2,4 2,7 2,7 2,7	2,5	1 '	2,5 3,1 2,8 3,1 3,9 4,0 2,6 3,1	2,2 2,5 2,2 3,3 4,1 4,2 3,7 2,6	13.0	1,3 2,4 2,5 3,5 3,5 1,9 2,6	1,2 2,1 2,0 2,2 3,0 3,2 2,4 1,4 2,2	1,3	1,9 2,2 2,5 1,9 1,6	3,0 2,6 2,6 2,6 3,0 2,7 2,7	3,4 3,1 2,9 2,8 3,4 3,6 3,4	2,1 2,6 2,5 2,3 2,3 2,3 2,6	

Таблица 25
Повторяемость (%) ясного (0—2 балла), полуясного (3—7 баллов) и пасмурного (8—10 баллов) состояния неба по общей и нижней облачности

		Общая облачн	ость	H	жняя облачн	ость
Сезон	ясно	полуясно	пасмурно	ясно	полуясно	пасмурно
		,	Ата, ГМО			•
Знма Весна Лето Осень Год	32 28 44 46 37	8 11 18 11 12	60 61 38 43 51	68 63 73 75 69	11 16 7	28 26 11 18 21
	•	Алма-Ат	а, аэропорт			
Зима Весна Лето Осень Год	29 29 45 48 38	10 16 23 15 16	61 55 32 37 46	63 62 70 74 67	12 18 7 10	33 26 12 19 22

Tаблица 26 Число ясных и пасмурных дней n по общей и нижней облычности

					21.72 11 14					manife of	30100 11100 111			
Дин	Характери стика	I	II	- 111	IV	v	VI	VII	. VIII	IX	х	XI	XII	Год
	По общей облачностн Алма-Ата, ГМО													
Ясные	п п _{нанб} п _{наим}	4,8 19 0	4,2 7	3,1 10 0	3,5 11 0	3,7 10 0	4,5 10 0	6,6 14 1	9,5 17 1	11,2 19 5	8,8 15 1	5,6 15 0	5,3 14 0	71 93 45
Пасмурные	п п _{нанб} п _{нанм}	11,6 20 1	11,6 23 7	15,4 25 4	12,3 24 5	11,5 19 2	7,8 16 2	5,7 12 0	4,3 9 1	4,6 10 0	7,1 16 1	10,7 21 3	12,4 21 3	115 150 84
						Ал	ма-Ата,	аэроп	орт					
Ясные	$n_{\text{HaH6}} $ n_{HaHM}	4,0 12 0	4,1 8 0	3,6 9 1	4,5 9 0	4,9 11 1	6,0 9 0	8,2 15 2	11,3 17 3	13,6 19 7	10,4 19	6,1 13	4,5 13 0	81 106 49
Пасмурные	п п _{нанб} п _{наим}	13,2 19 8	12,1 20 6	13,8 21 8	11,3 23 4	9,0 13 3	7,1 12 3	4,1 11 1	3,4 6 0	3,0 6 1	6,6 17 0	10, I 17 2	12,9 24 5	107 141 72
						По в	нжней	облачі	юсти	•		•	•	
							\ лма-А∙							
Ясные	п п _{наиб} п _{нанм}	16,6 30 10	15,0 22 7	13,0 21 4	13,9 21 5	$\begin{bmatrix} 13,8 \\ 23 \\ 7 \end{bmatrix}$	$\begin{bmatrix} 13,6 \\ 22 \\ 5 \end{bmatrix}$	16,0 25 7	18,6 26 8	20,4 28 10	20,6 30 11	16,3 24 8	16,0 28 4	194 244 154
Пасмурные	п п _{наиб} п _{наим}	3,6 8 0	3,6 13 0	4,7 12 0	3,2 8 0	1,9 9 0	1,0 5 0	0,4 5 0	0,5 2 0	0,7 3 0	1,9 9 0	3,9 9 0	4,6 13 0	30 59 16
						Ал	ма-Ата,	аэроп	орт		·			
Ясные Пасмурные	п п _{нанб} п _{нанм} п п _{нанб}	14,0 21 9 5,1 11 2	13,0 21 6 4,6 12	12,5 20 7 5,2 12	14,8 21 6 3,5	14,8 23 7 2,0 5	14,7 21 8 1,6 5	17,3 26 6 0,8 3	19,3 25 12 0,4 2	21,4 27 16 0,9 3	20,3 30 9 2,1 10	15,1 22 5 3,9 8	14,3 26 4 5,1 11	192 234 154 35 59 18
1	n _{HallM}	2	1	1	1	0	0]	0	0	0	0	1	0	18

 Таблица 27

 Повторяемость (%) основных форм облаков в различные сроки наблюдений по сезонам. Алма-Ата, ГМО

				Вре	емя, ч							
Форма облаков	.0	3	6	9	12	15	18	21	Средняя			
			Зима	1		,						
Кучевые (Сu) Кучево-дождевые (Сb) Слоисто-кучевые (Sc) Слоистые (St) Слоисто-дождевые (Ns) Высоко-слоистые (As) Высоко-кучевые (Ac)	0,1 2 4 5 9 13 15	$\begin{bmatrix} 0,1\\ 2\\ 4 \end{bmatrix}$	0,2 3 6 5 11 14 27	1 2 4 5 8 16 20	2 2 4 5 7 19 20	0,4 3 6 6 8 16 26	0,1 2 5 6 10 16 15	0,2 5 5 9 12 15	0,5 2 5 5 9 15 19			
			Весн	a								
Кучевые (Сu) Кучево-дождевые (Сb) Слоисто-кучевые (Sc) Слоистые (St) Слоисто-дождевые (Ns) Высоко-слоистые (As) Высоко-кучевые (Ac)	0,9 9 2 8 10 23	12 12 12 2 9 11 27	8 10 10 3 8 13 32	27 14 6 4 5 13 24	34 22 8 2 5 17 21	20 26 14 2 6 18 34	2 19 14 2 7 13 29	1 12 10 2 6 12 22	12 15 10 2 7 13 26			
. Лето												
Кучевые (Сu) Кучево-дождевые (Сb) Слонсто-кучевые (Sc) Слонстые (St) Слонсто-дождевые (Ns) Высоко-слонстые (As) Высоко-кучевые (Ac)	$\begin{bmatrix} 2\\ 13\\ 9\\ 0\\ 0,1\\ 6\\ 31 \end{bmatrix}$	7 20 18 0,1 0 3 39	25 10 10 0 0,1 4 41	60 24 7 0,1 0,1 4 33	70 37 4 0,1 0,2 6 28	58 41 8 0 0,1 7 39	12 34 25 0,2 0 4 41	18 11 0 0 2 33	30 26 11 0,06 0,08 5 36			
			Осен	ь								
Кучевые (Си) Кучево-дождевые (Сb) Слоисто-кучевые (Sc) Слоистые (St) Слоисто-дождевые (Ns) Высоко-слоистые (As) Высоко-кучевые (Ac)	1 5 6 2 5 5 18	1 7 8 2 5 6 20	5 7 11 2 5 8 28	22 6 7 2 5 7 25	27 9 8 3 5 8 27	14 12 13 3 5 11 30	1 7 8 2 5 6 22	1 6 9 2 5 5 20	9 7 9 2 5 7 24			
			Год	į.								
Кучевые (Сu) Кучево-дождевые (Сb) Слоисто-кучевые (Sc) Слоистые (St) Слоисто-дождевые (Ns) Высоко-слоистые (As) Высоко-кучевые (Ac)	0,9 7 7 2 6 8 22	3 10 11 3 6 8 26	10 10 9 2 6 10 32	28 12 6 3 4 10 25	34 18 6 3 4 12 24	24 21 10 3 5 12 32	16 13 3 6 10 27	1 9 9 2 5 8 23	13 13 9 2 5 10 26			

Таблица 28
Повторяемость (%) высоты нижней границы облаков ниже определенных пределов

Высота, м	I	11	III	IV	v	VI	VII	IIIV	IX	x	XI	XII	Год	
						A_{JJ}	іма-Ата, Г	MO						
€50	0	0	0 [0	0	0	0	0	0	0	0	0	0	
<100	1	0,4	0,4	0,1	0,2	0	0	-0	0,1	0	0,3	0,5	0,2	
€200	4	4	6	2	0,9	0	0	0,1	0,4	2	4	8	3 .	
≪300	10	8	12	8	3	0,1	0	0,3	1	4	10	13	6	
						Алма	а-Ата, аэр	опорт			•			
≤ 50	0,5	0,4	0,05	0	0	0	0	0	0	0,05	0,2	0,5	0,1	
<100	3	3	2	0,3	0,1	0	0	0	0,02	0,4	3	5	' I	
<200	9	9	7	2	0,5	0	0,03	0,01	0,5	2	10	17	5	
≼300	13	13	12	4	1	0,2	0,1	0,1	1	4	13	21	7	
							Бурундай							
< 50 ∣	0,02	0	0,02	0	0	0	0	0	0,03	0	0,03	0,1	0,02	
<100	1	1	0,4	0,1	0,03	0	0	0	0,1	0,1	1,9	2	0,5	
<200	6	8	6	2	0,4	0,03	0	, 0	0,3	1	10	14	4	
≪300	10	12	11,3	4	1	0,1	0	0	0,6	3	14	18	6	

 219

Таблица 29 Число дней *п* с туманом

					Ч	исло дней	п с тума	ном					
Показатель	I	II	III	ΙV	V	VI	AII	, AIII	IX	Х	ΧI	XII	Год
		, i				Алма-Ата	а, аэро пор	T					
n σ C_v $n_{ m HaH6}$ Γ ОД	11,8 3,92 0,33 19 1944, 1946, 1953 1 1969	10,7 3,66 0,34 18 1944 3 1943	5,7 4,01 17 1969 0 1970	0,5 0,71 3 1954 0	0,3 0,50 2 1974 0	0,08 0,27 1 1945, 1950, 1967	0,00 0 0	0,05 0,22 1 1936	0,2 0,44 2 1941 0	0,9 0,98 3 1956, 1965, 1969 0	6,3 3,53 15 1971 1 1937, 1950, 1957	11,3 4,58 0,41 22 1939 3 1937	47,8 8,91 0,19 63 1954 24 1936
			•	•	,	Б у р;	ундай						•
$\frac{\overline{n}}{n}$ σ C_v $n_{ ext{Hau6}}$ Γ ОД $n_{ ext{Haum}}$ Γ ОД	9,8 2,71 0,28 14 1974 6 1972	10,2 1,72 0,17 13 1974 8	4,6 1,36 6 1972, 1973 3 1974, 1975	1,4 0,81 3 1974 0 1975	0,6 0,65 2 1973 0	0,2 0,36 1973 0	0,0	0,0	$\begin{vmatrix} 0,4\\0,37\\1971,1972\\0 \end{vmatrix}$	0,4 0,71 2 1974 0	9,6 3,00 0,31 14 1971 0 1973	12,2 2,93 0,24 17 1972 8 1974	49,4 4,76 0,10 55 1974 43 1973
						Алма-А	Ата, ГМО			•			
$\frac{\overline{n}}{\sigma}$ C_v	11,8 6,64 0,56	9,9 5,41 0,55	7,2 3,82	1,1 1,46	0,4	0,1 0,40	0,1 0,47	0,05 0,22	0,2	1,8 1,64	7,9 3,92	12,3 5,26 0,43	52,8 18,62 0,35

Показатель	1	11	111	IV	v	IV	IIV	1117	IX	х	XI	XII	Год
n _{напб} Год n _{папм} Год	29 1946 0 1963	21 1960 0 1972	15 1951, 1969 0 1970	7 1954 0	3 1949 0	1967 0	3 1946. 0	1 1944, 1949 0	1 1943, 1973 0 1964	7 1951 и др. 0	18 1945 2 1964, 1969	24 1958 2 1974	97 1951 18 1974
			·			Алма-А	Ата, агро						
$egin{array}{ccc} \hline n & & & & & & & & & & & & & & & & & &$	6,0 2,58 12 1966 1	8,7 2,49 11 1962, 1973 и др. 3 1969	11,4 3,72 0,33 18 1969 6 1961,1970	8,6 3,89 15 1974 2 1975	4,9 2,09 1969 1967	1,7 1,42 5 1967 0	0,5 0,72 2 1968, 1972 0	0,9 0,85 1961, 1974 идр. 0	1,9 1,32 4 1961, 1973 и др. 0 1970	7,3 3,72 15 1969 2 1974	9,0 2,90 14 1974 4 1967	9,0 4,26 17 1972 1 1961	69,9 10,76 0,15 92 1969 44 1975
				Мед	цео и А	Алма-Атнн	ская селес	стоковая с	т.				
п с С v пнан б Год пнан в Год	4,8 2,96 11 1954 0 1939	5,5 2,79 12 1952 0 1939	10,0 4,76 0,48 18 1952 1	6,7 4,75 19 1958 0 1939	3,8 3,35 16 1960 0	1,4 1,52 5 1942, 1954 0	0,6 0,96 3 1954, 1959 0	0,6 1,15 5 1958 0	1,8 1,47 5 1954 0	5,0 3,84 18 1951 0 1936, 1954	6,4 2,44 12 1958 0 1936	4,6 3,00 12 1958 0 1936	51,2 16,85 0,33 95 1958 15 1936

Таблица 30 Средняя продолжительность туманов т (ч)

				Сред	няя	прод	олжи	тель	HOC	гь т	уман	ов т	(4)				
Продо	тижі	ельно	ость	· _	11	111	ΙΛ	۷	VI	VII	VIII	ΙΧ	×	XI	XII	Год	туманом
					• • • • • • • • • • • • • • • • • • • •	A.1	іма-А	та.	аэр	onor	ЭT						
Общая Непрер случай	ывн	ная :	за	64 4,2	61 4,4		. 1	0.6	0,2	,		0,3 1,5	3,9	34 4,3	74 5,0	266 4,3	5,6
·							Алма										
Общая Непреј случай	ывн	ная			60 4,8	3,9	Į	1	l			l	l	l	73 4,8	295 4,3	5,6
			` M	lедео	и А	лма-				лест	ок о в:	ая ст	ганці	in 		1.00	
Общая Непреј случај	ыві	ная	за	28 4,0	$\begin{bmatrix} 25 \\ 3,8 \end{bmatrix}$	59 4,4	34 3,6		2,4	0,	9 2 42,1	$\begin{vmatrix} 3, 8 \\ 3, 2 \end{vmatrix}$	$\begin{vmatrix} 27\\4,0 \end{vmatrix}$	36 4,2	3,4	267 3,8	5,2
•								блиг									
	Повторяемость (%) туманов различной продолжительности. Алма-Ата, ГМО																
		,					Алма	-AT	1, 1		долж		10071	**			
					_		1		<u> </u>	Tipe	долж	1	100.711,	-1			
- -			σ,	'	Sv	1	1	1-3		-6	6-9	9.	-12	12-1	5 15	-18	18—21
4,2	!	5	,42	1	,29	29		35	2	1	9		4	3		2	1
	-			п	родол	жител	ьност	ь, ч									
21-24	24	27	273	0 30	-33	33—3	5 3	6—39		39—5	i1	>	51	₹,	акс	Į ,	[ата
0,7	0	,4	0,3),1	0,1),1		0,		0,	1	55	5,9		–23 II 62 r.
	1		1	,	,		τ.	абли	ua.	32	•						
	n	род	ижко	телы	ность	тум В	анов разн	(B	% о	т об	бщей ток	прод	жкод	ител	ьност	ти)	
	Интервал времени, ч I II II					ıv	v	VΙ	\ \	111	VIII	ıx		x	ХI	XII	Год
				<u> </u>	٨	лма-	Ата	35	non.)BT	·	•					
24 6	18—24 23 21 2 24—6 31 35 3 6—12 35 35 3 12—18 11 9					$\begin{bmatrix} 4 \\ 60 \\ 34 \\ 2 \end{bmatrix}$	75 25	77 23			100	32 65 3	4	2 5 5 8	15 30 43 12	26 30 30 14	33 34 11
12—18 11 9 7						Алм	ra-A	ra,	ΓMC)	•	•		•			
24 6	$\begin{array}{c cccc} 18-24 & & 24 & 23 \\ 24-6 & & 21 & 25 \\ 6-12 & & 31 & 35 \\ 12-18 & & 24 & 17 \end{array}$					15 25 50 10	17 66 17	10 90	1	25 75	40 30 30	95	2	3 29 14 14	22 20 38 20	24 20 29 27	23 23 33 21

Таблица 33 Средняя суммарная продолжительность (ч) дымки

I II III IV V VI VII VIII IX	X X XI XII FOR
------------------------------	----------------

Алма-Ата, аэропорт

431,5 | 401,6 | 257,7 | 46,0 | 9,9 | 1,3 | 0,8 | 0,8 | 5,5 | 68,2 | 384,0 | 411,4 | 1918,7 Бурундай

445,2 | 417,3 | 307,5 | 64,6 | 8,5 | 0,7 | 0,2 | 1,1 | 4,4 | 35,2 | 313,6 | 441,2 | 2039,5 Алма-Ата, ГМО

310,6 [325,2 [291,4]128,7]36,0] 3,0 [1,3] [5,0]17,1]112,6 [264,5]356,8 [1852,3 Алма-Ата, агро

12,7 | 20,7 | 34,7 | 10,4 | 6,2 | 0,4 | 1,9 | 2,3 | 3,0 | 12,2 | 19,6 | 9,6 | 133,7

Таблица 34 Число дней п с метелью

ıx	11%	I	II	III	IV	За сезон
		Алма	Ата, аэро	порт		*
0,1	0,1 0,28 1	0,04 0,20	0,1 0,33	$0,04 \\ 0,20 \\ 1$		0,4 0,71
1945, 1957 и др.	1948, 1952	1953	1936, 1958 и др.	1938		1948-49, 1952-53, 1957-58
			ға- А та, Г <i>N</i>	O		
$\begin{bmatrix} 0,2\\0,42\end{bmatrix}$		0,56	0,1	0,02 0,14	$\begin{bmatrix} 0.02\\0.14\end{bmatrix}$	0,7 1,1 <u>3</u>
1946	1948	1947	1 1945, 1955 и др [.]	1972	1952	5 1946-47
		Али		00	·	•
0,1	0,1 0,26	0,5 0,74	$\begin{bmatrix} 0,1\\0,52 \end{bmatrix}$	$0.1 \\ 0.26$	$\begin{bmatrix} 0, 1 \\ 0, 26 \end{bmatrix}$	1,0 1,14
1963, 1968	1966	1964, 1968	1967	1974	1968	1966-67, 1967-68
		ма-Ати	нская селе	стоковая	станці	is
0,1 0,26 1 1940,1963	0,03 0,18 1 1943			0,1 0,35 1 1938,	0,03 0,18 1 1958	0,5 0,71 3 1957-58
	0,1 0,33 1945, 1957 и др. 0,2 0,42 21946 0,1 0,35 1963,1968	0,1 0,28 1 1948, 1952 1945, 1948, 1952 0,2 0,2 0,53 2 3 1946 1948 1966 1963, 1968 1966 1966 1966 1 0,03 0,1 0,26 1 0,03 0,18 1 0,18 1	Алма О,1 О,28 О,20 1945, 1948, 1952 1953 1957 и др. О,2 О,2 0,2 О,2 О,5 1946 1948 1947 О,1 О,1 О,5 1963, 1968 1966 1964, 1968 Медео и Алма-Ати О,1 О,3 О,1 1968 О,26 О,74 1968 О,26 О,74 1968 О,1 О,5 О,2 О,3 О,1 0,0 О,3 О,1 0,0 О,3 О,1 0,26 О,18 О,26 1 1	Алма-Ата, аэрог 0,1 0,38 0,28 0,20 0,33 1 1 1945, 1948, 1952 1953 1936, 1958 и др. Алма-Ата, ГМ 0,2 0,2 0,2 0,1 0,36 1958 и др. Алма-Ата, ГМ 0,2 0,53 0,56 0,30 1 2 3 3 3 1946 1948 1947 1945, 1955 и др. Алма-Ата, агг 0,1 0,1 0,1 0,5 0,1 1955 и др. 1 1 1 2 2 2 2 1963, 1968 1966 1964, 1967 1968 1968 1966 1964, 1967 1968 1968 1968 1968 1968 1968 1968 1968	Алма-Ата, аэропорт 0,1 0,1 0,04 0,1 0,04 1,1 1 1 1 1 1,945, 1948, 1952 1953 1936, 1938 1957 и др.	Алма-Ата, аэропорт О,1 О,28 О,20 О,33 О,20 1945, 1948, 1952 1953 1936, 1938 1957 и др. О,2 О,2 О,5 О,5 1946 1948 1947 1945, 1972 1952

Таблица 35

Повторяемость (%) различного числа дней с метелью. Алма-Ата, ГМО

Дии	ХI	XII	ı	11	111	IV	За сезон
0 1 2 3 4 5	88 10 2	90 8 2	85 13 2	90 10	98 2	98 2	65 18 13 2 2

 Таблица 36

 Средняя непрерывная продолжительность (ч) периода с метелью

Станция	ХI	XII	I	II	111	IV .	За сезон
Алма-Ата, аэропорт Алма-Ата, ГМО Медео и Алма-Атинская	1,3 1,5 0,3	1,9 1,0 2,0	0,8 1,2 1,8	2,1 1,2 4,0	7,0 1,6 0,5	0,8	2,2 1,2 1,5
селестоковая станция Алма-Ата, агро	0,4	1,1	0,9	0,7	0,4	1,1	0,8

Таблица 37
Повторяемость (%) метелей различной продолжительности.
Алма-Ата, ГМО

 			Продо	олжительност	гь, ч		
τ	σ	C _v	1	1-3	36	тмакс	Дата
 1,0	1,60	, 1,60	61	35	4	3,5	1 ХІ 1944 г.

Таблица 38 Число дней n с грозой

There And it o speed													
Показа- тель	I	11	III	ΙV	v .	VI	VII	VIII	ıx	Х	ХI	XII	Гол
					Алма	-Ата,	аэроп	орт					
п _б п _{нан6} Год		-		1,1 1,2 3 1945, 1950 и др.	4,9 3,0 13 1956	6,5 2,6 12 1946, 1976	6,0 3,0 16 1964	1946	1,0 1,3 4 1941, 1975 и др.				23,1 8,0 46 1946
					Ал	ма-Ата	а, ГМ	0					
		1	0,2 0,47 2 1941, 1947	1,9 1,24 5 1979	2,85 15	10,2 3,12 17 1966, 1973	3,52 16	13	1,30	0,07 0,08 1 1940, 1973 и др.		0,02 0,01 1- 1977	34,0, 8,39 58 1941
					Ал	ма-Ат	а, агр	0					
			0,2 0,37 1 1962, 1972 и др.	2,5 1,63 6 1979	2,84	4,04	20	3,43	2,1 1,44 7 1975		0,05 0,22 1 1970	0,05 0,22 1 1977	44,8 8,12 68 1966

Таблица 39 Повторяемость (%) гроз различной продолжительности

	Продолжительность, ч												
			1 1	П	одол	жителы	ность,	1		ı			
	đ	1	1-2	2-3	34	4-5	5—6	67	78	8-9	тмак	c D	lara
					Аля	ма-Ата	. аэрс	тоопо					
0,8]	0,2	78	14	4	2				0,1	0,2	7,3	1V 2	1946 г.
					A	лма-А	та, ГЛ	ΛO					
0,8	0,2	65	25	6	2	1	1				4,6	19 VI 25 VII	1972 г. 1975 г
						Таблі							•
	ı				нсл	о дней	ncı	радо	M		·····		
Пока- затель	I	II	ΙV	V		VI	V	11	VIII	I	x _	х	Год
					Аль	та-Ата	, аэро	порт			N East		
n o	0,0		$0,1 \\ 0,42$	0,4		$0.3 \\ 0.64$	$\begin{bmatrix} 0 \\ 0.3 \end{bmatrix}$		0.10				1,1
$n_{ m наиб}$ Год	194 196		1963	1954	? [3 1953	19 ² 190	1 0,	1 1943, 1968				1953
	ŀ	l		l			и		и др.		I		
				_		лма-А							
n 5	$\begin{bmatrix} 0,0\\0,2 \end{bmatrix}$	3	$0.1 \\ 0.31$	0,4	;	0,4 0,63	$\int_{0,6}^{0}$		0,9 0,37	0.0	$\begin{bmatrix} 5 \\ 2 \end{bmatrix}$	$0,01 \\ 0,11$	1,4
<i>п</i> _{нано́} Год	192		1 1926,	1947		2 1903,	19	2	2 1924,	192	1	1 1909	7 1947
	196 ид		1964 и др.			1979 и др.	194 H J		1937	194 ид	8		
					A	лма-А	ra, ar	ро					
$\frac{n}{\sigma}$	0,0 0,1	$\frac{3}{8}$	0,5 0,79	$\begin{bmatrix} 0,6\\0,71 \end{bmatrix}$	-	0,7 0,88	0,		$^{0,2}_{0,50}$	$\begin{bmatrix} 0,0\\0,2 \end{bmatrix}$	3		2,6
<i>п</i> _{нанб} Год		1	1965.	1963		3 1972	197	4	1975	1 '	1		1,94
			1967	1978		1072	137		1910	190	١		1972
						Me,	цео						
$\frac{\overline{n}}{\sigma}$	0.000	5	$0,4 \\ 0,48$	0,91		$0,6 \\ 0,83$	$\begin{bmatrix} 0, 0, 4 \end{bmatrix}$	3	0,4 $0,86$	$\begin{bmatrix} 0, \\ 0, 4 \end{bmatrix}$	3		3,0
n _{нанб} Год		1	1 1931,	1946		3 1943	193	1	1934	193	1		1,56
,			1953' и др.	1952			194	8	1001	195	0		1943
,			•				~	1 - 1		,	L. I		ŧ

Таблица 41 · Повторяемость (%) различного числа дней с градом

				-				17	F
Дни	111	IV	V	VI	VII	VIII	IX	Х	Год
	·		Алма-	Ата, а	эропорт	r		•	
0 1 2 3 4	94 6	91 6 3	67 30 3	76 21 3	88 12	88 12			28 44 19 6 3
			Алм	а-Ата,	ГМО				
0 1 2 3 4 5 6 7	95 5	89 11	67 21 11 , 1	66 26 8	80 12 8	93 4 3	95 5	99	32 23 30 11 1 1 1
•	•			Меде	0	•			
0 1 2 3 4 5 6	95 5	68 27 5	35 43 13 9	65 22 9 4	64 32 4	79 17 4	72 28		5 21 21 16 21

 $Tаблица\ 42$ Повторяемость (%) града различной продолжительности. Алма-Ата, ГМО.

			Продолжите	пыность, мин			
Ť	σ.	≪ 5	6—15	16—30	31—45	тмакс	Дата
7,1	8,2	48	45	5	2	45	11 V 1944 r.

Таблица 43
Повторяемость (%) различных градаций дальности видимости

Дальность, видимости, км	II	111	IV	V	VI	VII	VIII	IX	х	ΧI	XII
$\begin{pmatrix} < 0,5 \\ 0,5-1,0 \\ 1-2 \\ 2-4 \end{pmatrix} \begin{pmatrix} 4 \\ 3 \\ 9 \\ 31 \end{pmatrix}$	4 3 8 32	3 1 3 13	Алма 3 62	-Ата, 1 41	аэ роп	орт	28	1 47	1 4 74	5 2 5 22 61	7 4 10 31 47

Дальность, видимости, км	I	II	111	IV	v ·	VI	VII	VIII	ΙX	х	ΧI	IIX
					Буруг	ндай						
<pre>0,5 0,5-1,0 1-2 2-4 4-10 >10</pre>	5 4 8 25 48	6 4 8 38 43	2 2 3 19 71 3	3 87 10	1 80 19	70 30	68 32	1 73 26	1 80 19	1 3 91 5	7 2 4 18 68 1	8 3 8 40 41
				Алм	иа-Ата	, ГМ)					
<0,5 0,5-1,0 1-2 2-4 4-10 >10	6 10 16 31 24 13	6 11 19 31 24 9	4 5 11 30 33 17	1 2 21 30 36	1 7 31 61	2 24 74	1 21 88	3 30 67	6 37 57	2 13 45 35	6 5 10 27 34 18	10 10 18 27 25 10

Таблица 44
Повторяемость (%) горизонтальной видимости 1 км и менее при различных скоростях ветра

Скорость ветра, м/с	1	11	Ш	IV	v	VI	VII	VIII	ΙX	х	ХI	XII
				Алма	Ата,	аэроп	орт					
Штиль 1—2 3—5 6—11 > 12	36 53 9 2	32 57 11	21 64 14 1	26 55 11 4 4	31 46 23	40 20	100	100	38 50	43 51 3	28 60 11	32 59 9
<i></i>			ı	4 (Буру	40 (ндай	İ	100	12	3		
Штиль 1—2 3—5 6—11 12 > 12	35 53 10 2	26 59 14 1	31 48 18 3	65 30	29 42 29	50 25 25		50 50	18 55 18 9	13 75 12	24 65 10 1	32 56 11 1
				Али	а-Ата	i, ΓΜ()					
Штиль 1—2 3—5 6—11	59 39 2	56 42 2	43 57	14 68 14 4	34 33 33	100		·	100	29 71	43 56 1	58 41 1

Таблица 45 Среднее число дней с гололедом, изморозью и отложением мокрого снега. Алма-Ата, ГМО

				C	реднее				Среднее	Максималь- ное за	Год
Вид отложения	х	XI	11X	I .	11	111	īv	V	за период	период	
Гололед	0,2	1,4	1,5	1,0	1,0	2,0	0,3	0,04	7,4	21	1951-52 1959-60
Изморозь зернистая	0,1	0,9	4,2	3,5	3,9	1,7	i i		14,3	34	1952-53
Изморозь кристалличе-		1,0	1,8	3,7	1,4	0,2			8,1	37	1958-59
Мокрый снег	0,5	0,6	0,4	0,6	0,7	0,2	0,3		3,8	8	1965-66
Сложное отложение		0,7	$_{2,2}$	1,4	1,2	0,5			6,0	18	1955-56
Bce виды $\overline{(x)}$	0,8	4,6	10,1	10,2	8,0	5,2	0,6	0,04	39,5	79	1959-60
σ	1,28	3,84	4,91	6,86	4,40	4,32	0,86	0,20	19,27		1
C_{v}	,		0,49	0,67					0,49		
Максимальное	4	12	19	22	16	16	2	1			
Год	1957	1952, 1959 н др.	1951	1962	1956	1960	1955, 1972 и др.	1952			

Таблица 46
Продолжительность (ч) одного случая гололедно-изморозевых явлений.
Алма-Ата, ГМО

Продолжительность	х	ХI	XII	I	II	III	IV	За сезон
		Γα	ололед	130-1				
Средняя Наибольшая Год	9 12 1951	14 40 1958	19 63 1964	14 44 1971	12 47 1966	13 62 1963	19 38 1955	14 63 1964
]	Ізмороз	вь зерні	нстая				
Средняя Наибольшая Год	12 12 1957	11 25 1969	17 70 1959	15 63 1958	14 84 1963	8 42 1960		13 84 1963
	Изм	орозь к	ристал.	лическа	R.			
Средняя Нан боль шая Год		13 36 1959	16 40 1959	16 64 1962	11 19 1956	12 15 1959		14 64 1962
	Сложное	отложе	ение и	мокр ы й	і снег			
Средняя Наибольшая Год	12 19 1969	24 63 1961	49 142 1956	34 114 1954	29 90 1960	17 54 1955	12 20 1958	25 122 1956

Таблица 47

Повторяемость (%) различной продолжительности обледенения проводов

				• • •				,		
			C	Прод	тижиор	ельность	обледен	ения, ч	n npo- ens- a ce-	за за
Процесс	t	σ	C _v	≪6	7-12	1324	25—48	> 48	Средия должит пость з зон, ч	Средне случаев сезон
			Алм	га-Ата	, Г М С					
Нарастание Обледенение	6,7 17,1	6,19 17,16					2 10	5	17,2 431	25
	Медес	он Ал	ма-Ати	нская	селест	гоковая	станц	ня	·	
Нарастание Обледенение	6,3 19,0	, 6,60 17,08	1,05 0,90	69 18	20 28	8 33	3 15	6	113 364	19

Таблица 48

Суммарная продолжительность (ч) гололедно-изморозевых явлений. Алма-Ата, ГМО

Продолжительность	х	ХI	IIX	I	II	III	IV	v	За сезон				
Гололед													
Средняя Наибольшая Наименьшая	3 32 0	11 42 0	18 102 0	11 84 0	8 54 0	20 83 0	38 0	0,3 8 0	75 216 3				

Продолжительност	Ы	х	ХI	XII	ı	II		[[]]	v	,	v	За	ce3011
-			,	Измој	озь зе	рниста	я							
Средняя Наибольшая Наименьшая		0,5 12 0	7 47 0	46 133 0	37 133 0	40 135 0		12 65 0						142 345 15
			Из	змор о зі	ь крист	алличе	ск	ая				•		
Средняя Наибольшая Наименьшая			9 71 0	20 152 0	40 163 0	80 0		$\begin{smallmatrix}2\\41\\0\end{smallmatrix}$					ć	82 372 0
				Слож	ное от	ложен	1e							
Средняя Наибольшая Наименьшая			9 104 0	43 272 0	114 0	16 138 0		6 54 0						96 296 0
				M	окрый	снег								
Средняя Наибольшая Наименьшая		$\begin{bmatrix} 4 \\ 24 \\ 0 \end{bmatrix}$	6 27 0	56 0	5 40 0	11 124 0		5 21 0		2 20 0				37 147 0

Таблица 49

Максимальный по массе размер отложения (мм) на проводах

Вид отложения	Парастания на	юсть,	Большой диаметр, мм	Малый диаметр, мм	Macca, r	Скорость ветра при достижении макси- мального отложения, м/с	Максимальная ско- рость ветра за пери- од отложения, м/с	Дата
	<u> </u>	A.	пма-1	\ та,	LWO			
Гололед Изморозь зернистая Изморозь кристалличе-	9 46 36	13 63 64	13 27 29	12 25 24	~ 32 60 32	3 1 0	3 1 3	19 III 1964 r. 10—12 I 1958 r. 2—5 I 1962 r.
ская Мокрый снег Сложное отложение	3 12	18 57	47 38	36 5	176 72	1 0	3 0	21—22 X 1960 г. 9—11 XII 1966 г.
Медео	и Ал	ма-А	тинс	сая с	елест	оковая	станц	ия
Гололед Изморозь зернистая Изморозь кристалличе- ская	8 16 9	30 36 16	9 17 15	7 15 13	16 80	1	3 2	5—7 XII 1958 r. 4—5 III 1955 r. 10—11 XII 1962 r.
Мокрый снег Сложное отложение	32	5 85	71 25	42 16	216 72		5	2 IV 1958 r. 13-17 XI 1961 r.

 Таблица 50

 Повторяемость (%) скорости ветра при максимальных размерах отложения льда на проводах. Алма-Ата, ГМО

	Скорость ветра, м/с									
Вид отложения	0-1	2-5	6–9	10-13	14—17					
Гололед	69	30			ī					
Изморозь зернистая	88	12			•					
Изморозь кристалличе- ская	90	10								
Мокрый снег	76	24								
Сложное отложение	83	17								

Таблица 51
Повторяемость (%) температуры воздуха в различных пределах при гололедно-изморозевых отложениях. Алма-Ата, ГМО

					Темпе	ратура,	°C			
	5,0	0,1	0,0	. —4,9	-5,0.	9,9	-10,0	—19,9	< −20	
Вид отложения	в начале об- леденения	при макси- мальном отло- жения	в пачале обле- денения	при макси- мальном отло- жении	в начале обле- денения	при макси- мальном отло- жения	в начале обле- денения	при макси- мальном отло- жении	в начале обле- денения	при макси- мальном отло- жении
Гололед Изморозь зернистая Изморозь кристалличе- ская	80,4	6 0,4	87 24 7	83 22 5	5 51 23	10 47 24	22 64	1 29 63	3 6.	2 8
Ская Мокрый снег Сложное отложение	59 15	24 2	39 7 9	74 51	6	28	2	2 17		2

Таблица 52

Максимальные гололедные нагрузки, возможные один раз в заданное число лет (кг/м). Алма-Ата, ГМО

, M	Пе	риод пов	торения,	число л	ет	=	Период повторения, число лет						
Высота,	2	5	10	15	20	Высота,	2	5	10	15	. 20		
100	0,3	0,4	0,5	0,6	0,6	300	0,4	0,7	1,0	1,2	1,3		
200	0,4	0,7	0,9	1,1	1,3	500	0,6	0,8	1;0	1,3	1,4		

Комплексные характеристики

Таблица 53
Повторяемость (%) различных сочетаний температуры и относительной влажности воздуха. Год. Алма-Ата, ГМО

Относит влажно									Темпер	атура :	воздуха,	, °C				•			0сть, %	10сть, %
от	до	-3835	-34	-2925	-2420	-1915	-1410	-95	-41	0-4	5—9	10—14	15—19	20—24	25—29	30—34	35—39	40—42	Повторяемость,	Обеспеченность, %
100 90 80 70 60 50 40 30 20	91 81 71 61 51 41 31 21 11	0,0	0,0	0,0	0,0 0,3 0,3 0,0 0,0	0,2 1,0 0,6 0,2 0,1 0,0	0,8 1,8 1,0 0,6 0,4 0,1 0,0	2,3 2,2 1,3 1,2 0,9 0,4 0,1 0,0	3,4 2,0 1,4 1,4 1,0 0,6 0,2 0,0	2,5 1,9 2,3 2,1 1,8 1,1 0,4 0,1	1,1 1,3 1,6 2,0 2,0 1,6 0,7 0,2 0,0	0,6 1,0 1,4 2,3 2,7 2,4 1,6 0,6 0,1	0,1 0,5 1,0 2,1 3,4 3,6 2,6 1,2 0,2	0,0 0,0 0,2 0,8 2,7 4,6 4,5 2,1 0,3	0,0 0,0 0,3 1,4 2,9 2,1 0,4 0,0	0,0 0,0 0,0 0,3 0,9 0,4 0,0	0,0 0,0 0,1 0,0	0,0	11,0 12,0 11,2 12,7 15,3 15,8 13,3 7,2 1,5 0,0	,11,0 23,0 34,2 46,9 62,2 78,0 91,3 98,5 100 100
	оряе- сть	0,0	0,0	0,1	0,6	2,1	4,7	8,4	10,0	12,2	10,5	12,7	14,7	15,2	7,1	1,6	0,1	0,0		
	1ечен- Сть	100	100	100	99,9	99,3	97,2	92,5	84,1	74,1	61,9	51,4	38,7	24,0	8,8	1,7	0,1	0,0		

Примечание. Повторяемость менее 0,1 % обозначена 0,0.

Таблица 54
Повторяемость (%) различных сочетаний температуры и относительной влажности воздуха. Алма-Ата, ГМО

Относн	тельная	<u> </u>					Тем	перат	ура во	здуха,	°C				
влажно	ость, %	-32,0	-28,0	-24,0	-20,0	-16,0	-12,0	0,8-	4,0	0,1					
от	до	-33,932,0	-31,9	-27,924,0	-23,920,0	-19,916,0	-15,912,	-11,98,0	-7,94,0	-3,90,1	0,0,0,	4,0-7,9	8,0-11,9	12,0-15,9	16,0-19,9
							Знь Дег	•					•		
100 89 79 69 59 49 39 29	90 80 70 60 50 40 30 20		0,1		0,1	0,7 0,8 0,2 0,0	0,2 1,6 2,1 1,1 0,4	1,4 2,8 3,3 2,3 1,2 0,2 0,0	5,3 3,9 3,4 3,0 3,0 1,1 0,2 0,0	7,0 4,0 3,3 4,6 2,9 2,3 0,4	3,5 2,2 2,6 4,0 4,7 3,0 1,1 0,1	0,2 0,4 1,1 1,9 2,5 2,9 1,4 0,5 0,0	0,6	0,1 0,1 0,1 0,0	0,0 0,2 0,0
100 [90	1	ŀ	۱۸ ۸	ΙΛ 1 :	10 41	Ho		: 0 1	160		10.0	. 1		
89 79 69 59 49 39 29	80 70 60 50 40 30 20	0,0	0,0 0,1	0,0 0,1 0,5 0,0	0,1 0,8 1,1 0,2 0,0	0,4 3,1 1,8 0,4 0,2	2,2 4,9 2,2 0,8 0,6 0,1	5,0 6,2 2,4 2,3 1,7 0,7	8,1 4,0 3,0 3,4 2,2 1,7 0,3 0,1	6,9 2,8 2,7 3,2 3,0 1,8 1,1 0,2 0,0	1,6 1,4 1,4 2,1 3,0 2,0 1,0 0,2	0,2 0,3 0,2 0,5 1,1 0,9 1,0 0,2 0,0	10 1		
Относит	гельная						Тем	перат	ура во	здуха,	°C				
от	до	-19,916,0	-15,912,0	-11,98,0	-7,94,0	-3,90,1	0,0-3,9		6°/-0'#	8,0-11,9	12,0-15,9	16,0-19,9	20,0-23,9	24,0—27,9	28,0—31,9
<u>'</u>						_	Becı	ia	!	11		1			
100 .		_					Ден								
100 89 79 69 59 49 39 29 19	90 80 70 60 50 40 30 20 10 5			0,1 0,1 0,3 0,0	0,2 0,7 0,5 0,7 0,1	0,9 2,1 1,5 1,4 0,7 0,2	0, 2, 1, 1, 1, 0, 1, 0, 0, 0, 1	3 1 3 1 7 1 1 2 5 1 0 0	5 3 8 2 8 1 1 0	, [0,1 0,6 1,0 1,3 3,9 5,1 3,9 1,2 0,3	0,1 0,3 1,1 2,5 3,9 4,9 3,4	0,3 1,3 3,0 5,1 5,5 1,1 0,0	0,0 0,3 0,9 2,0 2,2 0,8 0,2	0,1 0,2 0,5 0,3 0,0

8 Заказ № 461

Относи	Относительная .						Темпе	ратура	воздух	a, °C				
влажно От		-19,916,0	-15,912,0	-11,98,0	-7,94,0	-3,90,1	0,0-3,9	4,0-7,9	8,0-11,9	12,0—15,9	16,0—19,9	20,0—23,9	24,0-27,9	28,0-31,9

Ночь

100 89 79 69 59 49	90 80 70 60 50 40	0,0	0,1 0,6 0,1 0,0	0,4 0,5 0,3 0,1	2,2 1,7 0,3 0,6 0,2	3,9 2,4 1,6 1,1 0,6 0,3 0,0	4,2 2,0 3,4 2,5 1,8 0,4 0,2	2,6 2,8 3,8 4,1 2,7 1,8 0,7	2,2 2,4 3,6 4,4 3,5 2,6 1,2	0,7 2,0 2,6 4,7 4,7 3,0 1,8	0,2 0,4 1,1 1,9 2,4 1,2	0,1 0,6 0,9	0,0	
39 29	30 20					0,0	0,2	$0,7 \\ 0.1$	$\begin{bmatrix} 1,2\\0.3 \end{bmatrix}$	1,8 0,3	$\frac{1,2}{0,6}$	$0,9 \\ 0,3$	0,0	
19	10							, -	0,2	0,0	0,0	,	' '	

Относительная					Te	иператур	а воздух	a, °C			
	до	4,0-7,9	8,0-11,9	12,0–15,9	16,0-19,9	20,0-23,9	24,0-27,9	28,0-31,9	32,0-35,9	36,0-39,9	40,0-43,9

Лето

День

100 89 79 69 59 49 39 29 19	90 80 70 60 50 40 30 20	0,3 0,0 0,1 0,0	0,5 0,4 0,3 0,3 0,2 0,1 0,1	0,3 0,5 1,0 1,1 1,5 1,1 0,6 0,1	0,1 0,2 1,2 4,3 6,0 5,0 1,2	0,3 2,2 8,5 14,7 7,9 0,3	0,3 2,3 10,7 13,2 2,9	0,2 1,1 5,6 2,8	0,0	0.0
9	5					l ′	, i	· ·		0,0

Ночь

100 89 79 69 59 49 39	90 80 70 60 50 40 30	0,0	0,2 0,5 0,6 0,6 0,5 0,4	0,7 1,9 2,8 4,1 4,8 2,8 0,5	0,2 1,5 2,4 5,5 12,5 11,5 4,9 0.4	0,1 0,0 0,8 4,2 12,3 12,9 3.1	0,1 0,7 2,9 2,8	0,0		
29	20			0,0	0,4	3,1	2,8	0.4		ı
. 19	10				,	0.0	0.3	0.1		ı

Относи	Этносительная		Температура воздуха, °С																
ж , атэонжак		32,0	28,0	24,0	20,0	16,0	12,0	<u>ं</u>		_	<u> </u>			1]			ī
от до		33,9	-31,92	-27,92	-23,92	-19,91	-15,91	-11,98	-7,94,	-3,90,	0,0-3,9	4,0-7,9	8,0-11,9	12,0-15,9	16,0-19,9	20,0-23,9	24,0-27,9	28,0-31,9	32.0-35.9
Осень																			

Ден	Ь
-----	---

100	90	[1
89	80		1
79	70		
69	60	0,10,40,20,30,81,712,411,811,110,411,1	
59	50		
49	40		
39	30	0,00,00,10,20,52,13,53,62,81,70,1	٦
29	20		$\frac{2}{2}$
19	10	0,2,0,3,2,3,3,1,4,9,5,1,1,	7 0,2
9	Š	0,0 0,2 0,3 0,8 1,9 2,5 1,	6 0,1
۱			ì

Ночь

100	90	
89	90	1 10 10 10 20 20 20 21 22 22 23 23 23 23 24
79	70	
69	60	-
59	50	- 1
49	40	0,00,10,30,511,713,614,013,910,810,0
39	3ŏ	0,00,20,611,62,213,214,612,70,4
29	20	0,10,31,32,413,313,60,90,1
19	10	0,1[0,3]0,8[1,9]1,7[1,1]0,2
	.0	

Таблица 55

Средняя температура воздуха (°C) в зависимости от скорости и направления ветра

_		1	·	1	1	1			
Скорость ветра, м/с	С	CB	В	ЮВ	Ю	103	3	СЗ	Штиль

Алма-Ата, ГМО

Январь

0-1 $2-3$ $4-5$ $6-7$ $8-9$ $10-11$	-7,3 -4,2 -1,2	-7,1 -4,4 -5,5 -4,4	-6,9 -4,2 -5,2	$\begin{bmatrix} -6,8 \\ -3,8 \\ -0,07 \\ 1,1 \\ 5,9 \end{bmatrix}$	$ \begin{array}{r} -7,2 \\ -4,5 \\ -0,07 \\ -1,3 \\ 5,9 \end{array} $	$ \begin{array}{c c} -7,6 \\ -5,4 \\ -4,6 \\ -2,2 \end{array} $	$ \begin{array}{r} -7,5 \\ -4,8 \\ -3,3 \\ -3,8 \\ 2,4 \end{array} $	-7,7 -4,5 -0,9	
12—13 14—15 16—17 18—20						1,9			
Средняя	-5,2	-5,3	-5,5	-4,6	-5,2	-6,4	-6,0	6, 3	-8,0

Скорость ветра, м/с	С	СВ	В	ЮВ	Ю	юз	3	СЗ	Штиль
50-p2, 1.7-		;							<u>.</u>
_ ,		"	4.0.1	Феврал		1 57	1 6 4	1 66	I
0—1 2—3	$\begin{bmatrix} -6,4 \\ -4,3 \end{bmatrix}$	$ \begin{array}{c c} -5,6 \\ -3,2 \\ -2,2 \\ -1,4 \end{array} $	-4,9 -3,6	-5,7 $-6,9$	$\begin{bmatrix} -6,5 \\ -2,6 \end{bmatrix}$	$\begin{bmatrix} -5.7 \\ -4.3 \end{bmatrix}$	-6,4 $-5,0$	$\begin{bmatrix} -6,6 \\ -4,3 \end{bmatrix}$	ļ
4—5 6—7	5,2	-2,2		-6,9 0,9 4,5	-1,4 $-1,5$	0,5 1,4	-0,5 $7,1$	—3 ,8	
89	— 5,0		3,3	4,1 -3,0	1,9 —4,4	— 4,8	-0,1 -5,1	_5,4	7,0
Средняя	_5,0 [Март	-, -	, .,.	, ~,.	, -,-	, ,,
0—1	1,2 4,5	0,9	1,4 3,9	1 1 1	0,9 2,3	0,5	0,9 3,2	1,2 3,6	1
2—3 4—5	4,5 4,9	4,1 8,1 10,3	3,9 3,6 7,9	4,7 5,3	2,3 5,2 6,5	2,9 4,4	6,5	5,1 7,1	
6—7 8—9	4,9 4,0	10,3	7,9	5,3 9,2 12,7	6,5	1,4 9,3	6,0	4,3	4.
10—11 12—13							0,5		
14—15	-3,6	:					6,3		
18—20 Средняя	-3,1	3,6	5,8	3,5	2,9	2,5	2,6	2,8	-0,4
				Апрел					
0—1 2—3	11,0	10,9	10,4 12,6 13,4 19,3 18,5	9,4	10.0	$\frac{9,2}{10,2}$	9,5	10,2	
4—5 6—7	15,4 13,5	13,4 12,8 20,6	13,4	11,4 13,0	11,7	10.4	1 11 8	12,4 12,6	
8—9	10,0	20,0	18,5	14,8 9,9	12,1	12,8 15,9	15,6 14,1 9,3 9,9	9,2 20,1	
10-11 $12-13$		16,9		3,3		14,7	9,9] 20,.	
14—15 16—17					10,4				
18—20 Средняя	16,6	12,6	11,8	10,4	10,2	13,7 9,8	10,5	11,3	9,1
-				Май			•		
01	17,2	17,0	16,5	15,1	14,6	14,8	16,0	16,8	
23 45	17,2 18,6 19,6	18,7 19,0 17,2	18,4 19,4 15,9	15,4 16,9 15,9	15,7 14,1	15,6 16,4	16,3 17,7	17,0 19,3	
6—7 8—9	17,2	17,2	15,9	15,9 15,6	16,3 15,3	17,2 19,1	17,8 16,5	16,8	
10—11 12—13	24,9			15,6 16,2 16.3	24,2 21,6	16,6	21,3 14,8		
14—15 16—17				16,3 17,7	20,5 15,3	14,8	16,5		
18—20 Средняя	21,8 18,6	18,3	17,7	15,4			11,1 16,6	17,5	15,0
Оредиля	1 .0,0	1,-	,,.	Июн		, ,	•	•	
01	1 22 3	11 22 2	1 21 9	19,8		20,6	21,5	23,0	I
2—3 4—5	22,3 22,3 20,6	22,2 23,3 22,4	21,9 22,5	19.6	20,3	20,7	21,6	21,9 22,0	
67	17,1	21,1	22,0	19,9	± 20.1	17.4	22,8	22,8 17,0	1
8—9 10—11	17,1			19,6 18,6	22,1	24,0	19,9	1,,0	

Скорость ветра, м.с	С	СВ	В	ЮВ	10	ЮЗ	3	СЗ	Штиль
12—13 14—15 16—17 18—20				01.2	20,4 15,0	24,0	26,3 13,7	13,4	
10—20 Средняя	23,1	23,1	22,7	21,3 19,9	20,0	20,4	21,8	23,2	20,4
				Июль					
0—1 2—3 4—5 6—7 8—9 10—11	25,8 27,0 27,1	25,4 27,2 25,8 22,9 22,4	24,9 26,3 24,8 19,6	22,7 22,1 22,0 22,1 22,2	22,3 22,1 22,7 21,6 22,3 21,7	23,6 23,5 24,2 21,2 23,1	24,9 25,3 24,9 23,0 22,3 15,9	25,4 26,2 25,6 23,0	
12—13 14—15				21,1	24,0 23,9	21,3	,-		
16—17 18—20					20,0	27,9	33,6		
Средняя	26,8	26,4	25,6	22,2	22,0	23,6	27,9 25,0	26,0	23,7
				Август					
0—1 2—3 4—5 6—7 8—9 10—11	24,3 26,5 27,3	24,0 26,1 27,6 24,6	22,4 22,6 22,9 21,0	20,4 20,7 21,4 21,3 21,1	20,1 20,4 21,2 23,2 22,9	21,5 21,9 23,8 20,8 23,0	23,1 23,3 23,8 23,8 24,0	23,7 25,2 26,4 15,3	
12—13 14—15				22,0	21,4	00.5	25,9 25,6		
16—17 Средняя	25,7	25,4	22,7	20,7	17,9 20,1	28,5 21,6 21,8	25,1 19,5 23,5	24,7	21,5
				Сентябр		, ·	, ,	, ,	, -
0—1 2—3 4—5 6—7 8—9 10—11 12—13	18,4 20,7 20,9 10,1	18,4 19,9 20,6 21,5	16,7 17,2 19,1 13,0	14,7 16,1 17,5 18,5 19,0 17,6 21,9	14,3 15,5 17,3 18,9 18,2 16,9	15,3 16,1 18,0 19,1 14,4	17,1 18,8 15,0 20,7 19,5 7,9	17,7 20,1 17,2 21,0	
Средняя	19,9	18,7	17,3	16,0	15,0	17,1 15,8	20,5	19,0	15,0
	10.01			Октябрь					
0—1 2—3 4—5 6—7 8—9 10—11	10,6 11,8 12,6	9,7 11,5 15,4 22,5	8,7 9,7 14,9 3,0	7,3 9,6 13,3 15,1 17,1	7,6 10,0 11,0 13,5 12,6	8,2 9,5 12,9 11,8 14,4	9,9 7,2 11,5 11,4 10,5 13,3	10,8 11,6 13,2 13,8	
12—13 Средняя	11,6	11,0	9,6	15,6 9,2	8,7	9,3	10,9 10,8	11,6	8,2
				Ноябрь		- •		, 1	•
0—1 2—3 4—5 6—7 8—9 Средняя	1,2 3,4 1,9 -2,5 2,8	1,5 2,2 4,1 -10,1	0,3 1,7 0,7	0,2 3,1 4,8 7,0 2,1	0,03 3,4 3,7 8,9 7,6 1,7	-0,7 0,9 3,4 3,1 1,1 0,2	0,3 2,4 6,0 -1,0 0,4 1,7	0,2 2,3 6,1	1,0
	,- 1	- 1 - [-> 1	-, -	^,'	0,4	*>'	٠,٣	٠,٠

Скорость ветра, м/с	С		В	ЮВ	Ю	103	3	СЗ	Штиль
				Декабр	ъ				
0—1 2—3 4—5 6—7 8—9	—4,9 —3,2 —3,9	-4,9 -3,1 -5,7 -3,3 7,2	-4,7 -3,7 3,6	-5,0 -1,4 2,4 7,8 -4,1	-5,2 -1,8 1,0 3,2 -4,2	-5,6 -3,9 -1,9 0,5 6,7	-5,4 -4,5 -3,1 -2,8	-5,2 -4,2 1,3	
12—13 Средняя	3,8	<u>-4,8</u>	-3,5	— 2,1	$\begin{bmatrix} 2, \tilde{7} \\ -3, 6 \end{bmatrix}$	-4,6	-4,8	-4,4	— 5,9
			Алма	-Ата, аэ Январг	-				
0—1 2—3 4—5 6—7 8—9 10—11 12—13	-10,5 -8,6 -4,9 -4,0	-10,6 6,5 6,1 4,6 0,6	10,5 6,4 5,7 3,7 2,1	—11,9 —9,8 —4,7 —20,9		-11,5 -10,0 -5,5 -2,2 -0,4 0,6 -2,4	-10,7 -9,2 -7,4 -1,6 -1,2 0,6 -0,9		
14—15 16—17 Средняя	-8,5	_7,4	— 7,1	— 10,7	12,4	-2,2 $-9,5$	_8,8	_8,0	_12,4
. 0 1	1 0 6 1	10.1	<u> </u> —10,9	Феврал —11,7	љ —12,8	10,6	_9,4	1-10,0	I
01 23 45 67 89 1011	-9,8 -7,6 -4,6 -1,6	-10,1 $-5,6$ $-2,9$ $3,1$ $1,5$		-7,4 -2,6 4,4	-9,4 -3,5 1,6 -0,5	-8,0 -4,2 -1,1 1,3 0,8	-6,6 -6,3 -3,9 -6,0	-8,6 -10,3 -4,4 -10,1	
12—13 Средняя	_7,4	6,3	6,6	— 9,4	_11,0	-0,2 -7,7	-6,6	— 8,5	-14,2
0—1 2—3 4—5 6—7 8—9 10—11 12—13 14—15	0,8 1,2 3,6 6,3 4,4	0,9 2,6 2,8 6,2 14,2 11,5 12,5	0,2 2,7 4,0 5,4 8,2 12,3 17,3 13,6	Март -0,6 1,3 4,7 14,2	-0,7 1,3 2,6 5,0 9,0	-0,5 1,8 3,8 4,7 9,7 1,6 9,2	0,1 0,7 1,2 4,2 5,0 11,2	-0,1 0,7 2,6 5,7 0,6 4,0	
16—17 Средняя	1,2	2,8	6,0 2,7	0,6	0,7	14,4 1,8	7,1	1,0	0,3
-1 -20	•			Апрел					_
0—1 2—3 4—5 6—7 8—9 10—11 12—13 14—15	10,2 14,4 12,9 11,3 12,3 13,4	13,6 10,2 17,1 17,9	9,8 12,6 15,2 16,1 17,8 21,1 15,4 15,1 24,1	9,4 13,1 12,7 9,2 14,6	8,7 15,4 11,1 11,9 11,5 15,6	8,6 10,6 10,2 11,6 11,5 14,2 18,1 9,0 17,7 16,8	8,6 9,2 10,0 11,3 11,7 11,8 5,6	11,7 12,7 10,7 7,0 15,4 14,8	
18—19 20—21 Средняя		13,4	13,2	10,4	9,7	11,6 9,5	9,6	11,4	8,8

Скорость ветра, м/с	С	СВ	В	Ю	10	103	3	сз	Штиль
				Май					
0—1 2—3 4—5 6—7 8—9 10—11 12—13 14—15 16—17 18—19	16,4 17,9 18,9 16,0 23,0 23,4	17,2 18,7 19,8 19,6 22,7	16,0 18,7 20,4 22,2 22,6 23,4	14,6 15,7 16,8 18,0 23,0	14,3 15,0 16,0 16,0 15,4 17,2 17,2	14,7 14,8 15,7 15,8 16,5 17,4 33,6 16,0 11,3	15,5 16,2 15,3 17,9 16,4 15,6 18,5 16,7 12,5	16,1 16,3 16,2 16,5 19,8 17,8 18,9	
2021 Средняя	17,9	19,1	18,7	15,5	14,7	15,0	15,2 16,0	16,5	14,1
•			•	Июнь	,	, ,		,	,
0—1 2—3 4—5 6—7 8—9 10—11 12—13 14—15	21,0 21,5 22,8 24,1 22,6 21,7	21,6 23,3 25,1 25,4 23,4 27,8 19,6	20,7 23,0 25,3 26,4 23,1	19,5 20,5 23,2 20,3 20,9	18,9 19,4 20,9 20,5 18,8 21,7 19,7	18,8 19,7 21,3 20,5 20,1 17,7 19,8	19,8 21,1 21,3 22,4 19,8 23,5 20,0 21,2	20,7 22,2 21,2 23,0 25,6 17,3	
16—17 18—19 Средняя	21,9	23,8	23,2	20,6	29,8 19,4	11,9 19,8	21,0	22,0	18,9
				Июль					
0—1 2—3 4—5 6—7 8—9 10—11 12—13	23,5 26,2 26,0 26,6	23,9 27,1 29,0 28,9 24,2	23,2 25,9 28,4 26,0 22,4 21,9	22,4 22,2 24,5 20,2 20,9	20,9 20,9 22,3 22,2 22,1 15,7	21,1 21,4 23,0 24,0 21,7 19,1 22,0	21,6 22,3 24,1 24,8 23,0 27,0	22,9 23,6 23,4 25,3 26,4 20,8	
14—15 Средняя	25,7	27,1	25,8	22,6	20,9	21,6	$\begin{bmatrix} 17,2\\22,6 \end{bmatrix}$	23,6	21,2
_				Август		•			
0—1 2—3 4—5 6—7 8—9 10—11 12—13	22,8 25,0 24,7 24,7 21,8	23,0 25,9 26,9 27,4 27,6 31,0	22,1 24,3 26,9 24,3 28,9 32,2	20,2 20,4 22,8 14,0	18,9 18,3 21,2 20,1 27,2 22,3	19,1 19,1 21,3 20,5 25,8 22,6 20,8	19,5 21,1 22,8 23,6 27,3 22,0 15,2	22,3 23,6 23,8 29,2 26,1 26,0 21,4	
14—15 Средняя	24,9	25,9	24,5	20,6	18,5	19,3	20,8	19,4 23,9	20,3
			(Сентябр	ь ,				
0—1 2—3 4—5 6—7 8—9 10—11	16,8 19,9 19,7 22,0 25,3 20,9	16,9 20,4 21,3 21,7 25,3	15,8 19,2 22,4 20,9 22,2 22,8	13,2 15,6 18,1	12,8 13,3 16,0 19,7 15,4	13,3 14,1 16,5 17,0 21,5	14,8 16,5 16,9 15,0 17,5	16,3 17,6 20,5 18,2	

Скорость ветра, м/с	С	СВ	В	ЮВ	Ю	103 .	3	СЗ	Штиль
12—13 14—15 Средняя	21,9	20,6	19,4	14,6		16,6 14,2	25,9 16,4	18,8 18,2	14,0
				Октябр	ь				
0—1 2—3 4—5 6—7 8—9 10—11	9,0 11,2 11,3 13,0 8,2 8,4	8,8 11,8 14,1 17,4 19,8	8,6 10,9 12,8 15,9 18,8 19,0	6,3 7,6 9,7	6,0 6,4 10,7 7,8 6,7	6,1 6,9 8,9 13,9 11,4	8,2 7,4 9,3 13,8 12,4	8,6 9,5 12,2 13,9	
12—13 14—15 Средняя	9,0 24,6 11,2	12,1	19,0 14,3 11,3	6,9	6,1	6,9	21,5 8,6	11,3	6,8
•	•			Ноябр	Ь				
0—1 2—3 4—5 6—7 8—9	0,1 2,1 3,4 5,3 -1,6	-0,1 1,8 2,9 4,4 6,1	$\begin{bmatrix} 0,4 \\ -0,2 \\ 2,2 \\ 4,5 \\ 7,2 \end{bmatrix}$	-0,9 -0,9 0,2	$ \begin{array}{c c} -1,5 \\ -0,6 \\ 1,2 \\ 2,5 \end{array} $	$ \begin{array}{c c} -1,3 \\ -1,0 \\ 2,1 \\ 4,7 \\ 5,8 \end{array} $	$ \begin{array}{c c} -0,5 \\ 0,04 \\ -0,6 \\ 6,2 \end{array} $	$\begin{bmatrix} -0,9\\0,7\\1,0\\6,6 \end{bmatrix}$	
10—11 12—13 14—15 Средняя	2,3	2,1	1,2	0,5	_0,9	4,9 0,0 -0,3	3,8 0,3	0,6	-1,5
				Декабр					
0—1 2—3 4—5 6—7 8—9 10—11 12—13	-7,8 -4,8 -2,0 -5,6	-7,9 -4,8 -4,5 -3,7 -5,3	-7,9 -4,8 -5,5 -5,0	$\begin{bmatrix} -9,2\\ -7,4\\ -0,6 \end{bmatrix}$	-9,3 -9,0 -4,9 0,8 2,1	-8,6 -7,2 -2,4 -1,1 0,0 2,7 3,0	$\begin{bmatrix} -7,7\\ -6,2\\ -3,0\\ -0,9\\ -2,4\\ 10,1 \end{bmatrix}$	-7,8 -7,4 -3,4 -5,8	
14—1 <u>5</u> 16—17 20—21 Средняя	_5,2	—5, 1	5,5	_8,2	_8,8	3,2 0,8 -6,5	_5,3	-6,3	_8,7
				Медес					
0 1	1 50	1 51	5,5	Январ —4,2	ь —4,3	3,0	I —4,4	1 -4,3	ı
0—1 2—3 4—5 6—7 Средняя	$ \begin{vmatrix} -5,0 \\ -2,8 \\ -4,6 \\ -4,4 \end{vmatrix} $	-5,2	$\begin{bmatrix} -1,8\\0,5 \end{bmatrix}$	 2,9	$\begin{bmatrix} -3,2 \\ -9,2 \end{bmatrix}$	-3,6 2,4	-3,8 -9,5	-4,2 -4,0	_4,7
				Февра.	ПЪ				
0—1 2—3 4—5 6—7 Средняя	$ \begin{vmatrix} -3,5 \\ -3,3 \\ -0,4 \\ -3,5 \end{vmatrix} $	$\begin{bmatrix} -1,4\\ -11,7\\ 7,0\\ -1,0 \end{bmatrix}$	$ \begin{vmatrix} -4,1 \\ -0,8 \\ 0,3 \\ -2,8 \end{vmatrix} $	-4,1 -2,7 -0,8 8,6 -3,1	$ \begin{vmatrix} -3.7 \\ -2.2 \\ 0.5 \\ -2.5 \end{vmatrix} $	$\begin{vmatrix} -3,2 \\ -2,2 \\ \\ -2,8 \end{vmatrix}$	$ \begin{vmatrix} -3,6 \\ -2,2 \\ -8,5 \\ -3,5 \end{vmatrix} $	$\begin{bmatrix} -1,9\\ -1,8\\ -5,2\\ -1,8 \end{bmatrix}$	_3,0

Скорость ветра, м/с	С	СВ	В	юв	Ю	юз	3	СЗ	Штиль
				Март					
0—1 2—3 4—5 6—7 Средняя	$\begin{bmatrix} 0,5\\-1,4\\-0,5 \end{bmatrix}$	$0.7 \\ -2.3$	$ \begin{array}{c c} -1,6 \\ 1,1 \\ 5,4 \\ 0,5 \end{array} $	$\begin{bmatrix} -1,3\\1,2\\2,6\\7,4\\0,6 \end{bmatrix}$	$\begin{array}{c c} -2,0 \\ 1,6 \\ 2,4 \\ 6,2 \\ 0,6 \end{array}$	$\begin{bmatrix} -2,0\\4,3 \end{bmatrix}$	$\begin{bmatrix} -1,0\\0,8\\2,6 \end{bmatrix}$	0,5 2,1 -0,3	1,4
				Апрелн	,		· ,	,	•
0—1 2—3 4—5 6—7 8—9 10—11	4,8 2,3	5,0 6,4	3,0 7,0 8,5	5,0 6,8 9,6 9,3	4,7 6,9 9,1 7,9	5,9 9,0 5,6 6,8	4,3 7,9 18,4	5,8 8,8 10,5 11,5	
12—13 Средняя	3,4	5,8	6,1	6,8	6,8	7,8	7,4 6,3	8,1	3,2
				Май					
0—1 2—3 4—5 6—7 Средняя	11,7 14,3 15,4 10,5 13,6	11,8	12,7 12,1 14,4 12,9	11,5 12,0 13,4 12,6 12,2	10,7 11,8 13,4 12,0 11,9	11,0 10,6	11,8 12,1 12,2	12,1 12,0 16,2 12,9	0.4
-p,	0,01	,5 1	12,0	ионь Июнь	11,5	11,0 [12,3	12,6	9,4
0—1 2—3 4—5 6—7	16,8 17,8 16,0	17,8 14,8	15,8 16,4 17,1	14,9 15,6 15,4	14,3 15,1 15,2	15,8 16,6 16,2	16,2 17,7 17,8	17,1 18,5 15,7	
8—9 10—11 Средняя	17,5	17,6	16,4	15,2 15,6 15,4	14,9	16,5	17,2	17,0 16,2	14,4
0-1	91.01	90 O E	10 2 1	Июль	17 0 1	10 5 1	22.0.1		
2—3 4—5 6—7 8—9	21,0 20,3 22,6 18,2	20,0 17,2 23,0	19,3 18,7 21,0	17,4 18,2 18,0 21,4	17,9 18,0 18,1	18,5 18,8 20,0	20,8 22,2 21,0	21,0 22,1 18,8	
10—11 12—13						ŀ	23,4	.	
14—15 16—17 Средняя	20,8	19,6	19,0	18,0	18,0	18,8	21,8	23,1 21,8	18,2
0—1 !	19,4	17,0	14 9 1	Август 15,9	16,0	16 0 1	17 6 1	10.0	
2—3 4—5 6—7 8—9	20,6 19,6	19,2	14,2 16,5 19,4 26,6	16,5 17,0 17,3	16,6 16,4	16,9 18,7 22,9	17,6 19,4 16,8	19,8 20,4 21,1	
10—11 12—13 Средняя	20,3	18,6	16,7	16,4	16,5	18,4	10,0 18,7	17,4 20,4	16,1

Скорость ветра, м/с	С	СВ.	В	IOB	Ю	103	3	СЗ	Штиль	
Сентябрь										
0—1 2—3 4—5 6—7	13,5 13,6 15,0	6,3	11,8 12,7 18,6,	10,3 11,9 14,0 9,0	10,9 11,9 13,3 9,0	14,8 16,6	15,8	16,3 17,9	8,5	
Средняя	1 17,1	0,0	10,0	•		,	'			
	1 00			Октябр • и 5		1 34	6,1	7,8	1	
0—1 2—3 4—5 Средняя	6,6 9,7 8,4 8,8	10,2	4,4 7,3 8,2 6,8	8.7	4,8 7,8 9,4 7,3	1 - 0.7	9,6 5,4 8,6	9.5	3,3	
				Ноябр						
0—1 2—3 4—5 6—7 Средняя	$ \begin{vmatrix} -3,3 \\ -0,7 \\ -8,4 \\ 1,6 \\ -2,8 \end{vmatrix} $	l 56	-2,3 3,8 6,3 9,6 1,2	$ \begin{vmatrix} -1,7 \\ 1,5 \\ 3,2 \\ 0,8 \end{vmatrix} $	1 9.8	$\begin{vmatrix} -0.9 \\ 0.0 \\ -0.05 \end{vmatrix}$	$ \begin{vmatrix} -0,1 \\ 0,4 \\ -0,7 \\ 0,9 \end{vmatrix} $			
<u>-</u> .				Декабј	ъ					
0—1 2—3 4—5 6—7	$\begin{bmatrix} -4,6\\ -5,2\\ -3,9 \end{bmatrix}$	$\begin{bmatrix} -3,8\\-5,4 \end{bmatrix}$	$\begin{bmatrix} -5,8 \\ -0,6 \\ 1,1 \end{bmatrix}$	-2,0	$\begin{bmatrix} -4,7\\ -2,3\\ -0,5 \end{bmatrix}$	$\begin{array}{ c c c } -3,2 \\ -3,0 \\ 5,7 \end{array}$	$\begin{bmatrix} -3,3\\ -4,1\\ 0,2 \end{bmatrix}$	$\begin{bmatrix} -3,8 \\ -3,8 \\ -6,5 \end{bmatrix}$		
8—9 10—11 12—13 Средняя	-4,8	_4,0	_3,3	-2,4	10,9 —2,9	_2,7	_3,2	_3,8	_4,2	
		Ал	ма-Атин	ская се.	лестоков	ая ст.				
				Январ			. 10.1			
0—1 2—3 4—5 6—7	5,4 7,5	-6,4 -3,4	-4,6 -6,2	$ \begin{vmatrix} -5,5 \\ -5,0 \\ -4,1 \\ -2,2 \\ -4,6 \end{vmatrix} $	-5,7 -4,8 -3,9 -1,0 -4,6	$\begin{bmatrix} -5,0\\0,5\\-1,1 \end{bmatrix}$	-10,1 -14,5	-5,0 -7,9 -5,8 -5,9	_5,7	
Средняя	1 —5,0	0,2	[,			1 -,-	(,-	, -,-	, -,	
0—1 2—3 4—5 6—7	$\begin{bmatrix} -3,3\\ -3,3\\ 4,3 \end{bmatrix}$	2,8		$\begin{bmatrix} -3,8 \\ -2,5 \\ 2 \end{bmatrix}$	$\begin{bmatrix} -4.0 \\ -4.3 \\ -1.8 \\ 3.0 \end{bmatrix}$		-4,0 8,1	1,4		
6—7 8—9 Средняя				Mon	75					
0—1 2—3 4—5 6—7 8—9 Средняя	$ \begin{vmatrix} -0,9 \\ 0,4 \\ 5,9 \\ -2,0 \\ -0,4 \end{vmatrix} $	1,7 5,4	$\begin{bmatrix} -3,4\\1,7\\6,4 \end{bmatrix}$	$ \begin{bmatrix} -1,4 \\ -0,3 \\ 0,9 \\ 0,3 \\ -0,04 \end{bmatrix} $	$ \begin{array}{c c} & -1,4 \\ 0,3 \\ 1,3 \\ -1,1 \\ 2,5 \\ 0,5 \end{array} $		$\begin{bmatrix} -0.3 \\ 7.4 \end{bmatrix}$	$ \begin{vmatrix} -0,9 \\ 0,8 \\ 2,2 \\ -2,1 \\ 0,6 \end{vmatrix} $	_2,0	

Скорость ветра, м/с	С	СВ	В	юв	Ю	юз	3	СЗ	Штиль
				Апрель					
0—1 2—3 4—5 6—7	2,3 6,5 8,3 4 1	1	5,1 4,1	$\begin{bmatrix} 2,5 \\ 4,5 \\ 6,0 \\ -1,6 \end{bmatrix}$	2,5 4,7 5,5 -2,8 4,7			3,5 7,7 8,5	
Средняя	4,1 5,2	0,2	4,8	-1,6 4,6	4,7			6,8	2,0
				Май				•	
0—1 2—3 4—5 6—7 8—9	7,9 11,3 12,1	8,2 6,1 7,7	6,9 8,1	7,1 8,6 9,6 11,0 12,8 18,8	7,7 9,6 9,7 11,5	7,2	7,6 13,9	7,7 11,8 11,9 17,9	
10—11 Средняя	4,0	7,9	8,0	18,8 8,8	9,6	8,1	10,6	19,9	6,3
				Июнь					•
0—1 2—3 4—5 6—7 8—9 10—11	14,0 17,0 15,4	12,0	14,3 11,4	11,6 12,7 12,7 12,6	11,6 13,7 13,1 10,9 7,3	9,3	18,2	13,4 16,8 15,2	
12—13 14—15	14.0			15,6					
16—17 Средняя	14,9 16,4	12,0	12,4	12,6	13,3	8,5	18,2	16,1	10,8
				Июль			•		•
0—1 2—3 4—5 6—7 8—9 10—11 12—13	18,2 20,2 16,5 12,8	22,3 15,5	32,4 13,6	14,1 14,8 14,6 14,2	14,7 15,4 14,8 13,9 20,5	17,3 16,2	20,0 21,3	17,2 19,9 19,7 13,6	
14—15 16—17 Средняя	19,6	18,9	15,3	17,5 14,6	15,2	16,6	20,6	19,3	14,3
-p -p	,-,	,- [,.	Август	•	,,.			,0
0—1 2—3 4—5 6—7	15,9 19,1 17,9	10,6	13,3 11,4 12,3	I 19 8		14,8	18,9 15, 1	16,8 19,3 19,9	
8—9 Средняя	18,3	10,6	12,2	11,2 14,0	14,8	14,8	17,0	18,8	13,4
				Сентябр	ъ				
0—1 2—3 4—5	12,6 15,0 14,1	19,0	11,4 9,7 10,1	8,0 10,4 11,6	8,3 10,8 12,1	12,7	6,6 6,9	12,0 14,6 13,6	

Скорость ветра, м/с С CB В юВ ю юз з СЗ Штиль 6—7 8—9 10—11 12—13 14,8 16,7 10,7 10,4 11,0 12,7 6,8 14,3 6,8 ОКТЯБОРЬ 0—1 4,8 4,0 —0,1 3,2 3,7 7,7 5,3 7,4 5,5 5,1 5,5 5,1 5,5 6,7 7,1 11,1 11,1 6,4 2,6 Средняя 7,1 4,0 6,1 5,2 5,5 5,1 5,5 5,7 7,7 8,7 6,4 2,6 Средняя 7,1 4,0 6,1 5,2 9,0 4,4 2,6 4,6 4,2,6 Ноябрь Ноябрь О—1 —1,4 1,6 —4,8 —2,2 —1,5 1,2 —2,2 2,2 2,3 —1,7 —2,2 2,3 —1,7 —2,8 </th <th></th>										
12—13 Средняя 14,8 16,7 17,8 10,7 10,4 11,0 12,7 6,8 14,3 6,8 Октябрь 0—1 2—3 6—7 6—7 6—7 11,6 6—7 11,6 6—7 11,6 6—7 11,6 6—7 11,5 6—7 7—1 11,5 6—7 7—1 11,5 6—7<	Скорость ветра, м/с	С	СВ	В	юв	Ю	юз	3	сз	Штиль
Октябрь Ок	8—9 10—11	:	16,7							
О—1 4,8 4,0 —0,1 3,2 3,7 7,7 5,3 8,7 4—5 11,6 11,5 6,7 7,1 11,1 6,4 2,6 Ноябрь Ноябрь 0—1 —1,4 1,6 —4,8 —2,2 —1,5 —1,5 —1,6 —6,7 —1,6 —6,7 —6,7 —1,6 —6,7 —6,7 —1,6 —6,7 —6,7 —1,6 —6,7 —6,7 —1,6 —6,7 —6,7 —1,6 —6,7 —7,8 —5,3 —7,4 —7,7 —7,2 —8,7 —7,8 —7,7 —7,3 —7,5 —6,7 —7,3 —7,2 —8,3 —8,2 —2,1 —6,6 —2,3 <		14,8	17,8	10,7	10,4	11,0	12,7	6,8	14,3	6,8
Ноябрь О—1										
Ноябрь О—1	23	4,8 8,3	4,0	-0,1 $5,5$	$\frac{3,2}{5,1}$	3,7 5,5	7,7		5,3	
Ноябрь О—1	4— 5	11,6		11,5	6,7 2,9	7,1			11,1 6,4	
$ \begin{array}{c c c c c c c c c c c c c c c c c c c $		7,1	4,0	6,1	5,2	5,6	7,7		6,4	2,6
$ \begin{array}{c c c c c c c c c c c c c c c c c c c $										
$ \begin{array}{c c c c c c c c c c c c c c c c c c c $	0—1 2—3	$\begin{bmatrix} -1,4\\ -0,3 \end{bmatrix}$	$\frac{1,6}{3,2}$	-4,8	$-2,2 \\ 0,0$	$\begin{bmatrix} -1.5 \\ 0.1 \end{bmatrix}$		$\begin{bmatrix} 1,2\\3,5 \end{bmatrix}$	$\begin{bmatrix} -2,2\\ -1,6 \end{bmatrix}$	
$ \begin{array}{c c c c c c c c c c c c c c c c c c c $	4—5 6—7	·	·	1,5	$\frac{1,8}{2,3}$	$\begin{vmatrix} 1.8 \\ -0.5 \end{vmatrix}$			$\begin{bmatrix} -6,7\\0,1 \end{bmatrix}$	
О-1 2—3 4—5 4—7,7 4—4,4 4—6,5 2—2,6 2—2,3 4—5 6—7,6 6—7 —4,7 6—4,7 4—3,6 3,6 1—7,7 2—2,1 2—3,6 3—2,4 4—5 4—5,5 7—5,7 3—3,6 6—1,7 7—2,1 4—5,6 4—5,7 4—5,8 4—5,8 4—5 6—7 8—9 6—6,4 6—7 8—9 6—6,4 6—7 8—9 6—6,4 6—7 8—9 6—6,4 6—7 8—9 6—6,4 6—7 8—9 6—6,4 6—7 8—9 6—6,4 6—7 8—9 6—6,4 6—7 8—9 6—6,4 6—7 8—9 6—6,4 6—7 8—9 6—6,4 6—7 8—9 6—6,4 6—7 8—9 6—6,4 6—7 8—9 6—6,4 6—7 8—9 6—6,4 6—7 8—9 6—7 8—9 6—7,4 6—7,8 6—7 8—9 6—7,4 6—7,8 6—7 8—9 6—7,4 6—7,8 6—7,8 6—7 8—9 6—7,4 6—7,8 6—7,8 6—7 8—9 6—7,4 6—7,8	Средняя	_0,3	4,6	_5,0	0,1	0,5		4,4	-1,7	—2,8
Алма-Ата, агро $ \begin{array}{c c c c c c c c c c c c c c c c c c c $										
Алма-Ата, агро $ \begin{array}{c c c c c c c c c c c c c c c c c c c $	0—1 2—3	$\begin{bmatrix} -5,7 \\ -4,7 \end{bmatrix}$	-4,4	<u>_6,5</u>	$\begin{bmatrix} -4,6 \\ -2,6 \end{bmatrix}$	$\begin{bmatrix} -4,4\\ -2,3 \end{bmatrix}$			$\begin{bmatrix} -5,6 \\ -5,3 \end{bmatrix}$	
Алма-Ата, агро $ \begin{array}{c c c c c c c c c c c c c c c c c c c $	4—5 6—7	7,6		3,6	$\begin{bmatrix} -1,7\\1,2 \end{bmatrix}$	-2,1 -3,6			-2,4	
Январь О—1	Средняя	_5,7	-3,6	3,2	_2,5	_2,4			5,5	_5,3
$ \begin{array}{c c c c c c c c c c c c c c c c c c c $				Ал	ма-Ата,	arpo				
Февраль $ \begin{array}{c c c c c c c c c c c c c c c c c c c $										
Февраль $ \begin{array}{c c c c c c c c c c c c c c c c c c c $	0—1 2—3	9,3 7,5	-5,9 -6,2	$\begin{bmatrix} -4,3 \\ -4,7 \end{bmatrix}$	-2,5	-3,9 -2,4	$\begin{bmatrix} -7,8 \\ -4,4 \end{bmatrix}$	-5,6 -4,3	-6,2 -4,4	
Февраль $ \begin{array}{c c c c c c c c c c c c c c c c c c c $	4—5 6—7	-3,7	-7,2 -3,6	$\begin{bmatrix} -2.8 \\ 6.1 \end{bmatrix}$	0,3	-10,5	$\begin{bmatrix} -0.6 \\ -2.1 \end{bmatrix}$	-2.5	-5,0 7,3	
Февраль $ \begin{array}{c c c c c c c c c c c c c c c c c c c $	8—9 Средняя	7,4	$\begin{bmatrix} -9.0 \\ -5.7 \end{bmatrix}$	4,1	2,6	-2,6	$\begin{bmatrix} 7,5 \\ -4,6 \end{bmatrix}$	$\begin{bmatrix} -0.5 \\ -4.2 \end{bmatrix}$	_4,8	<u>_6,1</u>
$ \begin{array}{c c c c c c c c c c c c c c c c c c c $	•	•								
$ \begin{array}{c ccccccccccccccccccccccccccccccccccc$	0—1	_5,8	-6,0	-6,6	-5,7	J5,1	-6,6	-1,7	<u>-5</u> ,9	
$ \begin{array}{c ccccccccccccccccccccccccccccccccccc$	23 45	-6,2	-5,3 $-5,8$	-4,3 1,3	$\begin{bmatrix} -2,1\\1,0\\2,0 \end{bmatrix}$	1,7	$\begin{bmatrix} -3,1\\ -1,3 \end{bmatrix}$	-3,2 -4,5	$\begin{bmatrix} -3,1\\ -8,4 \end{bmatrix}$	
$ \begin{array}{c ccccccccccccccccccccccccccccccccccc$	6—7 8—9				6,9	10,8	$\begin{bmatrix} -1,4\\ -0,9 \end{bmatrix}$	3,9		
$ \begin{array}{c ccccccccccccccccccccccccccccccccccc$	Средняя	—5,1	—5,2	4,3			—3,6	— 2,7	_ 5,1	6,6
$\begin{array}{c ccccccccccccccccccccccccccccccccccc$										
$\begin{array}{c ccccccccccccccccccccccccccccccccccc$	2—3	$\begin{bmatrix} -0,1\\ -0,2 \end{bmatrix}$	$\begin{bmatrix} 0,1\\ -0,9 \end{bmatrix}$	-0,1 1,1	2,4	3,4	1,6	2,1	1.9	
8_9 4		5,9 8,3	2,6	3,3	7,4	7,3	4,5	1.9	3,6	
12—13 Средняя 0,4 0,4 0,4 2,2 3,1 12,3 2,1 1,6 2,0 —0,5	8—9		14,1					0,7		
	12—13	0,4	0,4	0,4	2,2	3,1	12,3	1,6	2,0	-0,5

									
Скорость ветра, м/с	С	СВ	В	юв	Ю	103	3	СЗ	Штиль
				Апрель	1				
0—1 2—3 4—5 6—7 8—9 10—11	7,6 8,4 12,6 10,8	4,6 8,8 1,1 9,4	6,9 7,7 9,8 10,1 12,2	7,2 8,4 10,2 9,5 13,8	8,1 8,9 8,7 10,9 12,1	6,6 6,7 9,1 9,5	5,6 6,4 7,5 9,1 8,1	7,8 10,2 12,7 7,9	
12—13 14—15 Средняя	9,5	8,8	7,7	8,4	8,8	7,2	1,3 10,1 6,6	10,0	6,7
				Май					
0—1 2—3 4—5 6—7 8—9 10—11	14,0 13,9 14,4 11,0	12,6 11,8 14,3 21,8 18,9	10,8 13,4 12,8 22,4	13,1 13,4 13,8 16,0 6,9	12,4 12,9 13,4 14,2 14,2	12,0 11,4 11,6 8,2 11.3	11,7 14,0 11,1 12,3	12,2 15,8 15,2 15,0 16,9	
12—13 14—15 Средняя	14,7	9,4 14,0	12,6	13,4	11,7 12,9	12,8	12,9	15,0	12,5
	•			Июнь					
0—1 2—3 4—5 6—7 8—9	20,4 20,6 20,5 14,0	18,2 19,5 20,8 18,5	16,5 18,4 17,4 20,9	18,4 17,6 17,5 16,6 15,7	17,9 18,1 18,0 17,7	17,9 18,7 19,5 17,4 19,2	19,1 19,7 19,5 13,7	20,2 20,9 21,4	
10—11 12—13 14—15 Средняя	20,5	19,6	18,0	17,6	18,0	19,2 15,8 19,3 9,5 18,6	19,4	13,7 20,8	18,2
				Июль					
0—1 2—3 4—5 6—7 8—9 Средняя	23,7 22,8 20,4 16,5 22,7	22,6 22,5 22,3 18,0 22,3	20,5 20,8 19,6 20,2 20,3	20,1 19,6 19,0 19,8 21,6 19,6	20,0 19,4 19,6 19,3 15,5 19,5	21,9 20,2 20,1 23,8 20,5	22,7 21,5 20,7 23,6 16,8 21,7	23,0 22,5 19,8 19,5 22,4	21,1
				Август	•				
0—1 2—3 4—5 6—7 8—9 10—11	22,0 20,9 20,8 18,6	20,5 19,9 20,4 23,6 15,1	18,3 18,2 17,2 20,3	18,2 18,3 18,5 21,0	17,9 18,0 11,6 16,7 16,9	20,2 18,8 18,4 18,5 22,0	19,8 20,3 20,1 13,5	21,9 20,9 22,1 18,6	
12—13 14—15 Средняя	21,2	20 ,2	18,4	18,4	16,9 20,4 16,8	18,9	20,1	21,3	18,9

Скорость ветра, м/с	С	дв	В	ЮВ	Ю	103	3	сз	Штиль
				Сентябр	ь				
0—1 2—3 4—5 6—7	15,2 15,9 15,8	13,5 16,0 16,2	12,3 15,3 14,9 17,8	13,8 14,1 15,6 12,7	12,3 13,7 15,1 13,7	10,1 12,5 14,9 17,6	12,7 15,9 16,5 11,7	15,5 16,2 18,3	
8—9 Средняя	15,9	15,4	14,4	14,3	13,7	12,1 12,0	15,1	16,3	12,6
				Октябр	b				
0—1 2—3 4—5 6—7 8—9	8,1 9,5 8,8	5,6 8,6 9,6	7,0 6,4 3,2 8,8 9,6	8,5 9,1 10,6 5,2	8,0 9,0 11,0 13,2	5,5 7,6 9,4 8,0 20,8	7,0 8,3 9,8	9,3 9,0 11,4 8,6	
10—11 Средняя	9,1	8,1	6,6	9,2	9,0	7,3	4,2 5,7 8,1	9,4	7,3
				Ноябрь	,				
0-1 2-3 4-5 6-7 8-9 10-11 12-13	1,4 3,6 3,5	2,8 3,0 4,1 1,5	1,0 3,1 2,7 4,7	2,5 4,5 6,5 4,0 5,5	2,8 5,0 7,0 4,4	1,6 2,3 3,7 8,4	1,8 4,1 6,5	3,4 4,0 7,2	
12—13 14—15 16—17 Средняя	2,6	3,2	2,4	4,0	4,5	2,3	7,8 3,7	4,1	1,9
			-	Декабр	ь				
0—1 2—3 4—5 6—7 8—9	$\begin{bmatrix} -4.8 \\ -3.6 \\ -5.2 \end{bmatrix}$	$ \begin{array}{c c} -8,6 \\ -2,8 \\ -0,8 \end{array} $	-4,1 $-1,7$ $3,8$ $-0,5$	-2,7 $0,5$ $2,4$	0,1 1,5 2,3 6,5	$ \begin{array}{c c} -3,7 \\ -1,3 \\ .1,6 \\ 4,1 \end{array} $	-2,2 $-2,2$ $2,0$ $-3,0$	-3,2 -0,8	
8—9 Средняя	-3,6	-4,2	-1,8	-0,4	0,9	1,8 —1,5	-1,7	-1,5	-3,2

i

Таблица 56
Повторяемость (%) температур различных градаций в зависимости от скорости ветра. Алма-Ата, ГМО.

					`	or chop	OCIN B	orpar ri	ATMEN LEI	.,	<u> </u>						
								Темпера	атура во:	здуха, °С	:						
Скорость ветра, м/с	28,0-26,1	26,0–24,1	24,0—22,1	22,0—20,1	20,0—18,1	18,0—16,1	16,0—14,1	14,0—12,1	12,0—10,1	10,0—8,1	8,0-6,1	6,0-4,1	4,0-2,1	2,00,0	-0,12,0	-2,14,0	-4,16,0
		·	.					Январі)								
0—1 2—3 4—5 6—7 8—9 10—11								0,1	0,1	0,3 0,1 0,0	0,6 0,2 0,1 0,0	1,5 0,5 0,2 0,1 0,0	3,1 1,1 0,4 0,1	5,3 2,0 0,3 0,1 0,0	7,5 2,3 0,3 0,0 0,0 0,0	9,1 2,1 0,3 0,1	9,8 2,2 0,2 0,0
							•	Феврал	ь								
0—1 2—3 4—5 6—7 8—9						0,0	0,1 0,1	0,1 0,1	0,3 0,1 0,0	0,6 0,2 0,1 0,0	1,4 0,6 0,3 0,0	2,9 1,5 0,4 0,1 0,0	4,4 1,6 0,4 0,1	7,9 2,0 0,3 0,0 0,0	8,0 2,2 0,4 0,1	8,6 2,0 0,2 0,0	8,1 2,6 0,2
								Март									
0—1 2—3 4—5 6—7		0,0	0,1 0,1 0,0 0,0	0,0 0,2 0,0	0,3 0,2 0,1 0,0	0,5 0,5 0,1	0,9 0,7 0,2 0,1 0,0	1,7 1,4 0,5 0,0	2,5 1,8 0,3 0,1	3,4 2,6 0,3 0,1	5,2 3,0 0,7 0,0 0,0	6,9 3,2 0,5 0,1 0,0	8,4 2,7 0,4 0,1 0,0	8,9 2,4 0,3 0,0	8,2 2,4 0,3 0,1	6,5 1,8 0,1	5,4 1,2 0,2 0,0
8—9 10—11 12—13 14—15						-,-	-,-				,	,	,	0,0		0,0	

								мператур		a, °Ć			`			
Скорость ветра, м/с	6,18,0	-8,110,0	-10,112,0	-12,114,0	-14,116,0	-16,118,0	-18,120,0	-20,122,0	-22,124,0	-24,126,0	-26,128,0	~28,1 ~30,0	-30,132,0	-32,134,0	-34,136,0	36,138,0
							Я	, нварь								
0-1 2-3 4-5 6-7 8-9 10-11	9,3 1,9 0,2 0,0 0,0	8,2 1,3 0,1 0,0 0,0	7,5 0,9 0,1 0,0	6,7 0,8 0,1 0,0	4,8 0,2 0,1	3,1 0,2	1,9 0,2	1,1 0,1	0,6 0,0	0,4 0,0	0,1	0,1				
							Фе	враль								
0—1 2—3 4—5 6—7 8—9	7,4 1,5 0,2	6,3 1,2 0,1	5,6 1,1 0,1	4,8 0,7 0,1 0,1	4,2 0,5 0,0	3,2 0,3	1,9 0,1	1,3 0,1	0,5 0,1	0,4	0,2 0,0	0,1 0,0	0,0	0,0	0,0 0,0	0,0
							Λ	Ларт								
0—1 2—3 4—5 6—7 8—9 10—11 12—13 14—15	3,9 1,0 0,1	2,8 0,6 0,0	1,5 0,2 0,0	1,0 0,1 0,0	0,6 0,1	0,2 0,1	0,1 0,0	0,0	·							

Скорость					Темпе	ратура возду:	xa, °C				
ветра, м/с	34,0-32,1	32,0 – 3 7,1	30,0-28,1	28,0—26,1	26,0-24,1	24,0-22,1	22,0-20,1	20,0—18,1	18,0—16,1	16,0—14,1	14,012,1
					Апре	ль					
0—1 2—3 4—5 6—7 8—9 10—11 12—13 14—15 16—17 18—20		0,0	0,1 0,1 0,0	0,2 0,1	0,3 0,3 0,0 0,0	0,6 0,8 0,1 0,0	1,4 1,4 0,4 0,1	2,4 2,4 0,5 0,1 0,0	3,7 2,9 0,5 0,2 0,1	5,5 3,4 1,0 0,1 0,1	7,1 4,2 1,2 0,2 0,1 0,0
16—20					Mañ	i					0,0
0—1 2—3 4—5 6—7 8—9 10—11 12—13 14—15 16—17	0,0	0,1 0,1 0,0	0,5 0,4 0,1 0,1	1,0 0,5 0,2	2,5 1,6 0,4 0,1 0,0 0,0 0,0	3,5 2,6 0,7 0,1 0,0 0,0 0,0	5,4 3,6 1,0 0,2 0,1 0,0 0,0	6,1 4,5 1,1 0,4 0,1 0,0 0,0	7,1 4,8 1,1 0,3 0,1 0,0 0,0	7,8 4,6 1,3 0,4 0,1 0,0 0,0 0,0	6,9 4,9 1,0 0,4 0,1 0,0 0,0

_	Скорость,					Т	емиература	воздуха, °С				
	ветра, м/с	12,010,1	10,0-8,1	8,06,1	6,0-4,1	4,0-2,1	2,0-0,0	-0,12,0	-2,14,0 ¹	4,16,0	-6,18,0	-8,1 -10,0
		•				A	прель					
249	0—1 2—3 4—5 6—7	7,3 4,2 1,0 0,2	7,7 4,2 0,8 0,1	6,8 3,5 0,5 0,1	5,4 2,0 0,4 0,1	3,5 1,3 0,2	2,9 1,1 0,2	2,0 0,6 0,1	0,7 0,3 0,0	0,4 0,1 0,1	0,2 0,1	0,1 0,0

Скорость			<u> </u>	·	Те	мпература в	воздуха, °С				
ветра, м/с	12,0-10,1	10,0—8,1	8,0-6,1	6,0-4,1	4,0-2,1	2,00,0	-0,12,0	-2,14,0	-4,16,0	-6,18,0	8,110,0
8—9 10—11 12—13 14—15 16—17 18—20	0,1 0,0 0,0	0,1	0,0	0,0	0,0	0,0					
						Май					
$\begin{array}{c} 0-1 \\ 2-3 \\ 4-5 \\ 6-7 \\ 8-9 \\ 10-11 \\ 12-13 \\ 14-15 \\ 16-17 \\ 18-20 \end{array}$	5,4 3,0 0,6 0,2 0,0 0,0	4,0 1,7 0,4 0,0	2,4 1,0 0,2 0,0 0,0	1,2 0,6 0,1 0,0	0,6 0,2 0,0 0,0	0,3 0,1	0,1 0,0 0,0	0,0			
Скорость					Т	емпература	воздуха, °С				•
ветра, м/с	42,0-40,1	40,03	38,1 38,	,0-36,1	36,0-34,1	34,0-3	2,1 32,0-	-30,1 30	,0-28,1	28,0-26,1	26,0-24,1
					1	Июнь					
0—1 2—3 4—5 6—7 8—9				0,0 0,0	0,1 0,1 0,0	0,6 0,3 0,0	0 0	2 9 0	2,7 1,4 0,2 0,1	4,3 2,6 0,6 0,2 0,0	6,3 4,1 0,9 0,3 0,1

10—11 12—13 14—15 16—17 18—20						0,0		0,0 0,0	0,1
					ОЛЬ				
0—1 2—3 4—5 6—7 8—9 10—11 12—13 14—15 16—17	0,0	0,0 0,0	0,1 0,1 0,0	0,5 0,5 0,0 0,0	1,2 0,7 0,2	2,6 1,9 0,3 0,0 0,0	4,3 3,5 0,6 0,1 0,0 0,0	6,3 4,7 1,1 0,1 0,1	7,3 5,3 1,3 0,2 0,1 0,0
18—20				······································	0,0			0,0	
Скорость				Tes	ипература возду	xa, °C			
ветра, м/с	24,0-22,1	22,0-20,1	20,0-18,1	18,016,1	16,0-14,1	14,0—12,1	12,0—10,1	10,08,1	8,06,1
				И	ЮНЬ				

Скорость	1	•		Т	емпература возд	yxa, °C			•		
ветра, м/с	24,0-22,1	22,0-20,	20,0-18,1	18,0-16,1	16,0-14,1	14,0-12	2,1 12,0	10,1	10,0-8,1	;	8,0-6,1
				I	Июль						
0—1 2—3 4—5 6—7 8—9 10—11 12—13 14—15 16—17 18—20	7,8 6,4 1,8 0,4 0,1	7,3 6,2 1,6 0,2 0,2 0,0	5,4 5,0 1,4 0,3 0,0 0,0 0,0	3,6 2,8 0,9 0,2 0,0	1,6 1,3 0,4 0,1 0,1 0,0	0,6 0,5 0,1 0,1 0,0	(((),1),1),1),0	0,1 0,1 0,0		
Скорость				7	емпература возд	yxa, °C					
ветра, м/с	40,0-38,1 3	8,0-36,1 36,	0-34,1 34,0-32,1	1 32,0-30,1 30,0	-28,1 28,0-26,1	26,0-24,1	24,0-22,1 2	2,0-20,1	20,0-18,1 1	8,0-16,1	16,0-14,1
					Август						
0—1 2—3 4—5 6—7 8—9 10—11	0,0	0,1 0,1 0,0	0,3 1,2 0,2 0,5 0,1 0,1 0,0	1,9 3 1,3 2 0,3 0 0,1 0 0,0 0	,5 4,5 ,0 3,3 ,6 1,6 ,1 0,1 ,0 0,0 0,0	5,7 5,0 1,4 0,3 0,0	6,6 6,0 1,8 0,2 0,1	6,9 6,4 1,6 0,2 0,1	7,1 5,6 1,3 0,2 0,1	4,9 3,8 0,6 0,1 0,0	3,6 2,6 0,5 0,1 0,0
12—13 14—15				0	,0	0,0 0,0	0,0	0,0	0,0		
16-17							0,0		0,0	0,0	
					ентябрь						
0—1 2—3 4—5 6—7			0,0 0,1 0,0	0,3 0,2 0,0 0,0 0,0	0,8 1,7 0,9 0,2 0,0 0,0	2,9 1,9 0,5 0,1	4,0 2,2 1,0 0,2	4,4 3,5 1,3 0,3	5,3 5,4 1,6 0,3	6,4 4,9 1,3 0,1	7,0 5,3 1,2 0,1

8—9 10—11 12—13						Октя	έοι.	0,0	0,0	0,1 0,0 0,0	0,0 0,0	0,1 0,0	0,0
0—1 2—3 4—5 6—7 8—9 10—11 12—13						0,1 0,1	0,2 0,1 0,0	0,3 0,2 0,1	0,9 0,4 0,0 0,0	1,5 0,7 0,3 0,1 0,0	2,2 1,2 0,3 0,1	3,0 1,6 0,6 0,2 0,0	4,2 3,2 1,0 0,2 0,1
Скорость	1					Темпе	ратура воз.	духа, °С					
ветра, м/с	14,0-12,1	12,0~10,1	10,0-8,1	8,0-6,1	6,0-4,1	4,0-2,1	2,0-0,0	-0,12,0		4,0 -4,1	6,0 6,3	18,0	-8,1 —10,0
0—1 2—3 4—5 6—7 8—9 10—11 12—13 14—15 16—17	1,9 1,2 0,2 0,1	1,2 0,4 0,0 0,0	0,2 0,1 0,0	0,0		Авгу				,	·		
						Сентя	•						
0—1 2—3 4—5 6—7 8—9 10—11 12—13	6,4 4,0 0,8 0,0 0,0	5,5 2,9 0,4 0,1 0,0	4,5 1,5 0,4 0,1	2,6 1,0 0,2	1,2 0,4 0,1 0,0	0,5 0,2	0,5 0,1 0,0	0,1					

Скорость								Темпер	атура воз	духа °C							
ветра, м/с	14,0-12	,1 12,0	-10,1	10,0-8,1	8,0-6,1	6,0-4	,1 4,0	0-2,1	2,0-0,0	-0,1	-2,0 -	2,1 −4,0	4,1	6,0	6,1 8	0 -8,1	–10,0
			~ 0		• •	7 0		Октяб		9.7		1 1	0	1	0.1		0,0
0—1 2—3 4—5 6—7 8—9 10—11 12—13	6,2 3,9 0,9 0,1 0,0		7,6 4,1 0,4 0,1	8,0 3,4 0,6 0,1	8,3 3,0 0,5 0,0 0,0	7,3 2,4 0,2 0,0	(3,3 1,6 0,2 0,0	5,1 1,2 0,2 0,0	2,7 0,6 0,1		1,1 0,2 0,0	ŏ	,4 ,1	0,1 0,1		· , ·
								Темпер	эатура воз	здуха, °С				1	1 1		
Скорость ветра, м/с	30,0-28,1	28,0-26,1	26,0-24,1	24,0-22,1	22,0-20,1	20,0—18,1	18,0-16,1	16,0–14,1	14,0-12,1	12,010,1	10,0-8,1	8,0-6,1	6,0-4,1	4,6–2,1	2,0-0,0	-0,12,0	-2,14,0
								Ноябр	ь			•					
0—1 2—3 4—5 6—7 8—9					0,1	0,1 0,1	0,6 0,2	0,8 0,1 0,1 0,0	1,3 0,5 0,1 0,1	2,4 1,3 0,3 0,0	3,7 1,9 0,3 0,0	5,7 2,1 0,4 0,1 0,0	7,9 2,5 0,3 0,1 0,0	8,2 2,6 0,3 0,0 0,0	- 11,2 2,4 0,3 0,0 0,0	10,6 1,6 0,2 0,0 0,0	7,8 1,3 0,1 0,0
								Декаб	рь			·*					
0—1 2—3							0,0	0,0	1,0 0,0	0,3 0,1	0,7 0,3	1,8 0,7	3,0 1,4	6,0 1,7	7,8 1,9	10,7 2,1	9,6 1,8

45 67	0,0 0,0	0,1 0,0	$0,2 \\ 0,1 \\ 0.0$	$\substack{0,3\\0,0}$	$\substack{0,3\\0,0}$	$\substack{\texttt{0,2}\\\texttt{0,1}}$	$\substack{0,2\\0,1}$	$0,2 \\ 0,1$
8—9 10—11 12—13			0,0		0,0 0,0	0,0 0,0		0,0

	<u> </u>						Температ	ура возд	yxa, °C						
Скорость ветра, м/с	-4,16,0	-6,18,0	-8,110,0	-10,112,0	-12,114,0	-14,116,0	16,118,0	-18,120,0	-20,122,0	-22,124,0	-24,126,0	-26,128,0	-28,130,0	-30,132,0	-32,134,0
			•	<u> </u>	<u> </u>										
							Ноябрь								
0—1 2—3 4—5 6—7 8—9	5,0 1,0 0,1 0,1	3,6 0,6 0,0 0,0	2,8 0,4 0,1	2,0 0,2 0,0	1,4 0,2 0,0	1,0 0,2	0,6 0,1 0,0	0,3 0,1	0,2 0,0	0,1	0,1	0,0	0,0	0,1 0,0	0,0
							Декабрь								
0-1 2-3 4-5 6-7 8-9 10-11 12-13	7,9 1,7 0,2 0,0	7,3 1,3 0,1 0,0	6,8 1,3 0,1 0,0	5,0 0,9 0,1	3,6 0,5 0,1	3,4 0,4 0,0	2,7 0,3 0,0	1,7 0,1	1,3 0,1	0,6 0,1	0,3	0,1 0,0	0,0 0,0	0,1	

 Π римечание: Повторяемость менее 0,1 % обозначена 0,0.

Tаблица 57 Повторяемость (%) различных сочетаний температуры воздуха и скорости ветра. Алма-Ата, ГМО

								Te	мперату	ра возд	yxa, °C							
Скорость ветра, м/с	36,0-34,1	34,0-32,1	32,0-30,1	30,0-28,1	28,0—26,1	26,0-24,1	24,0-22,1	22,0-20,1	20,0-18,1	18,0-16,1	16,0—14,1	14,0-12,1	12,0-10,1	10,0-8,1	8,06,1	6,0-4,1	4,0-2,1	2,0-0,0
									Вима									
0 1								Į	Цень	0.0	0.1	0.0	0.7	1.0	• •			
0—1 2—5 6—9 10—13										0,0 0,0	0,1 0,1	$_{0,0}^{0,2}$	0,7 0,2 0,0	1,8 0,4	3,0 0,9 0,0	5,0 1,7 0,1	7,6 1,9 0,0	8,6 2,2 0,1
								ŀ	-Точь									
0—1 2—5 6—9 10—13													0,0 0,1	0,0 0,2 0,0	0,4 0,7 0,1	1,2 1,6 0,0	2,9 1,9 0,1 0,0	5,9 2,1 0,2
									есна	•							-,-	
0 1			0.1	0.5	1 1	0.0	0.0		День	4.0			·					
0—1 2—5 6—9 10—13			0,1 0,1 0,0	0,5 0,5	1,1 1,0 0,0	2,3 1,8 0,1	2,3 3,6 0,1	3,5 3,7 0,2 0,1	3,8 5,5 0,2	4,0 5,0 0,3	4,1 3,9 0,1 0,1	4,0 4,8 0,1	3,5 3,5 0,2 0,0	3,4 3,3 0,1	3,2 2,8 0,1	3,0 1,9 0,1	2,9 1,7 0,0	2,8 1,8 0,1 0,0
							,		Ночь									
0—1 2—5 6—9 10—13 14—17 18—20	,					0,0 0,0	0,1 0,4	0,3 1,2, 0,2 0,0	0,6 2,2 0,4 0,0	1,7 3,4 0,4 0,0 0,0	3,4 4,8 0,5 0,0	4,0 6,8 0,5	4,9 5,7 0,5	4,9 4,6 0,1	5,7 3,7 0,1	5,1 3,2 0,1 0,0	4,5 2,4 0,1	4,8 2,0 0,0
10-20												0,0						

	1							Te	мперату	ра возд	yxa, °C			·				
Скорость ветра, м/с	-0,12,0	-2,14,0	-4,16,0	-6,18,0	-8,110,0	-10,112,0	-12,114,0	-14,116,0	-16,118,0	-18,120,0	-20,122,0	-22,124,0	-24,126,0	-26,128,0	-28,130,0	-30,132,0	-32,1,34,0	-34,136,0
									Зима Цень									
0—1 2—5 6—9 10—13	9,9 3,0 0,0 0,0	8,6 2,4 0,1 0,0	7,9 2,9 0,0	7,1 2,0	5,8 1,6 0,0	4,4 1,0	2,6 0,9		1,4 0,2	0,6 0,0	0,4 0,0	0,2 0,1	0,1	0,0	0,0			
01 25 69 1013	8,5 2,8 0,1	8,8 2,5 0,1	8,3 2,4 0,0	8,5 1,7 0,0	7,8 1,6 0,0	7,1 1,1 0,0	5,7 0,7 0,0	4,7 0,6	очь 3,6 0,2	2,2 0,2	1,7 0,1	0,7 0,1	0,5	0,1	0,1 0,0	. 0,1	0,0	0,0
0—1 2—5 6—9 10—13	2,3 1,0	1,8 0,8	0,9 0,5	0,7 0,2	0,3 0,0	0,1	0,1		есна ень									
0—1 2—5 6—9 10—13 14—17 18—20	3,7 1,3 0,0	2,9 0,7	2,2 0,6	1,7 0,5	1,0 0,2	0,8 0,1	0,5 0,0 0,0	0,3 0,1	Ючь 0,1 0,0		0,0							· .

n O	-									Темпе	ратура 1	оздуха,	°C							
	Скорость ветра, м/с	42,0,-40,1	40,0-38,1	38,0-36,1	36,0-34,1	34,0-32,1	32,0-30,1	30,0-28,1	28,0-26,1	26,0-24,1	24,0-22,1	22,0-20,1	20,0-18,1	18,0-16,1	16,0-14,1	14,0-12,1	12,0-10,1	10,0-8,1	8,0-6,1	6,0-4,1
										Лет Ден										
	0—1 2—5 6—9 10—13 14—17 18—20	0,0	0,0 0,0	0,2 0,1	1,0 0,9	2,8 2,0 0,0	5,5 4,4 0,1	9,3 7,2 0,1 0,0	10,3 7,6 0,1	9,9 7,2 0,2	6,4 6,3 0,2 0,0	4,2 3,9 0,3 0,1	2,7 1,7 0,2	1,1 0,9 0,0	0,7 0,8 0,2 0,1 0,0	0,5 0,4 0,1	0,1 0,1 0,0	0,0	0,0	
									Í	Ноч	њ									
	0—1 2—5 6—9 10—13 14—17 18—20						0,0	0,1 0,4 0,1	0,4 1,7 0,2 0,0	1,0 3,3 0,5	2,1 9,9 0,6 0,0	4,3 13,9 1,0 0,1	6,4 14,5 0,9 0,1 0,0	6,7 9,5 0,6 0,0 0,0	5,0 6,4 0,5	2,6 3,4 0,4 0,0 0,0	1,2 0,8 0,2	0,4 0,6	0,1 0,1	
									-	Осел Ден										
	0—1 2—5 6—9 10—13				0,0	0,1 0,1	0,4 0,3 0,0	0,8 1,1 0,0	2,0 1,3 0,0	ден 3,2 2,7 0,1	3,9 2,2 0,1	4,9 3,0 0,1	4,4 2,7 0,0 0,0	4,8 2,1 0,1	4,2 2,8	4,3 2,6 0,0 0,0	5,2 2,4 0,0	5,0 2,1 0,0	4,5 1,9	3,7 1,4
	0—1 2—5 6—9 10—13		-	•			«,		-	Hov 0,0 0,2	0,1 0,5 0,0	0,5 1,3 0,1 0,0	1,0 3,0 0,2	2,0 3,9 0,2	3,2 5,0 0,2 0,0	3,8 4,7 0,2 0,0	4,9 4,5 0,1	4,9 3,8 0,2	6,2 2,9 0,1 0,0	5,8 2,5 0,0

								Te	мперату	ра возду	yxa, °C							
Скорость ветра, м/с	4,0-2,1	2,0-0,0	-0,12,0	-2,14,0	-4,16,0	6,18,0	-8,110,0	-10,112,0	-12,114,0	-14,1,16,0	-16,118,0	-18,120,0	-20,122,0	—22,1 —24,0	-24,126,0	-26,128,0	28,130,0	-30,132,0
									Іето (ень									
0—1 2—5 6—9 10—13 14—17 18—20								_	, comb									
								Н	очь									
0—1 2—5 6—9 · 10—13 14—17 18—20																		•
									сень									
	0.0	0.5	0.0	1.0	0.0	0.0	0.0		ень	0.1	0.1			0.0		0.1		
0—1 2—5 6—9 10—13	3,3 1,4 0,0	3,5 0,9 0,0	2,9 0,7 0,0	1,8 0,5	0,9 0,4	0,8 0,4	0,6 0,1	0,3 0,1 0,0	0,3 0,1	0,1 0,1	0,1	0,1 0,0		0,0		0,1		
1010								Н	очь									
0—1 2—5 6—9 10—13	5,4 2,3 0,0	6,4 1,7 0,0	4,8 1,0	3,2 0,7	2,3 0,5 0,1	1,2 0,2	1,1 0,3	0,8 0,1	0,5 0,1	0,5 0,1	0,2 0,0	0,2 0,1	0,1	0,0	0,1		0,0	0,0

Мезо- и микроклиматические особенности

Таблица 58

Изменения температуры и влажности воздуха у мощного толстоструйного фонтана (насос типа 300490, Болгария. $Q=798~{\rm m}^3/{\rm u},~H_{\rm N.~B.~C.}=28~{\rm m})$

	Направ- годе энны пожения точек	Метео- вели- чины	Бровка фонтана	10 м	20 м	~ 40 м	Кон- троль- ная точка
9 X 1970 г., с 12 ч В 35 мин по 12 ч 55 мин	апад	#CC # # # # # # # # # # # # # # # # #	15,2 57 Перем. 1,8 11,0 9,2 13,6 69 Перем. 1,3 10,3 8,1	16,9 47 Перем. 1,2 12,0 10,5 16,1 48 Перем. 1,6 11,5	19,9 27 Перем. 1,0 14,0 13,0 18,8 31 Перем. 1,3 12,9 11,5	20,6 24 Перем. 1,1 14,6 13,6 20,3 25 Перем. 1,3 14,3	23,2 16 BCB 1,0 17,2 16,4 22,7 15 BCB 1,2 16,7 16,1

Примечание. Q — расход воды, Н — напор воды.

Таблица 59

Изменения температуры и влажности воздуха у пылящего фонтана (газонного) ($Q=3,1\,\mathrm{m}^3/\mathrm{u}$ от водонапорной сети 1)

Дата, время	Направ- ление рас- положе- ния точек	Метео- вели- чины	Бровка фонтана	10 м	20 м	40 м	Кон- троль- ная точка
2 X 1970 г., с 12 ч 10 мин по 12 ч 55 мин	Север	t°C r % d°	27,3 17	26,8 18	26,7 15	26,5 16	26,9 15 C3
	Восток	v м/с t°C r % d°	25,7 24	26,9 18	27,5 16	27,7 15	1,4 27,2 15 C3
	Юг	υ м/c t°C r % d° υ м/c	25,0 23	26,4 20	26,7 18	27,0 16	1,6 27,3 15 CB 1,3

¹ Из расчета 0,3 л/мин на один распылитель.

Таблица 60

Изменения температуры и влажности воздуха у площадного низконапорного фонтана (насосы 6К8. $Q=190...110~{\rm M}^3/{\rm q},~H=5,5...6,6~{\rm m},~3~{\rm mr.})$

Дата, время	Направ- ление рас- положе- ния точек	Метео- вели- чины	Бровка фонтана	10 м	20 м	40 м	Кон- троль- ная точка
30 IX 1970 г., с 13 ч 20 мин по 14 ч 30 мин	Север	t°C r % d° υм/є	23,4 31	23,9 27	24,5 22	24,3 24	23,1 28 CCB 1,4

Дата, время	Направ- ление рас- положе- ния точек	Метео- вели- чины	Бровка фонтана	10 м	20 м	40 M	Кон- троль- ная т очка
30 IX 1970 г., с 13 ч 20 мин по 14 ч 30 мин	Восток	t°C r % d°	23,2 33	23,2 27	23,3 26	22,6 27	23,2 27 CCB
	IOr	υм/c t°C r % d°	22,2 35	22,8 32	23,3 26	23,2 25	1,8 23,4 28 CCB
	Запад	υм/с t°C r% d° υм/с	23,4 35	23,5 27	23,7 25	23,4 25	2,0 23,5 26 CCB 1,6

Таблица 61

Изменения температуры и влажности воздуха у кругового ступенчатого фонтана (насос 4 НДВ. $Q=180...126~{\rm M}^3/{\rm q},~H=84...64~{\rm M})$

Дата, время	Направ- ление рас- положе- ния точек	Метео- вели- чины	Бровка фонтана	10 м	20 м	40 м	Кон- троль- ная точка
1 X 1970 г., с 12 ч 50 мин по 13 ч 25 мин	Север	t°C r % d°	20,7 38	22,6 29	23,2 26	22,7 26	22,9 27 Перем.
	Восток	v м/c t°C r % d°	20,6 41	22,4 30	22,5 26	22,8 25	0,6 23,0 27 Перем.
	Юг	v M/c t°C r % d°	20,6 41	22,2 30	22,7 26	22,8 26	0,6 23,1 27 Перем.
	Запад	v m/c t°C r % d° v m/c	20,9 40	22,4 30	23,0 26		0,6 23,3 26 Перем. 0,6

Пограничный слой

Таблица 62

Повторяемость (%) направления ветра на разных высотах. 1966—1975 гг.

-	<u> </u>	I		\(\)	П		l	III	:		IV		[V]	VI	
2				•					Выс	сота.	км							
Направление ветра	флюгер	5,0	1,0	флюгер	5,0	1,0	флюгер	0,5	1,0	флюгер	5,0	1,0	флюгер	6,5	1,0	флюгер	5,0	1,0
C CB B	9 6 4	5 16 13	4 14 19	16 4 5	4 16 13	4 14 17	18 6 5	7 20 12	4 15 18	17 7 8	9 23 8	7 17 16	16 6 7	10 23 7	7 21 11	12 6 8	8 19 9	7 17 10

Ę		Направленг ветра	te		ЮВ IO IO3 3 C3 Штиль	Направлен ветра	не	1
· · · · · · · · · · · · · · · · · · ·		»c.pu			35 8680	вегра		
	20078886212	флюгер			14 9 12 40	флюгер		
	9867	0,5		ΥII	15 16 15 15	0,5		-
	25 25 27	1,0			153354	1,0		
	12 10 10 10 10 10 10	флюгер			333689-	флюгер		
· 	x x x x x x x x x x x x x x x x x x x	0,5		ΥIII	5 7 6 1 6 1 6 1 7 8	0,5		=
_ c	20 20 13 18 19	1,0			18 23 11	1,0		
	15 26 8 13 11 13	флюгер	ľ		16 14 25	флюгер		
	110 23 115 116 117 7	0,5		×	4 7 16 17 5	0,5		۱ ₌
C	87 ²⁰	1,0	Выс		154 24 8	1,0	высота,	
<u> </u>	20 57 57 57	флюгер	Высота,		122 60 10 10 10	флюгер	ora,	
	10 10 10 10 10 10	0,5	КМ	×	9 8 9 9	0,5	101	7
	221000000000000000000000000000000000000	1,0			6 4 13 22 8	1,0		
	30 30 30 30 30	флюгер			7 28 12 11 11	фиюгер		
5	174 174 174 174	0,5		×	6 7 6 6	0,5		4
	42814	1,0			3 114 25 7	1,0		
	43210122558	флюгер .	ľ		39 6 9 10	флюгер		
	121 131 144 131	0,5		XII	20 18 7	0,5		≦
:	144 23 24 44 44 44 44	1,0			20 24 6	1,0		

оглавление

ПΡ	ЕДИСЛОВИ	Ε,				٠.										3
1.	введение															5
		и его	ко-геогр о окрест рия ра -Ате	носте	ей. Об	іщн ете	е св	едеі юги	ия ческ	o r	оро, на	це		•		8
2.	РАДИАЦИО			ким	,		•							,		10
	ОСОБЕННО				ион	Ц	ИРК	ζУЛ	ЯЦ	ии						32
	3.1.		сферио				-							•	•	36 38
4.	термичес	КИЙ	РЕЖИ	Μ.												50
	4.1. 4.2.	Темп Темп	ература ература	возд поч	цуха вы	<i>:</i>	:				:	:	:	:	•	- 59
5.	РЕЖИМ АТ									٠		•	•	٠		64
	5.2.	Атмо	сность и сферны сный по	e oca	ідки	•	•	_					:	•	:	74 83
6.	РЕЖИМ ОВ	ЛАЧ	ности	ИА	TMO	СФ]						Я				93
			чность сферны		ения											97
7.	КЛИМАТИЧ	IECK <i>i</i>	AA KA	PAKT	ЕРИС	ТИ	KΑ	CE	3OH	ОВ						110
	7.2. 7.3.	Зима Весна Лето Осена	a .					:	· · ·	:					•	111 113 119 122
8.	комплекс	НЫЕ	XAPA	ҚТЕР	ист	ИΚІ	1									125
	8.1. 8.2.	Темпо Темпо	ературн е ра турн	о-вла о-ветј	жност ровой	ре	й ре жим	жні	1	•	:	:		:		129
	МЕЗО- И <i>I</i>						E C	CO	БEН	HC	CT	И	COP	ОД	Α	132
10.	воздушнь						٠	٠	•	•		•		٠		141
1 1	10.2	. Биог	язнение климат	Алма	-Аты	Н	ero	rop	ных	OK	pec:					145
	ПОГРАНИЧ В РАЙОНЕ				JIMM	ΑI	CBC	JPC	ΙДΗ	.Ои	A'	IMC	СФ	EPI	oi	150
			ланнчны Эаннчны		• กหั	•	•	•	•	•	•	٠	•	•	•	153
	11.2	Кли	мат сво	бодно	ол Ой атг	MOC	ферь	Я На	ад <i>1</i>	\лм	a-A	той			:	163
	ЛЮЧЕНИЕ															175
	исок лите				٠		•		•							176
ΙŲΓ	ІЛОЖЕНИЕ	. TAE	ЛИЦЫ	КЛІ	LAMN	ИЧ	ECK	ΧИΣ	П	AHP	HЫ	X				179

ҚЛИМАТ АЛМА-АТЫ

Редактор Л. В. Ковель. Технический редактор Л. М. Шишкова. Корректор А. В. Хюркес Н/К

Сдано в набор 25.10.84. Подписано в печать 20.05.85. М-27 872. Формат 60×90¼. бумага тип. № 2. Гаринтура лутературная. Печать высокая. Печ. л. 16,5. Кр.-отт. 16,76. Уч.-изд. л. 18,68. Тираж 550 экз. Индекс ПРЛ-140. Заказ № 461. Цена 1 р. 20 к. Заказное.

Гидрометеонздат. 199053. Ленинград, 2-я линия, 23

Типография им. Котлякова издательства «Финансы и статистика» Государственного комитета СССР по делам издательств, полиграфии и книжной торговли. 191023. Ленинград, Д-23, Садовая, 21.